

Prange et al. (1997)

Erfassung und Beurteilung der Belastungen  
der Elbe mit Schadstoffen.

Teilprojekt 2 : Schwermetalle - Schwermetallspezies ...

**Geogene Hintergrundwerte  
und zeitliche Belastungsentwicklung**

Band 3/3 - ANHANG

Abschlussbericht, 1.9.1993 - 30.9.1999

## **Anhang zu Teil I und II**

**Teil I: Geogene Hintergrundwerte  
in Elbesedimenten**

**Teil II: Zeitliche Belastungsentwicklung  
verschiedener Elbeabschnitte**

- 9.1 Anhang Teil I:**
  - Geogene Hintergrundwerte**
    - Zahlentafeln und graphische Darstellungen**
- 9.1.1 Sondierungsergebnisse der untersuchten Transekte**
  - 9.1.1.1 Einflußbereich des Riesengebirges (Hradec Králové)**

Nr.	Transekt	Tiefe	Horizont	Bodenart	Farbe	Humosität	Wurzel	Bemerkungen	Gw*
1	1	0-6	MAh	Lu	10YR 2/2	5%	W4		100
1	1	-10	MGo	Lu	5YR 3/3	-	-	Rostflecken	
1		-12	Yy	Us	7,5YR 2/0	-	-	Asche, Konkretionen	
1		-60	IIIMGo	Ltu	5YR/ 4/4				
1		-90	MGo	Ltu	7,5YR 4/6			stark rostfleckig	
1		-100	MGo	Ltu	10YR 4/2				
1		-115	MGo	Ltu	10YR 3/3				
1		-142	MGr	Ltu	10YR 4/2			Pflanzenreste	
1		-163	IVGr	S+G	10YR 4/2				
1		-195	VMGr	Ltu	10YR 4/3				
1		-200	VIGr	S+G	10YR 4/2				
2	1	-10	MAh	Ltu	5YR 3/2	5%	W4	viele Regenwürmer	133
2		-35	M	Ltu	5YR 3/4	3%	W3		
2		-155	MGo	Ltu	5YR 4/4			Oxidfleckung	
2		-160	MGo	S	5YR 4/3				
2		-177	MGr	Ltu	5YR 3/3				
2		-205	F	U	5YR 3/3			Pflanzenreste	
2		-215	VGr	S+G	5YR 3/3				
2		-275	F	U	5YR 3/3			Pflanzenreste	
2		> 285	Gr	S+G	"				
3	1	-8	MAh	Ltu	5YR 3/2	5%	W4		160
3		-25	M	Ltu	5YR 3/4	1-2%	W3		
3		-140	MGo	Ltu	5YR 4/6			Oxidfleckung	
3		-150	IIIMGo	Ut	"				
3		-155	IIIMGo	Ltu	"				
3		-190	IV G	S	"			lehmig gebändert	
3		-200	MGo	Ltu	"				
3		-245	Go	S	"				
3		-265	Gor	S	5YR 4/3				
3		-300	Gr	S+G	5YR 4/1				
3		-400	Gr	S	"				
4	1	-5	MAh	Ls	5YR 3/2	5%	W4		200
4		-15	M	Ls	5YR 3/4	2-3%	W2-W3	Asche	
4		-70	M	Ltu	5YR 3/4				
4		-200	MGo	Ltu	5YR 4/4			Oxidfleckung	
4		-290	F	Lt	5YR 3/2				
4		-345	Gr	S	"			lehmig gebändert	
4		-400	F	Ltu	5 YR 3/3			Pflanzenreste	
4		-700						Kernverlust	
5	1	-5	MAh	Ltu	5 YR 3/3	2-3%	W4	viele Regenwürmer	250
5		-100	M	Ltu	5YR 4/4				
5		-105	C	S	"				
5		-150	M	Ltu	5YR 4/6				
5		-245	MGo	Ltu	7,5 YR 4/4			Oxidfleckung	
5		-260	Gor	S	7,5YR 4/6				
6	1	-5	MAh	Ltu	5YR 4/3	2-3%	W4	Viele Regenwürmer	207
6		-15	M	Ltu	5YR 4/4				
6		-17	MrAh	Ltu	5YR 3/3				
6		-30	M	Ltu	5YR 3/4				
6		-105	M	Ltu	5YR 4/6				
6		-130	MGo	Ltu	5YR 4/6			Oxidfleckung	
6		-200	MGr	Ltu	7,5YR 4/6				

Nr.	Transekt	Tiefe	Horizont	Bodenart	Farbe	Humosität	Wurzel	Bemerkungen	Gw*
6		-230	MGor	Ls	7,5YR 4/4				
6		-295	F	Ltu	10YR 3/2				
6		-340	Gr	S	"				
6		-405	MGr	S	"			lehmig gebändert, Holz	
6		-600	Gr	S+G	"				
7	2	-5	MAh	Ltu	5YR 3/4	3%	W4		240
7		-90	M	Ltu	5YR 4/4				
7		-115	IIIM	Lu	"				
7		-185	IIIM	Ltu	"				
7		-260	MGo	Ltu	"			sandig gebändert, Rostflecken	
7		-285	IVGo	S	5YR 4/6				
7		-325	Gr	S+G	2,5YR 4/2			Holz	
8	2	-5	MAH	Ltu	5YR 3/4	5%	W4		156
8		-15	M	Ltu	5YR 4/3				
8		-150	M	Ltu	5YR 4/6				
8		-160	Go	S	5YR 4/3				
8		-175	MGo	Ltu	5YR 4/6				
8		-260	Go	S	7,5 YR 4/4				
8		-275	Gr	S	7,5YR 3/2				
8		-400	Gr	S+G	"				
9	2	-5	MAh	Ltu	5YR 3/3	5%	W4		110
9		-40	M	Ltu	5YR 4/4				
9		-110	MGo	Ltu	"			Oxidfleckung	
9		-275	MGO	S+G	5YR 4/3			Lehmbänder	
9		-400	Gr	S				Kernverlust	
10	2	-5	MAh	Ltu	5YR 3/3	3%	W4	schlecht abgrenzbar	174
10		-100	M	Ltu	5YR 3/4				
10		-120	MGo	Ltu	5YR 4/4			Oxidfleckung	
10		-125	IIIMGo	Us	5YR 4/6				
10		-130	IIIMGo	Ltu	5YR 4/4				
10		-155	IVGo	S	"				
10		-175	Go	S	7,5 YR 4/6			starke Oxidfleckung	
10		-230	Gor	S	7,5 YR 4/4				
10		-270	Gor	S	"			Lehmband	
10		-300	Gr	S+G	7,5 YR 5/2				
11	2	-10	MAh	Ltu	5YR 3/2	5%	W4-5		122
11		-100	MGo	Ltu	5YR 3/4			+G , Oxidfleckung	
11		-125	IIGo	S	5YR 5/4			Lehmband	
11		-160						Kernverlust	
11		-300	Go	S	5YR 4/6			+G	
12	2	-10	MAh	Ltu	5YR 4/3	5%	W4		112
12		-100	MGo	Ltu	5YR 4/4			Oxidfleckung	
12		-110	IIGo	S	5YR 5/4				
12		-120	IIIMGo	Ltu	5YR 4/4				
12		-125	IV Go	S	"				
12		-130	V MGo	Ltu	"				
12		-190	VIGo	S	"				
12		-200	Gor	S+G	5YR 4/2				
13	2	-5	MAh	Ltu	5YR 3/3	5%	W4		106
13		-10	M	Ltu	5YR 3/4				
13		-115	MGo	Ltu	5YR 4/6			Oxidfleckung	

Nr.	Transekt	Tiefe	Horizont	Bodenart	Farbe	Humosität	Wurzel	Bemerkungen	Gw*
13		-130						Kernverlust	
13		-270	IIGo	S	5YR 5/3			Lehmband bei 200cm	
13		-300	Gr	S+G	5YR 3/1			Pflanzenreste	
14	2	-10	MAhG	Ltu	5YR 3/2	5-10%	W4		50
14		-100	MGo	Ltu	5Yr4/6			Oxidfleckung	
14		-105	MGor	Ltu	10YR 4/2				
14		-165	MGor	Ltu	7,5YR 4/2			sandig gebändert, Pflanzenreste	
14		-200	Gr	S+G	7,5YR 3/2				
15	3	-20	MAh	Ltu	5YR 4/4	5%	W4		160
15		-105	M	Ltu	5YR 4/6				
15		-170	MGo	Ltu	5YR 4/4				
15		-220	IIGo	S	7,5YR 4/4			Lehmbänder	
15		-240	IIIF	Lt	5YR 3/4				
15		-270	IVGo	S	7,5YR 3/4			starke Oxidfleckung	
15		-280	VF	Lt	5YR 3/4			Pflanzenreste	
15		-500	Gor	S	7,5YR 4/6			+G	
16	3	-15	MAh	Ltu	5YR 3/3	5%	W4		130
16		-110	M	Ltu	5YR 4/4				
16		-160	MGo	Ltu	5YR 4/6			sandig gebändert	
16		-280	IIGor	S	5YR 4/6			Lehmbänder	
16		-300	IIIF	Us	5YR 3/3				
16		-325	IVGor	S+G	5YR 4/6				
16		-400	Gr	S+G	5YR 4/2				
17	3	-20	MAh	Ltu	5YR 3/4	2-3%	W4	Regenwürmergänge	150
17		-100	M	Ltu	5YR 4/4				
17		-140	MGO	Ltu	7,5YR 4/4			Oxidflecken	
17		-280	IIGo	S	5YR 5/4			lehmig gebändert	
17		-310	Gr	S	5YR 5/3				
17		-320	IIIF	Ltu	5YR 3/3				
17		-350	iVGr	S+G	5YR 5/3				
17		-370	Gr	S	5YR 3/2			Pflanzenreste,+F	
17		-500	Gr	S+G	5YR 5/3				
18	3	-8	MAaG	Ltu	5YR 3/2	15%	W4	Rhizome	26
18		-30	MGo	Ltu	5YR 3/4			Oxidflecken	
18		-100	MGo	Ltu	5YR 4/6				
18		-200	F	Ltu	5YR 4/2			Pflanzenreste	
18		-260	F	Ltu	5YR 3/3				
18		-300	IIGr	S	"				
19	2	-15	MAh	Ltu	5YR 3/2	2%	W3		110
19		-70	M	Ltu	5YR 4/4				
19		-120	IIIM	Sl	7,5YR 4/4				
19		-200	MGo	Sl	5YR 4/2			Oxidfleckung	
19		-250	IIIG	S	7,5YR 4/2				
19		-300						Kernverlust	
20	2	-5	MAh	Ltu	5YR 3/3	5%	W4		132
20		-100	M	Ltu	5YR 4/3			Schlackestücke	
20		-205	IIIMGo1	Lu+S	7,5YR 4/4			Oxidflecken	
20		-220	MGo2	Lu+S	5YR4/6				
20		-240	IIIMGr	Lu	10YR 5/2				
20		-285	IVMGr	Ltu	10YR 5/2				
20		-500	Gr	S+G	"				

Nr.	Transekt	Tiefe	Horizont	Bodenart	Farbe	Humosität	Wurzel	Bemerkungen	Gw*
21	2	-5	MAh	Ltu	7,5YR 3/2	5%	W4		90
21		-135	M	Ltu	5YR 4/4			Ziegel, Schlacke	
21		-175	MGo	Ltu	"			Sandbänder	
21		-245	MGr	Ltu	7,5YR 4/2				
21		-380	MGr	Ltu	10YR 3/2			Holz	
21		-500	IIGr	S+G	"				
22	3	-95	M	Ltu	5YR 3/4	-	W5	Kein Ah erkennbar	200
22		-180	IIIMGo	Lu	5YR 4/6			sandig gebändert, Oxidflecken	
22		-195	IIIMGo	Sl	5YR4/4				
22		-225	IV MGo	Ltu	"			Sandlinsen?	
22		-300	VGo	S+G	"				
23	3	-5	MAh	Ltu	5YR 3/2	5%	W4-5		200
23		-15	IlyYMAh	Lu	5YR 3/3			+G	
23		-80	IIIM	Sl	7,5YR 4/4			Ziegel, Schiefer, Kiese	
23		-200	IVMGo	Ltu	5YR 4/6				
23		-250	VG	S	5YR4/4				
23		-400	G	S+G	"				
24	4	-25	jYAh	Sl	7,5YR 3/2	2-3%	W3-W4		240
24		-110	IIIC	S	7,5YR4/4			Schlacke, Sl-Bänder/Linsen	
24		-170	IIIC	S+G	10YR 4/4				
24		-230	IVC	S	7,5YR 5/2				
24		-500	Go	S	7,5YR 4/2				
25	4	-30	MAh	Lu	7,5YR 3/2	2-3%	W5	M aus Flächenerosion	66
25		-55	MGo	Lu	7,5YR 3/4			Fe-Konkretionen, +G	
25		-160	IIGo	S+G	2,5YR 3/4				
25		-200	G	S+G	5YR 4/6				
26	4	-10	Mah	Ltu	5YR 3/4	2-3%	W4-5		210
26		-200	M	Ltu	5YR 4/4				
26		-275	MGo	Ltu	"			Lu in Wechsellagerung	
26		-320	IIGo	Sl	5YR4/3				
26		-340	Gr	Sl	7,5YR 4/2				
26		-400	IIIGr	Slu	"				
26		-600	IVGr	S+G				Kernverlust	
27	4	-10	MAh	Ltu	5YR 3/4	2-3%	W4-5		319
27		-90	M	Ltu	5YR 4/4				
27		-155	IIIM	Sl	7,5YR 4/4			Ls-gebändert	
27		-195	MGo	Sl	"			Oxidfleckung, gebändert	
27		-205	IIIG	S	5YR 4/4				
27		-220	IVMG	Ls	7,5YR 4/2				
27		-260	VMG	Sl	5YR 4/6			Ls-gebändert	
27		-400	G	S+G	"				
28	4	-10	MAh	Ltu	5YR 3/3	2-3%	W4-W5		> 300
28		-75	M	Ltu	5YR 4/4				
28		-95	IIIM	Ls	"				
28		-230	IIIMGo	Sl	5YR4/3			Lehmig, sandig, gebändert	
28		-300	IVG	S+G	7,5YR 4/2				
29	4	-10	MAh	Ltu	5YR 3/3	2-3%	W4		>200
29		-70	M	Ltu	5YR 4/3			+G	
29		-110	IIIM	Ls	7,5YR 4/4				
29		-140	IIIMG	Sl	"			Oxidflecken	
29								Ls-gebändert	
29		-200	IVG	S+G	7,5YR 5/4				

Nr.	Transekt	Tiefe	Horizont	Bodenart	Farbe	Humosität	Wurzel	Bemerkungen	Gw*
30	4	-123	MGo	Ltu	5YR 5/5		W3	Kein Ah erkennbar	175
30		-155	IIIMGo	Sl	5YR 3/4			Oxidflecken	
30		-205	IIIG	S	5YR4/4				
30		-240	IVMGo	Sl	"			Ltu-Bänder	
30		-260	VGo	S	7,5YR4/4				
30		-300	Gr	S	7,5YR 4/2				
31	5	-10	jYAh	Sl	10YR2/2	5%	W4-5	+G	320
31		-30	jYC	Sl	7,5YR 4/4			+G	
31		-400	C	S	7,5YR 4/2			+G	
32	5	-10	MAh	Ls	7,5YR3/2	2-3%	W4		160
32		-35	M	Ls	7,5YR4/2				
32		-110	M2	Ls	7,5YR3/4				
32		-150	IIIMGo	Sl	"				
32		-200	IIIG	S+G	5YR4/3				
33	5	-10	MAh	Lu	7,5YR3/2	2-3%	W4		130
33		-55	M	Lu	5YR3/4				
33		-90	IIIM	Sl	5YR4/4				
33		-110	IIIC	S	"				
33		-130	IVMGo	Ltu	5YR4/3				
33		-260	VGo	Sl	7,5YR3/4			Lu-gebändert	
33		>260	G	S+G	"				
34	5	-10	MAh	Lu	5YR3/3	2-3%	W4		148
34		-40	M	Lu	"				
34		-100	IIIM	Ls	5YR3/4				
34		-160	IIIMGo	Sl	5YR4/4				
34		-300	IVGr	S+G	7,5YR4/2				
35	5	-35	MAh	Lu	7,5YR4/2	5-10%	W4-5		60
35		-55	M	Lu	"				
35		-105	IIIMGo	Sl	7,5YR3/2			Lu, Ls-Bänder, Holz	
35		-115	IIIMGo	Lu	7,5YR2/0				
35		-190	IVMGr	Ls	5YR3/1			Holzkohle	
35		-300	VGr	S	5YR2,5/1				
36	5	-10	jYAh	Ls	7,5YR3/2	5%	W3-4	+ G	124
36		-50	IIjYGo	Sl	7,5YR4/4			Lu-Linsen + G +X	
36		-110	IIIMGo	Ltu	5YR3/3				
36		>110	IVGo	Sl +G	7,5YR3/4				
37	6	-120	M	Lu	5YR 3/4				280
37		-150	IIIM	Ls	5YR 4/4			Lu-Bänder	
37		-240	IIIM	Sl	"				
37		-255	IVM	Ltu	"				
37		-390	VGo	S	7,5YR5/8				
37		-430	Gr	S	10YR3/2				
37		>430	Gr	S+G	"				
38	6	-30	MAp	Ltu	5YR4/3	1-2%	W3		235
38		-160	M	Ltu	5YR4/3				
38		-240	IIIM	Sl	5YR4/4			Ltu-gebändert	
38		-260	MGo	Sl	"			Ltu-gebändert, Oxidfleckung	
38		-340	MGo	Sl	5YR4/6			Holz	
38		-400	G	S+G	"				
39	6	-15	MAp	Ltu	5YR4/3	1-2%	W4		110
39		-105	IIIM	Lu	5YR4/4				



Nr.	Transekt	Tiefe	Horizont	Bodenart	Farbe	Humosität	Wurzel	Bemerkungen	Gw*
39		-125	MGo	Lu	"				
39		-155	MGr	Lu	5YR2,5/1				
39		-230	III G	S	7,5YR5/2				
39		-400	G	S	10YR3/2			Ltu-gebändert,	
39								Pflanzenreste, +G	
40	6	-65	M	Lu	5YR 4/4	1%	W4		215
40		-135	IIIM	Sl	"				
40		-210	MGo	Sl	"			Lu-gebändert	
40		-275	IIIMGor	Ls	"			Ltu- Sl-gebändert	
40		-285	IVF	Sl	10YR3/2			Pflanzenreste	
40		-335	VGr	S	10YR4/2				
40		-400	Gr	S+G	"				
41	6	-70	M	Ls	5YR4/3	1%	W4	Plastik	100
41		-95	IIIMGo	Sl	5YR4/4			Lu-gebändert	
41		-150	III Go	S	7,5YR4/4			+ G, Pflanzenreste	
41		>150	Go	S+G	"				
42	6	-40	MAp	Sl	7,5YR4/2	2-3%	W4		147
42		-145	M	Sl	5YR4/3			S-Lu-gebändert	
42		-200	IIIMGo	Ltu	"			Pflanzenreste	
42		-270	III G	S	5YR3/4				
42		>270	G	S+G	"				
43	7	-40	Ap	Sl	5YR3/3	5%	W3	S-Bänder	-
43		-85	C	Sl	5YR4/3				
43		>85	IIC	S+G	5YR4/4			Peilstange keine 2m	
43								eintreibbar	
44	7	-90	M	Lu	5YR4/3	2-3%	W3-4		252
44		-210	IIIM	Sl	5YR4/4			Lu-gebändert	
44		-245	IIIMGo	Ls	"			Sl-gebändert	
44								Oxidfleckung	
44		-300	IVMGo	Sl	7,5YR4/4			Ltu-gebändert	
44								Pflanzenreste	
44		-350	Gr	Sl	10YR3/2			Pflanzenreste	
44		>350	VGr	S+G	"				
45	7	-20	MAp	Lu	5YR 3/3	2-3%	W4		
45		-174	M	Lu	5YR5/3				
45		-194	IIIMGo	Ls	5YR5/3			Eisenkonkretionen	
45		-211	IIIMGor	Ltu	7,5YR4/4				
45		-235	IVMGor	Sl	"				
45		-265	VMGor	Ls	7,5YR3/2			Pflanzenreste	
45		-278	VIMGr	Sl	7,5YR4/4				
45		-306	VII Gr	S+G	7,5YR3/1			Ls-gebändert	
46	7	-20	MAp	Lu	5YR3/4	1-2%	W4		275
46		-180	M	Lu	"				
46		-260	IIC	S	7,5YR4/4			Lu-gebändert	
46		-290	MGo	S	7,5YR4/6			Ltu-gebändert	
46								Oxidfleckung	
46		-370	G	S	"				
46		>370	G	S+G	10YR3/2				
47	8	-33	MAp	Ltu	5YR 4/4	2-3%	W4		238
47		-160	M	Ltu	"				
47		-170	IIIMGo	Sl	5YR4/6			Oxidfleckung	
47		-195	IIIMGo	Lsu	10YR4/3				

Nr.	Transekt	Tiefe	Horizont	Bodenart	Farbe	Humosität	Wurzel	Bemerkungen	Gw*
47		-240	IVMGo	Ltu	7,5YR3/4				
47		-280	VMGo	S	"			Sl-gebändert	
47		-330	VIMGo	Sl	7,5YR4/6			Holzkohle	
47		-355	Gr	Sl	10YR4/3			Pflanzenreste	
47		-370	VIIGr	S	"				
47		-600						Kernverlust	
48	8	-30	MAp	Ltu	5YR4/4	2-3%	W5		226
48		-175	M	Ltu	"				
48		-230	M	Ltu	"			Ls,Sl-gebändert	
48		-240	IIIMGo	Sl	7,5YR3/4				
48		-255	IIIMGo	Lsu	5YR4/4				
48		-265	IVMGo	Ls	5YR4/3				
48		-275	VGo	Sl	5YR4/6				
48		-295	VIGor	Ltu	7,5YR4/2			Pflanzenreste	
48		-355	VIIGor	Sl	5YR4/6				
48		-450	VIIIG	S	5YR4/2				
48		-500						Kernverlust	
49	8	-25	MAp	Ltu	5YR4/4	1-2%	W4		195
49		-200	M	Ltu	"				
49		-250	MGo	Ltu	7,5YR3/4				
49		-260	IIIMGo	Sl	"				
49		-270	IIIMGo	Ltu	"				
49		-285	IVG	S	"				
50	9	-20	jYAp	Sl	10YR3/2	5%	W3-4	Kalksteine	150
50		-40	jY	Sl	"				
50		-70	IIjY	Lu	2,5YR4/2			S+G	
50		-80						Kernverlust	
50		-130	IIIM	Ltu	7,5YR3/4				
50		-180	MGor	Ltu	10YR4/4				
50		-210	MGr	Ltu	10YR3/1				
50		-380	IVGr	Sl	10YR3/3			Pflanzenreste	
50		-500						Kernverlust	
51	9	-35	MAp	Ltu	5YR3/4	2-3%	W3	Eisenkonkretionen auf	180
51								der Oberfläche	
51		-50	M	Ltu	5YR4/4				
51		-180	IIc	S	7,5YR4/6				
51		-195	Go	S	7,5YR4/4				
51		>195	G	S+G	"				
52	9	-20	jYAp	Lsu	10YR3/3	5%	W5		110
52		-90	IIIM	Sl	"				
52		-130	IIIGo	S	10YR4/4				
52		-270	G	S	10YR4/2				
52		-340	Gr	S	10YR3/2			Pflanzenreste	
52		-400						Kernverlust	
53	9	-30	jYAp	Ltu	5YR3/3	2-3%	W2	Steine auf der	186
53								Oberfläche	
53		-80	jYM	Ltu	5YR3/4			S-gebändert	
53		-180	MGo	Ltu	7,5YR3/4				
53		-220	MGor	Ltu	5YR4/3			Ls-gebändert	
53		-250	IIGor	Sl	"			Ltu-gebändert	
53		-280	IIIMGor	Ltu	5YR3/4				
53		-365	IVGr	S	5YR4/2			Pflanzenreste	

Nr.	Transekt	Tiefe	Horizont	Bodenart	Farbe	Humosität	Wurzel	Bemerkungen	Gw*
53		-600						Kernverlust	
54	9	-30	jYMAp	Ltu	5YR4/3	2-3%	W2	Steine	173
54		-90	jYM	Ltu	5YR4/4			S-gebändert	
54		-220	MGo	Ltu	5YR4/6			Eisenkonkretionen	
54								Ls-gebändert	
54		-340	MGr	Ltu	5YR3/2			Ls,Sl-gebändert	
54		-430	IIG	S	10YR3/2			Ltu-gebändert	
54		-455	IIIMG	Ltu	"				
54		-600						Kernverlust	
55	9	-30	jYAp	Ltu	5YR3/3	2-3%	W4	Steine	117
55		-120	M	Ltu	5YR4/6				
55		-155	MGo	Ltu	5YR4/4				
55		-365	MGr	Ltu	5YR3/4			Pflanzenreste	
55								Ls-gebändert	
55		-500						Kernverlust	
56	10	-35	MAp	Ltu	5YR4/3	2-3%	W2		174
56		-140	M	Ltu	5YR4/4			Sl-gebändert	
56		-155	IIGo	Sl	"				
56		-180	IIIGo	S+G	7,5YR4/4				
56		-300	G	S+G	7,5YR5/4				
57	10	-35	MAp	Ltu	5YR4/3	2-3%	W2		155
57		-45	M	Ltu	5YR4/4				
57		-90	IIIM	Sl	"			Ls-gebändert	
57		-110	IIIC	S	5YR4/6				
57		-200	Go	S+G	"				
58	10	-20	jYAp	Lsu	7;5YR3/2	2-3%	W3	Steine	42
58		-40	IIjY	Sl	10YR3/2			Steine	
58		-100	IIIMGo	Ltu	5YR5/4				
58		-115	MGr	Ltu	5YR4/2				
58		-130	IVMGr	Lsu	5YR4/1			Pflanzenreste	
58		-275	VGr	S	10YR3/2				
58		-300	Gr	S+G	"				
59	10	-25	MAp	Lsu	10YR4/3	2-3%	W3-4	Steine	290
59		-130	IIIM	Ltu	5YR4/3			Sl-gebändert	
59		-150	IIIGo	Sl	7,5YR4/4				
59		>150	IVGo	S+G	7,5YR4/6				
60	10	-30	MAp	Sl	10YR3/3	2-3%	W3	Steine	170
60		-60	M	Sl	10YR4/4			+G	
60		-80	IIIM	Lsu	10YR5/3				
60		-105	MGo	Lsu	10YR4/4			Oxidfleckung	
60		-160	IIIMGo	Ltu	10YR5/6				
60		-175	MGr	Ltu	5B5/1				
60		-200	IVGr	S	5Y5/1				
61	7	-20	jYAp	Lu	10YR3/2	2-3%	W2	Kiese	-
61		-50	IIjY	Ls	10YR4/2			Kiese	
61		-140	IIIM	Ltu	5YR4/6				
61		-180	IVGo	Sl	"				
61		-200	VGo	S+G	"				
62	11	-10	MAh	Ltu	5YR3/2	5%	W4		50
62		-60	MGo	Ltu	5YR4/3				
62		-85	IIIMGo	Sl	"			Ltu-gebändert	
62		-120	MGo	Sl	5YR4/4				

**Kap. 9.1.1.1: Sondierungsergebnisse Hradec Králové (Einfluß des Riesengebirges)**

Nr.	Transekt	Tiefe	Horizont	Bodenart	Farbe	Humosität	Wurzel	Bemerkungen	Gw*
62		-170	G	S	5YR4/6				
62		-300	Gr	S+G	5YR3/1			Pflanzenreste	
63	11	-30	Ap	Sl	5YR4/3	1-2%	-	Strohreste	-
63		-60	IIC	S	5YR4/4			Sl-gebändert	
63		>60	IIIC	S+G	"				
64	11	-20	MAp	Lsu	5YR3/4	2-3%		Kiese	95
64		-50	M	Lsu	"				
64		-100	MGo	Lsu	5YR4/4				
64		>100	IIGo	S+G	7,5Yr4/4				
65	11	-25	MAp	Ltu	5YR3/4	2-3%	-	Strohreste	174
65		-115	M	Ltu	5YR4/4				
65		-190	IIIM	S	7,5YR4/4			Ls-gebändert	
65		-200	G	S+G	7,5YR4/4				
66	11	-30	MAp	Ltu	5YR4/4	1-2%	-	Strohreste	148
66		-95	M	Ltu	5YR4/6				
66		-115	MGO	Ltu	5YR4/4				
66		-180	Gor	Ltu	10YR5/4			Oxidflecken	
66								Eisenkonkretionen	
66		-185	IIIGor	Ls	10YR5/4				
66		-200	IIIIGr	Lsu	5Y4/1				
66		-215	IVMGr	Sl	10YR3/1			Lsu-gebändert	
66								Pflanzenreste	
66		-280	VGr	Lu	"				
66		-300	VIGr	S+G	"				
67	11	-30	MAp	Ltu	5YR4/3	1-2%	-	Strohreste	250
67		-70	M	Ltu	5YR4/4				
67		-110	M	Ltu	7,5YR3/4				
67		-230	MGo	Ltu	7,5YR5/4				
67		-260	MGo	Ltu	7,5YR4/6			Ls-gebändert	
67								Eisenkonkretionen	
67		-270	IIIGr	Sl	10YR5/3				
67		-300	IIIIGr	S+G	"				
68	11	-30	MAp	Ls	10YR3/3	2-3%	-	Steine, Scherben	105
68		-50	M	Ls	10YR4/2				
68		-115	MGo	Ls	"				
68		-125	MGr	Ls	10YR3/2				
68		-160	IIIMGr	Ltu	5YR4/2			Pflanzenreste	
68		-185	MGr	Ltu	2,5Y3/2			S-gebändert, Holz	
68		-200	MGr	Ltu	5YR4/2				
68		-250	Gr	S+G	2,5Y3/2				
69	12	-10	MAh	Ltu	5YR4/3	2-3%	W4-5		156
69		-65	M	Ltu	5YR4/4				
69		-95	MGo	Ltu	"				
69		-160	IIGo	S	5YR4/6			Sl-gebändert	
69								Pflanzenreste	
69		-180						Kernverlust	
69		-195	IIIIGo	Sl	5YR4/4			Pflanzenreste	
69		-200	IVG	S+G	"				
70	12	-10	MAh	Ltu	5YR4/3	2-3%	W4		280
70		-100	M	Ltu	5YR4/4				
70		-170	MGo	Ltu	"				
70		-230	MGO	Ltu	"			Ls-gebändert	

Nr.	Transekt	Tiefe	Horizont	Bodenart	Farbe	Humosität	Wurzel	Bemerkungen	Gw*
70		-300	IIG	S	5YR4/6				
71	13	-5	MAh	Ltu	5YR3/2	5%	W4-5		52
71		-110	MGo	Ltu	5YR4/3				
71		-120	Gor	Ltu	5YR3/2			Eisenkonkretionen	
71		-190						Kernverlust	
71		>190	Gr	G					
72	13	-10	MAh	Lu	7,5YR3/2	5%	W3-4		96
72		-20	M	Lu	10YR3/2				
72		-50	IIC	SI	7,5YR3/2				
72		-120	III Go	S+G	7,5YR4/2				
72		>120	"	"	7,5YR4/4				
73	14	-25	MAp	Ltu	5YR4/3	2-3%	W2-3		200
73		-90	M	Ltu	5YR4/4				
73		-140	IIMGo	U	"			Ltu-,SI-gebändert	
73		-225	IIIMGo	Ltu	"			SI-gebändert	
73		-240	IVMGo	SI	5YR4/6				
73		-260	VMGor	Ltu	7,5YR4/2				
73		-265	VIGor	S	"				
73		-290	VIIG	SI	5YR3/2			Holz	
73		>290	VIIIG	S	"				
74	14	-25	MAp	Ltu	5YR3/3	2-3%	W2-3		125
74		-55	M	Ltu	5YR4/4				
74		-130	IIMGo	S+G	5YR4/6			Ltu-gebändert	
74		>130	Gor	S+G	5YR4/4				
75	14	-30	MAp	Ltu	5YR3/4	2-3%	W3-4		195
75		-45	M	Ltu	"				
75		-180	IIGo	S	5YR4/4				
75		>180	IIIG	S+G	"				
76	15	-30	MAp	Ltu	5YR3/4	2-3%	W3-4		105
76		-50	M	Ltu	5YR4/4				
76		-75	IIGo	S	"				
76		-110	IIIGo	S	7,5YR4/4			SI-gebändert	
76		>110	IVGo	S+G	7,5YR3/2				
77	15	-35	MAp	Lu	5YR4/3	2-3%	W3-4		163
77		-100	M	Lu	7,5YR4/4				
77		-135	MGo	Lu	5YR4/3			SI-gebändert	
77		-210	MGO	Lu	5YR4/4			Ltu-,Lsu-gebändert	
77								Pflanzenseste	
77		-275	IIG	S+G	7,5YR4/2				
78	15	-25	MAp	Lu	5YR4/3	2-3%	W4-5	Steine	170
78		-115	M	Lu	5YR4/6				
78		-205	MGo	Lu	5YR4/4				
78		-235	MG	Lu	5YR5/4				
78		-265	IIMg	SI	7,5YR4/6				
78		-290	IIIMG	Ls	7,5YR5/4				
78		-300	IVGr	Ltu	10YR4/1				
78		-310	Gr	Ltu	10YR3/1			Pflanzenrste	
78		>310	VGr	S	"				
79	14	-25	MAp	Ltu	5YR4/3	2-3%	W3		113
79		-100	M	Ltu	5YR4/4				
79		-130	MGo	Ltu	"				
79		-150	IIMGo	SI	7,5YR4/2			Ls-gebändert	

Nr.	Transekt	Tiefe	Horizont	Bodenart	Farbe	Humosität	Wurzel	Bemerkungen	Gw*
79		-160	IIIMGo	Lu	7,5YR5/4			Pflanzenreste	
79		-180						Kernverlust	
79		-185	IVG	S	7,5YR4/2				
79		-225	VG	Sl	5YR4/6				
79		-300	VIG	S	7,5YR4/2				
80	14	-30	MAp	Ltu	5YR4/3	2-3%	W4		107
80		-60	M	Ltu	"				
80		-100	IIM	S	7,5YR3/4			Ltu-gebändert	
80		-110	IIIMG	Us	7,5YR5/4				
80		-175	IVG	S+G	7,5YR4/4				
81	2	-10	MAh	Ltu	5YR4/3	5%	W4		170
81		-85	MGo	Ltu	5YR4/6			Mn-Flecken	
81		-220	MGo2	Ltu	7,5YR4/6			+Fe-Flecken	
81		-280	MGr	Ltu	10YR4/2				
81		-310	MGr	Ltu	5Y4/1			Holz	
81		-330	IIG	S	10YR4/2				
81		-400						Kernverlust	
82	2	-10	MAh	Ltu	5YR3/3	5%	W4-5	gekalkt	134
82		-90	M	Ltu	5YR4/6				
82		-195	MGo	Ltu	7,5YR4/6				
82		-220	MGr	Ltu	2,5Y4/2				
82		-245	MGr	Ltu	10YR4/1			Holz	
82		-275	IIGr	S	"				
82		-300	G	S	10YR5/3				
83	2	10	MAp	Ltu	5YR3/3	2-3%	W4	Steine , Ziegel	155
83		-60	M	Ltu	5YR4/6				
83		-125	MGo	Ltu	7,5YR4/6			Oxidfleckung	
83		-150	IIGo	S+G	"				
84	2	-30	MAp	Ltu	5YR3/3	2-3%	W2-3	Kiese, Steine	67
84		-115	MGo	Ltu	5YR4/4			Oxidfleckung	
84		-185	MGr	Ltu	7,5YR4/4				
84		-300	MGr	Ltu	5Y4/8			Pflanzenreste	
84		-450	MGr	Ltu	2,5Y3/2			Holz	
84		>450						Kernverlust +G	
85	2	-25	MAp	Ltu	5YR4/4	2-3%			148
85		-165	MGo	Ltu	5YR4/6			Oxidflecken	
85		-270	MGr	Ltu	5Y4/1				
85		-290	IIIMGr	LS+G	"				
85		>300						Kernverlust	
86	16	-15	MAh	Ltu	5YR4/6	2-5%	W4	Schlacke, Baumwurzeln	177
86		-240	MGo	Ltu	5YR4/4			Oxidflecken	
86		-280	MGr	Ltu	10YR4/3				
86		-305	MGr	Ltu	10YR4/1				
86		-320	MGr	Ltu	5Y4/1				
86		-400	MGr	Ltu	10YR3/1				
86		-415	IIG	S+G	"				
86		>415						Kernverlust	
87	16	-5	MAhG	Ltu	5YR3/2	5-8%	W4	+ G	70
87		-30	MGo	Ltu	5YR4/3				
87		-35	MrAh	Ltu	7,5YR4/2				
87		-155	MGo	Ltu	5YR4/6			Konkretionen	
87		-250	MGr1	Ltu	5Y4/1				

Nr.	Transekt	Tiefe	Horizont	Bodenart	Farbe	Humosität	Wurzel	Bemerkungen	Gw*
87		-405	MGr2(F)	Ltu	2,5Y3/2			Pflanzenreste	
87		>405	IIGr	S+G	"				
88	16	-5	MAh	Ltu	5YR3/3	2-3%	W4-5		140
88		-80	M	Ltu	5YR4/6				
88		-145	MGo	Ltu	7,5YR4/6			Oxidfleckung	
88		-180	IIIMGo	Lu	"				
88		-205	MGr	Lu	2,5Y3/2				
88		>206						Kernverlust	
89	16	-10	MAh	Ltu	5YR3/3				120
89		-45	M	Ltu	5YR4/6				
89		-200	MGo	Ltu	7,5YR4/6			Oxidflecken	
89		-235	MGr	Ltu	10YR4/1				
89		-255	MGr	Ltu	5Y4/1				
89		-300	IIIMGr	Lu	2,5YR3/2			Holz, SI-gebändert	
89		>300						Kernverlust	
90	16	-15	MAh	Ltu	5YR4/3	2-3%	W3-4		160
90		-100	MGo	Ltu	5YR4/4				
90		-170	MGo2	Ltu	7,5YR4/4				
90		-190	IIIMGr	Lsu	7,5YR4/2				
90		-210	MGr	Lsu	5Y4/1				
90		-225	IIIMGr	Ls	5BG4/1				
90		-275	IVMGr	SI	5YR4/1			Ls-, Lu-gebändert	
90		-300	VMGr	Ls	10YR4/1				
90		-340	VMGr	Ltu	"			SI-gebändert	
90		>340						Kernverlust +G	
91	16	-10	MAh	Ltu	5YR4/3	2-3%	W4-5		145
91		-70	M	Ltu	5YR4/6				
91		-240	MGo	Ltu	7,5YR4/4			SI-gebändert	
91		-275	IIIMGo	Lsu	7,5YR5/4				
91		>275	IIIG	S	7,5YR4/6				
92	16	-5	MAa	Ltu	10YR2/2	15%	W4		120
92		-10	MGo	Ltu	5YR4/3			Oxidflecken	
92		-15	MrAh	Ltu	7,5YR4/2				
92		-180	MGo	Ltu	7,5YR4/6				
92		-260	MGr	Ltu	5Y4/1			Pflanzenreste	
92		-280	IIIMGr	Lu	10YR4/1				
92		-290	IIIGr	SI	"				
92		-310	IVMGr	Ltu	"			SI-gebändert	
92								Pflanzenreste	
92		-320	VMGr	Ls	"				
92		>320						Kernverlust	
93	16								100
93		-5	MAh	Ltu	5YR3/3	5%	W4		
93		-170	MGo	Ltu	5YR4/6			Oxidflecken	
93		-180	IIIMGr	Lsu	10YR4/2				
93		>180						Kernverlust	
94	1	-10	MAh	Ltu	5YR3/3	2-3%	W4		230
94		-80	M	Ltu	5YR4/6				
94		-100	MGo	Ltu	7,5YR4/4				
94		-140	IIIMGo	SI	"			Ltu-gebändert	
94		-250	IIIMGo	Ltu	"				
94		-275	IVMGr	Lu	7,5YR5/2				





- 9.1 Anhang Teil I:**
  - Geogene Hintergrundwerte**
    - Zahlentafeln und graphische Darstellungen**
- 9.1.1 Sondierungsergebnisse der untersuchten Transekte**
- 9.1.1.2 Einflußbereich des Moldaueinzugsgebietes (Roudnice)**

Nr.	Transekt	Tiefe	Horizont	Bodenart	Farbe	Humosität	Wurzel	Bemerkungen	Gw*
97	17	-20	MAh	Ls	10YR3/3	5%	W4		230
97		-45	IIC	Sl	10YR4/2				
97		-50	IIIC	S	10YR4/3				
97		-155	IVM	Ls	"			Ltu-gebändert	
97		-160	MGo	Ls	"				
97		-210	VMGo	Lu	"			Glimmer	
97								Oxidflecken	
97		-220	VIMGo	Ls	10YR3/3				
97		-245	VIIMGo	Ltu	10YR4/3				
97		-255	VIIIMGo	Sl	"				
97		-265	IXMGo	Ltu	"				
97		-275	XMGo	Ls	"				
97		-300	XIMGo	Ltu	"				
97		-325	XIIMGo	Lu	"				
97		-335	XIIIMGor	Ls	"				
97		-370	XIVMGr	Ltu	"				
97		>370						Kernverlust	
98	17	-30	MAh	Lu	10YR3/3	5%	W4-5		130
98		-90	IIM	Ls	10YR4/2				
98		-110	M	Ls	10YR4/3				
98		-140	IIIMGo	Lu	"				
98		-200	IVMGo	Ltu	"				
98		-210	VMGo	Ls	"				
98		-250	VIMGo	Lu	"				
98		-340	VIIMGo	Ltu	"			Eisenkonkretionen	
98		-360	MGr	Ltu	10YR4/4				
98		>360						Kernverlust	
99	17	-20	MAh	Ls	10YR3/2				210
99		-185	MG	Ls	10YR4/3				
99		-245	IIIMG	Sl	"				
99		-295	IIIMG	Ls	"				
99		-300	IVMG	Sl	"				
99		-355	VMG	Ls	"				
99		-410	VIMG	Sl	"			Ls-gebändert	
99		-430	VIIIMGor	Lsu	10YR5/2			+ G	
100	17	-15	MAh	Lsu	10YR3/2	5%	W4-5		193
100		-140	IIM	Ls	10YR4/3				
100		-160	IIIM	Sl	"				
100		-190	IVM	Ls	"				
100		-210	VMGo	Lu+S	"				
100		-250	VIMGo	Ltu	"				
100		-280	VIIMGo	Sl	"				
100		-300	VIIIMGor	Ltu	10YR5/2			starke Oxidfleckung	
100		-310	IXGor	S	"				
100		-335	XMGor	Sl	"				
100		-350	XIMGor	Ls	"				
100		-440	XIIMGor	Ltu	"				
100		-455	Gr	Ltu	5B4/1			Eisenkonkretionen	
100								Pflanzenreste	
100		>455	Gr	S+G					
101	17	-20	MAh	Lu	10YR4/2	5%	W4-5		205
101		-120	MAh	Lu	10YR4/3				

Nr.	Transekt	Tiefe	Horizont	Bodenart	Farbe	Humosität	Wurzel	Bemerkungen	Gw*
101		-130						Kernverlust	
101		-170	IIM	Sl	"				
101		-180	IIIM	Ls	"				
101		-225	IVC	S	10YR4/6				
101		-350	VMG	Ltu	10YR3/3				
101		-365	VIMG	Lsu	"				
101		-385	VIIIG	Ls	10YR5/3				
101		-440	VIIIG	S	10YR4/4				
101		>500						Kernverlust	
102	17	-20	MAh	Lu	10YR3/3	5%	W4-5		190
102		-110	M	Lu	10YR4/3				
102		-160	IIC	Sl	10YR4/4				
102		-240	IIIMGo	Ls	10YR4/4			Lu-gebändert	
102		-250	IVMGo	Lu	10YR4/2				
102		-280	VMGo	Sl	10YR3/4				
102		-350	VIMGo	Ltu	10YR4/2			Eisenkonkretionen	
102		-430	MGo	Ltu	10YR4/1				
102		-465	MGr	Ltu	5B4/1				
102		-505	MGr	Ltu	2,5Y3/0			Holz	
102		-535	VIIIMGr	Sl	"				
102		-575	VIIIIGr	S+G					
103	17	-15	MAaGo	Ltu	10YR3/1	15%	W4		20
103		-50	MGo	Ltu	10YR3/3				
103		-90	MGr	Ltu	5Y4/1				
103		-105	IIIMGr	Sl	10YR4/3				
103		-155	IIIMG	Lu	"				
103		-170	IVMG	Ltu	2,5Y4/2				
103		-185	VMG	Ls	"				
103		-245	VIMGr	Lu+G	2,5Y4/4			Konkretionen	
103		-285	MGr	Lu+G	2,5Y4/0				
103		-430						Kernverlust	
104	17	-20	jYAh	Lsu	10YR3/2	5%	W4-5	Steine	210
104		-225	IIM	Lu	10YR4/2				
104		-290	IIIMGo	Ltu	10YR4/4				
104		-300	IVMGo	Lsu	"				
104		-350	VMGo	Lu	"				
104		-400	VIMGo	Ls	"				
104		-440	VIIIMGo	Ltu	10YR5/3			Eisenkonkretionen	
104		-500						Kernverlust	
105	17	-25	MAp	Ls	10YR4/2	2-3%		Ziegel	60
105		-50	IIM	Lsu	"				
105		-85	IIIMGo	Ltu	10YR3/3				
105		-245	MGo	Ltu	10YR4/3			Lu-,Su-gebändert	
105								Oxidflecken	
105		>245						Kernverlust	
106	17	-25	MAp	Ls	10YR4/2	2-3%	W3-4	Kiese	135
106		-90	IIM	Lsu	10YR4/3				
106		-105	IIIM	Lu	"			Kiese	
106		-195	IVMGo	Ltu	10YR4/2				
106		-260	MGo	Ltu	10YR3/3			Lu-gebändert	
106		>260						Kernverlust	
107	17	-15	MAh	Lu	10YR3/2	7%	W4-5		240

Nr.	Transekt	Tiefe	Horizont	Bodenart	Farbe	Humosität	Wurzel	Bemerkungen	Gw*
107		-75	M	Lu	10YR4/2				
107		-140	M	Lu	10YR4/4				
107		-230	IIMG	Tu	10YR3/1				
107		-260	IIIMG	Ltu	10YR4/4			starke Oxidflecken	
107		-290	MG	Ltu	"			LS-gebändert + G	
107		-330	IVG	G					
108	17	-25	MAp	Lu	10YR3/2	3%	W4	Kunststoffe + G	160
108		-70	IIM	Ltu	10YR3/3				
108		-170	IIIMGo	Tu	10YR3/2			Oxidflecken	
108		-260	IVMGo	Ltu	10YR4/3				
108		-280	VMGo	Sl	10YR4/6			starke Oxidflecken	
108		-295	VIMGr	Ltu	10YR5/1				
108		-315	VIIGr	Sl+G	"			Ltu-gebändert	
108		-350						Kernverlust	
109	17	-15	MAaGo	Ltu	10YR2/1	15%	W3	H2S-Geruch	0
109		-30	MGr	Ltu	10YR3/2				
109		-130	MG	Ltu	5Y4/1			Pflanzenreste	
109								Eisenkonkretionen	
109		-170						Kernverlust	
110	17	-15	AaG	Ltu	10YR2/1	15%			5
110		-30	MGr	Ltu	10YR3/2				
110		-50	MGr	Ltu	2,5Y4/2				
110		-130	IIMGr	Lsu+G	2,5Y4/4				
111	17	-15	MAh	Lsu	10YR3/2	5%	W4	Kiese, Steine, Müll	-
111		-90	M	Lsu	10YR3/3				
111		-105	IIM	Ltu	10YR3/2			Kiese	
111		-115	IIIM	Lu	10YR4/3			schwach kalkhaltig	
111		-165	IVM	Ls	"			kalkhaltig	
111		-175	VC	S	10YR5/6			kalkhaltig	
111		-190	VIM	Ls	10YR5/4			kalkhaltig	
111		>190	VIIC	S+G	10YR6/3			stark kalkhaltig	
112	17	-30	Ap	Lsu	10YR3/2	2-3%	W3-4	Kiese, kalkhaltig	-
112		-90	Ah	Lsu	10YR3/1			Kiese, kalkhaltig	
112		-120	IIC	Ls	10YR5/4			kalkhaltig +S+G	
112		>120	IIIC	Ls+S+G	"				
113	18	-30	Ap	Sl	10YR4/2	2-3%	W2-3	Steine	-
113		-70	M	Sl	10YR4/4				
113		-80	M2	Sl	10YR3/3				
113		>80	C	S	10YR5/4				
114	18	-30	MAp	Lsu	10YR3/2	2-3%	W3	Steine	-
114		-90	M	Lsu	10YR3/2				
114		-190	IIM	Ltu	10YR3/1			kalkhaltig, Lu-gebändert	
114		-240	IIIM	Lsu	10YR5/4			S-gebändert, kalkhaltig	
114		>240	C	S+G	10YR6/4				
115	18	-15	MAh	Lu	10YR3/2	5%	W4-5		100
115		-50	M	Lu	10YR3/3				
115		-105	IIMGo	Ltu	10YR3/1			zunehmende Oxidflecken	
115		-145	IIIMGo	Lsu	10YR6/4			LS-,Sl-gebändert	
115								kalkhaltig	
115		>145						Kernverlust	
116	18	-15	MAh	Lu	10YR3/2	5%	W4-5		136
116		-95	M	Lu	10YR3/3				

Nr.	Transekt	Tiefe	Horizont	Bodenart	Farbe	Humosität	Wurzel	Bemerkungen	Gw*
116		-125	IIM	Lsu	10YR4/2				
116		-210	IIIMG	Lu	10YR4/3			Oxidflecken	
116		-280	IVMG	Tu	10YR3/1			Eisenkonkretionen	
116		-320	MG	Tu	N4				
116		-340	VG	S+G	5Y5/1				
116		>340						Kernverlust	
117	18	-10	MAh	Ltu	10YR3/2	5%	W4		90
117		-90	MG	Ltu	10YR3/3				
117		-190	MG	Ltu	10YR4/4			Kiese, Ls-, Sl-gebändert	
117		-250	IIG	Sl	10YR5/4				
117		>250						Kernverlust	
118	18	-25	jYAp	Lu	10YR3/2	2-3%	W3	gekalkt, Asche, Ste	130
118		-60	IIM	Ltu	10YR4/2				
118		-205	MGo	Ltu	10YR4/4			Lu-,Ls-gebändert	
118								Grobkiese,Oxidfleckung	
118		-235	IIIMG	Lsu	5Y5/1			Sl-,Ls-gebändert	
118		>235	G	S+G					
119	18	-25	MAp	Lsu	10YR3/3	2-3%	W2-3	Kiese	215
119		-75	IIM	Lu	"				
119		-245	IIIMG	Ltu	10YR3/3			Ls-gebändert	
119		-305	IVMGo	Lsu	10YR4/3			Eisenkonkretionen	
119		>305	VG	S+G	"				
120	18	-25	jYAp	Ls	10YR4/2	2-3%	W2-3	Kalk, Steine	136
120		-80	M	Ls	10YR4/3				
120		-125	IIIMG	Lsu	"			Kiese	
120		-220	IIIMG	Ls	"				
120		-275	IVMG	Ltu	"			Lsu-gebändert	
120								Pflanzenreste	
120		-305	VMG	Ls	"				
120		-420	VIMG	Ltu	10YR3/3				
120									
120		-460	MGr	Ltu	5Y4/1				
120		>460						Kernverlust	
121	-	4	Oh					Rohhumusauflage	-
121		-3	Aeh	Sl	10YR3/1				
121		-20	Ahe	Sl	10YR3/3			Steine	
121		-60	Bv	Sl	10YR4/4			Kiese	
121		-86	C	S	10YR5/4				
121		>86	IIC	S	10YR5/6				
122	18	-15	MAh	Ls	10YR3/3	3-5%	W2-3		195
122		-95	M	Ls	10YR4/2			+ G	
122		-115	IIM	Lsu	10YR3/3			Ls-gebändert	
122		-225	IIIMG	Ltu	10YR4/2				
122		-235	IVMG	LSu	"				
122		>235						Kernverlust	
123	18	-15	MAh	Ls	10YR3/2			Steine	240
123		-30	M	Ls	10YR4/3				
123		-100	IIM	Lsu	"				
123		-235	IIIC	S+G	10YR5/4				
123		-270	IVM	Ls	10YR4/2				
123		-430	VM	Ltu	"				
123		-435	VIMGr	Lsu	5Y5/1				

Nr.	Transekt	Tiefe	Horizont	Bodenart	Farbe	Humosität	Wurzel	Bemerkungen	Gw*
123		-445	VIIG	Sl	7,5YR4/4				
123		-530						Kernverlust	
124	18	-10	MAh	Lsu	10YR3/2	2-3%	W2-3		245
124		-95	IIM	Ls	10YR4/3				
124		-165	IIIC	S+G	n.b.				
124		-180	IVM	Lsu	10YR4/2				
124		-215	VC	S	10YR4/4				
124		-270	VIMG	Lsu	10YR4/3				
124		-300	VIIMG	Ltu	"				
124		-350						Kernverlust	
124		-400	VIIIMG	Lsu	"			Ls-gebändert	
124		-430						Kernverlust	
124		-500	IXG	Ls	10YR4/4			Lsu-,Sl-,Ltu-gebändert	
125	18	-15	MAh	Ls	10YR3/3	2-3%	W3-4		253
125		-190	M	Ls	10YR4/3				
125		-245	IIG	S	10YR4/4			Sl-gebändert	
125		-305	IIIMG	Ls	10YR4/3			+ G	
125		-330	IVMG	Lsu	"				
125		-480	VMG	Ltu	"				
125		>480						Kernverlust	
126	18	-10	MAh	Lsu	10YR3/2	5%	W4	Steine	210
126		-40	IIM	Ls	10YR3/3			mit Sandlinsen	
126		-140	IIIC	S+G	10YR4/6				
126		-160	IVM	Ls	10YR4/3				
126		-180	VG	S	"				
126		-290	VIG	Sl	"			S-Bänder	
126		>290	VIIG	S+G	"				
127	18	-15	MAh	Lsu	10YR3/2	5%	W4		230
127		-90	IIM	Ls	10YR3/3				
127		-135	IIIC	S+G	10YR4/4				
127		-190	IVG	Sl	10YR4/4				
127		-230	VG	S+G	10YR4/4				
127		-290	VIMG	Sl	"				
127		-350	VIIMG	Ltu	10YR4/3				
127		-365	VIIIMG	Ls	"				
127		-470	IXMG	Lsu	"			Oxidfleckung	
127		-485	MGr	Lsu	5Y6/1				
127		>485						Kernverlust	
128	19	-15	MAh	Lu	10YR3/2	5%	W4		223
128		-95	IIM	Lsu	10YR4/3				
128		-130	IIIMSl	Sl	10YR4/4				
128		-150	IVM	Us	10YR4/3				
128		-290	VMG	Ltu	10YR4/4				
128		-330	VIG	S	10YR4/3				
128		-360	VIIMG	Ltu	"				
128		-390	VIIIG	Sl	10YR5/3				
128		-400	IXG	S+G	-				
129	19	-20	MAh	Lu	10YR3/2	5%	W3-4		90
129		-90	IIM	Sl	10YR4/3				
129		-275	IIIMG	Ltu	10YR4/2			Konkretionen	
129		-350	MG	Ltu	5Y5/1			Konkretionen	
129		-360	IVMGr	Lu	"				

Nr.	Transekt	Tiefe	Horizont	Bodenart	Farbe	Humosität	Wurzel	Bemerkungen	Gw*
129		-385	VMGr	Sl	5Y6/1				
129		>385	G	G					
130	19	-15	MAh	Lu	10YR3/2	5%	W4-5		180
130		-90	IIM	Lsu	10YR4/4				
130		-170	IIIMG	Sl	10YR4/2				
130		-310	IVMG	Ltu	"				
130		-320	VG	Sl	"				
130		>320						Kernverlust	
131	20	-10	MAh	Us	10YR3/1	5%	W3-4	+ G	243
131		-80	IIM	Sl	10YR3/3			Sandlinsen	
131		-135	IIIM	Ls	"				
131		-205	IVM	Sl	"				
131		-235	VMG	Ltu	"				
131		-270	VIMG	Lsu	"				
131		-285	VIIG	Sl	10YR4/4				
131		-480	VIIIMG	Ltu	10YR3/2			Eisenkonkretionen	
131		-520	MGr	Ltu	2,5Y3/0			Sl-gebändert	
131		>520						Kernverlust	
132	20	-25	MAh	Ls	10YR3/2			Kiese	130
132		-60	IIM	Sl	10YR4/3				
132		-80	IIIM	Ls	"				
132		-120	IVM	Lsu	"				
132		-320	VMG	Ltu	10YR4/2			Oxidfleckung	
132		-345	VIMG	Lsu	10YR5/2				
132		>345						Kernverlust	
133	20	-15	Mah	Lsu	10YR3/2	5%	W3-4		190
133		-40	IIM	Ls	10YR4/3				
133		-85	IIIM	Lu	"				
133		-155	IVC	S	10YR4/6				
133		-380	VMG	Ltu	10YR4/2				
133		-400	VIMGr	Lsu	10YR5/1				
133		>400						Kernverlust	
134	21	-10	MAh	Ltu	10YR3/2	5%	W3-4		195
134		-215	IIIMG	Lu	10YR4/2				
134		-345	IIIMG	Ltu	10YR 3/2			Eisenkonkretionen	
134		-365	IVMG	Lsu	10YR4/3				
134		-390	VMG	Sl	10YR5/2			Lsu-gebändert	
134		-400	VIMG	Lsu	10YR4/3				
134		-455	VIIIMGr	Lu	N4				
134		-500	VIIIMGr	Ltu	5Y3/1			Sl-gebändert	
134		>500						Kernverlust	
135	21	-15	MAhG	Ltu	10YR4/2	5%	W4		130
135		-350	MGo	Ltu	10YR4/3			Konkretionen	
135								Lsu-gebändert	
135		-385	MGo2	Ltu	10YR5/2			stark oxidfleckig	
135		-415	MGr	Ltu	5BG4/1				
135		-445	MGr2(F)	Ltu	2,5Y3/1				
135		-510	IIGr	Sl	"			Lsu-,Ls-gebändert	
135		>510	IIIIGr	S+G	n.b.				
136	21	-10	MAh	Ltu	10YR4/2	5%	W4		200
136		-385	MG	Ltu	10YR4/3				
136		-400	IIIMG	Lsu	"				

Nr.	Transekt	Tiefe	Horizont	Bodenart	Farbe	Humosität	Wurzel	Bemerkungen	Gw*
136		-460	IIIg	S	10YR4/4				
136		-495	IIIMGr	Ls	2,5YR3/0				
136		>495						Kernverlust	
137	21	-10	MAh	Lu	10YR3/2				180
137		-155	M	Lu	10YR4/3				
137		-180	IIMG	Lsu	"				
137		-340	IIIMG	Ltu	10YR4/2			Eisenkonkretionen	
137		-350	MG	Ltu	10YR5/3			S-gebändert	
137		-375	IVMG	Lsu	"			Eisenkonkretionen	
137		>375						Kernverlust	
138	21	-15	MAh	Lu	10YR4/2	2-3%	W3-4		230
138		-60	M	Lu	"				
138		-80	IIM	Lsu	"				
138		-95	IIIM	Ls	"				
138		-200	IVM	Ltu	"				
138		-240	VMG	Ls	10YR4/3				
138		-280	VIMG	Sl	"				
138		-300	VIIG	S+G					
139	-	4						Rohhumus	-
139		-15	Ahe	Sl	10YR3/2	2-3%	W4	Kiese + Steine	
139		-30	Bv1	Sl	10YR4/3				
139		-75	Bv2	Ls	"				
139		>75	C	S+G					
								*Gw=Grundwasser-	
								stand in [cm]	



- 9.1 Anhang Teil I:**
  - Geogene Hintergrundwerte**
    - Zahlentafeln und graphische Darstellungen**
- 9.1.1 Sondierungsergebnisse der untersuchten Transekte**
- 9.1.1.3 Einflußbereich des Erzgebirges (Tangermünde)**

Nr.	Transekt	Tiefe	Horizont	Bodenart	Farbe	Humosität	Wurzel	Bemerkungen	Gw*
142	22	-15	MAh	Lu	10YR3/1	4-8%	W5		53
142		-25	IIC	S	10YR4/2		W2		
142		-80	IIIM	Ls3	10YR3/1			Lu-, S-Bänder	
142		-100	IVC	S	10YR4/3			Lu-Bänder	
142		-170	VC	S	10YR3/2			Ltu-Bänder	
142		-200	VIMGo	Ltu	10YR4/2			Oxidfleckung	
142		>200	VII G	S	10YR3/2				
143	22	-10	MAh	Lu	10YR3/1	5%	W4		170
143		-25	IIMah	Ls	10YR3/1	5%	W2	S-Bänder	
143		-30	IIC	S	10YR4/2				
143		-100	M	S	10YR3/2			fG-,Lu-Bänder	
143		-105	C	S	10YR5/3			sehr dunkel	
143		-130	M	S	10YR3/3			Lu-Bänder	
143		-260	C	S	10YR5/3				
143		-290	IVG	mS	10YR4/4				
143		-295	VMG	Ltu	10YR4/2			Oxide, S-Bänder	
143		-370	VIG	S	10YR4/2			Ltu-Band bei 265	
143		>370	G	S	10YR4/2				
144	22	-50	MAh	Lu	10YR3/1	4-8%	W4	S-Bänder	85
144		-85	MGo	Lu	10YR3/2	2-4%		Oxide	
144		-160	IIIMGo	Ltu	10YR3/2				
144		-300						Kernverlust	
145		-30	MAh	Lu	10YR3/1	4-8%	W5	Plastik	
145		-95	M	Lu	10YR3/2	4%			
145		-110	IIC	Sl2	10YR4/2			Lu-Bänder	
145		-120	IIIM	Lu	10YR4/2				
145		-140	IVC	Sl2	10YR4/2				
145		-210	VMG	Lu	10YR4/2			Oxidfleckung	
145								S-Bänder	
145		>210	VIG	S	10YR4/2				
146	22	-30	MAh	Lu	10YR3/1	4-8%	W5		90
146		-70	MGo	Lu	10YR3/2				
146		-200	IIG	S	10YR4/3			Lu-Bänder	
146		-260	IIIG	S+fG+mG	10YR4/3				
147	22	-20	MAh	Lu	10YR3/1	4-8%	W5		120
147		-90	M	Lu	10YR3/2				
147		-120	MGo	Lu	10YR3/2			Oxide	
147		-240	IIG	S	10YR5/3				
147		-300	G	S	10YR4/4				
148	22	-15	MAh	Lu	10YR3/1	4-8%	W5		120
148		-75	M	Lu	10YR3/2				
148		-175	IIC	S	10YR4/3				
148		-235	C2	S	10YR3/3			kiesig	
148		-400	C3	S	10YR4/4				
149	22	-25	MAa	Lu	10YR3/1	15%	W3-4		20
149		-60	IIC	S	10YR4/1			kiesig	
149		>60	C2	S	10YR3/4				
150	22	-15	MAh	Lu	10YR3/1	4-8%	W5		60
150		-65	MGo	Lu	10YR4/2				
150		-95	IIG	S	10YR4/2			Lu-Bänder	
150		-120	G2	S	10YR2/1				
150		-125	G3	S	7,5YR3/3				

151	22	-15	MAh	Lu	10YR3/1	4-8%	W5		
151		-65	M	Lu	10YR4/2				
151		-85	MGo	Lu	10YR4/2			Oxidfleckung	
151		-105	IIG	S	10YR4/3			Lu-Bänder	
151		>105	G	S	10YR4/3				
152	22	-10	MAh	Lu	10YR3/1	4-8%	W5		60
152		-20	rAaG	Lu	10YR3/1	15%			
152		-80	IIMGo	Ltu	10YR4/2				
152		-100	IIIG	S	10YR4/4			Ltu-Bänder	
152		-165	G	S	10YR4/4				
152		-170	IVGrFu	U	Gley1:4/N				
152		>170	VG	S	10YR4/4				
153	22	-10	MAh	Lu	10YR3/1	4-8%	W5		30
153		-15	rAa	Lu	10YR3/1	15%	W5		
153		-65	IIMG	Ltu	10YR4/1				
153		-95	IIIG	S	10YR4/2			Ltu-Bänder	
153		-200	G	S	10YR4/2				
154	22	-10	MAh	Lu	10YR3/1	3-4%	W4		190
154		-50	M	Lu	10YR4/2				
154		-125	IIMGo	Tu	10YR4/2			Oxidfleckung	
154		-200	MGor	Tu	10YR3/1				
154		-250	IIIMGor	Ls2	10YR5/1				
154		-305	IVMGor	Tu	Gley1 3/N			Konkretionen	
154		-350	VG	S	Gley1 3/N				
155	22	-10	MAh	Lu	10YR3/1	4-5%	W5	190	
155		-40	M	Lu	10YR4/2				
155		-135	IIMGo	Tu	10YR4/2			Oxidfleckung	
155		-205	MGor	Tu	10YR3/1				
155		-230	MGor	Tu	10YR4/2				
155		-280	MGor	Tu	Gley1 3/N				
155		-290	IIIG	S	10YR5/1				
155		>290	G	S	10YR5/6			kiesig	
156	22	-15	MAa	Tu	10YR3/1	15%	W4		36
156		-155	MGor	Tu	10YR4/3				
156		-190	IIMGrFu	U	Gley1 3/10Y				
156		-210	IIIMGr	Ls	Gley1 3/10Y				
156		-280	IVFu	U	Gley1 3/10Y			Ls-Bänder	
156		>280	VG	S	Gley1 3/10Y			kiesig	
157	22	-10	MAh	Lu	10YR3/2	3-4%	W5		175
157		-75	IIM	Tu	10YR4/2				
157		-100	MGo	Tu	10YR4/2				
157		-150	IIIMGo	Lu	10YR4/2			Oxidfleckung	
157		-185	IVGo	Sl2	10YR4/4				
157		-215	VG	S	10YR4/4			Konkretionen	
157		-300	G2	S	7,5Y3/4				
158	22	-5	MAh	Ltu	10YR3/2	4%	W4-5		110
158		-60	MG	Ltu	10YR4/2				
158		-140	MGor	Ltu	10YR4/1				
158		-150	IIMGr	Lsu	Gley 1 4/10Y				
158		>150	IIIG	S	Gley 1 4/10Y			kiesig	
159	22	-10	MAh	Ltu	10YR3/2	3-4%	W4		155
159		-80	M	Ltu	10YR4/2				
159		-120	MGo	Ltu	10YR4/4				

159		-210	IIMGo	Lu	10YR4/4			zunehmende	
159								Oxidfleckung	
159		-220	MGr	Lu	Gley1 4/10Y				
159		-240	IIIGr	Sl	Gley1 4/10Y				
159		>240	IVG	S	10YR5/3			kiesig	
160	22	-10	MAh	Ltu	10YR3/2	4%	W4		170
160		-80	M	Ltu	10YR4/2				
160		-105	IIMGo	Ls	10YR4/2				
160		-130	IIIMGo	Ltu	10YR4/2				
160		-200	IVG	S	10YR3/4				
161	22	-5	MAh	Ltu	10YR2/1	8-15%	W4		80
161		-50	jYMGo	Ltu	10YR4/2			viele Kiese	
161		-60	IIMGo	Lu	10YR4/2				
161		-70	MGr	Lu	10YR4/3				
161		>70	IIIG	S	10YR4/3				
162	23	-10	MAh	Lu	10YR3/1	4-8%	W4		85
162		-25	MGo	Lu	10YR4/2	1-2%	W2-3		
162		-60	IIGo	S	10YR4/2				
162		-145	G	S	10YR5/3				
162		-180	IIIGr (F)	Lu	Gley1 3/N				
162		-210	IVGr	S	7,5YR4/4			lehmig gebändert	
162		-250	VGr(F)	Lu	Gley1 3/N			Sl-gebändert	
162		-295	VIIGr	S	Gley1 3/10Y			lehmig gebändert	
162		-310	Gr	S	Gley1 3/N			kiesig	
163	23	-10	MAh	Lu	10YR3/1	8-15%	W4		65
163		-15	MG	Lu	10YR3/2	1-2%			
163		-20	rMAh	Lu	10YR3/1	4-8%			
163		-80	MG	Lu	10YR3/2				
163		-100	IIG	Sl	10YR4/3			Ltu-Bänder	
163		-400	IIIG	S	10YR4/4				
164	23	-15	MAh	Lu	10YR3/1	4-8%	W4-5		95
164		-75	MG	Lu	10YR4/2				
164		-175	IIG	S	10YR5/3			Lu-Bänder	
164		-400	G	S	10YR4/3			kiesig	
165	23	-15	MAh	Ltu	10YR3/1	8-15%	W5		35
165		-60	MG	Ltu	10YR3/1				
165		-95	MGr	Ltu	10YR4/2				
165		-140	IIG	S	10YR6/2				
165		-300	G2	S	7,5YR3/4				
166	23	-15	MAh	Lu	10YR3/1	4-8%	W4		90
166		-20	IIM	Ls	10YR3/1	4%			
166		-30	IIIM	Lu	10YR3/1	4%			
166		-70	MG	Lu	10YR4/2				
166		-105	IVMG	Sl	10YR4/2			Lu-, S-Bänder	
166		-240	VG	S	10YR5/3				
166		>240	G2	S	10YR4/4				
167	23	-15	MAh	Lu	10YR3/1	4-8%	W4		55
167		-80	IIMGo	Ltu	10YR4/2				
167		-100	IIIMG	Sl	10YR4/2			Lu-Bänder	
167		>100	IVG	S	10YR4/4			kiesig	
168	23	-10	MAh	Lu	10YR3/1	4-8%	W4		150
168		-65	IIMGo	Ltu	10YR4/2				
168		-135	IIIM	S	10YR4/4			Ls-Bänder	

168		-155	IVMG	Lu	10YR4/2				
168		-170	VG	S	10YR4/3				
168		-180	VIMG	Ltu	10YR4/2				
168		-400	VII	S	10YR4/3				
169	23	-20	MAh	Lu	10YR3/1	4-8%	W4	nicht erbohrt	
169		>20	yY					Ziegel, Scherben	
170	23	-10	MAh	Lu	10YR3/1	4-8%	W4		180
170		-55	IIM	Ls	10YR4/2			Scherben	
170		-125	IIIM	Sl	10YR4/2			S-Bänder	
170		-165	IVMG	Lsu	10YR4/2				
170		-175	VMG	Lu	10YR4/2				
170		>175	VIG	S	10YR4/2				
171	23	-50	MAhG	Lu	10YR3/1	8-15%	W4		25
171		-135	MG	Lu	10YR3/2				
171		>135	IIG	S	10YR4/2				
172	23	-15	MAh	Lu	10YR3/1	4%	W4		135
172		-60	M	Lu	10YR3/1				
172		-90	IIM	Ls	10YR3/1				
172		-145	IIIM	S	10YR5/4			lehmig gebändert	
172		-185	G	S	10YR3/3				
172		-190	IVM	Lu	10YR3/2				
172		-230	VG	S	10YR3/2				
172		-235	VIGor	Sl	10YR3/2				
172		-245	VIIG	S	10YR4/4				
172		-280	VIIIgor	Lu	10YR3/2				
172		>280	IXG	S	10YR3/2			kiesig	
173	23	-5	MAh	Ls	10YR3/1	2-3%	W3-4		60
173		-10	IirMAh	Sl	10YR3/1	2-3%	W3-4	S-Band	
173		-15	IIIC	S	10YR4/2				
173		-20	IVM	Sl	10YR3/1				
173		-25	VM	Lu	10YR3/1			S-Band	
173		-30	VIC	S	10YR4/2				
173		-65	C2	S	10YR2/1				
173		-70	VIIMG	Ls	10YR3/1				
173		>70	VIIIG	S	10YR4/2				
174	24	-15	MAh	Ltu	10YR3/1	8-15%	W4-5		65
174		-65	MG	Ltu	10YR4/2				
174		-300	IIG	S	10YR4/4				
175	24	-15	MAh	Lu	10YR3/1	4%	W5		110
175		-50	MG	Lu	10YR4/2				
175		-120	IIC	S	10YR4/4			Lu-Band	
175		-300	G	S	10YR4/4				
175		-400	G2	S	Gley1 3/10Y			Organiik in 300 cm	
176	24	-15	MAh	Lu	10YR3/1	4%	W3-4		130
176		-55	MG	Lu	10YR4/2				
176		-60	IIG	S	10YR4/2				
176		-120	IIIMG	Lu	10YR4/2				
176		-165	IVG	S	10YR4/2				
176		-185	G2	S	10YR4/6				
176		-190	VMG	Lu	10YR4/1				
176		-220	VIG	Sl	10YR5/4				
176		-330	VIIG	S	10YR5/4				
176		>330	G2	S	Gley1 3/N			Lu-gebändert	

177	24	-10	MAh	Lu	10YR3/1	4%	W4		85
177		-95	MG	Lu	10YR4/2			Konkretionen	
177		-105	IIG	S	10YR5/3				
177		-150	IIIMGor	Lu	10YR4/3			starke Fleckung	
177		-175	Gr	Lu	2,5Y5/2				
177		>175	IVG	S	10YR4/4				
178	27	-5	MAhGo	Ls	10YR3/2	4-8%	W5	kalkige Kiese	70
178		-60	IIMGo	St	10YR4/3			Ls-gebändert	
178		>60	IIIG	S	10YR4/3				
179	27	-5	MAhGo	Tu	10YR4/2	4-8%	W5		80
179		-100	MGo	Tu	2,5Y4/2			kalkige Kiese	
179		>100	IIG	S	Gley1 5/N				
180	27	-5	MAh	Ls	10YR4/2	4-8%	W5	kalkige Kiese	115
180		-30	M	Ls	10YR4/2				
180		-100	IIM	Tu	10YR4/2				
180		-190	MGo	Tu	10YR4/2			S-Bänder	
180		-220	MGr	Ls	Gley1 5/N				
180		-365	GR(F)	Ut	Gley1 3/10Y			S-Bänder	
180								Pflanzenfasern	
180		>365						Kernverlust	
181	27	-5	jYMAh	Tu	10YR3/2	4-8%	W5	Grobkiese	50
181		-15	jYGo	Tu	10YR4/2			Kiese und Organik	
181		-80	MGo	Tu	10YR4/2				
181		>80	G	S	10YR4/4				
182		-10	MAhG	Ls	10YR3/1	8-15%	W5		5
182		-135	IIIMGor	Tu	10YR4/1				
182		-155	MGr	Tu	Gley 1 4/N				
182		-280	MGr2	Tu	Gley 1 3/N			mehr org. Substanz	
182		-290	IIIF	Ut	10YR2/2				
182		-365	IVG	S	10YR4/2				
183		-10	MAhG	Ls	10YR3/1	8-15%	W5		20
183		-95	IIIMGor	Tu	10YR3/2			Konkretionen	
183		-240	MGor2	Tu	Gley1 2,5/N				
183		-250	IIIMGr	Ls	Gley1 2,5/N				
183		-300						Kernverlust	
184	25	-20	MApGo	Tu	10YR3/2	2-4%	W5		70
184		-95	MGo	Tu	10YR4/3				
184		-175	MGor	Tu	2,5Y4/1				
184		-230	MGr	Tu	Gley1 3/10Y				
184		-250	IIMGr	Ls	Gley 1 5/N			S-Bänder	
184		-330	IIIG	S	Gley 1 5/N				
184		-340	IVF	Ut	2,5Y4/1				
184		-465	F2	Ut	5Y2,5/1			Niedermoor?	
184		-480	VG	S	5Y2,5/1				
184		-500						Kernverlust	
185	25	-20	MApGo	Ts	10YR3/2	2-4%	W5	Ziegelstücke	70
185		-50	MGor	Ts	2,5Y4/2				
185		-120	IIMGo	Tu	2,5Y4/2				
185		-140	IIIMGo	Ls	7,5Y4/6				
185		-155	IVG	S	2,5Y5/2				
185		-250	VMGr	Tu	Gley 3 3/u				
185		-400						Kernverlust	
186	25	-20	MApGo	Tu	10YR3/2	2-4%	W5		110

186		-240	MGor	Tu	2,5Y5/2				
186		-250	G	S	2,5Y5/2				
186		-260	MGr	Tu	Gley 1 3/N				
186		-500						Kernverlust	
187	25	-20	MApGo	Tu	10YR3/2	2-4%	W5		100
187		-40	IIMGo	Ts	2,5Y4/2				
187		-95	IIIMGor	Tu	2,5Y4/2				
187		-135	IVMGr	Lu	10YR4/1				
187		>135	VG	S	Gley 1 4/N				
188	25	-20	MApG	Ts	10YR3/2	2-4%	W5	Feinkiese	100
188		-60	MGo	Ts	2,5Y4/2				
188		-155	IIMGor	Tu	Gley1 4/N			fleckig	
188		-255	IIIGr	S	Gley1 4/N			SI-Bänder	
188		-270	IVMGr	Tu	Gley 1 3/N				
188		-300	VG	S	Gley 1 3/N				
189	25	-20	MApGo	Tu	10YR3/2	2-4%	W5		70
189		-95	MGo	Tu	10YR4/3				
189		-175	MGor	Tu	2,5Y4/1				
189		-230	MGr	Tu	Gley1 3/10Y				
189		-365	IIG	S	Gley1 5/N			Ls-Bänder	
189		-460	IIIFut	Ut	2,5Y4/1				
189		>460	IVG	S	5Y2,5/1				
190		-2	Ahe	S	10YR3/1	1-2%	W4		
190		-10	Cv	S	10YR4/2				
190		-90	C	S	10YR4/2			Feinkiese	
190		-200	C2	S	10YR4/6				
191		-35	Ap	S	10YR3/2	1-2%			
191		-100	C	S	10YR4/4				
192		-35	Ap	Sl	10YR3/2	1-2%			
192		-80	C	S	10YR5/3				
193		-40	Ap	Ls	10YR3/2	1-2%			
193		-75	G	Ls	10YR4/3				
193		-200	IIG	S	10YR5/3				
212	26	-40	MAp	Ls	10YR3/2	1-2%			
212		>40	IIC	S	20YR4/3				
213	26	-40	MAp	Ls	10YR3/2	1-2%			
213		>40	IIC	S	20YR4/3				
214	26	-40	MAp	Ls	10YR3/2	1-2%			185
214		-85	IIC	S	20YR4/3				
214		-100	IIIMG	Ls	10YR4/6				
214		-110	IVG	S	10YR4/6				
214		-125	VMG	Ls	10YR4/3				
214		>125	VIG	S	10YR4/6				
215	26	-25	MAp	Ls	10YR3/2	1-2%			125
215		-40	M	Ls	10YR4/2				
215		-100	IIMG	Tu	10YR4/2				
215		>100	IIIG	S	10YR4/6				
216	26	-35	Ap	S	10YR3/2	1-2%			155
216		-65	C	S	10YR4/4				
216		-143	IIMGor	Tu	10YR4/2				
216		-175	IIIMGr	Ls	2,5Y5/2				
216		>175	IVG	S	2,5Y5/2				
217	26	-25	MAp	Ls	10YR3/2	1-2%			155

217		-75	MGo	Ls	10YR3/2				
217		-180	MGo2	Ls	10YR3/2			S-Bänder	
217		-265	IIG	S	2,5Y5/2				
217		-270	IIIMGr	Ls	Gley1 3/10Y				
217		-300	IVG	S	2,5Y5/2				
218	26	-10	MAh	Ls	2,5Y3/1	4-8%	W4		40
218		-75	MGo	Lu	10YR4/4				
218		-200	G	S	Gley 1 5/M			S-Bänder	
219	26	-40	MAp	Ls	10YR3/2	2-4%			135
219		-100	MGo	Ls	10YR4/4				
219		-200	IIG	S	10YR5/3			Ls-Bänder	
220	26	-35	MAp	Ls	10YR3/2	2-4%			170
220		-80	MGo	Ls	10YR4/4				
220		-140	IIIMGo	Tu	10YR4/3				
220		-160	IIIGo	Sl	10YR4/3				
220		-200	IVG	S	10YR4/4				
221	26	-35	MAp	Ls	10YR3/2	1-2%			180
221		-85	MGo	Ls	10YR3/3				
221		-200	G	S	10YR4/4				
Bohrungen im erweiterten Untersuchungsgebiet									
südlich der Bundesstraße Tangermünde-Rathenow am Klinkgraben									
194	28	-5	MAh	Ts	10YR2/2	4-8%	W5		
194		-50	MGo	Ts	10YR3/1				
194		-75	IIG	S	2,5Y5/4				
194		-145	Gr	S	Gley1 4/10Y				
195	28	-10	MAa	Ts	10YR2/1	15%	W5		65
195		-50	MG	Ts	10YR2/1				
195		-75	Gr	Ts	Gley1 5/10Y			Fasern	
195		-120	IIGr	S	Gley1 5/10Y			T-Bänder	
195								Organik	
195		>120	G	S	Gley1 5/10Y				
196	28	-5	MAh	Ts	10YR2/1	8-15%	W5		75
196		-45	MG	Ts	10YR2/1				
196		-55	MGr	Ts	Gley1 5/10Y				
196		-66	IIGr	Lu	Gley1 5/10Y				
196		-110	IIIG	S	Gley1 5/10Y			Feinkies, Holzreste	
Bohrungen im erweiterten Untersuchungsgebiet südlich der Bundesstraße Tangermünde-Rathenow									
am Übergang von der Wuster Geest zur Aue nordwestlich von Schmetzdorf									
197	29	-5	Ahe	S	10YR2/1	1-2%	W4	Geschiebe	
197		-10	Ae	S	10YR3/1			Geschiebe	
197		-35	BC	S	10YR4/3			Geschiebe	
197		>35	C	S	10YR4/6			Geschiebe	
198	29	-50	nH	H9	schwarz			sandig	30
198		-115	nH	H4	dunkelbraun				
198		-155	IIGr	Tu	Gley1 5/10Y			Holzreste	
198		>155	IIIS	S	Gley1 4/10Y				
199	29	-50	nH	H9	schwarz			sandig	60
199		-70	IIGr	Tu	Gley1 5/10Y				
199		>70	IIIG	S	Gley1 4/10Y				



200	29	-30	nHAp	H9	schwarz			sandig	70
200		-45	nH	H9	schwarz				
200		-75	IIMGor	Lu	2,5Y4/2				
200		>75	IIIG	S	2,5Y4/2			Holzreste	
Bohrungen im erweiterten Untersuchungsgebiet südöstlich von Radekin									
201	30	-30	MAp	Ls	10YR4/2	1-2%	W3		135
201		-95	IIMGo	Lu	10YR4/4				
201		>95	IIIG	S	10YR5/2				
202	30	-30	MAp	Ls	10YR4/2	1-2%	W3		135
202		-95	IIMGo	Lu	10YR4/4				
202		>95	IIIG	S	10YR5/2				
203	30	-20	yY					Schlacke	
204	30	-30	MAp	Ls	10YR3/2	1-2%			140
204		-115	MGo	Ls	10YR4/6				
204		-120	MGr	Ls	2,5Y5/2				
204		-140	IIG	S	2,5Y5/2				
204		-150	IIIMGr	Lu	Gley1 4/56Y			Organik	
204		>150	IVG	S	2,5Y5/2				
205	30	-15	MAa	Lu	10YR3/2	15%	W5		85
205		-50	IInH	H4	schwarz			Sl-Bänder	
205		-95	IIIGr	Lu	2,5Y3/1			Organik	
205		-180	IVnH		2,5Y2,5/1			Holzreste	
205		-225	nH		Gley1 2,5/10Y				
205		-230	VG	S	Gley1 2,5/10Y				
205		-240	VIFut	Ut	Gley1 2,5/10Y				
205		-250	VIIG	S	Gley1 2,5/10Y				
205		-260	VIIIFut	Ut	Gley1 2,5/10Y				
205		-300	IXG	S	Gley1 2,5/10Y				
206	30	-40	Ap	Sl	10YR4/2	1-2%			
206		-85	IIC	S	10YR4/3				
206		>85	C2	S	10YR6/4				
206									
Bohrungen im erweiterten Untersuchungsgebiet südwestlich von Genthin am Elbe-Havel-Kanal									
207	31	-2	Ahe	Ls	10YR3/2	1-2%	W4	kiesig	
207		-40	Go	Ls	10YR4/3			Oxidfleckung	
207		-70	IIGo	Ts	10YR4/3			kiesig	
207		>70	IIIG	S	10YR5/3			kiesig	
208	31	-25	Ap	Ls	10YR4/3	1-2%			145
208		-95	Go	Ls	10YR5/4			Sl-,S-Bänder	
208		-200	G	S	10YR5/3				
209	31	-35	Ap	S	10YR4/3	1-2%			
209		-200	G	S	10YR4/6			Ls-Bänder	
210	31	-30	MAp	Ls	10YR4/2	1-2%			115
210		-75	MGo	Ls	10YR4/3				
210		-130	IIMGo	Tu	10YR5/6				
210		-140	Gr	Tu	Gley 1 4/10Y				
210		-145	IIIGr	S	Gley 1 4/10Y				
210		-155	IVGr	Tu	Gley 1 4/10Y				

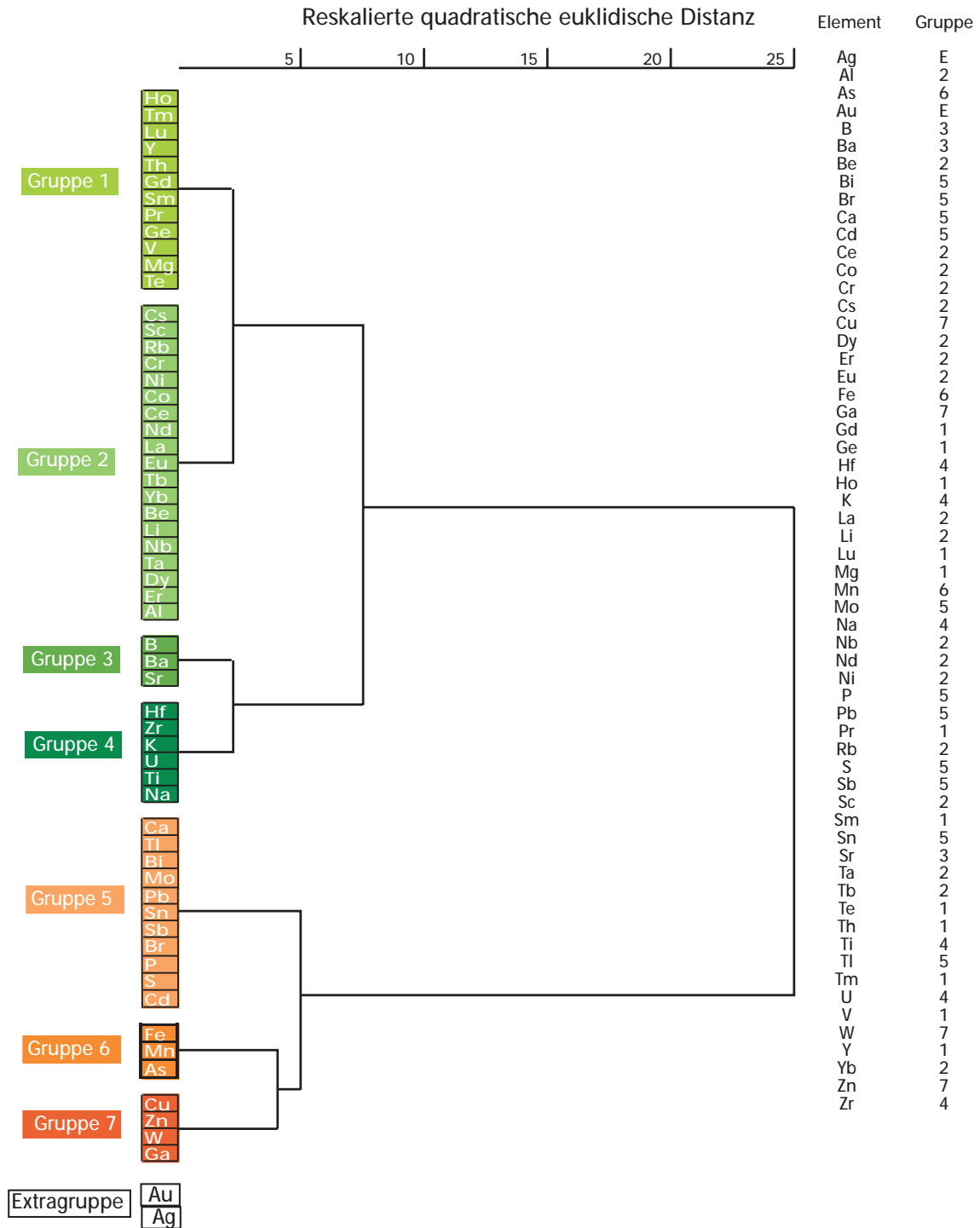
210		-175	VGr	S	Gley 1 4/10Y			
210		-185	VIGr	Tu	Gley 1 4/10Y			
210		-250					Kernverlust	
211	31	-25	MAp	Ts	10YR4/3	1-2%		160
211		-50	MGo	Ts	10YR4/3			
211		-115	IIMGo	Tu	10YR4/4		Konkretionen	
211		-140	MGr	Tu	Gley1 5/10Y			
211		-200	IIIG	S	10YR4/6			



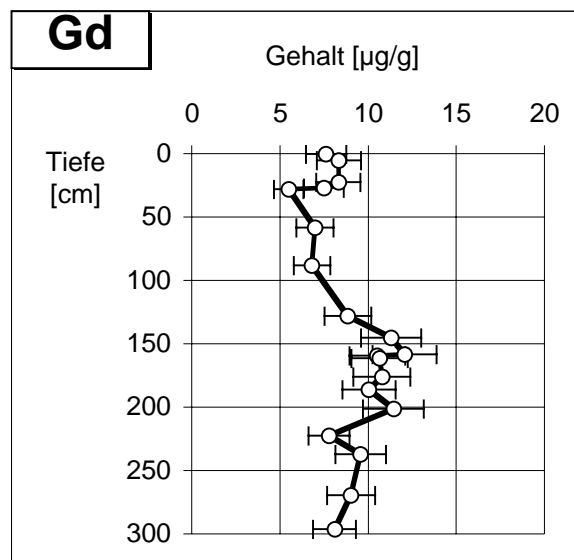
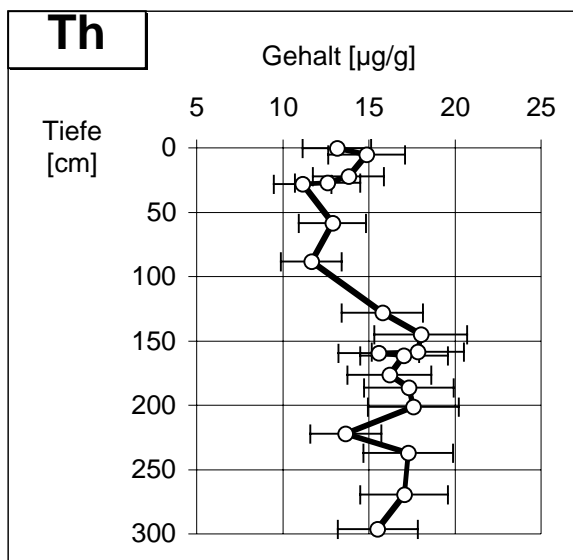
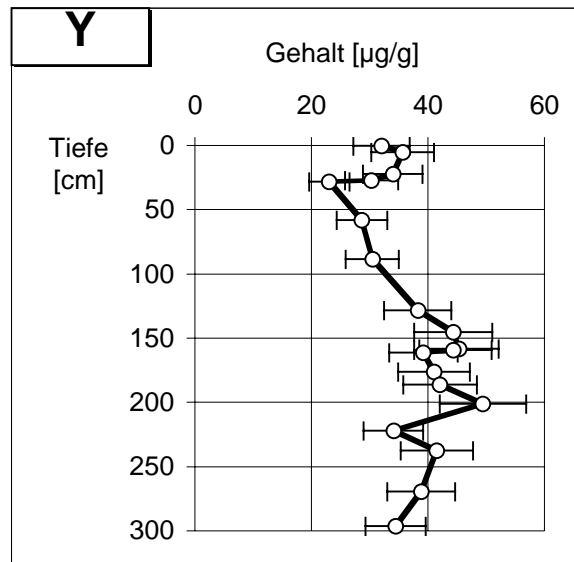
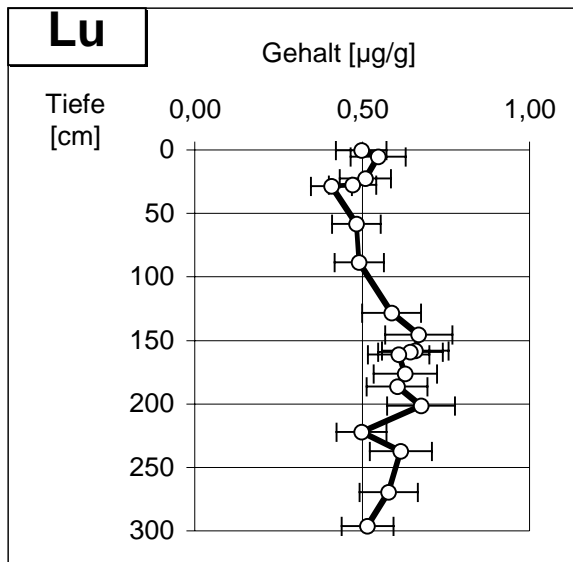
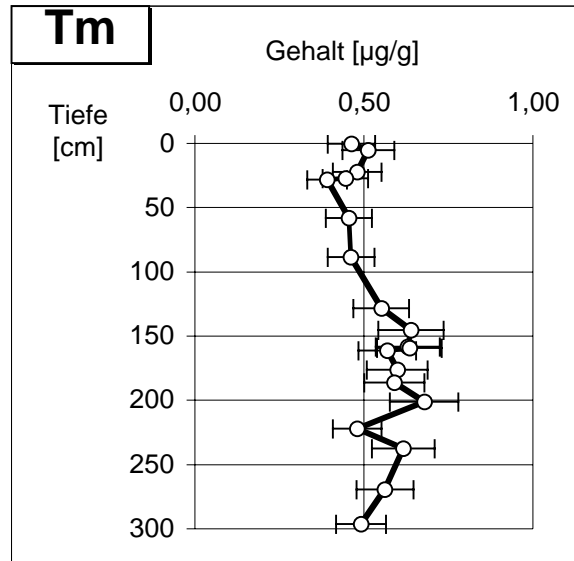
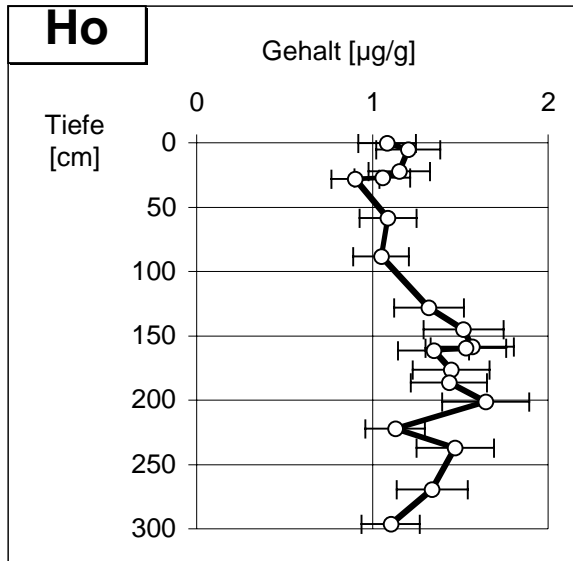
### 9.1.2 Gruppierungen der Elemente und Tiefenprofile

#### 9.1.2.1 Einflußbereich des Riesengebirges (Hradec Králové)

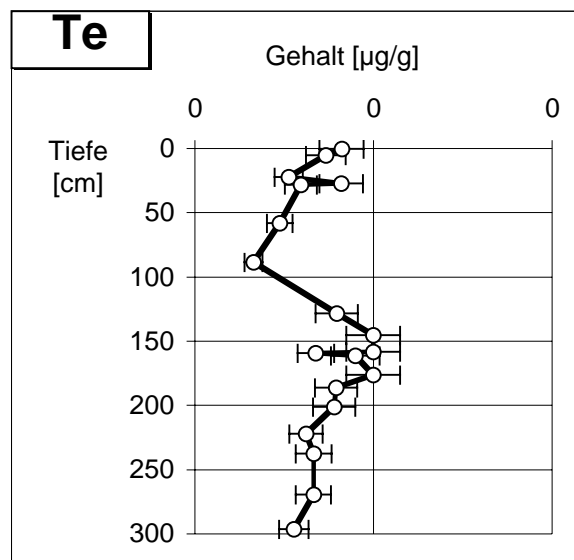
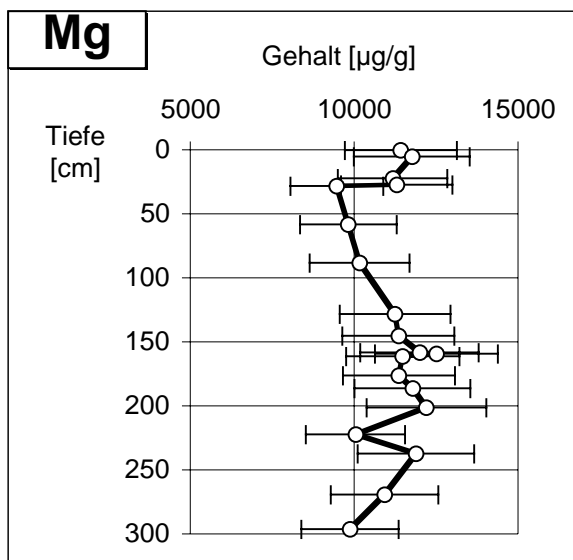
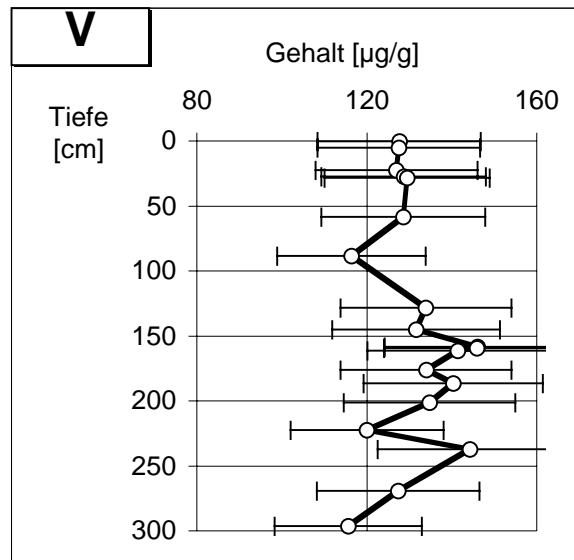
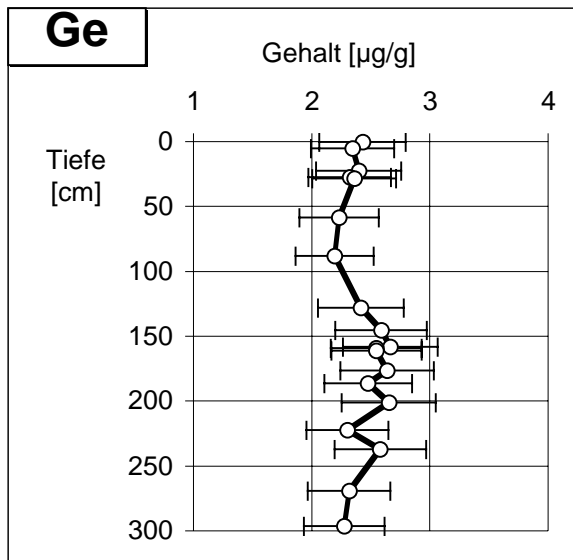
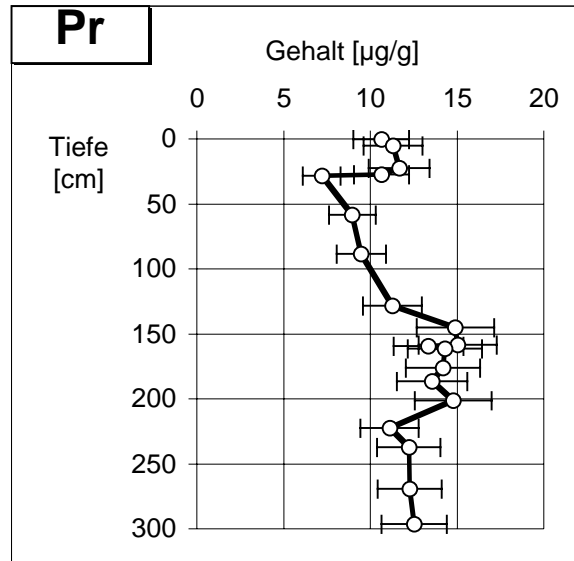
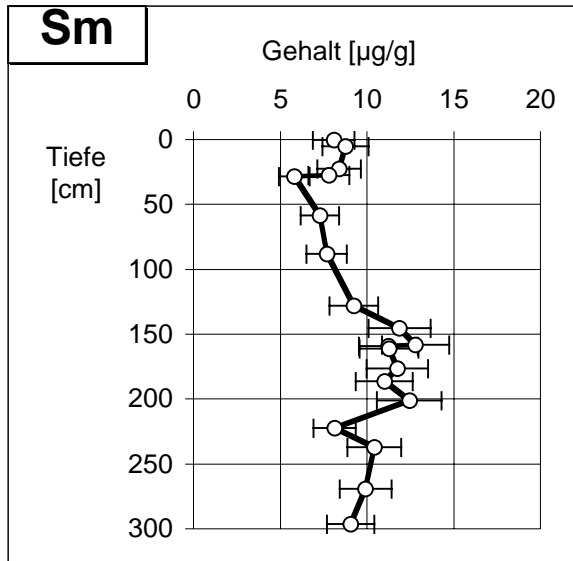
##### 9.1.2.1.1 Auenkern 7



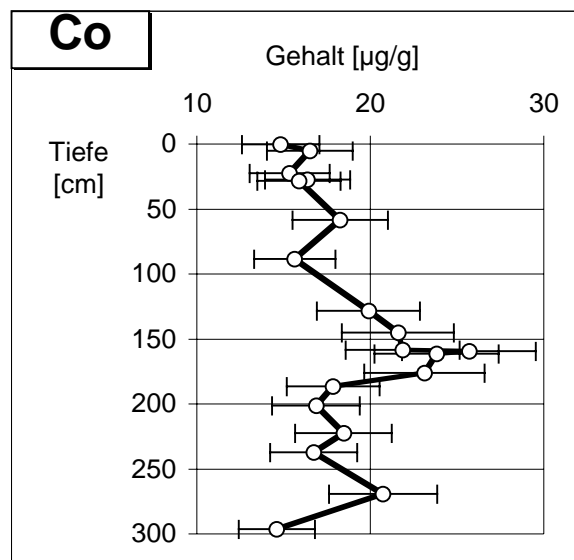
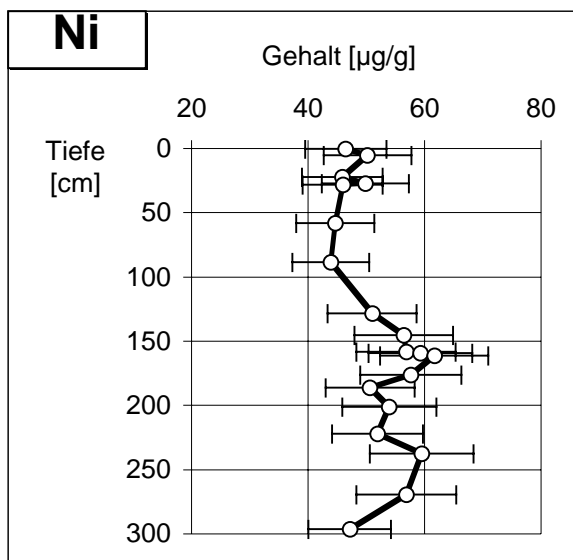
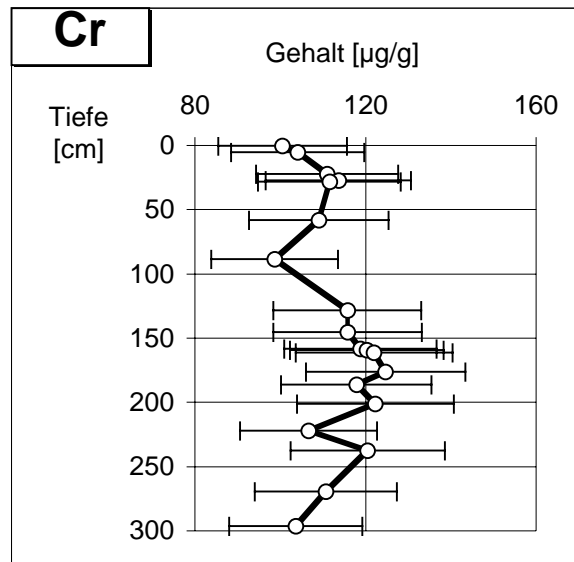
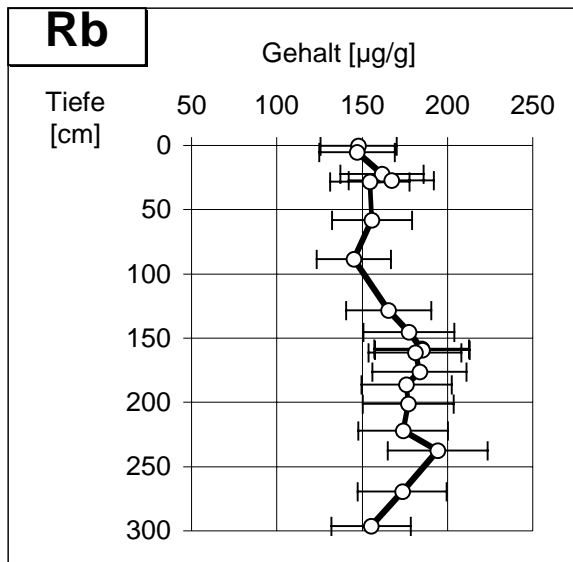
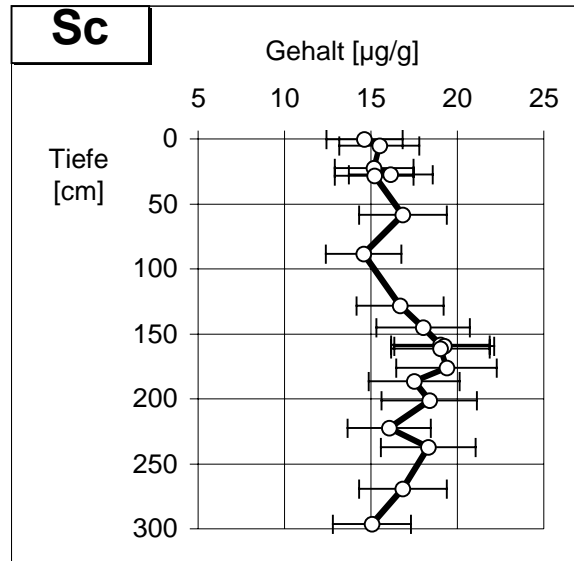
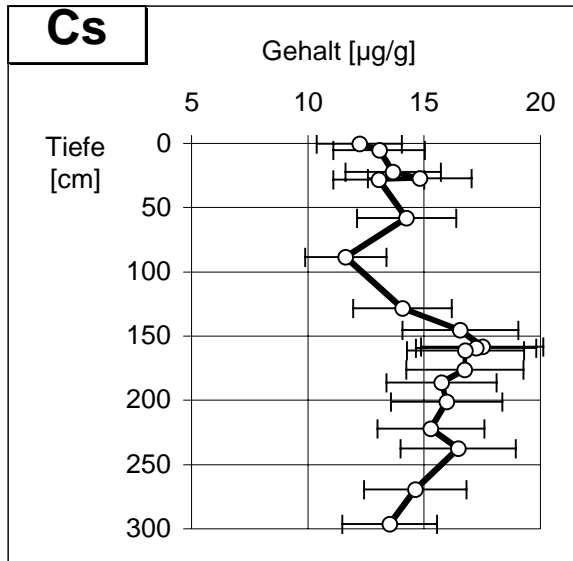
**Abb. 9.1.2.1:** Dendrogramm der Elemente für Kern 7 aus Hradec Králové (vgl. Abb. 5.1.16)



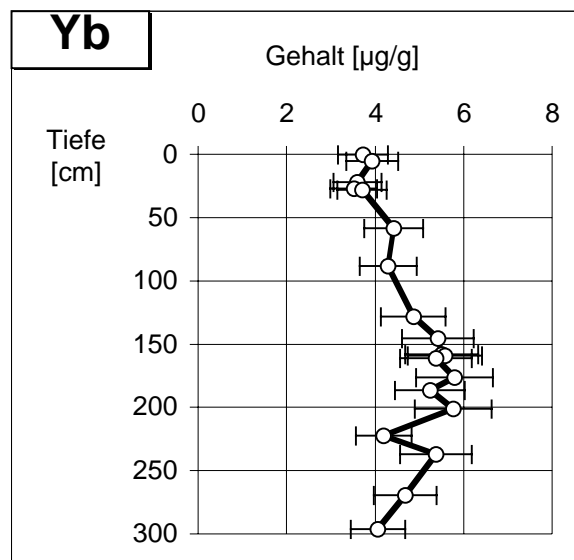
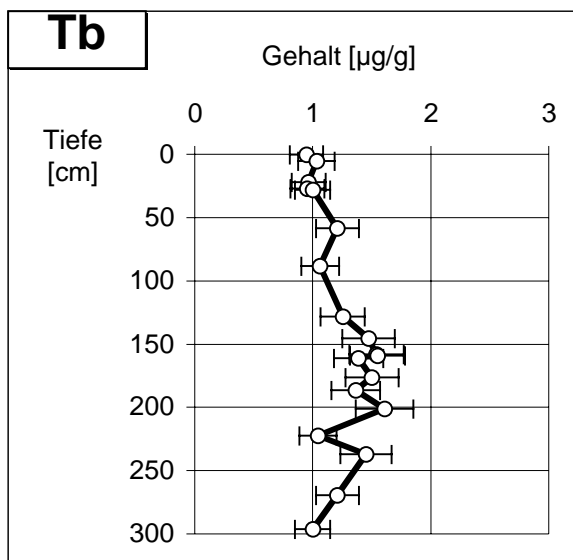
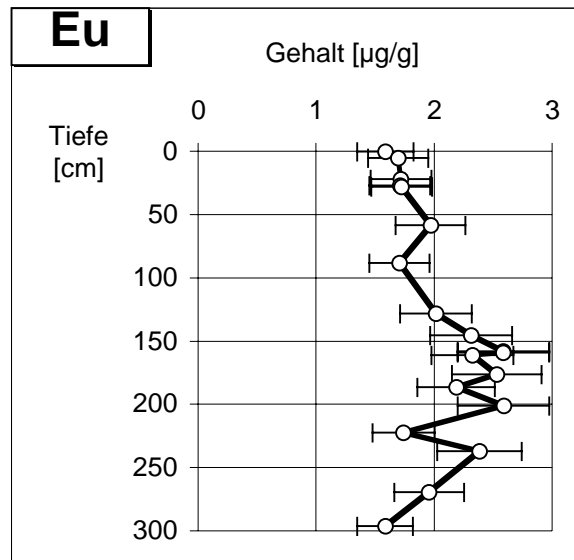
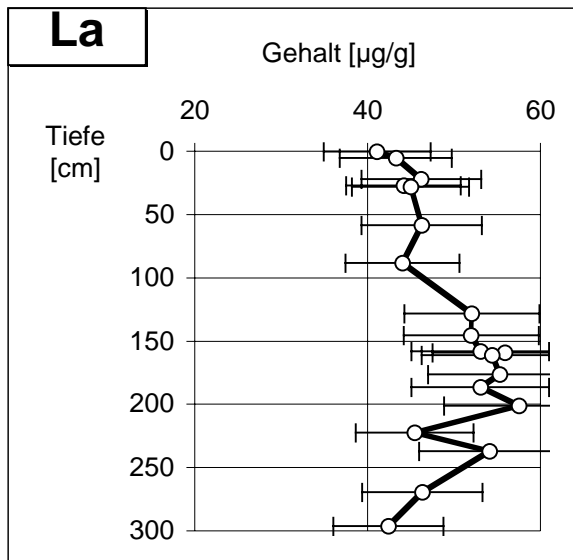
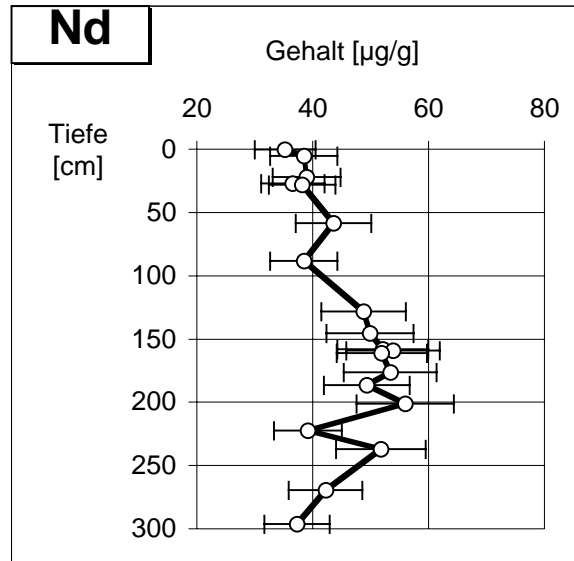
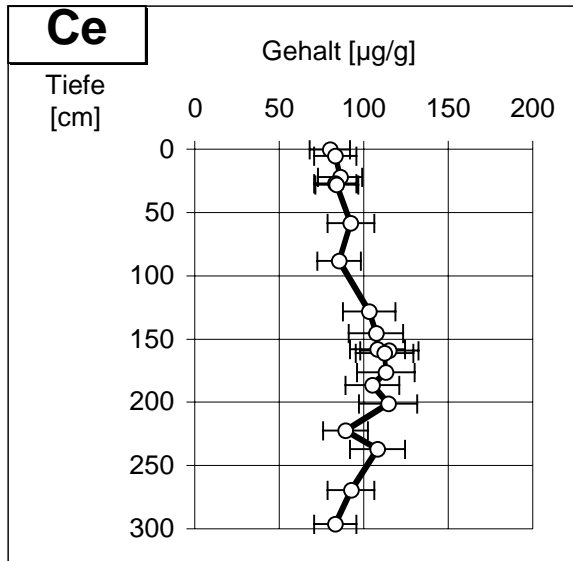
Kap. 9.1.2.1.1: Hradec Králové, Auenkern 7, Elementtiefenprofile, Elementgruppe 1



Kap. 9.1.2.1.1: Hradec Králové, Auenkern 7, Elementtiefenprofile, Elementgruppe 1

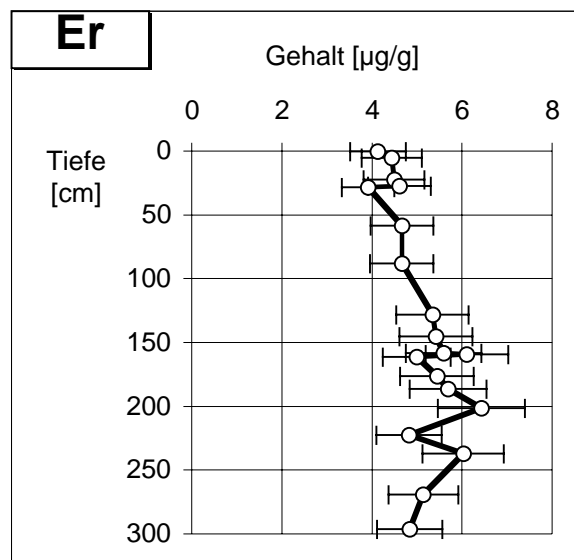
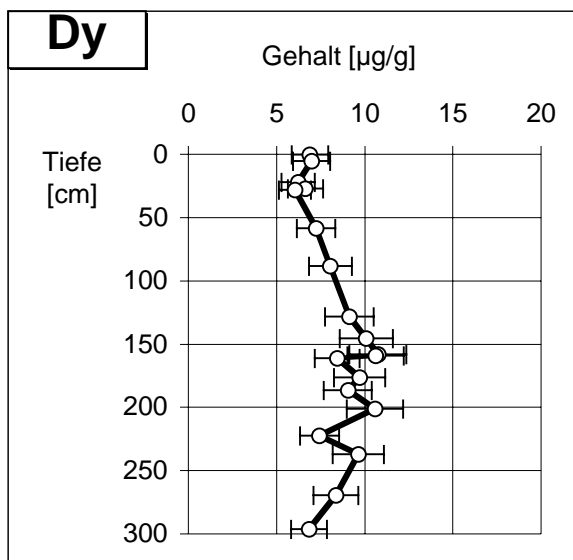
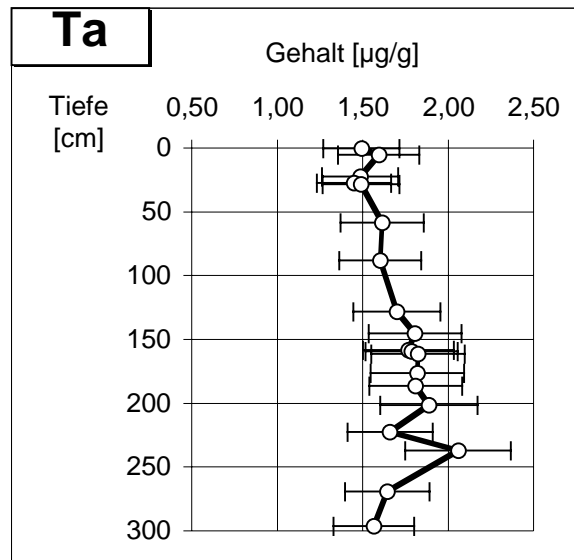
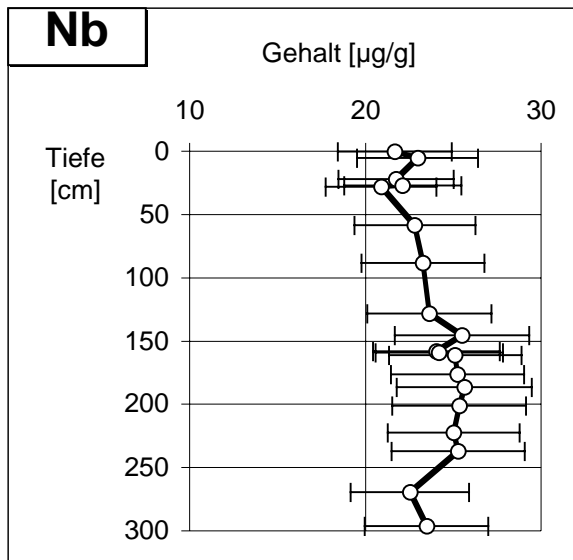
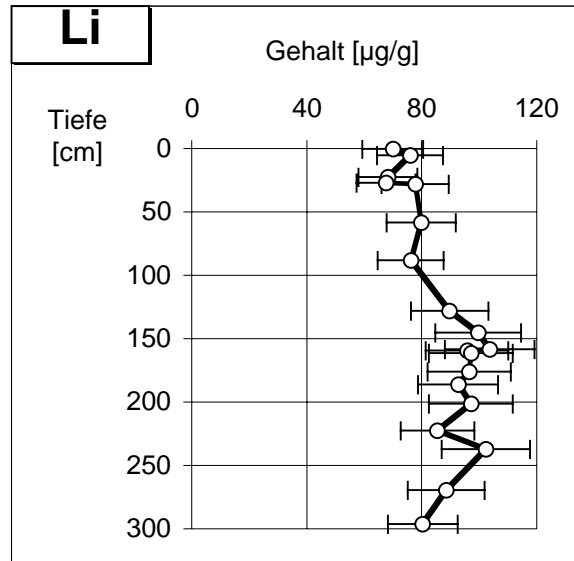
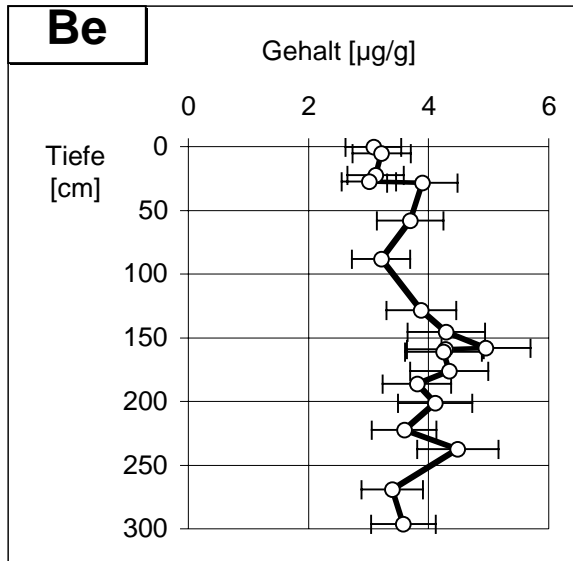


Kap. 9.1.2.1.1: Hradec Králové, Auenkern 7, Elementtiefenprofile, Elementgruppe 2

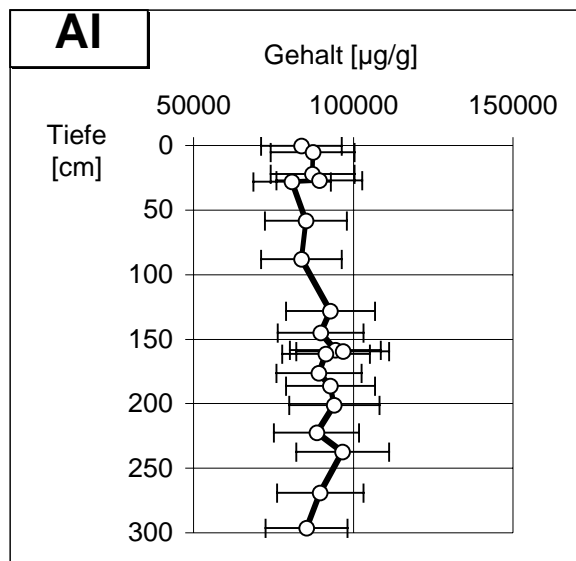


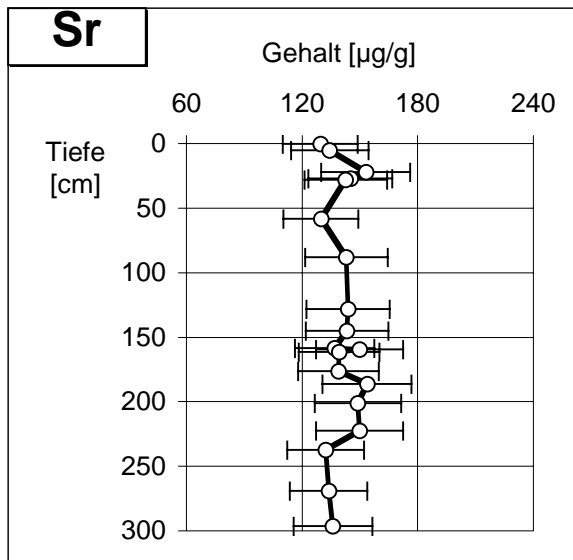
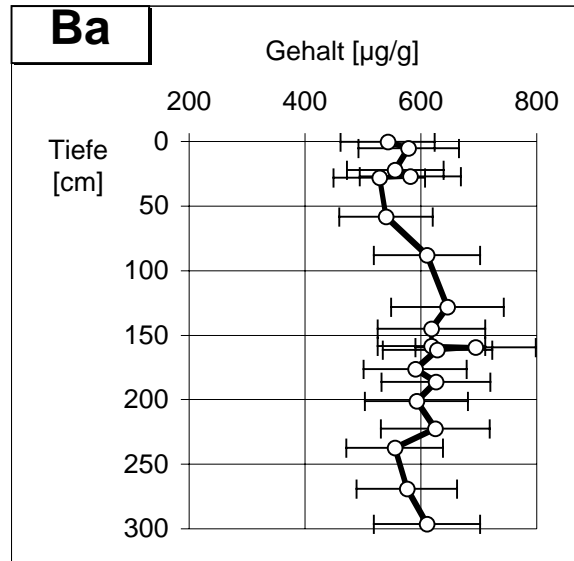
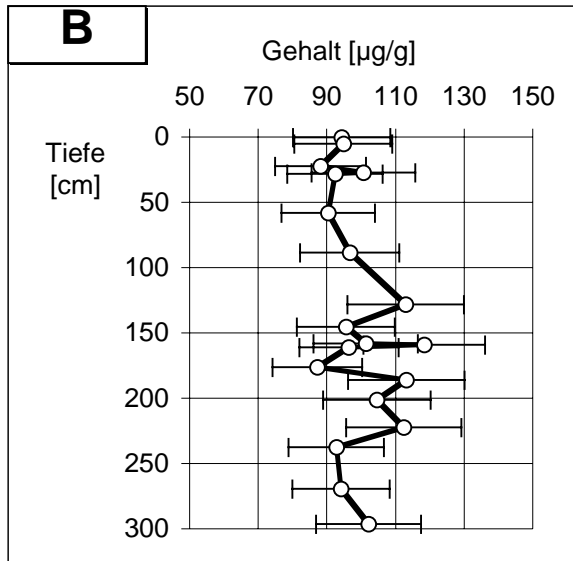
Kap. 9.1.2.1.1: Hradec Králové, Auenkern 7, Elementtiefenprofile, Elementgruppe 2

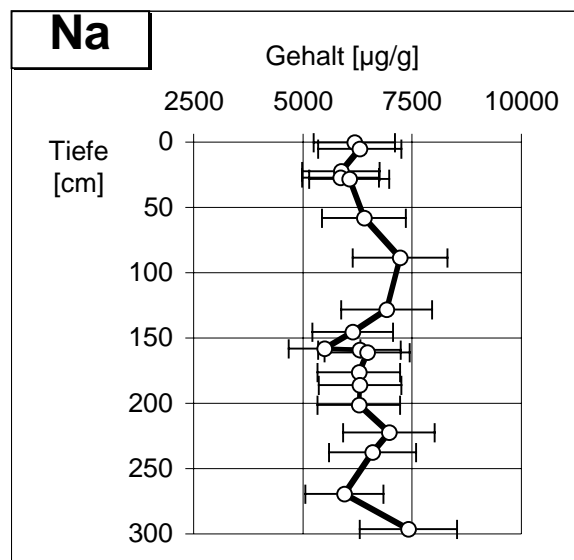
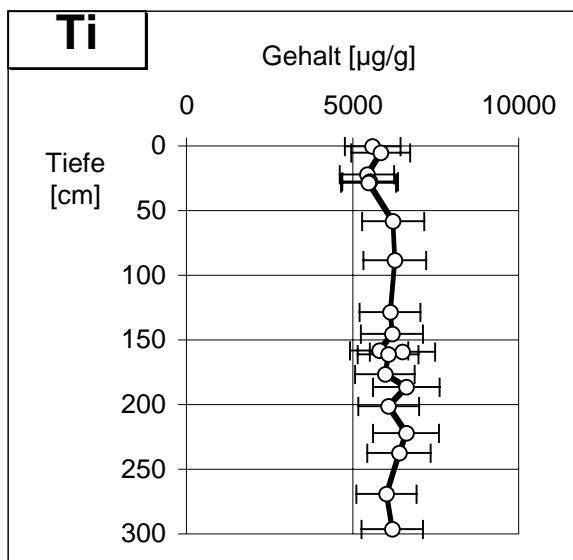
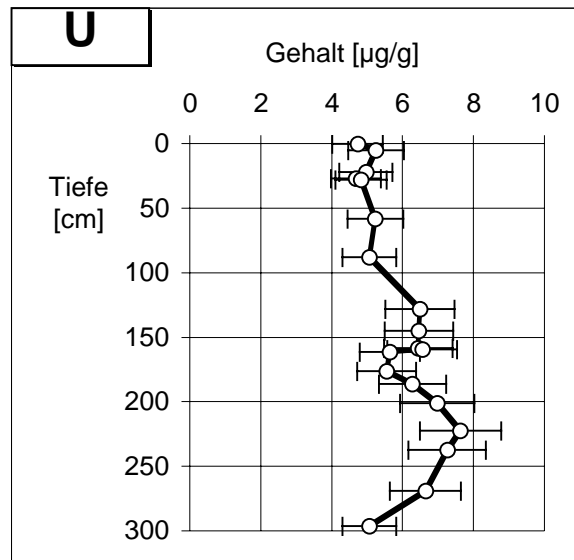
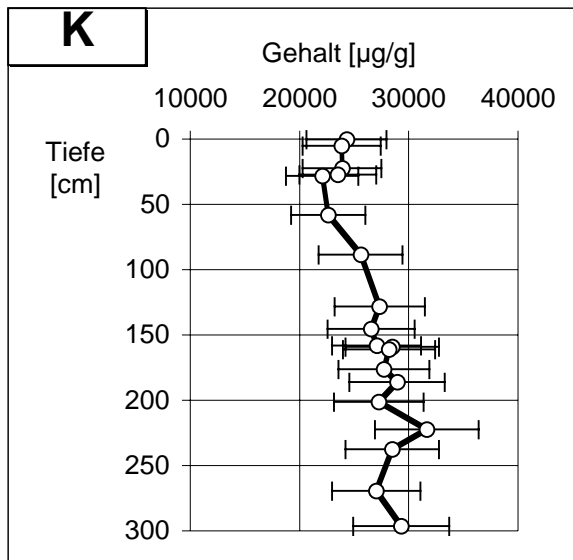
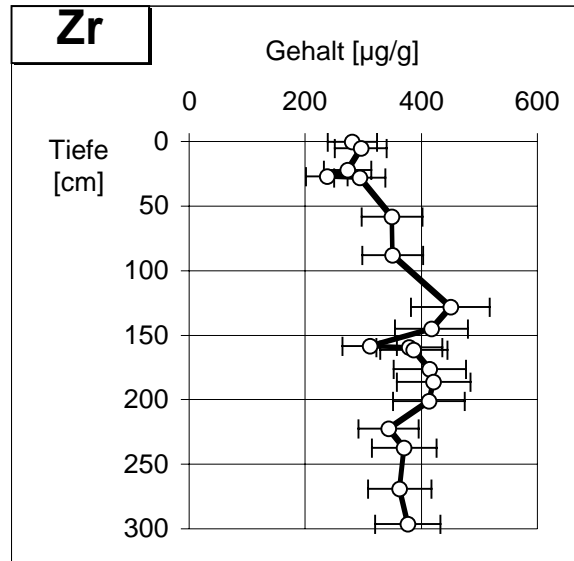
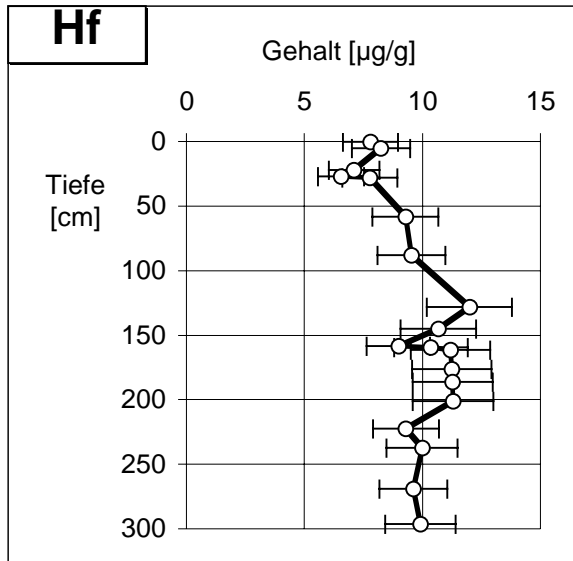




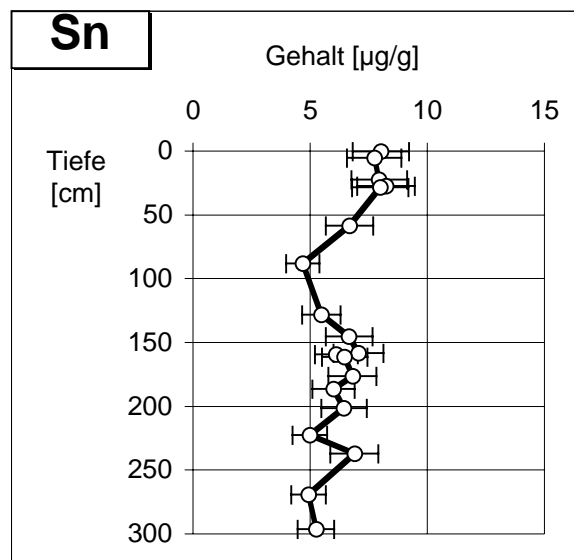
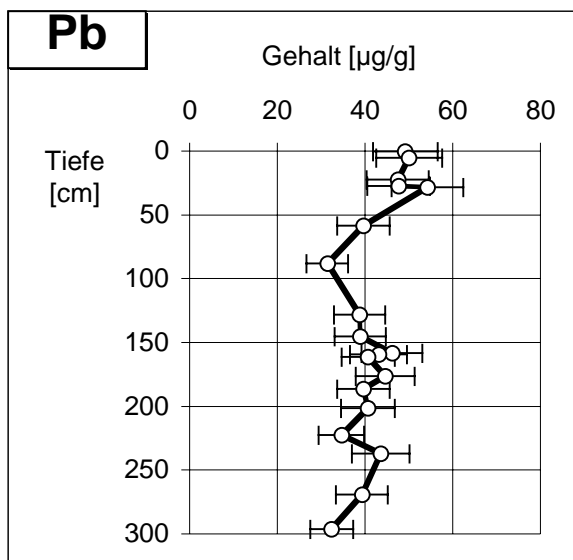
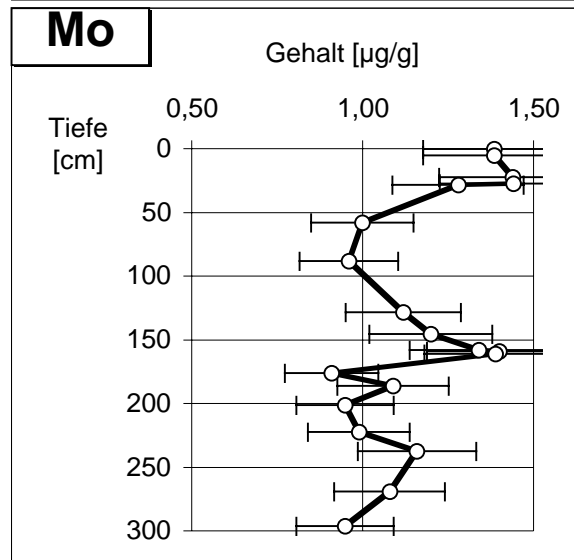
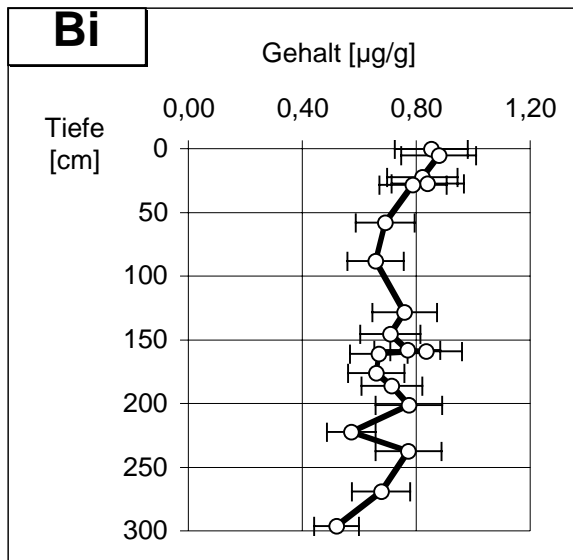
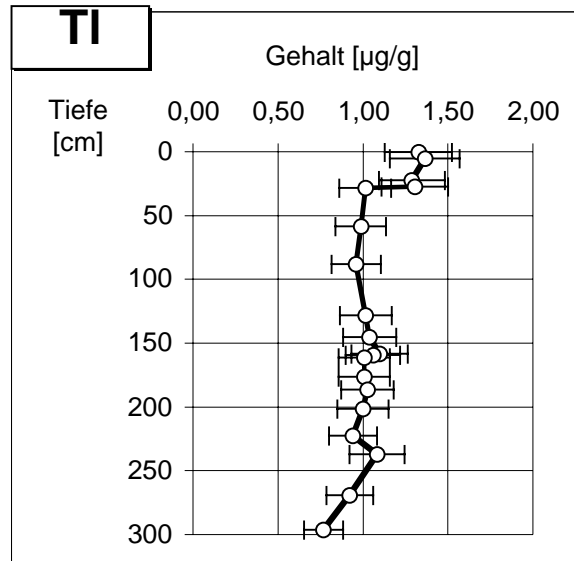
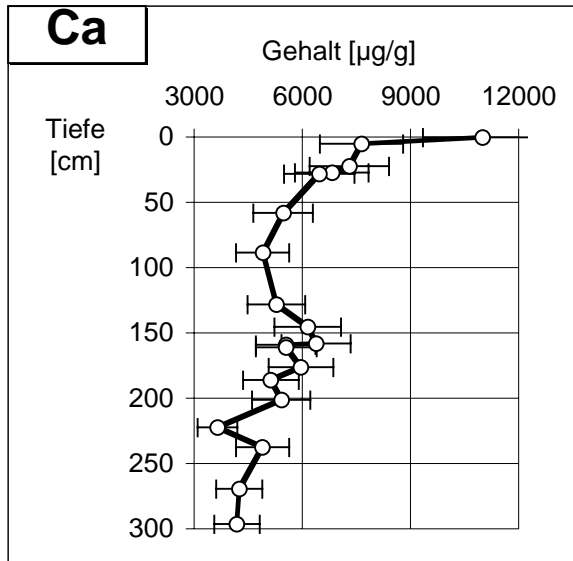
Kap. 9.1.2.1.1: Hradec Králové, Auenkern 7, Elementtiefenprofile, Elementgruppe 2



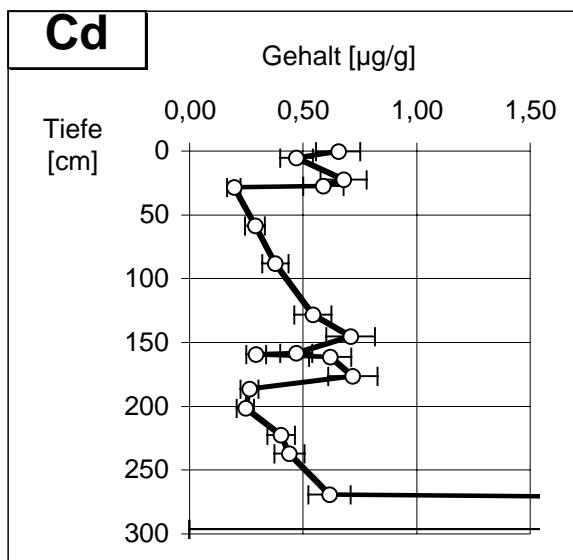
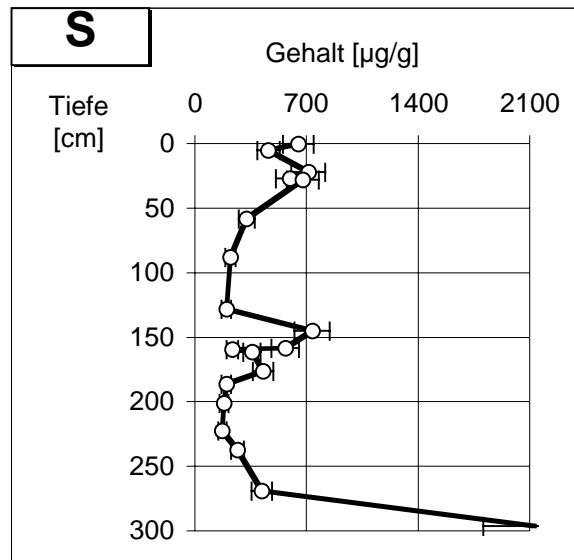
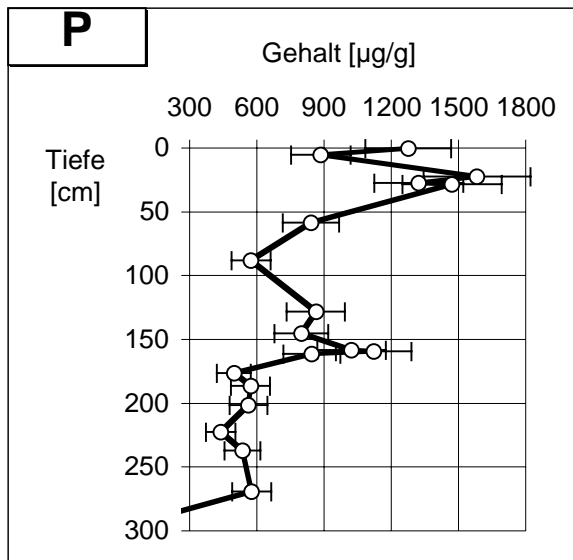
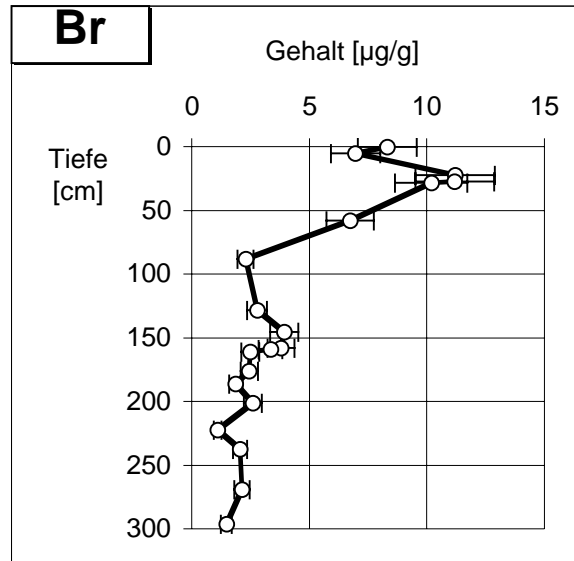
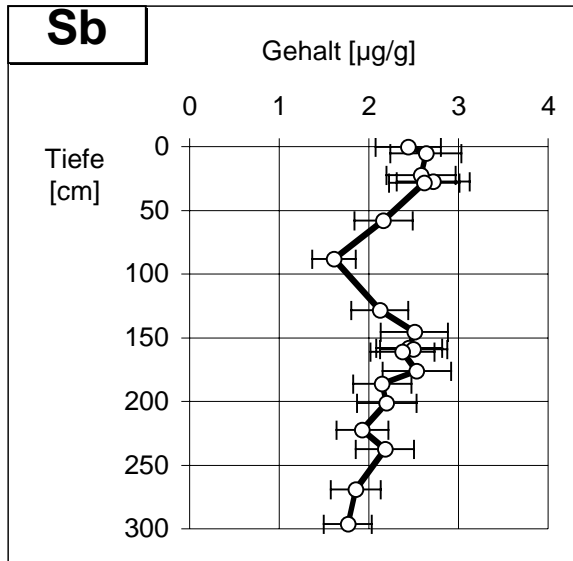




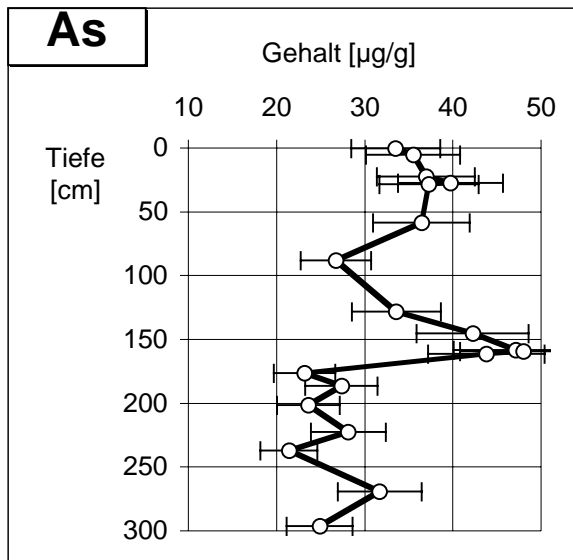
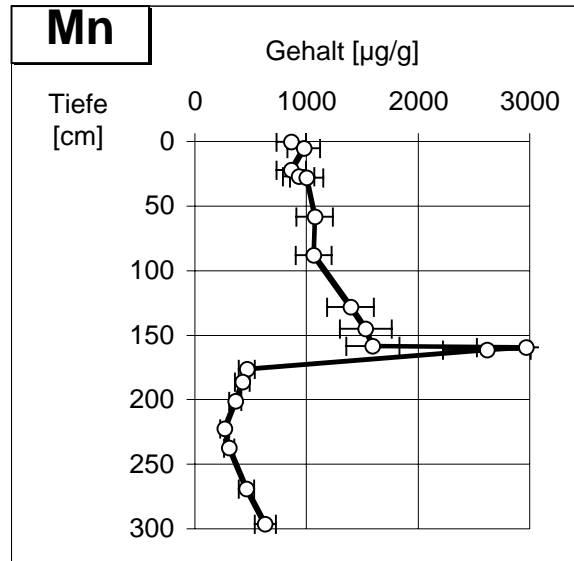
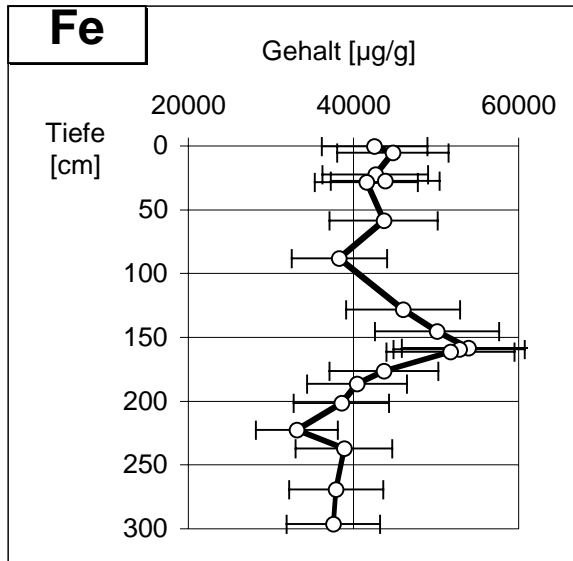
Kap. 9.1.2.1.1: Hradec Králové, Auenkern 7, Elementtiefenprofile, Elementgruppe 4

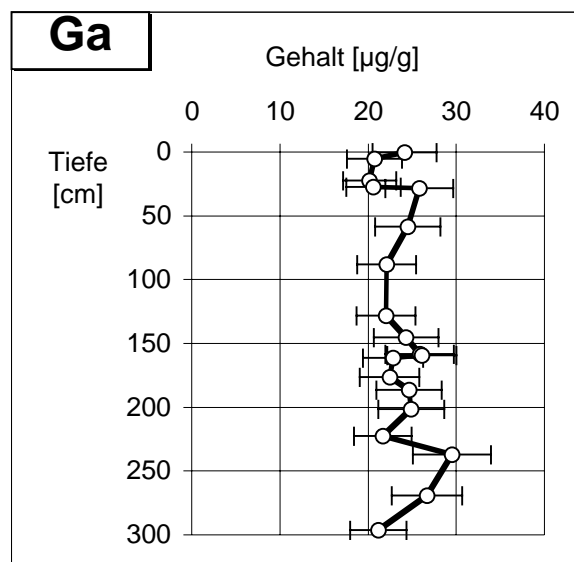
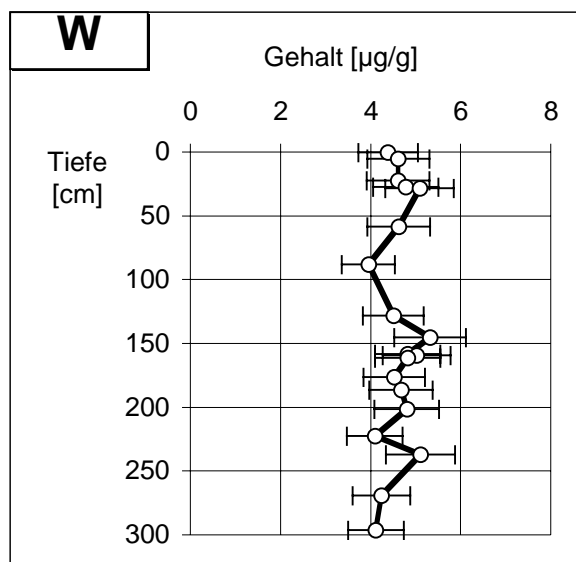
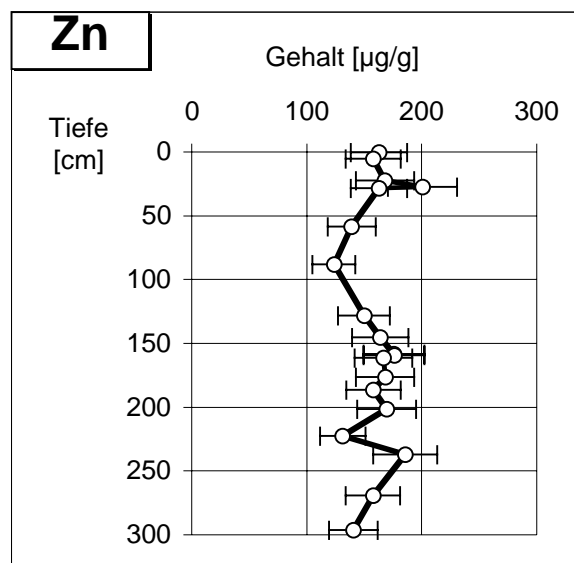
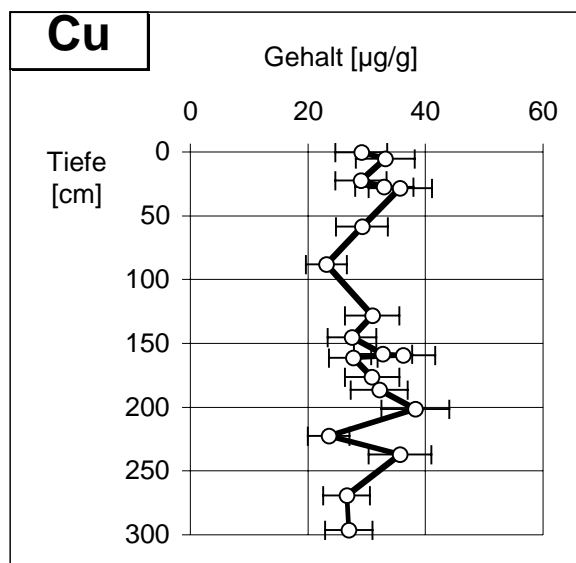


Kap. 9.1.2.1.1: Hradec Králové, Auenkern 7, Elementtiefenprofile, Elementgruppe 5

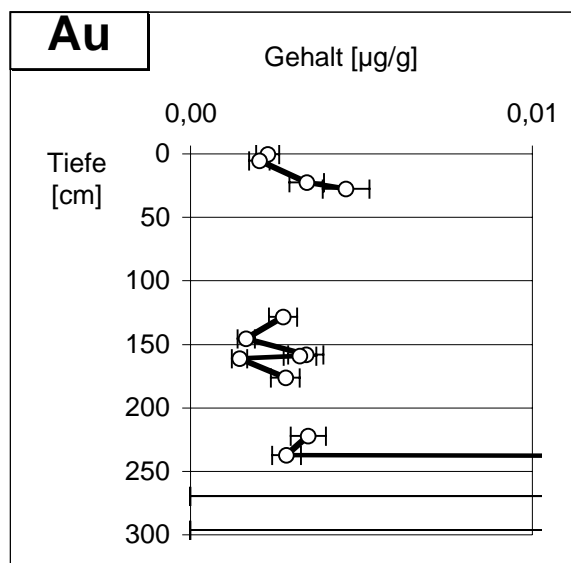
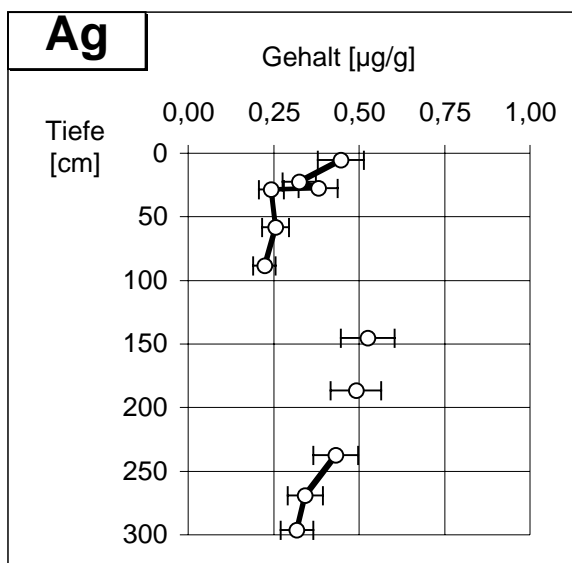


Kap. 9.1.2.1.1: Hradec Králové, Auenkern 7, Elementtiefenprofile, Elementgruppe 5

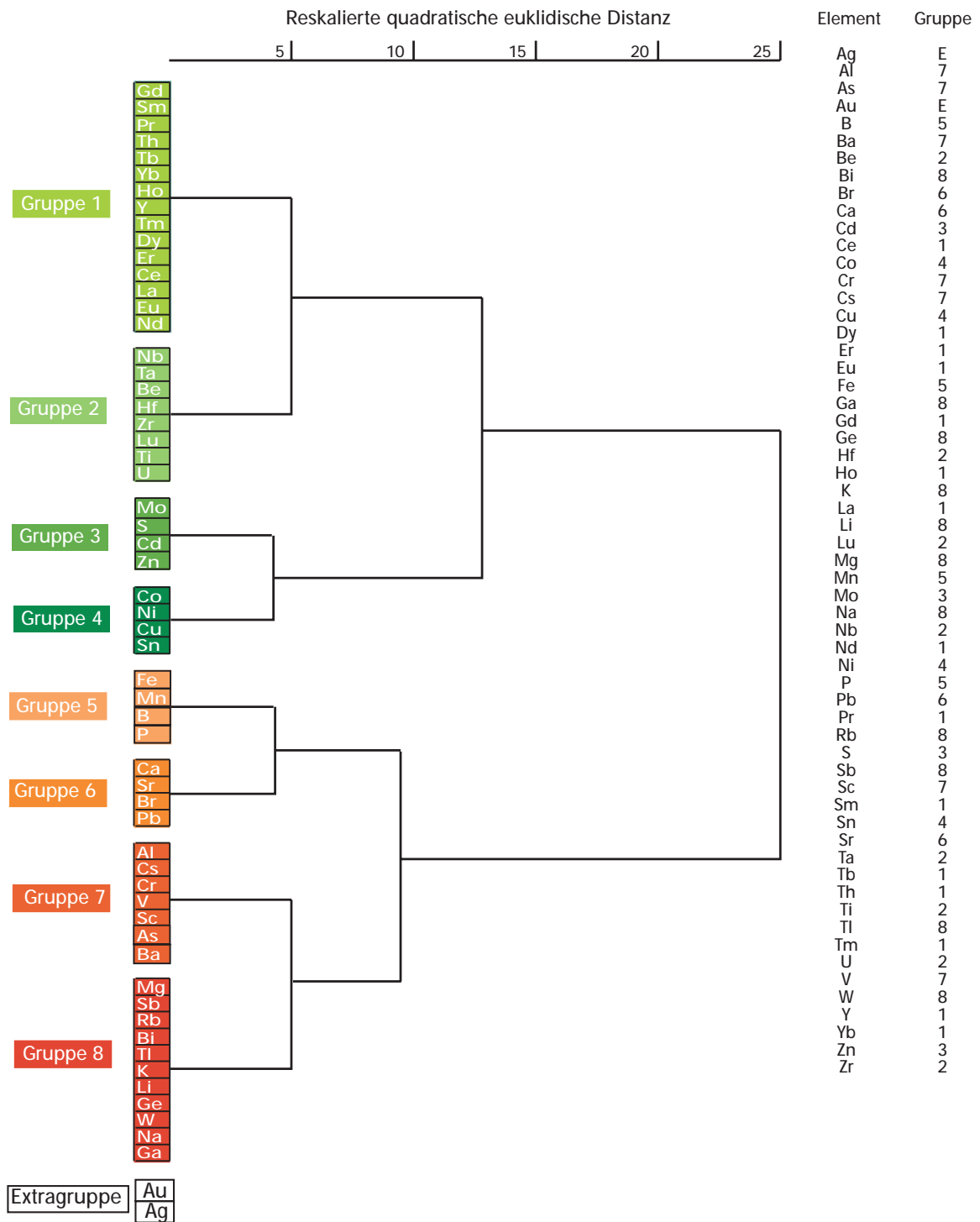




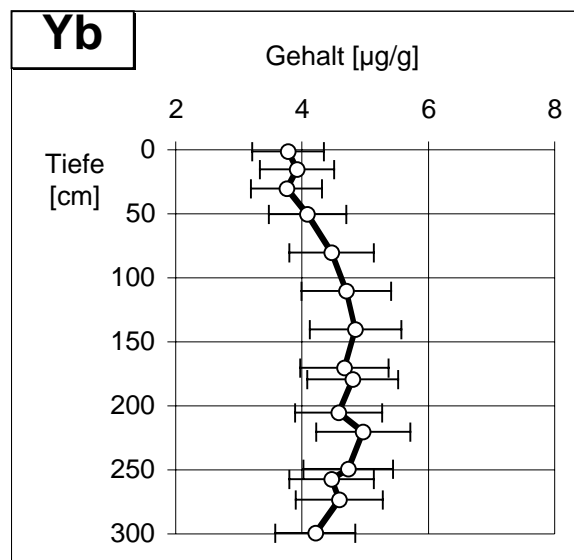
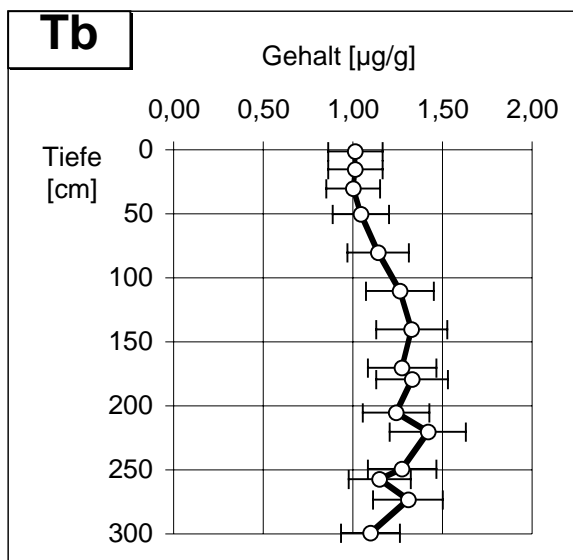
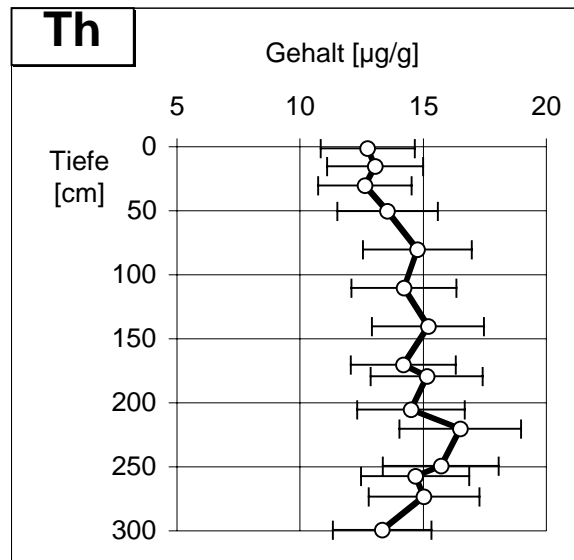
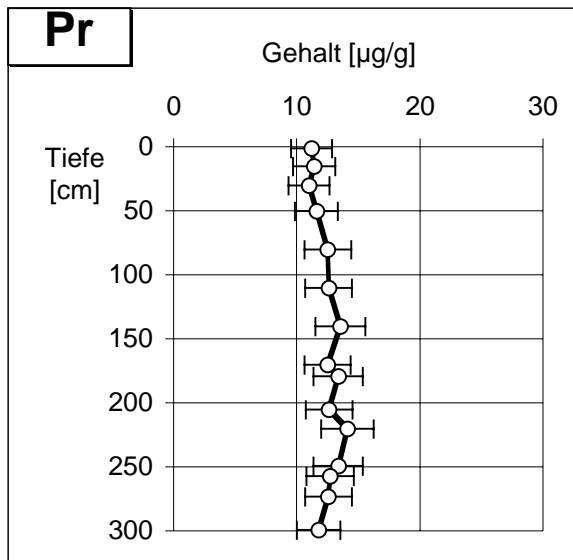
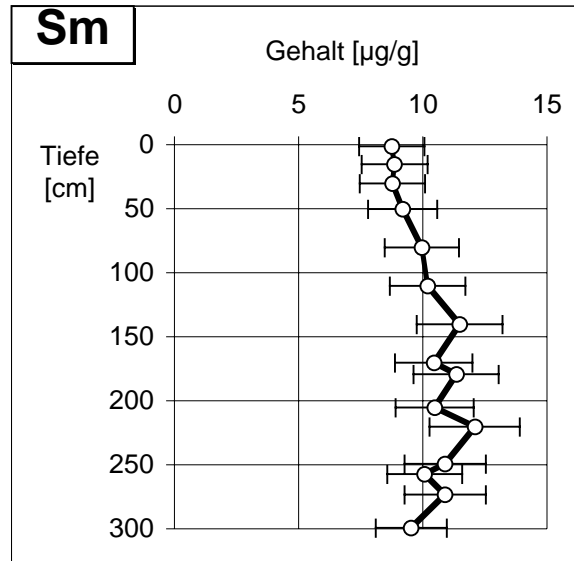
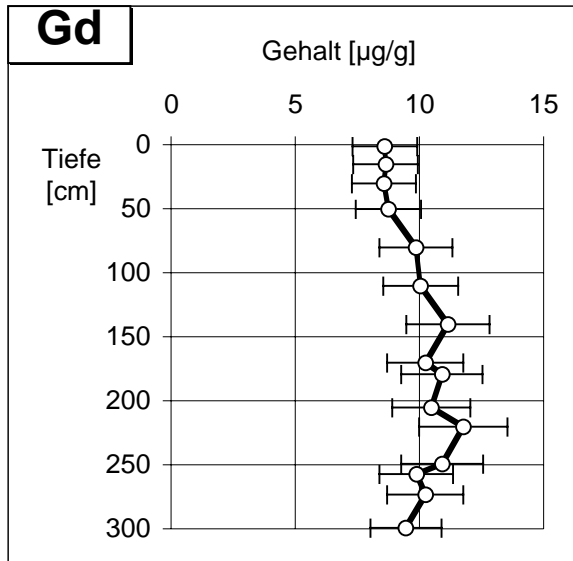




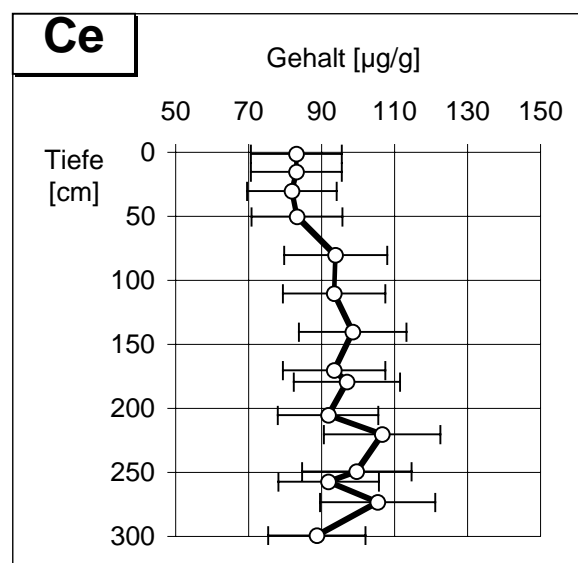
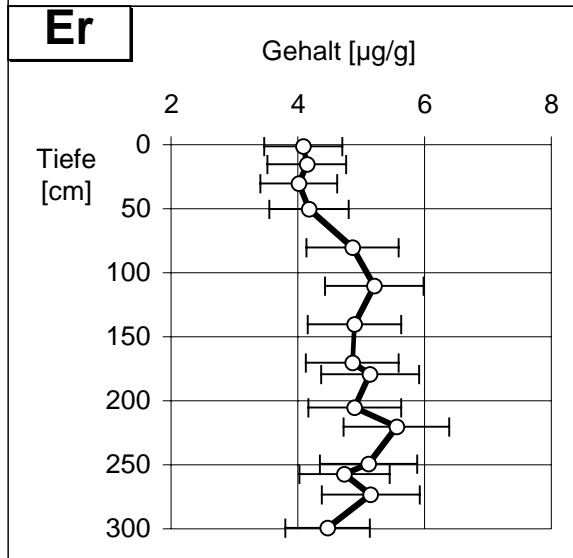
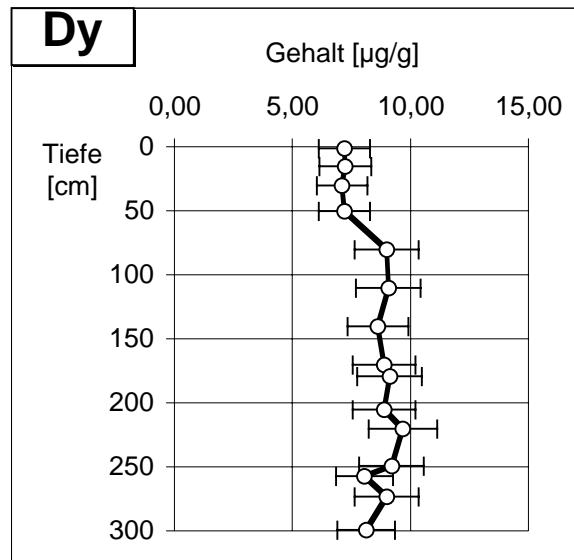
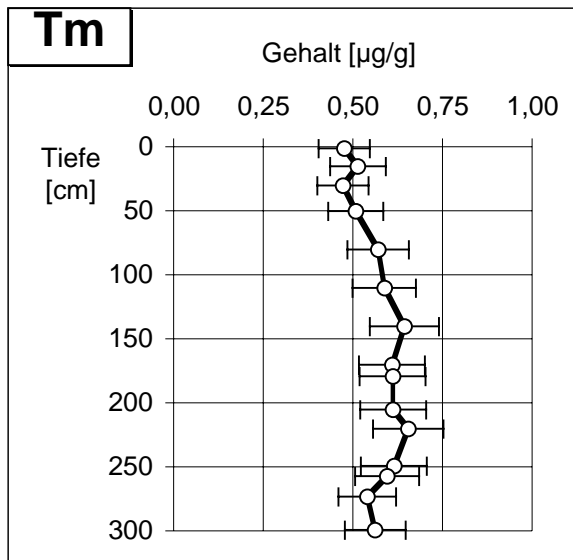
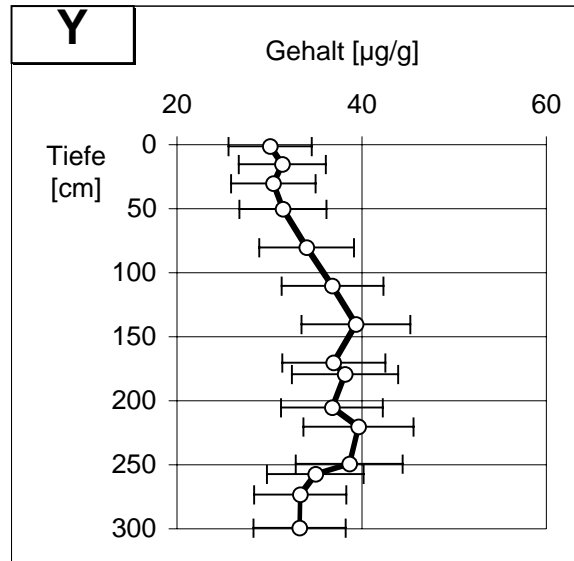
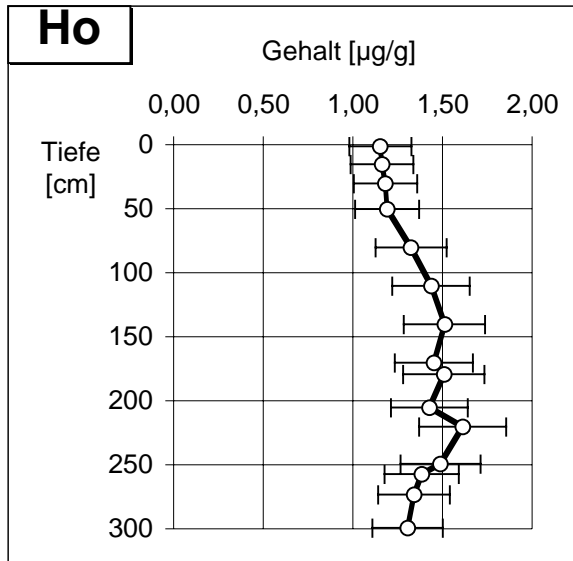
9.1.2.1.2 Auenkern 45



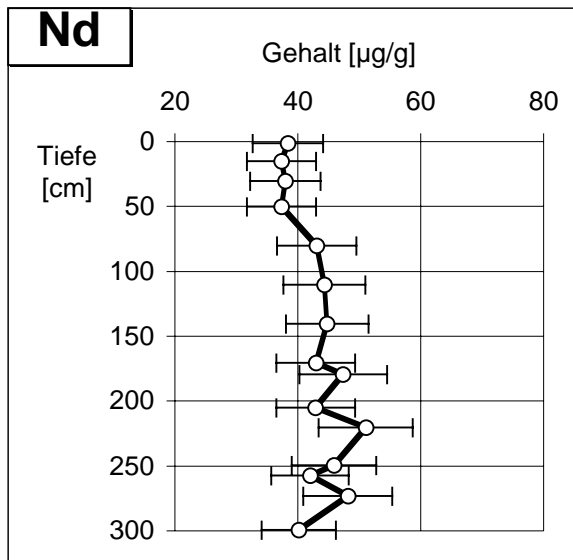
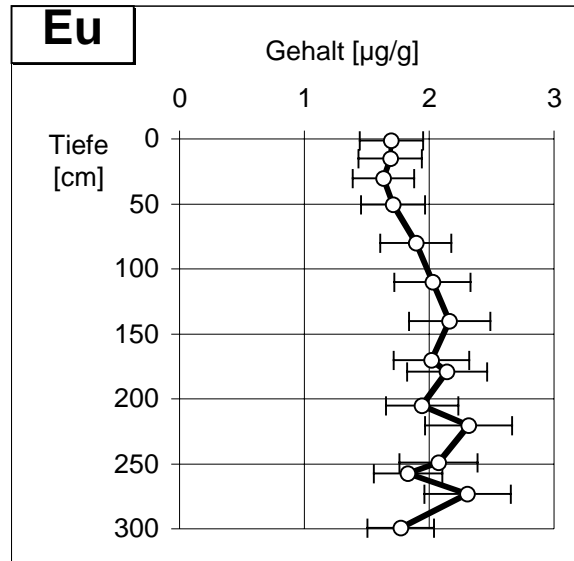
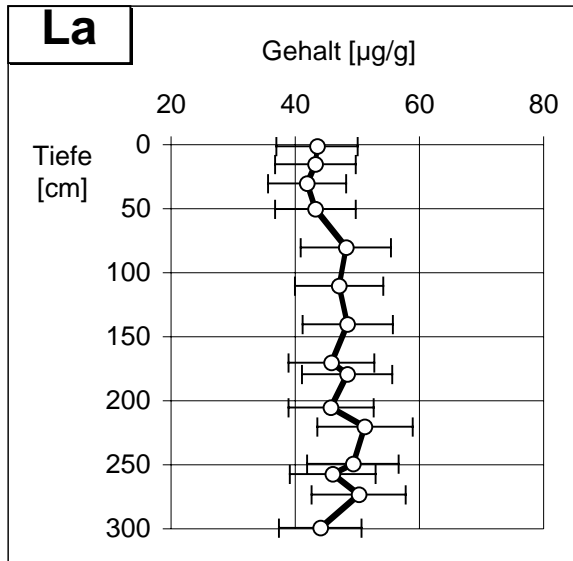
**Abb. 9.1.2.2:** Dendrogramm der Elemente für Kern 45 aus Hradec Králové (vgl. Abb. 5.1.20)

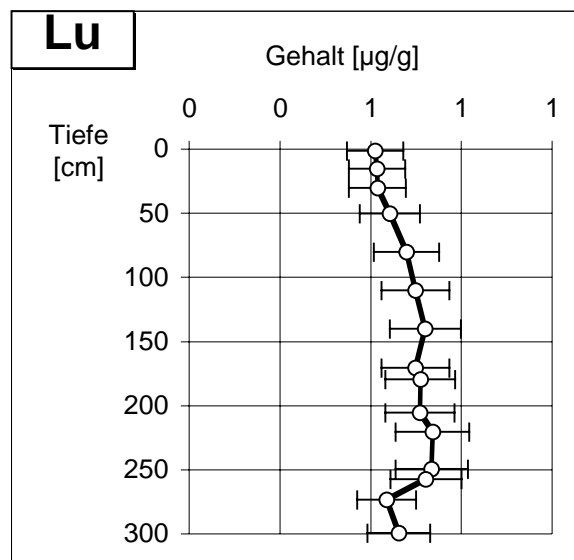
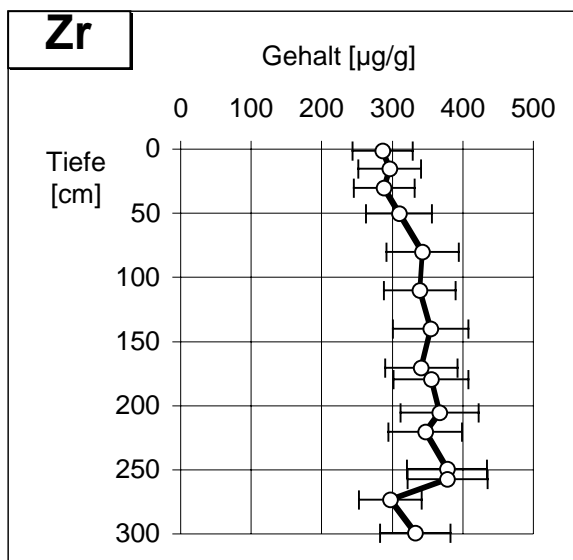
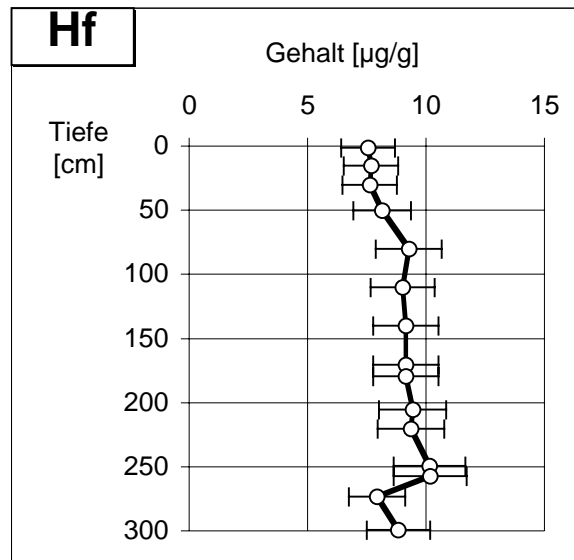
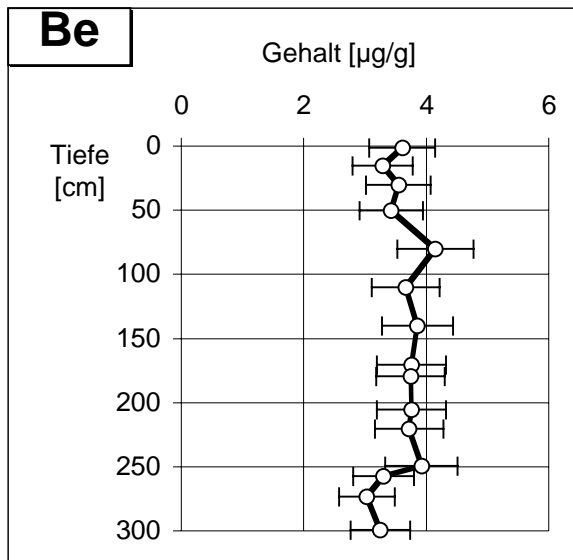
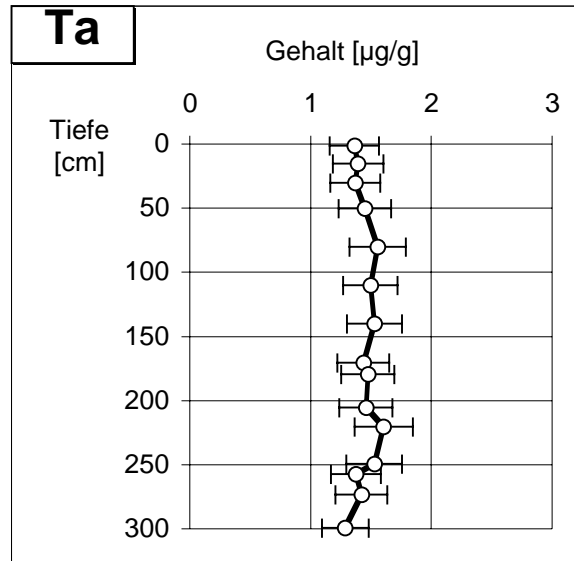
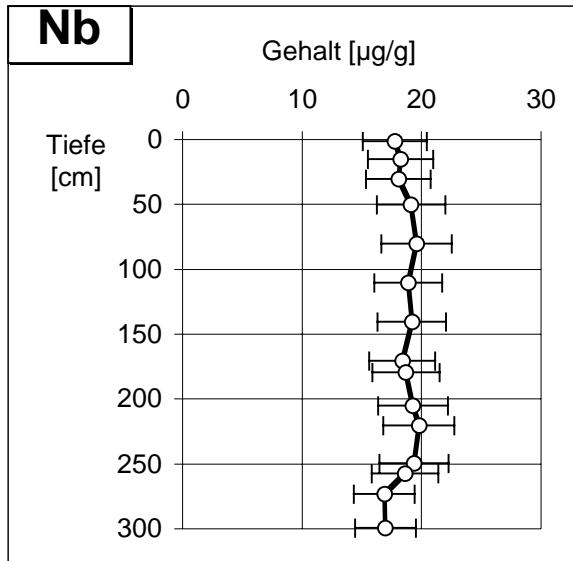


Kap. 9.1.2.1.2: Hradec Králové, Auenkern 45, Elementtiefenprofile, Elementgruppe 1

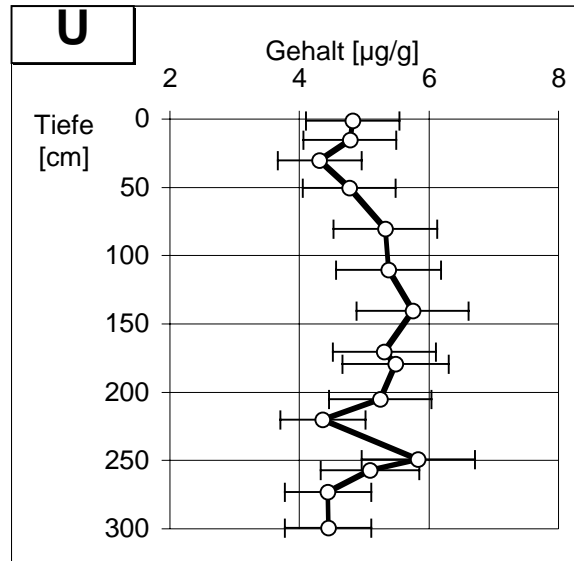
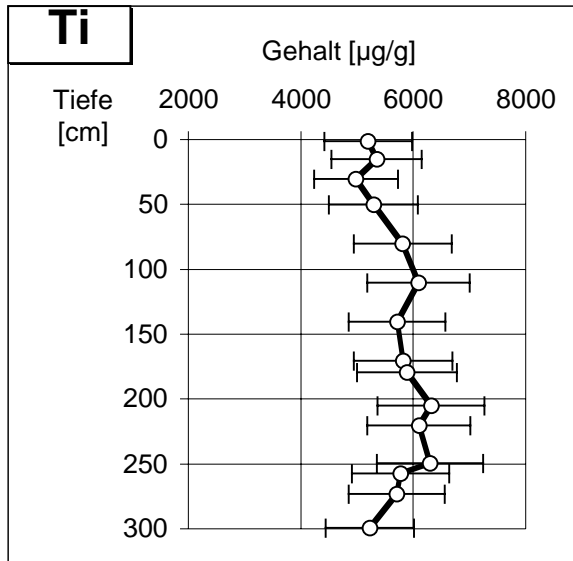


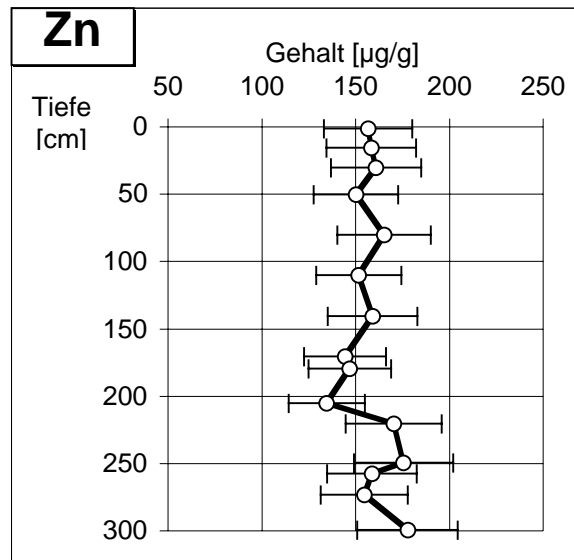
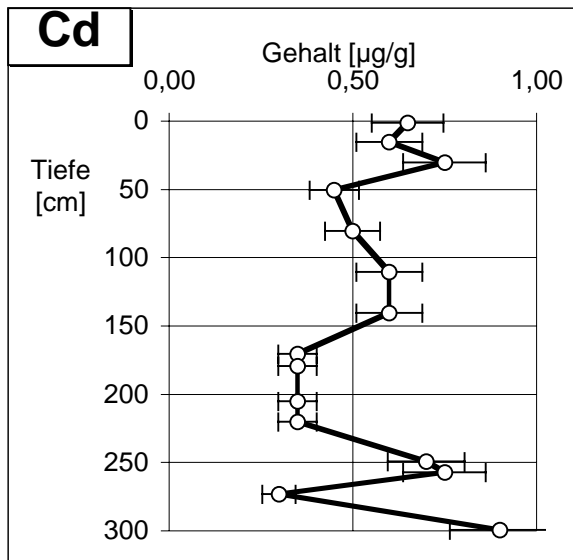
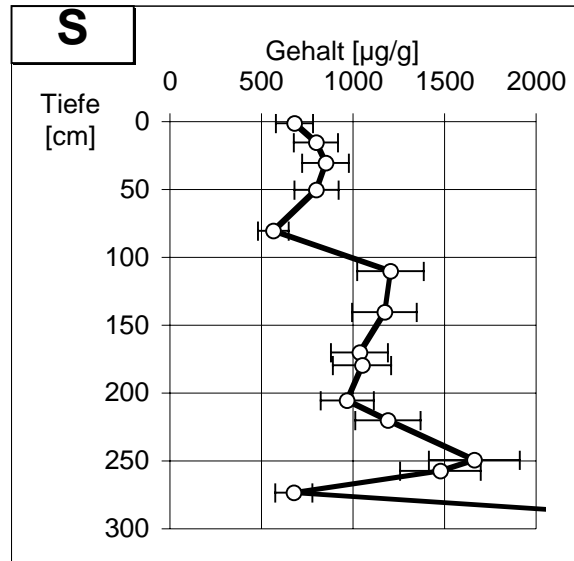
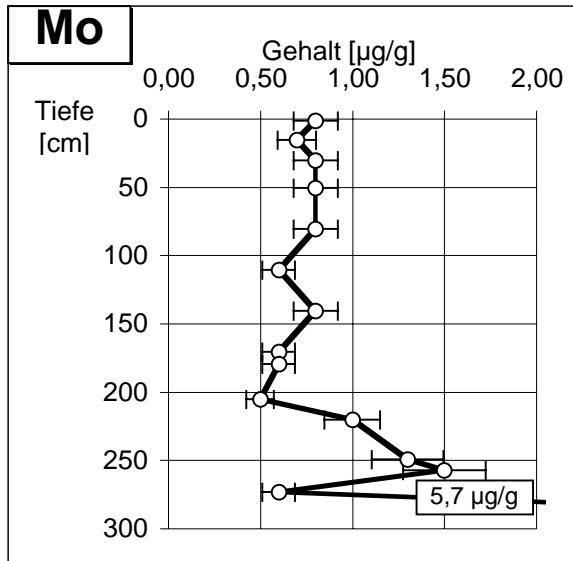
Kap. 9.1.2.1.2: Hradec Králové, Auenkern 45, Elementtieffenprofile, Elementgruppe 1



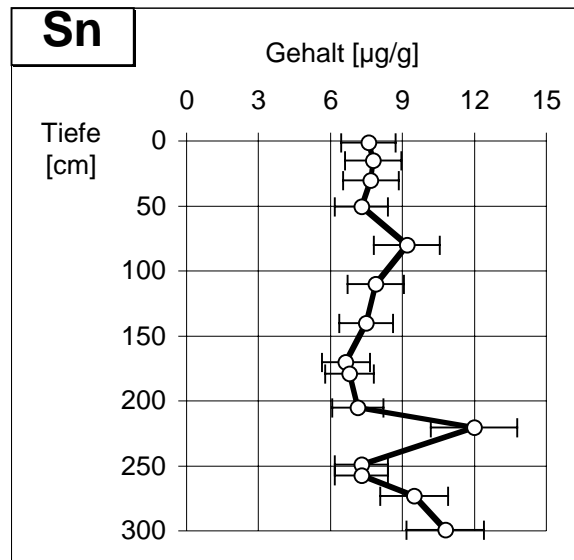
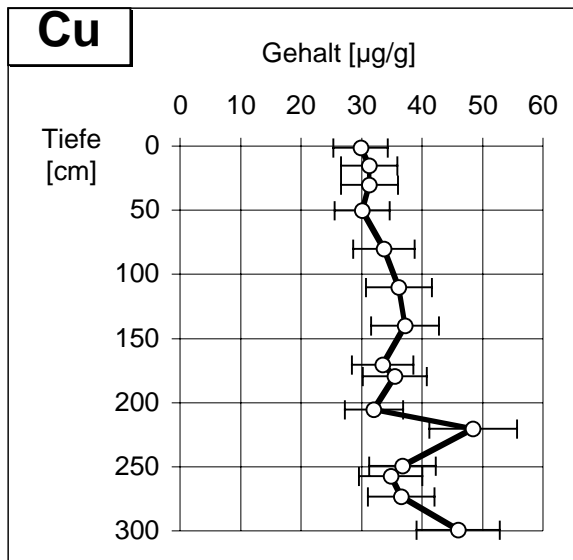
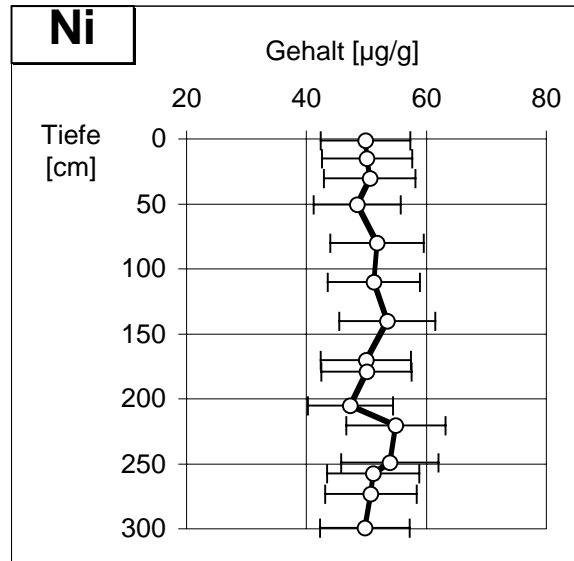
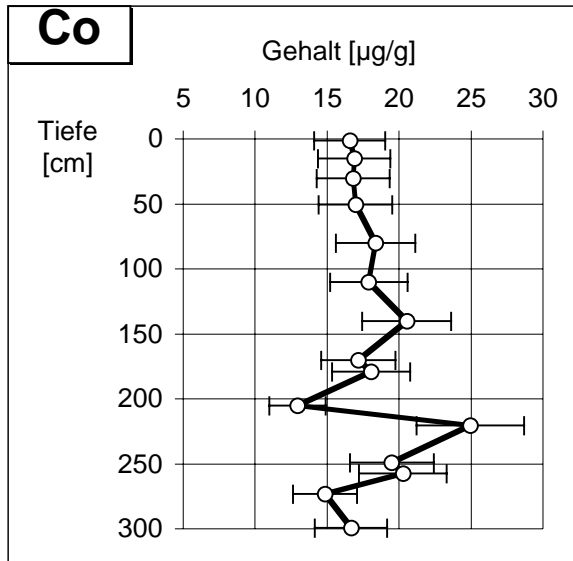


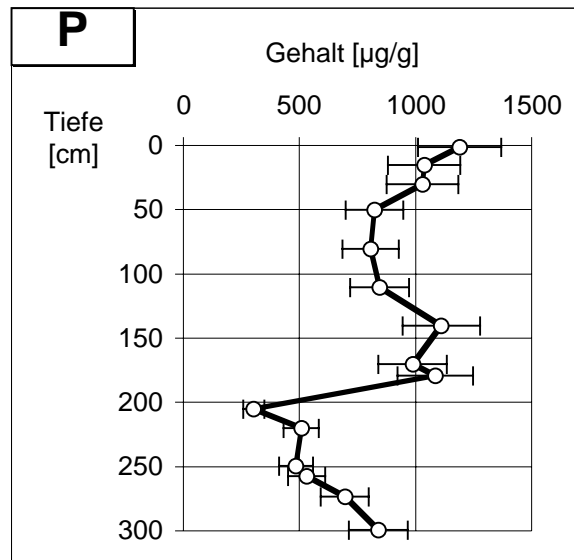
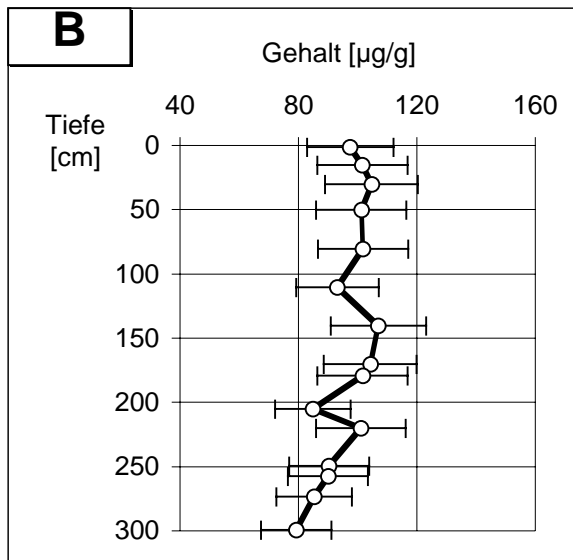
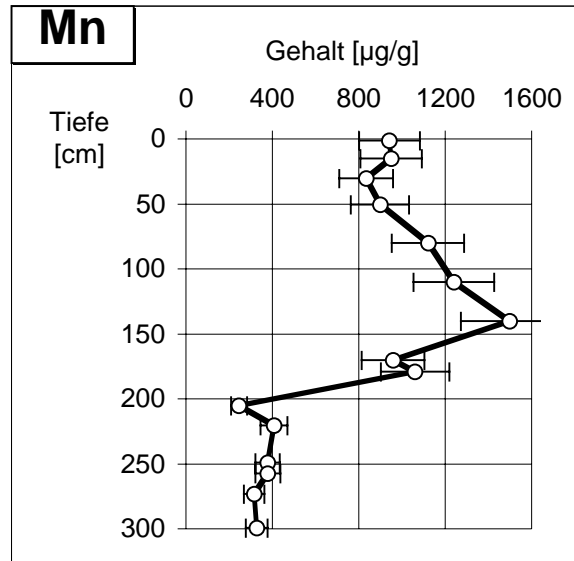
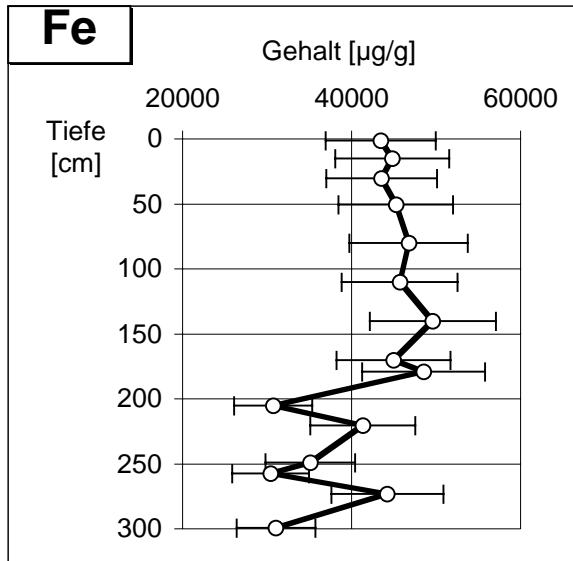
Kap. 9.1.2.1.2: Hradec Králové, Auenkern 45, Elementtiefenprofile, Elementgruppe 2

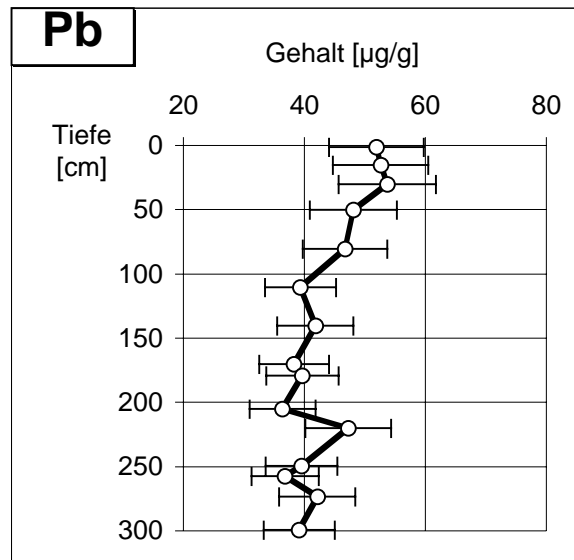
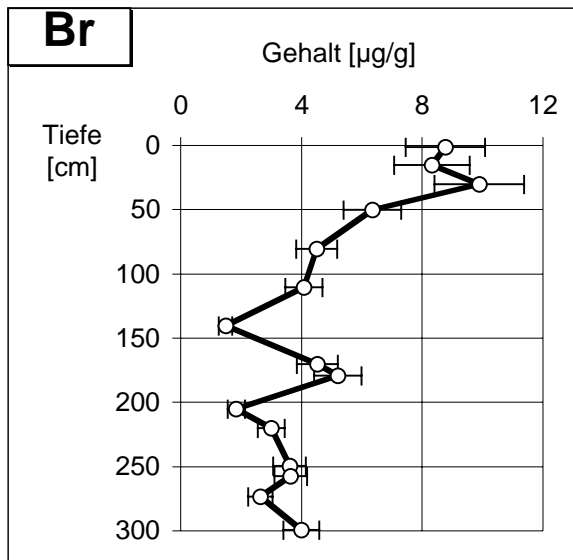
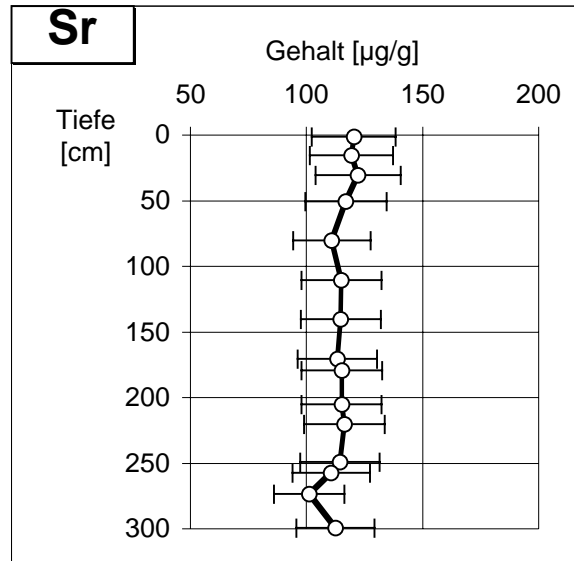
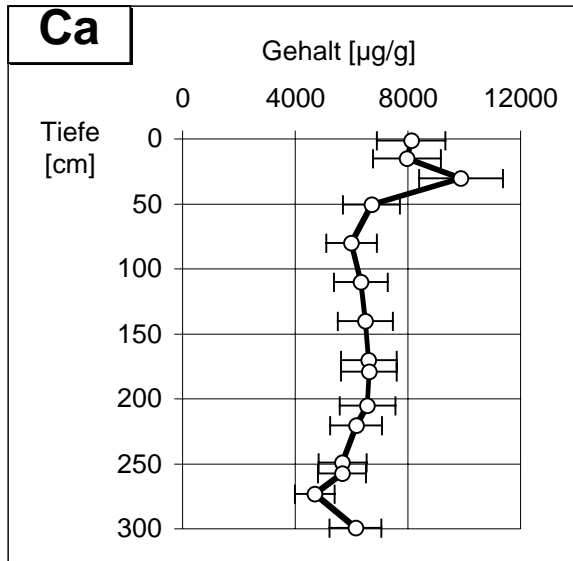


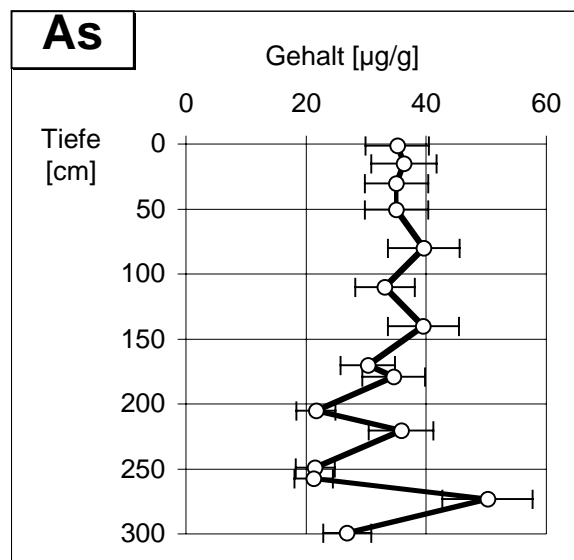
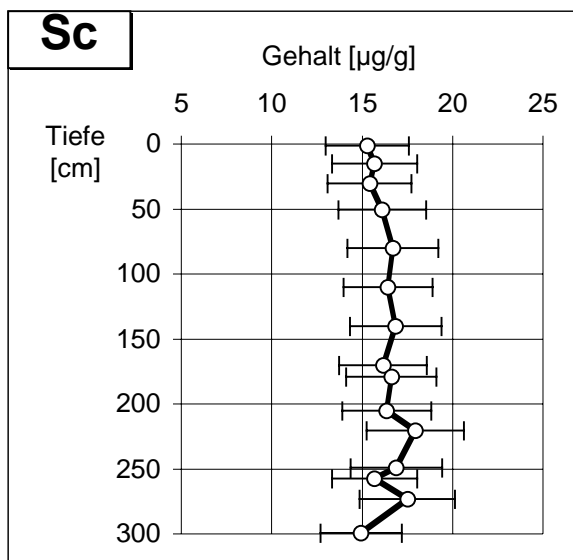
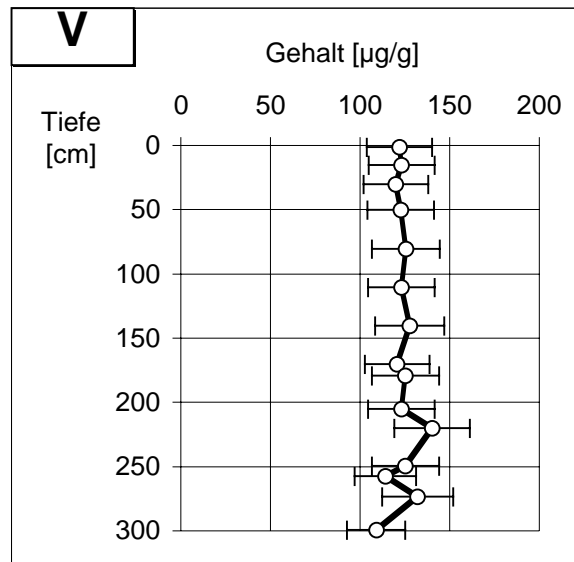
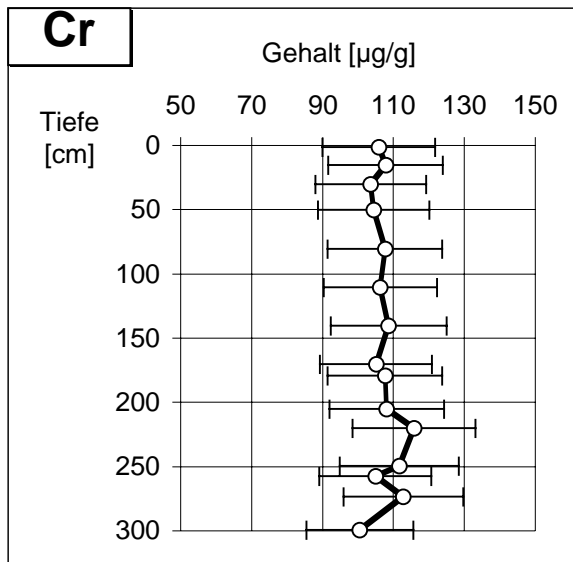
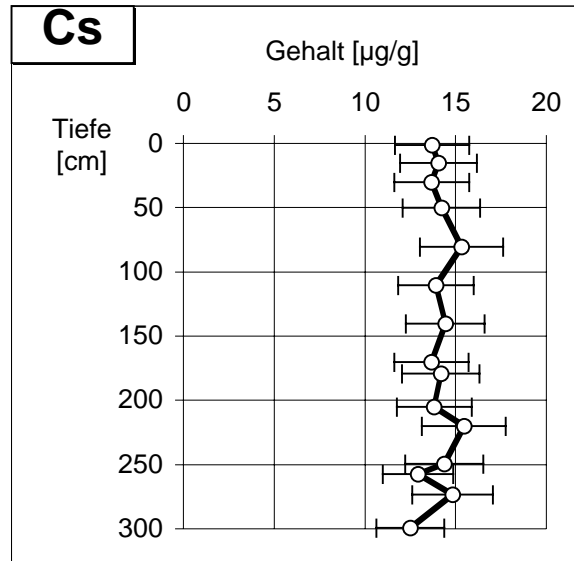
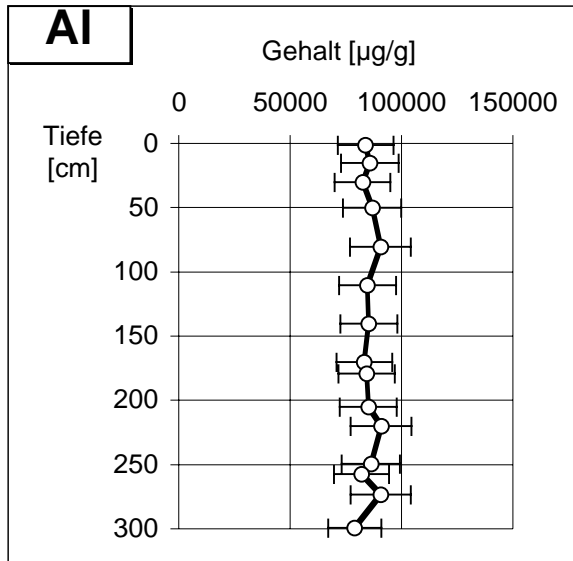




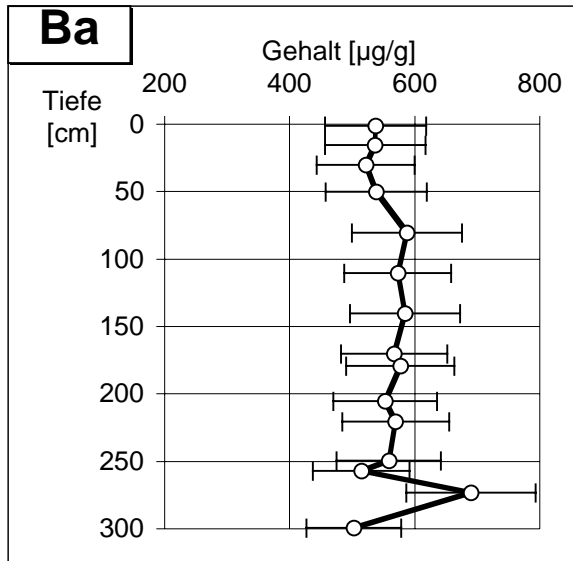


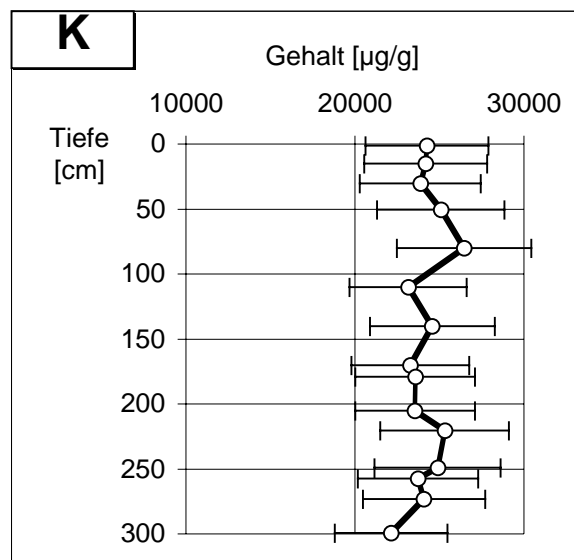
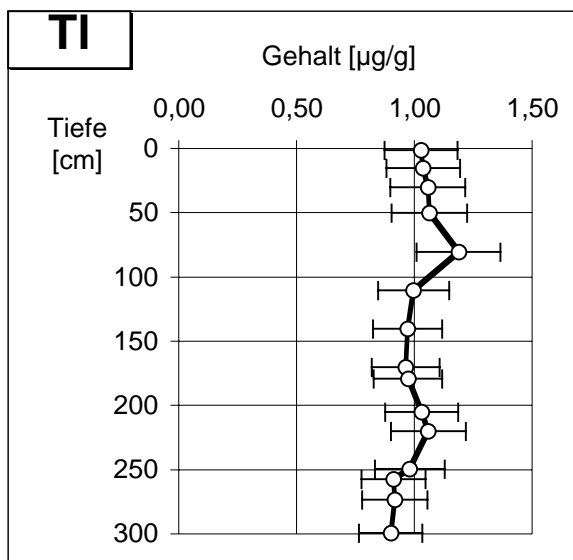
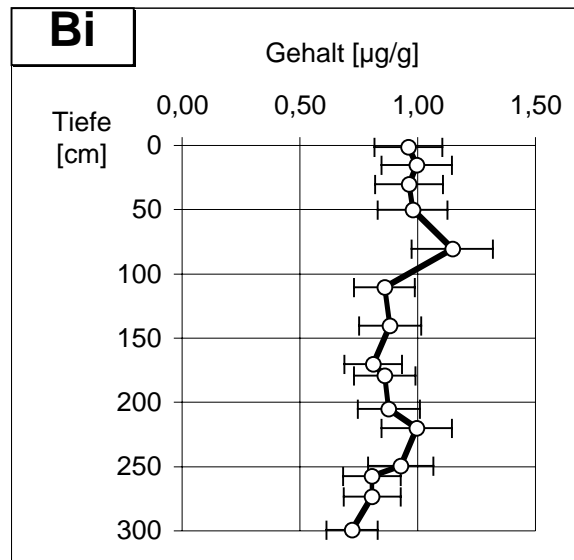
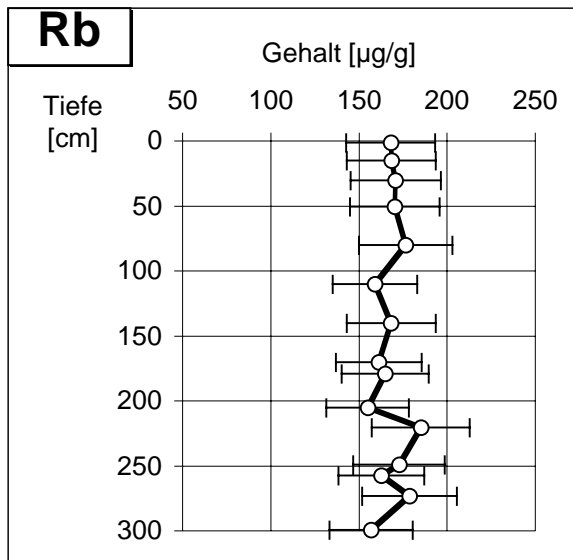
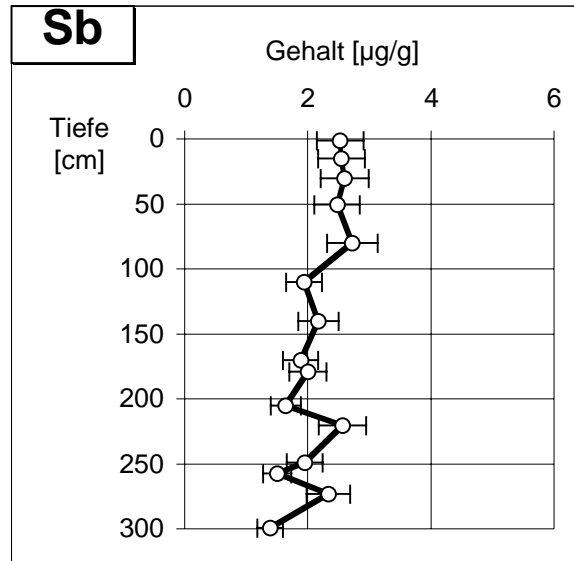
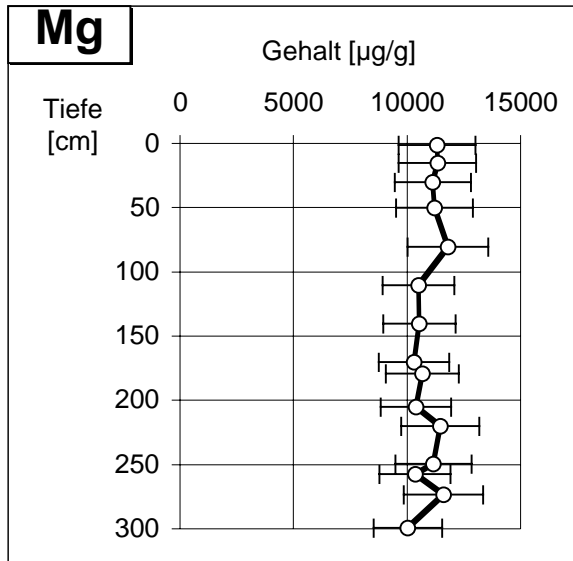




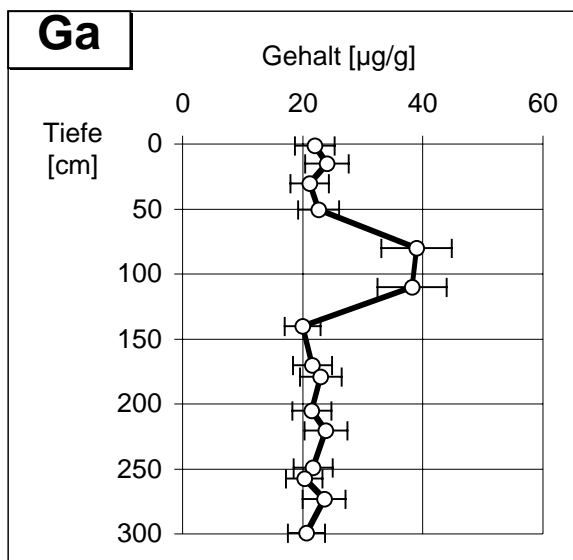
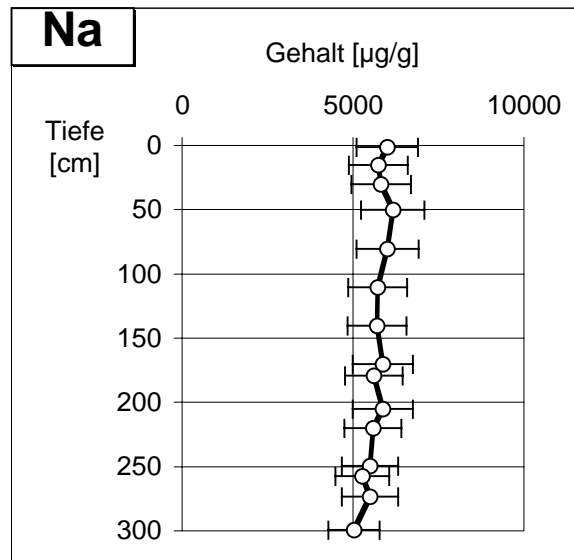
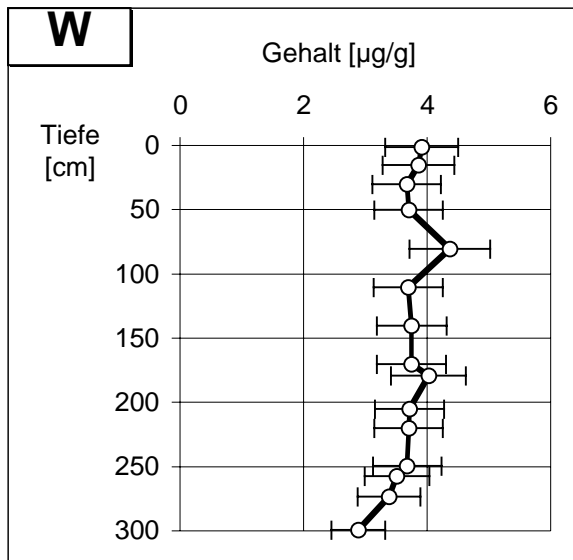
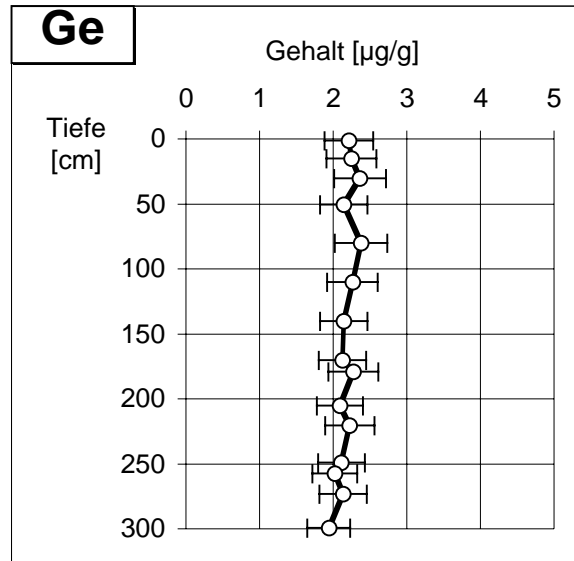
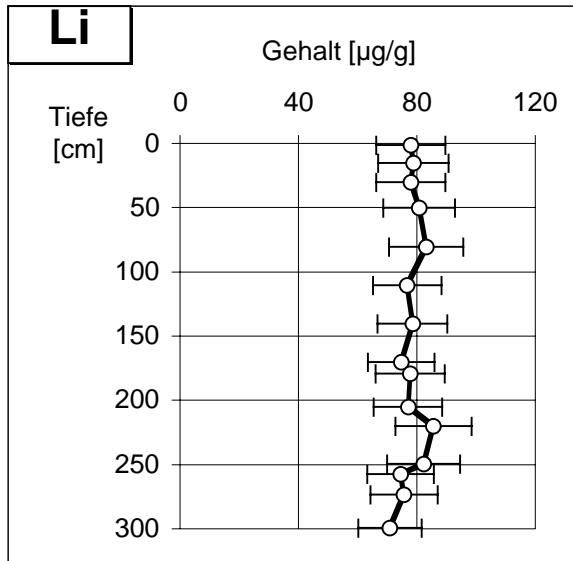


Kap. 9.1.2.1.2: Hradec Králové, Auenkern 45, Elementtiefenprofile, Elementgruppe 7

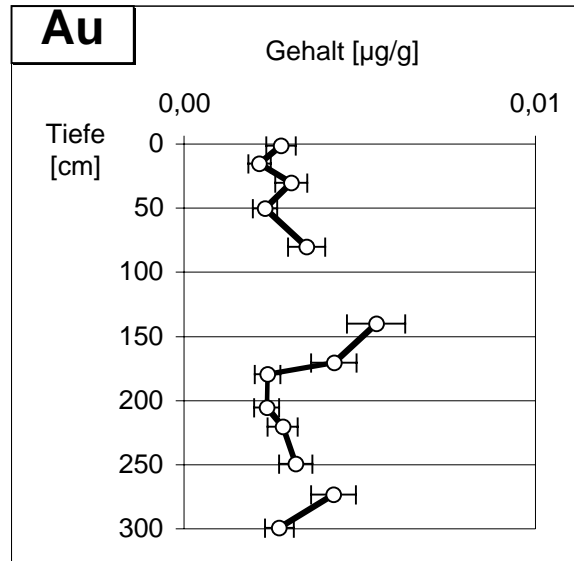
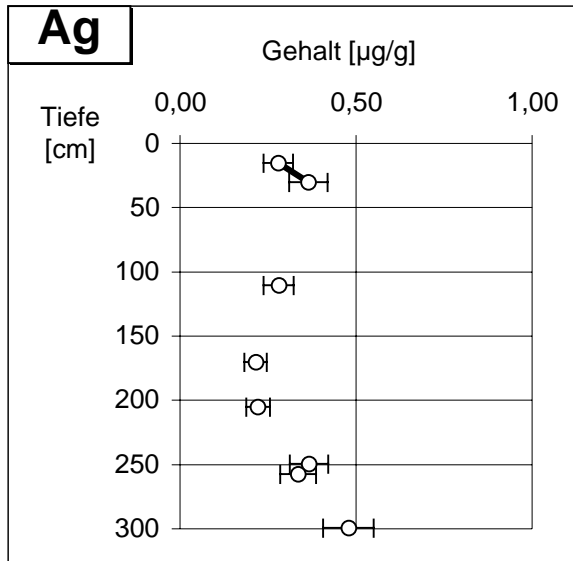




Kap. 9.1.2.1.2: Hradec Králové, Auenkern 45, Elementtiefenprofile, Elementgruppe 8



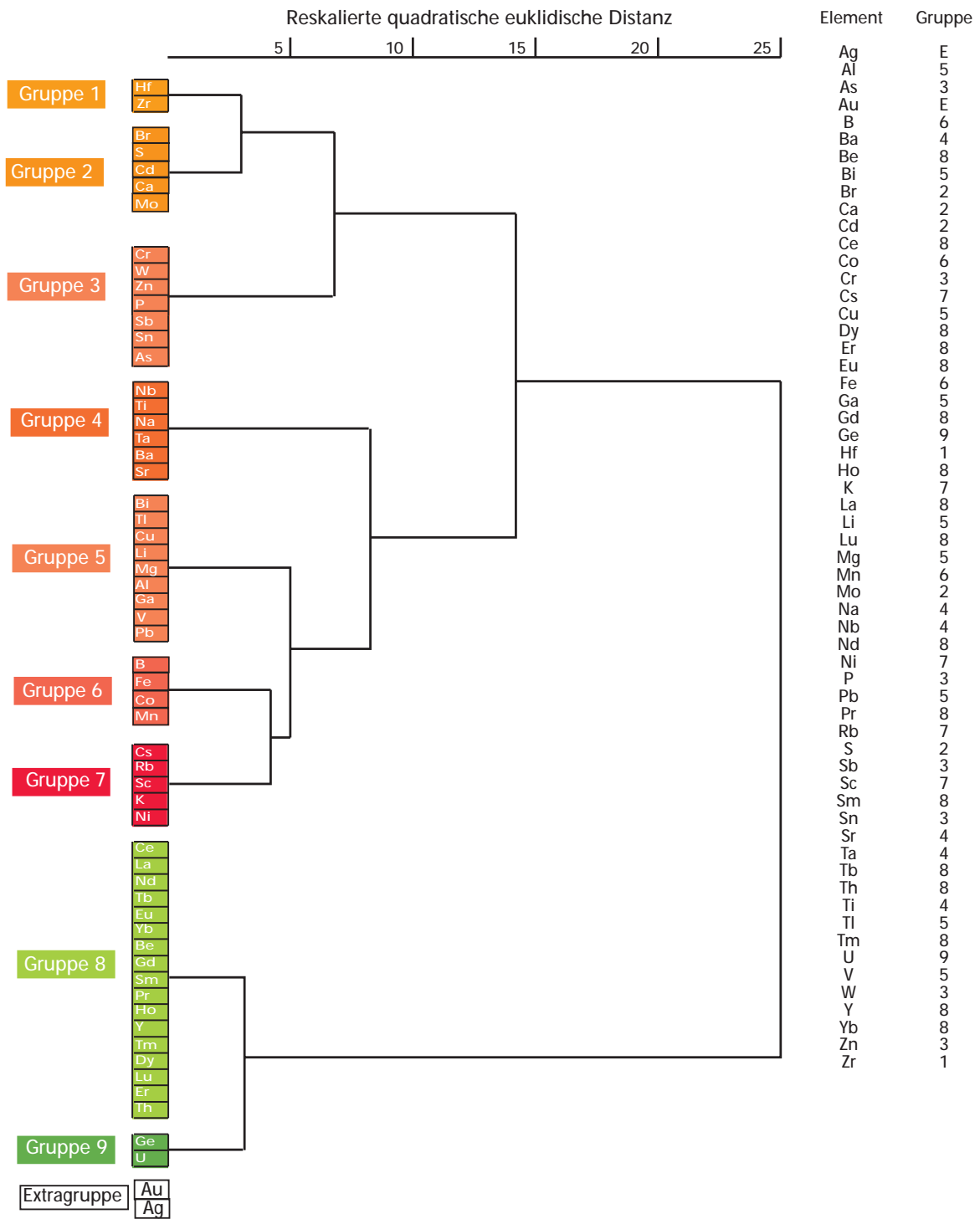
Kap. 9.1.2.1.2: Hradec Králové, Auenkern 45, Elementtiefenprofile, Elementgruppe 8



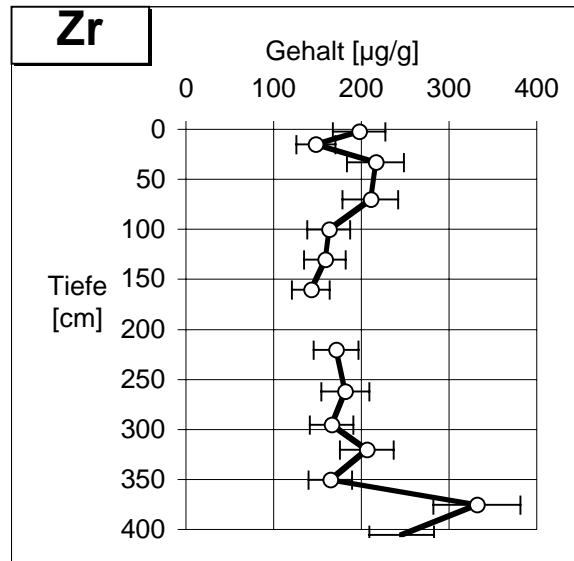
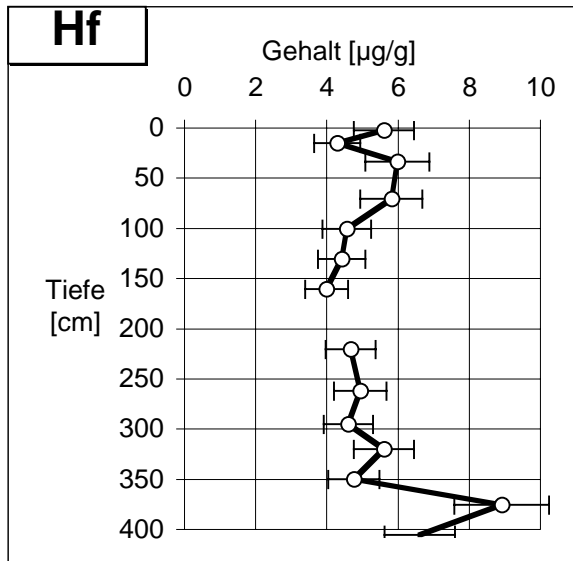


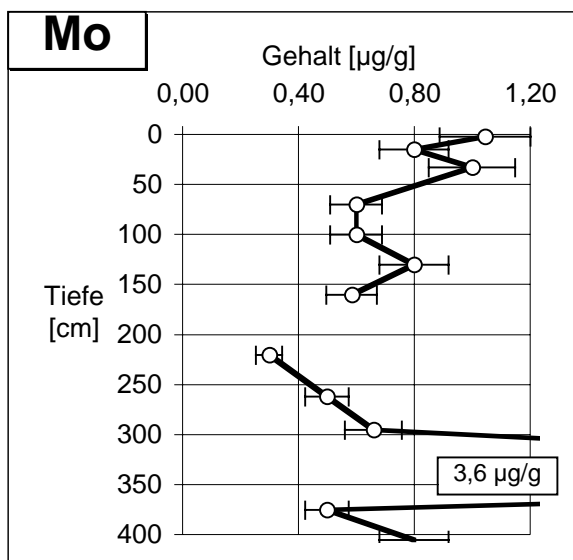
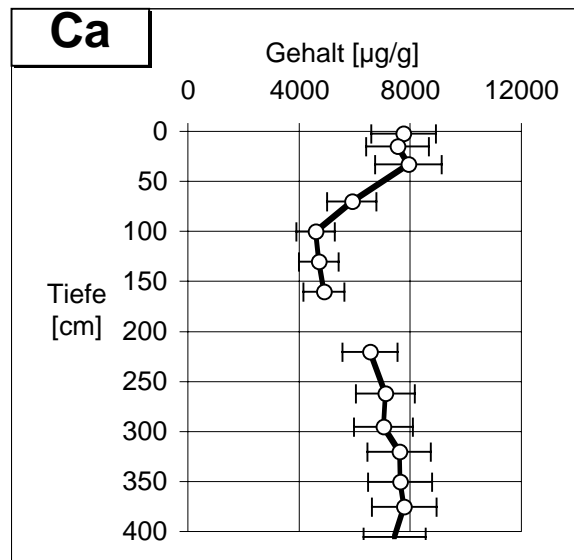
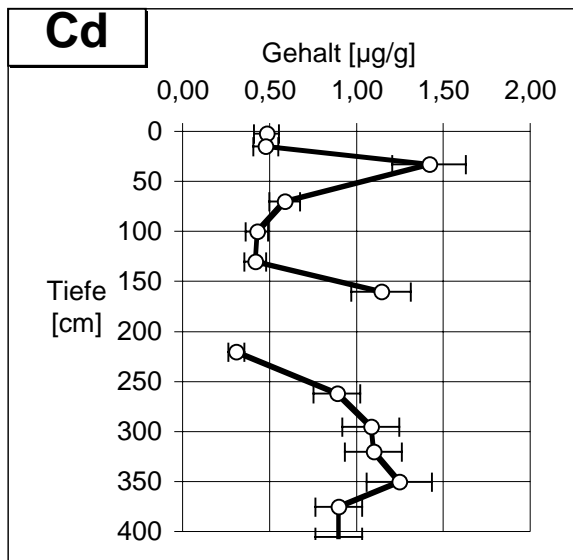
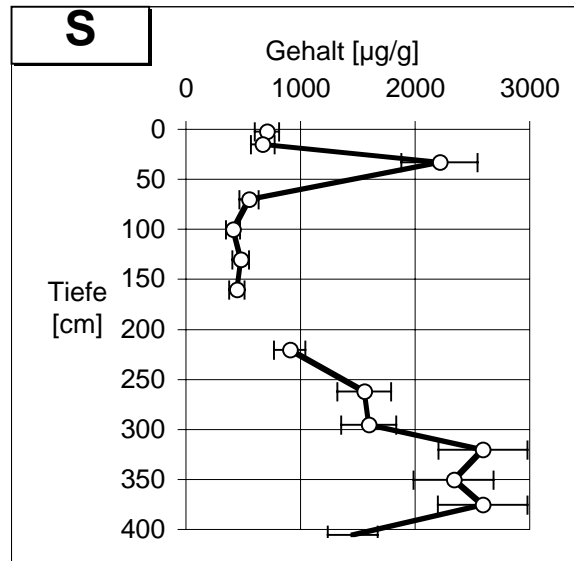
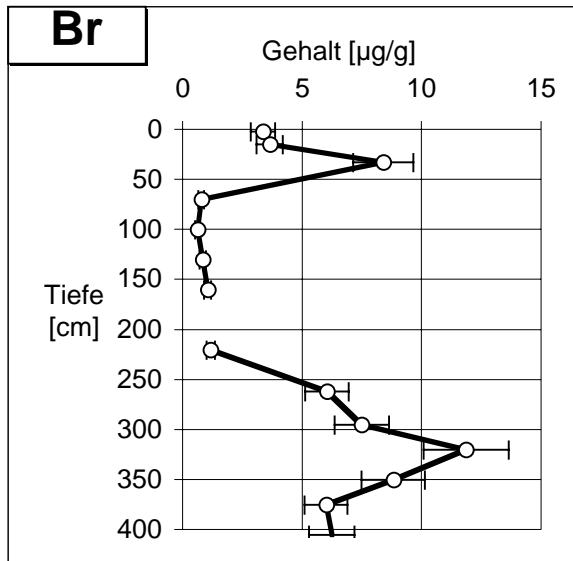


9.1.2.1.3 Auenkern 87

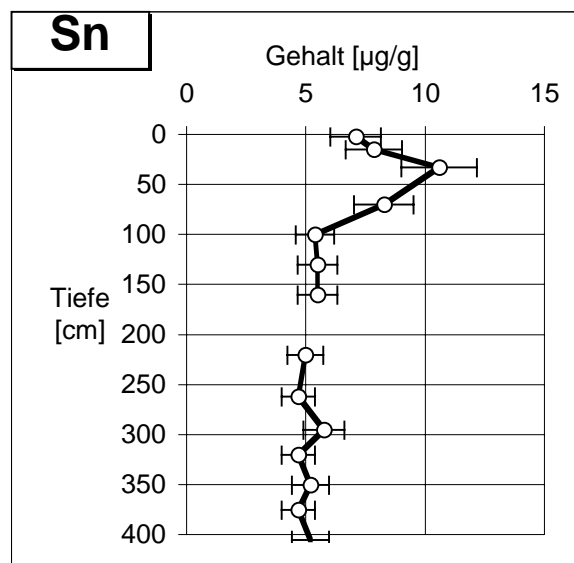
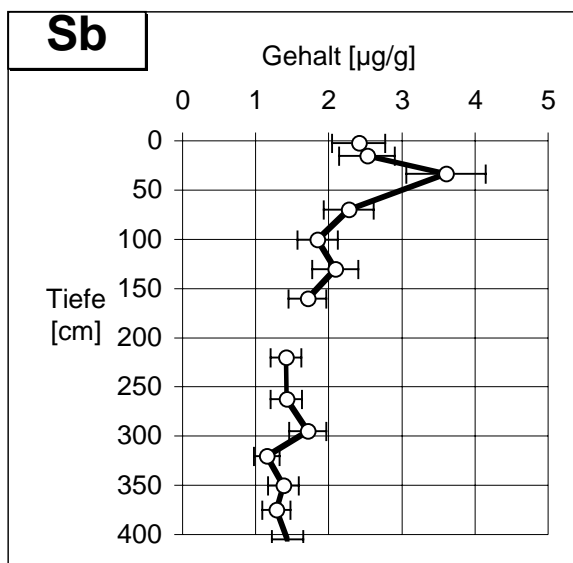
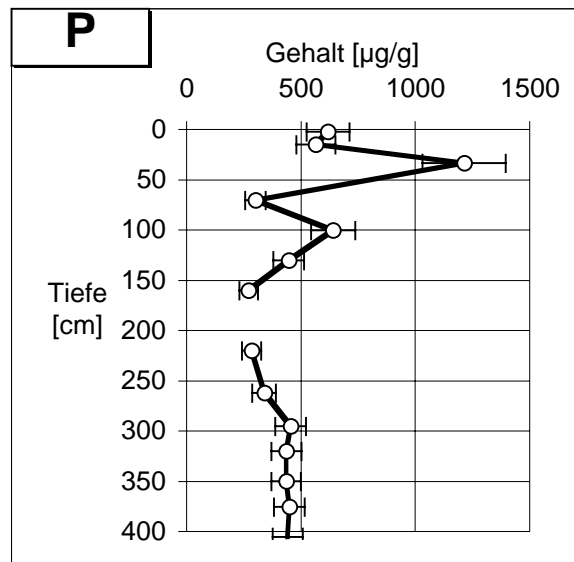
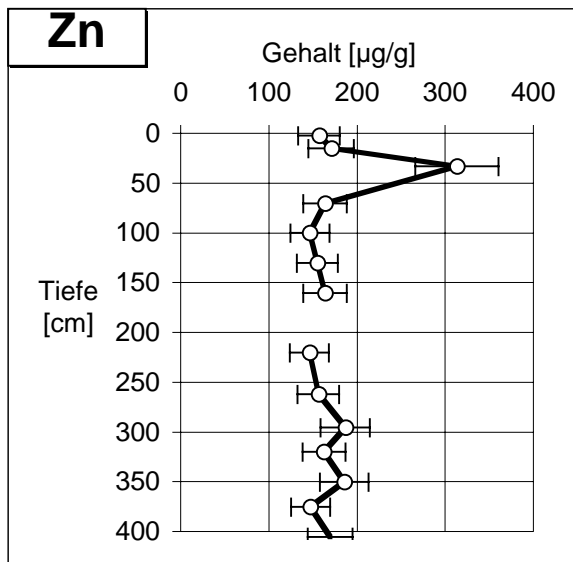
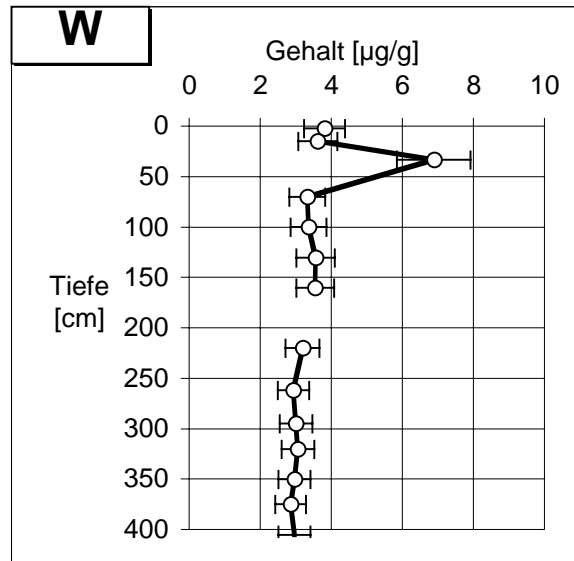
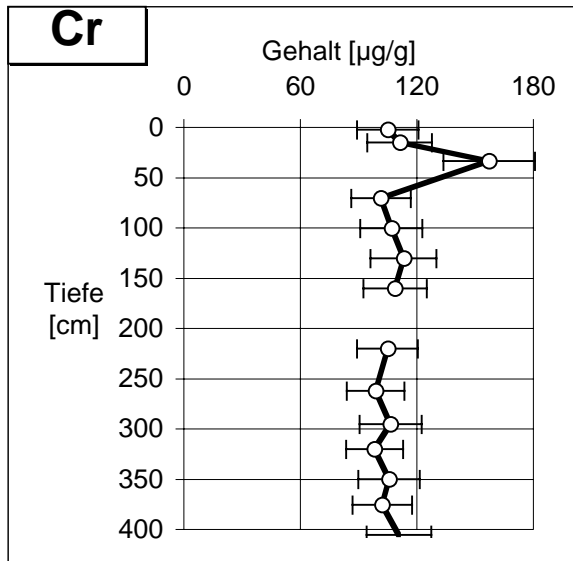


**Abb. 9.1.2.3:** Dendrogramm der Elemente für Kern 87 aus Hradec Králové (vgl. Abb. 5.1.24)

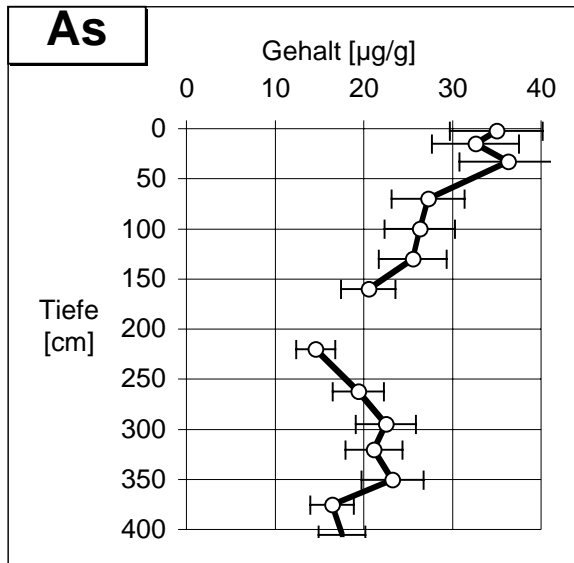


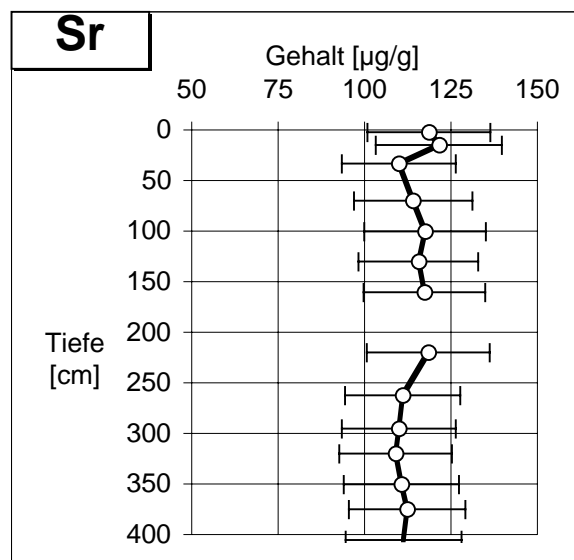
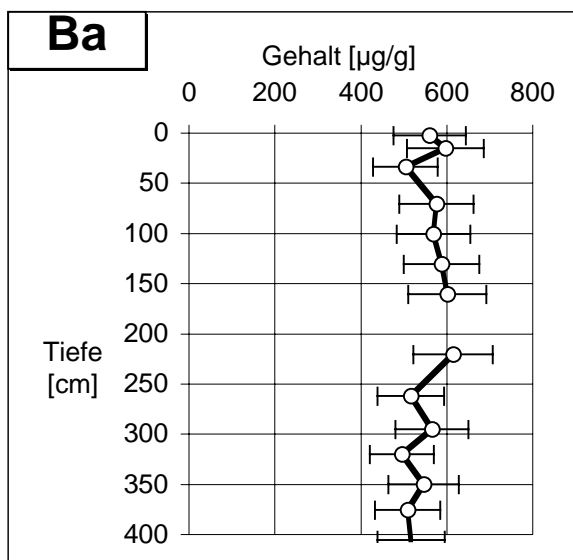
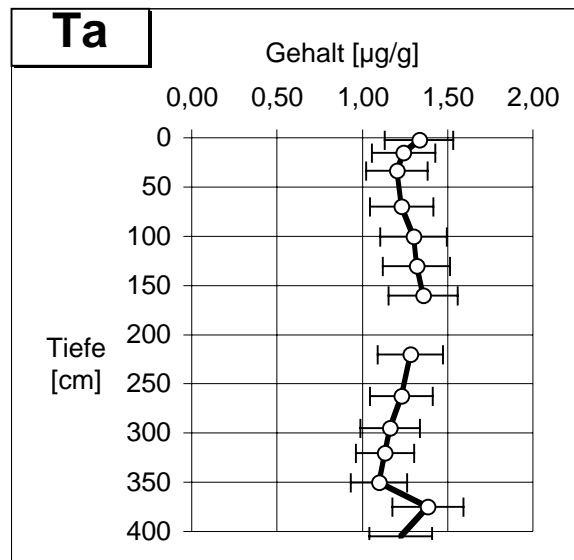
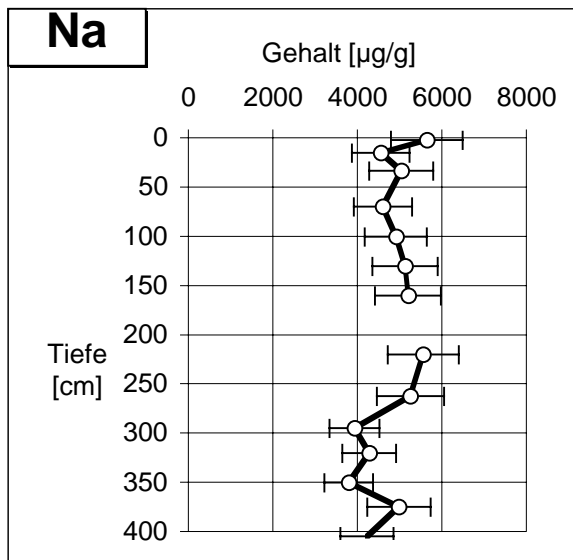
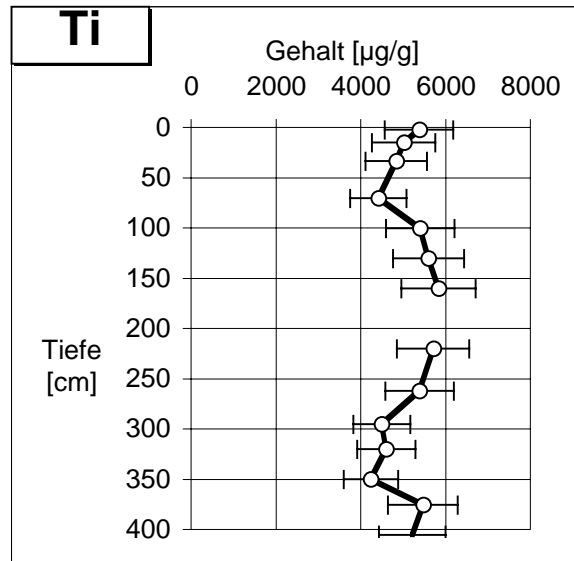
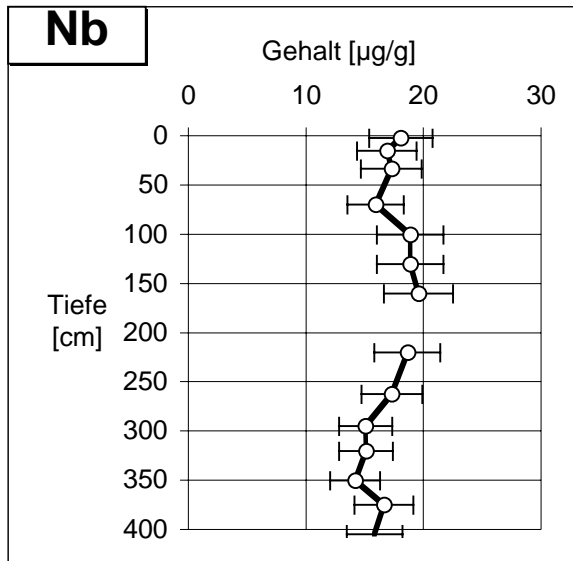


Kap. 9.1.2.1.3: Hradec Králové, Auenkern 87, Elementtiefenprofile, Elementgruppe 2

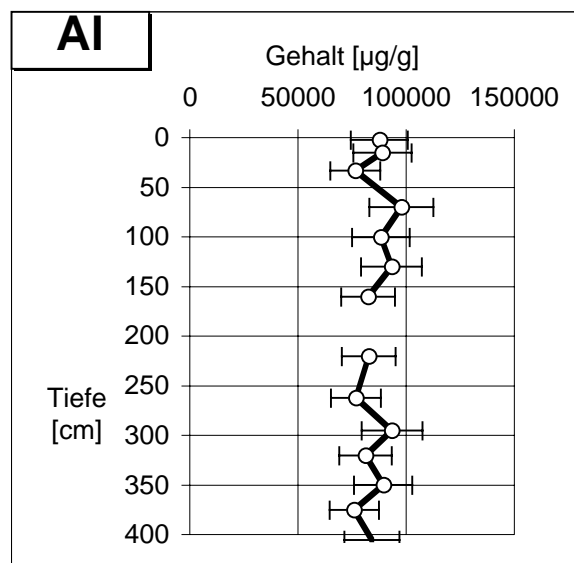
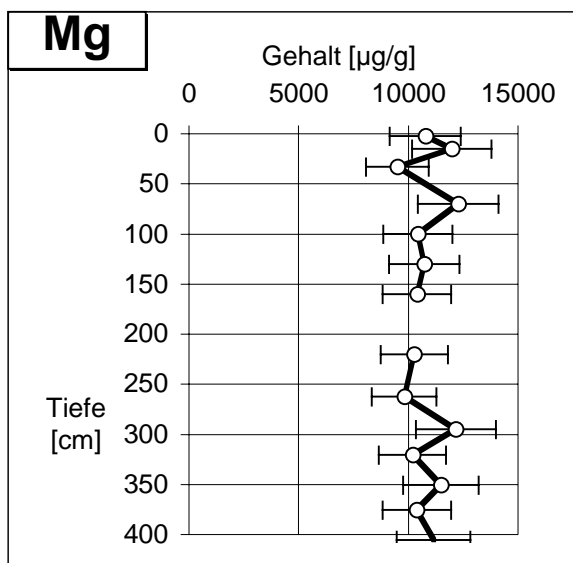
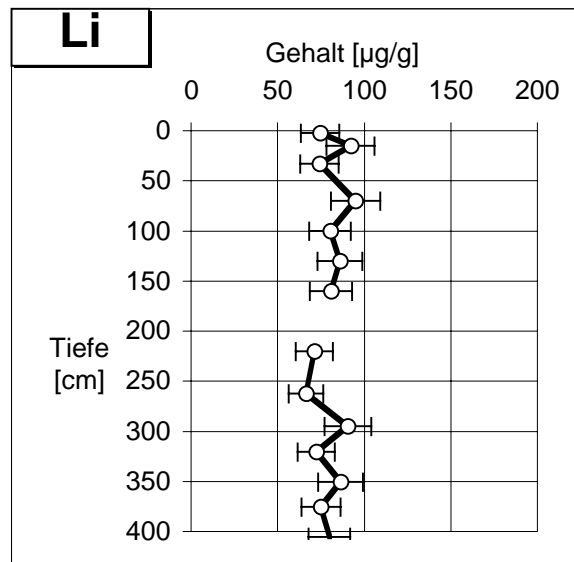
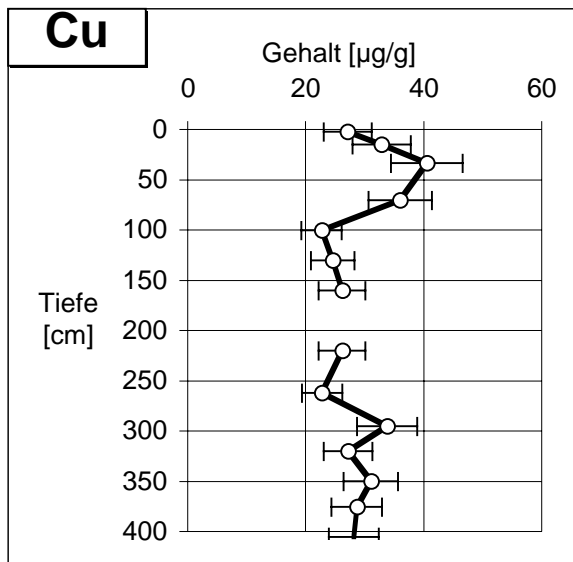
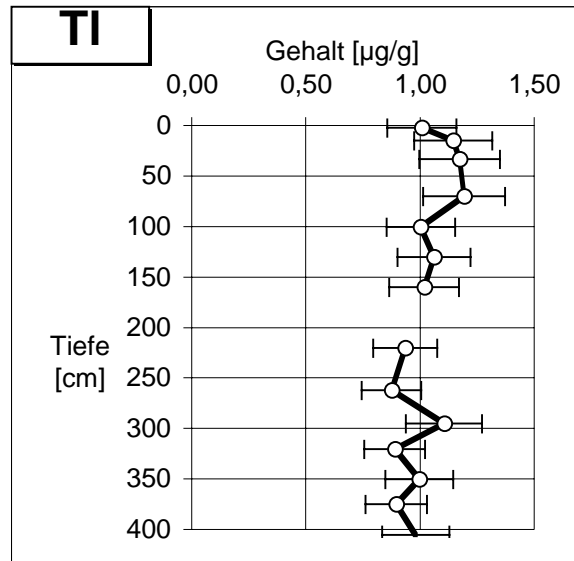
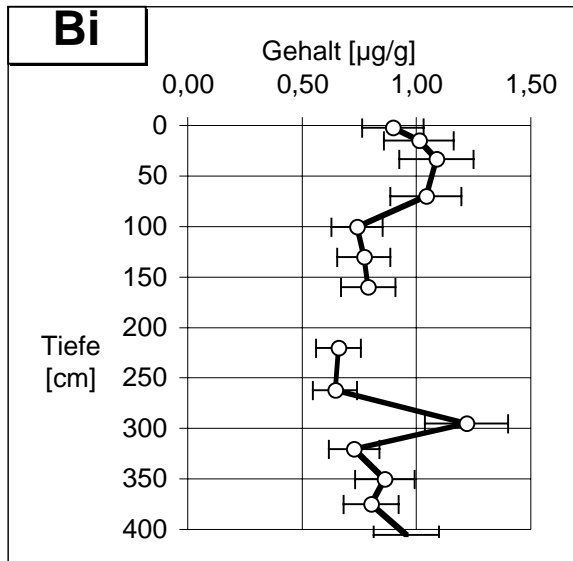


Kap. 9.1.2.1.3: Hradec Králové, Auenkern 87, Elementtiefenprofile, Elementgruppe 3



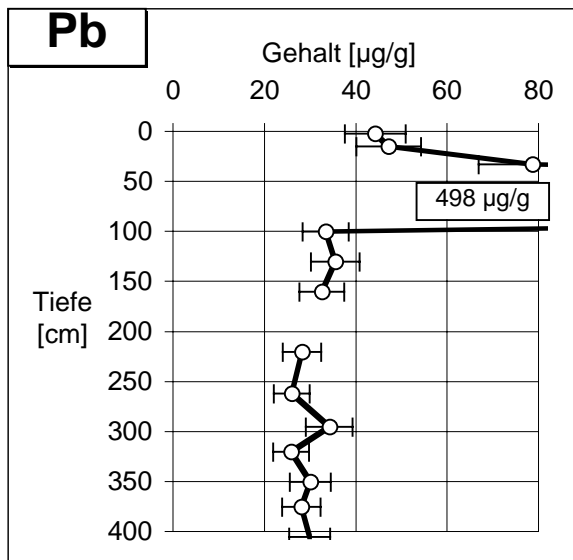
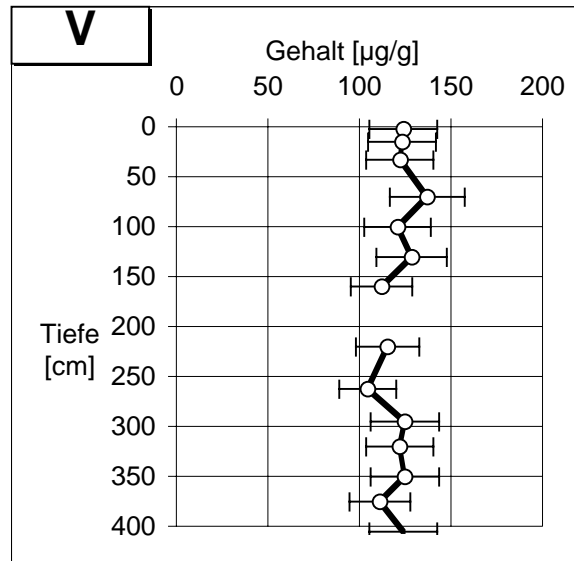
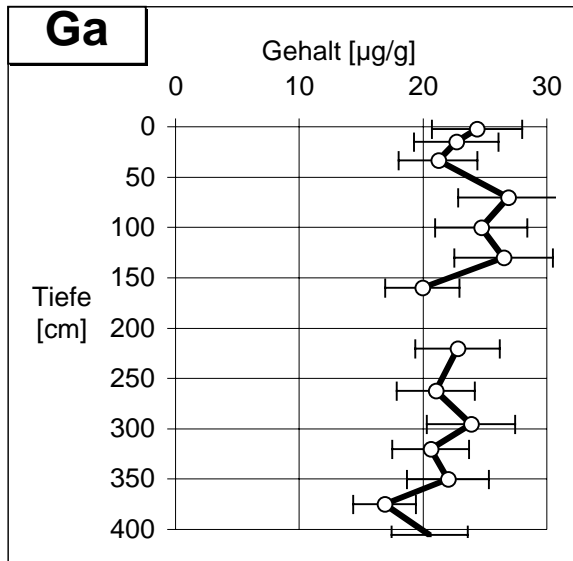


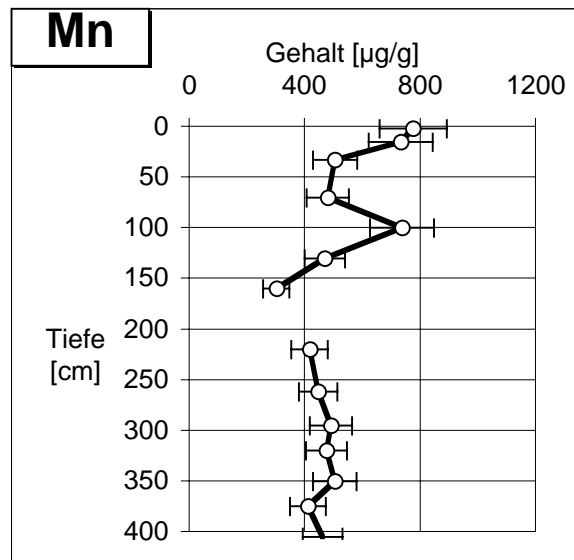
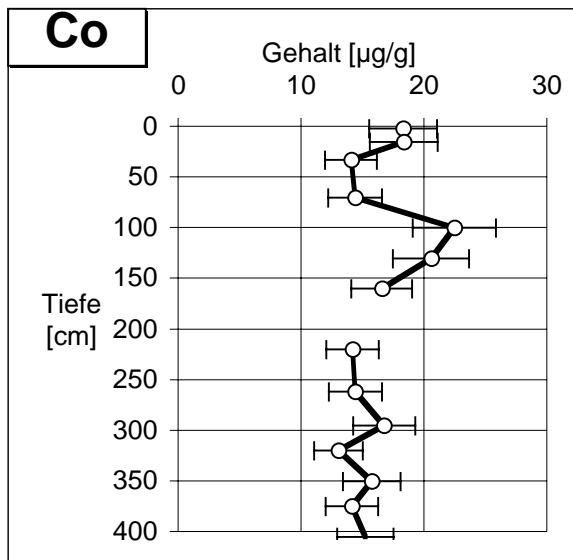
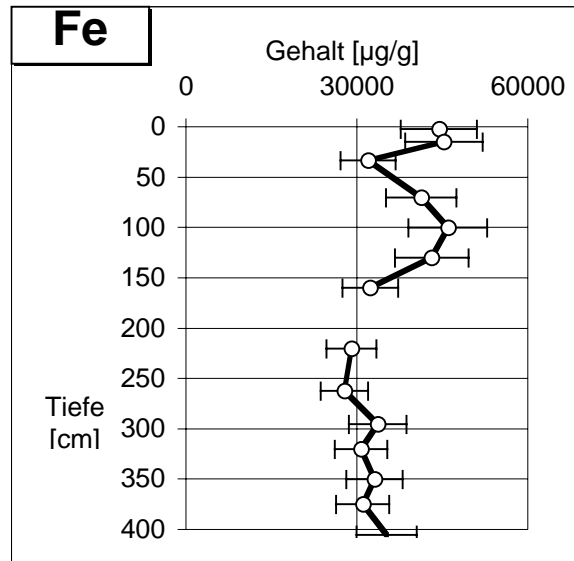
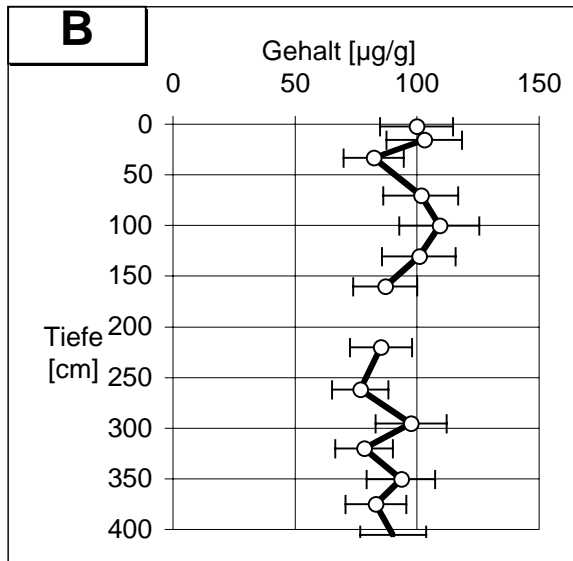
Kap. 9.1.2.1.3: Hradec Králové, Auenkern 87, Elementtiefenprofile, Elementgruppe 4

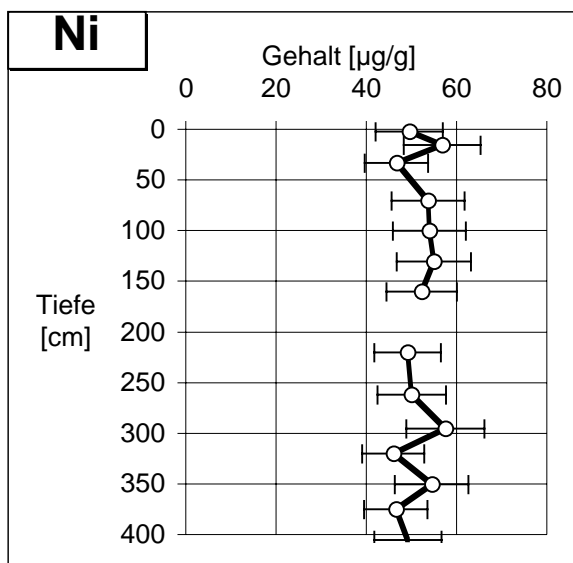
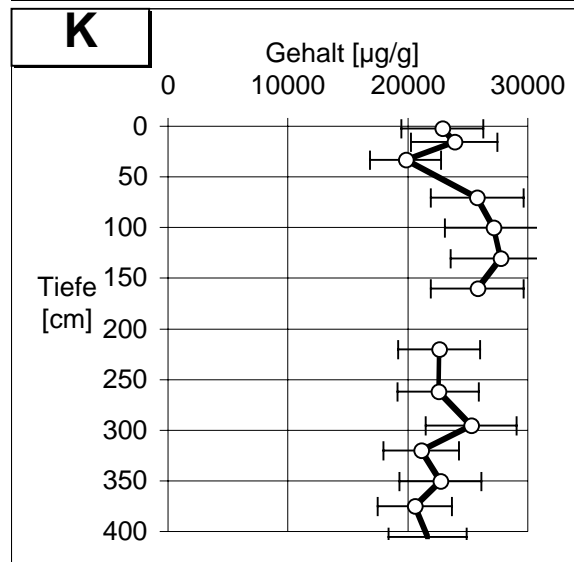
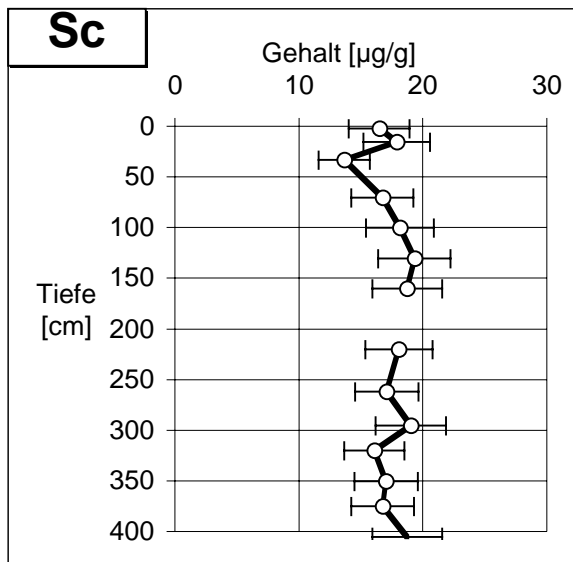
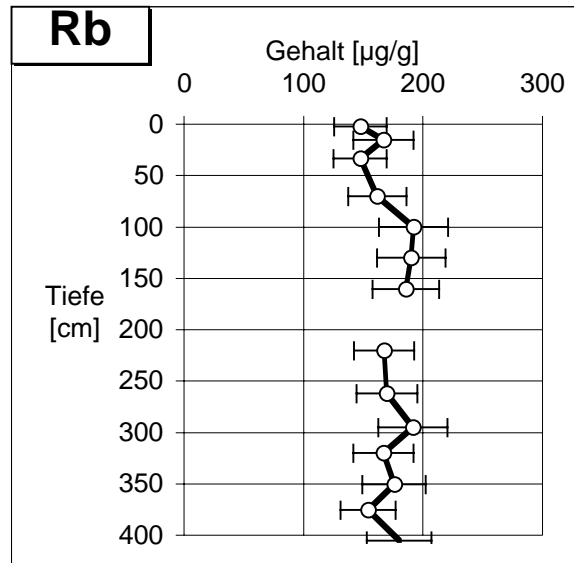
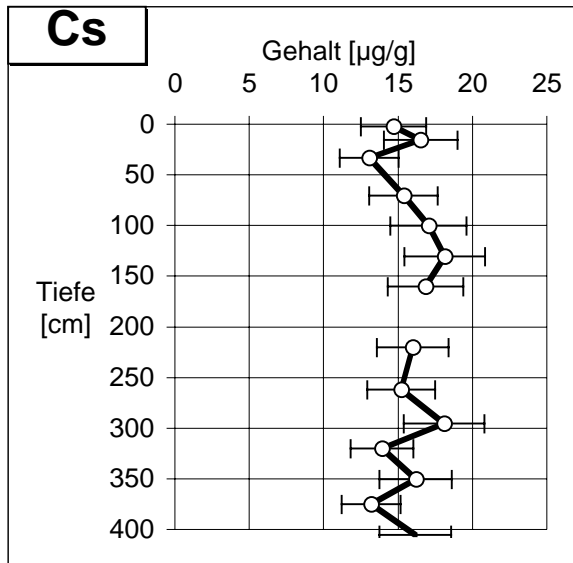


Kap. 9.1.2.1.3: Hradec Králové, Auenkern 87, Elementtiefenprofile, Elementgruppe 5

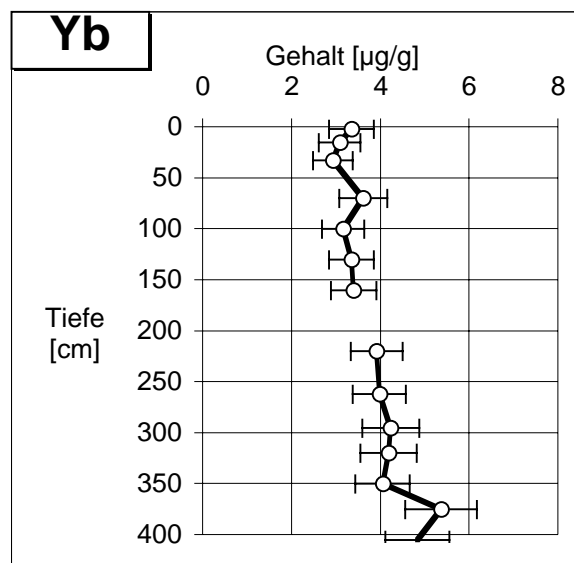
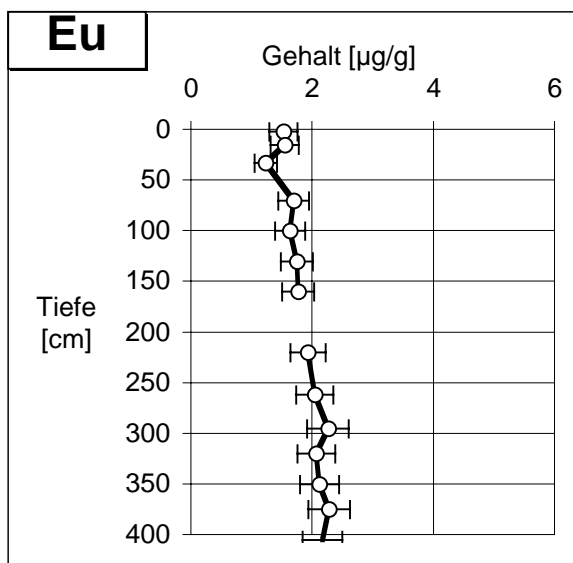
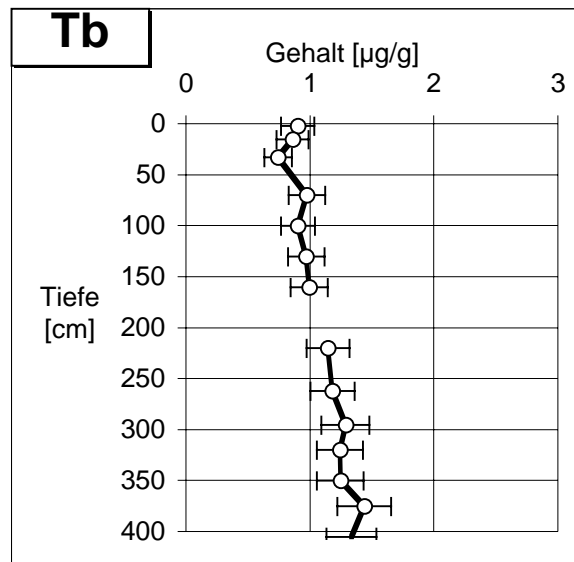
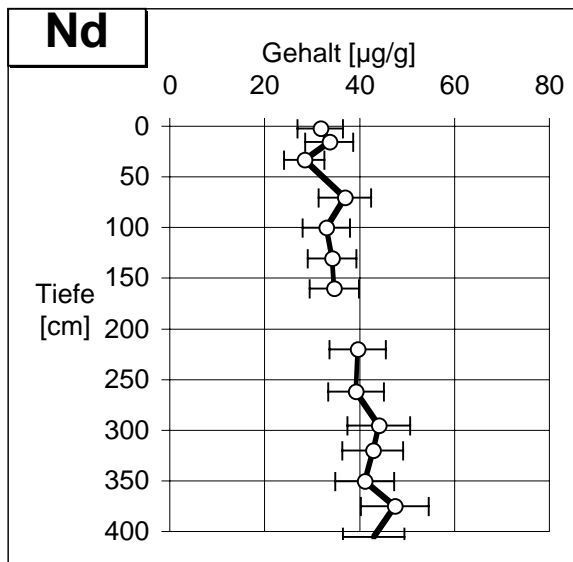
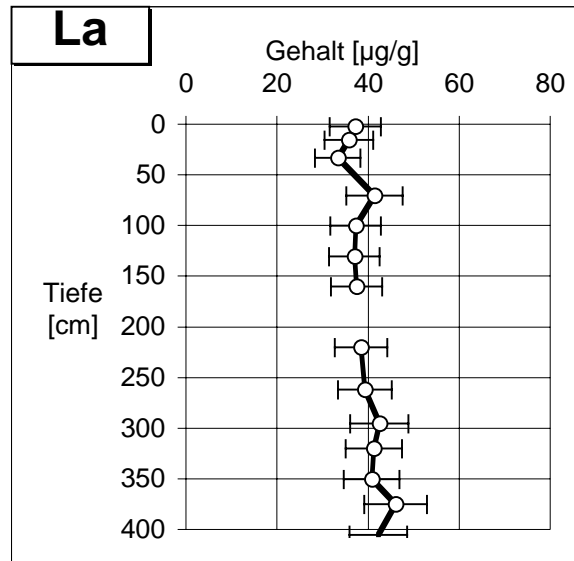
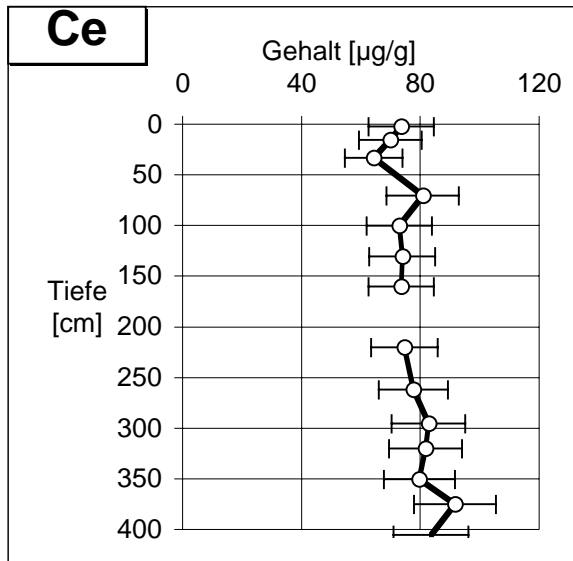




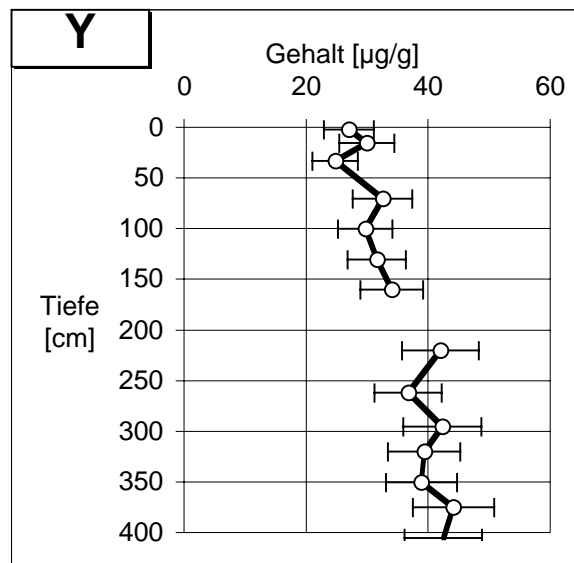
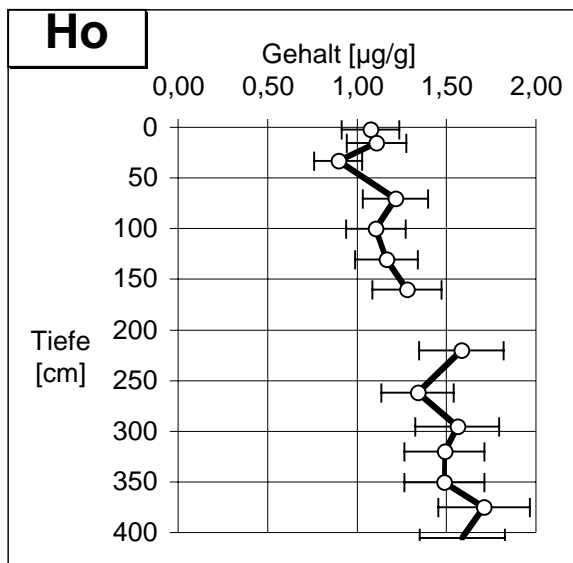
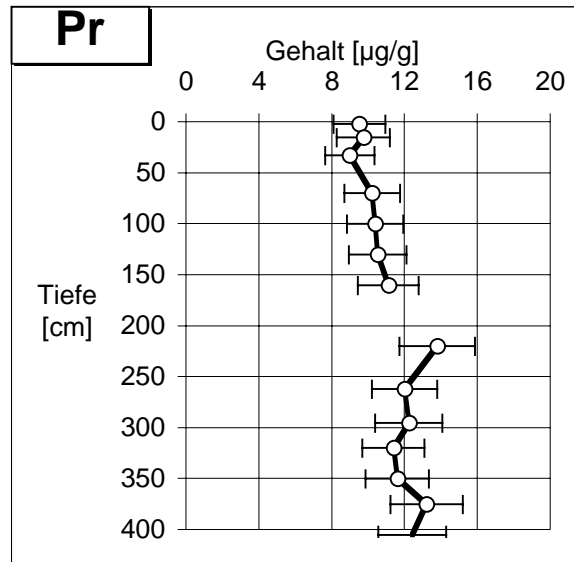
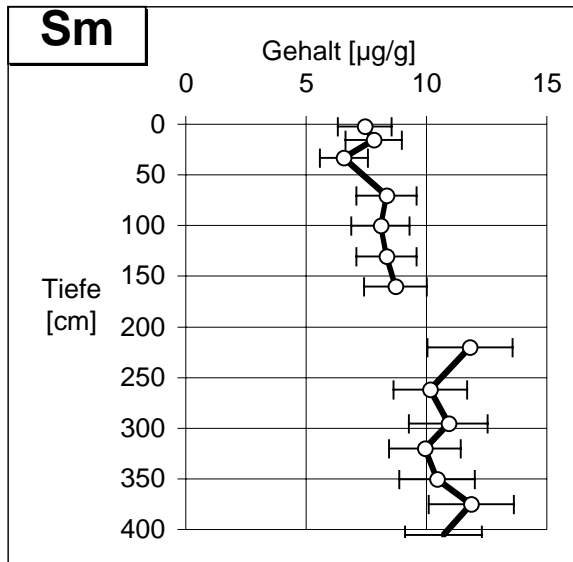
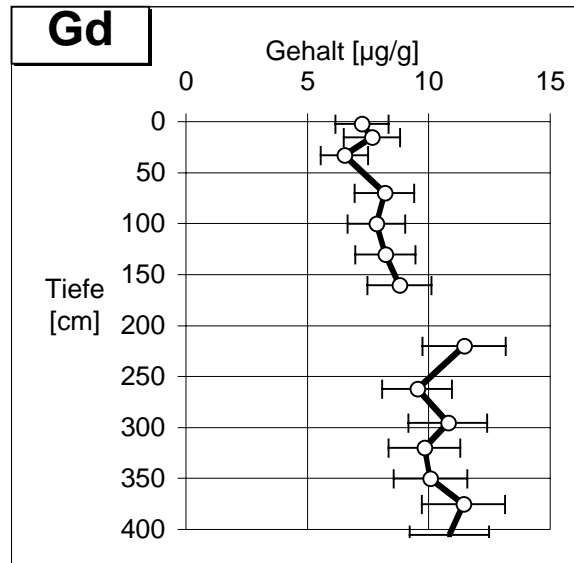
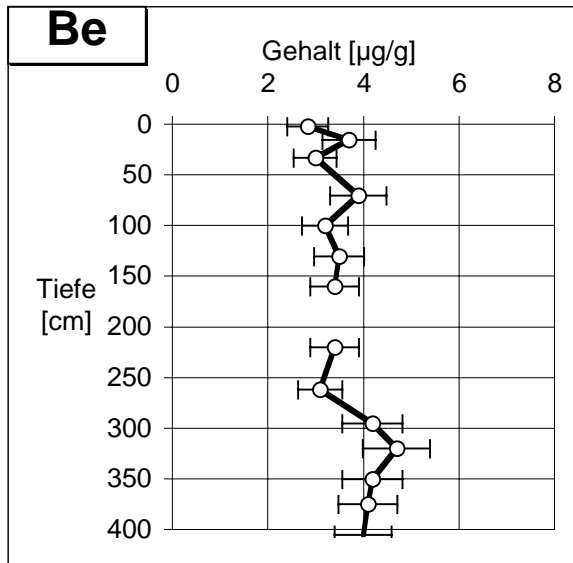




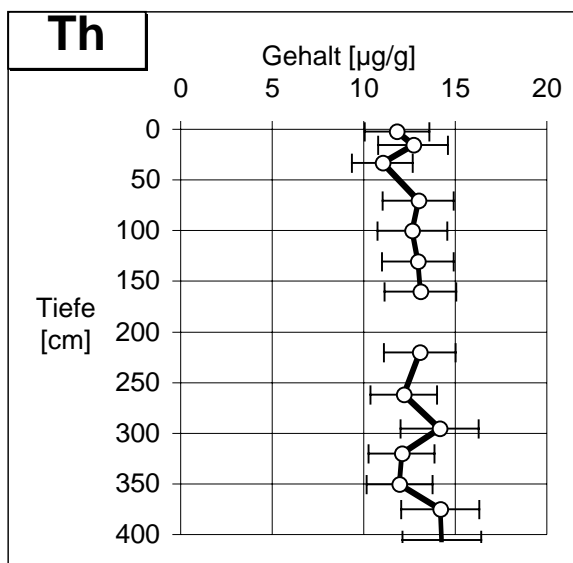
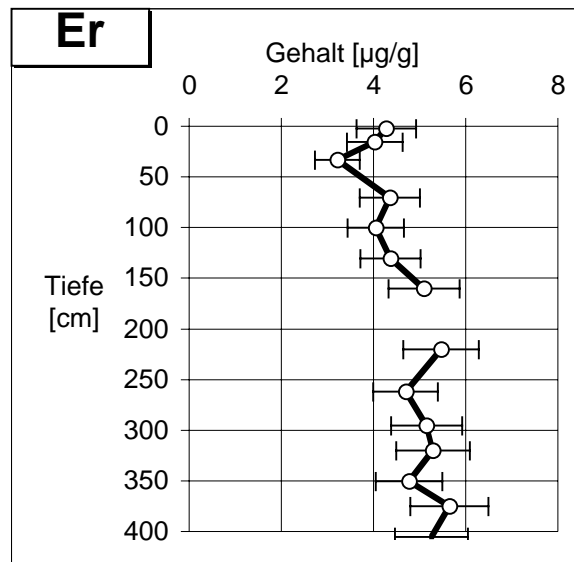
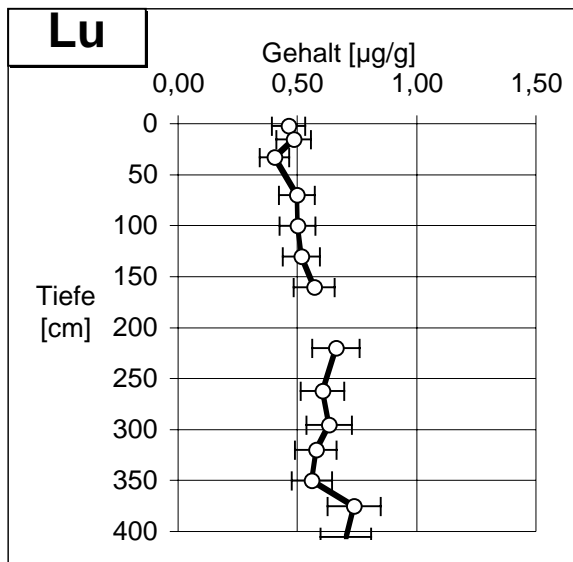
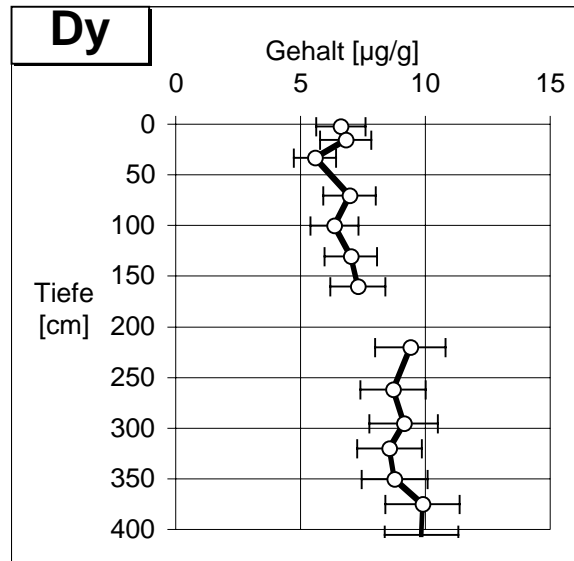
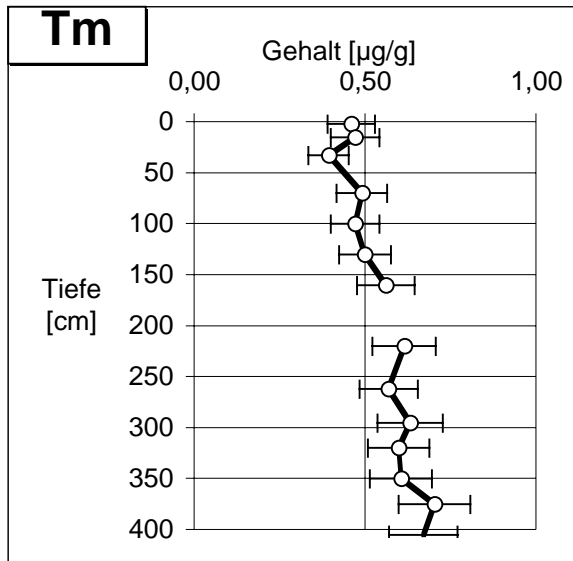
Kap. 9.1.2.1.3: Hradec Králové, Auenkern 87, Elementtieffenprofile, Elementgruppe 7



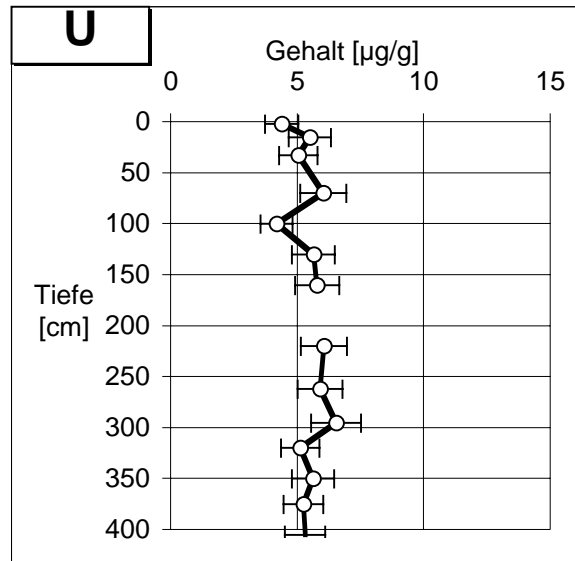
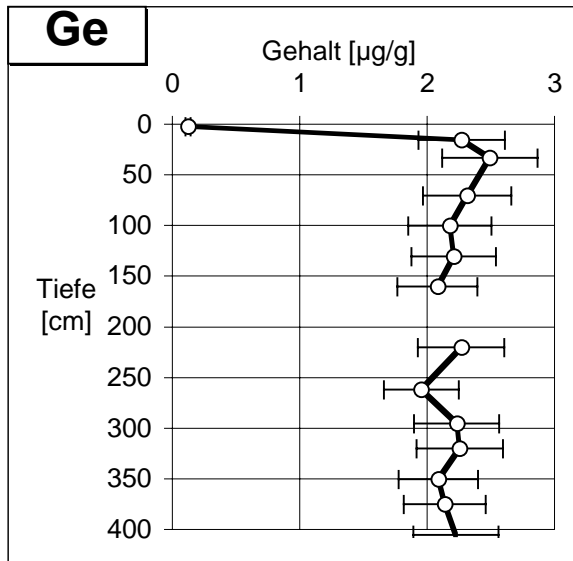
Kap. 9.1.2.1.3: Hradec Králové, Auenkern 87, Elementtieffenprofile, Elementgruppe 8

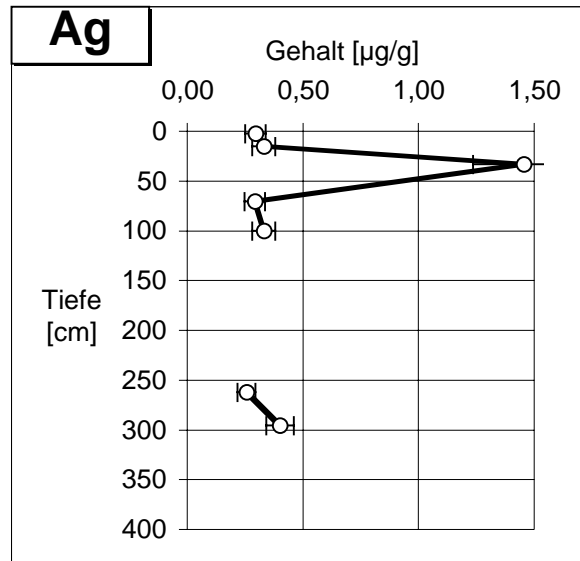
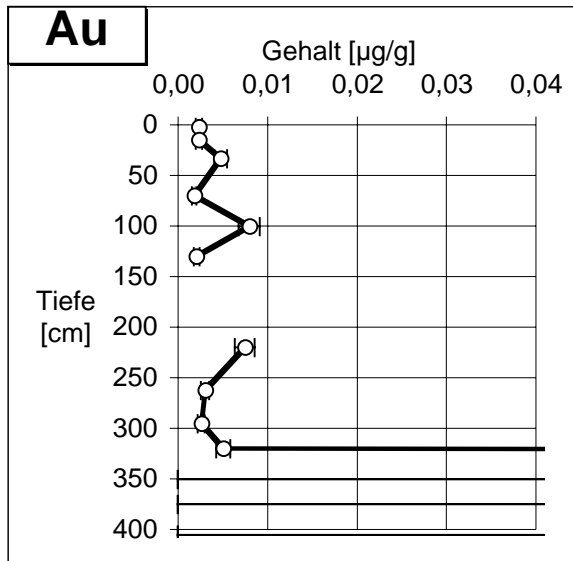


Kap. 9.1.2.1.3: Hradec Králové, Auenkern 87, Elementtiefenprofile, Elementgruppe 8



Kap. 9.1.2.1.3: Hradec Králové, Auenkern 87, Elementtiefenprofile, Elementgruppe 8









9.1.2.2 Einflußbereich des Moldaueinzugsgebietes (Roudnice)

9.1.2.2.1 Auenkern 108

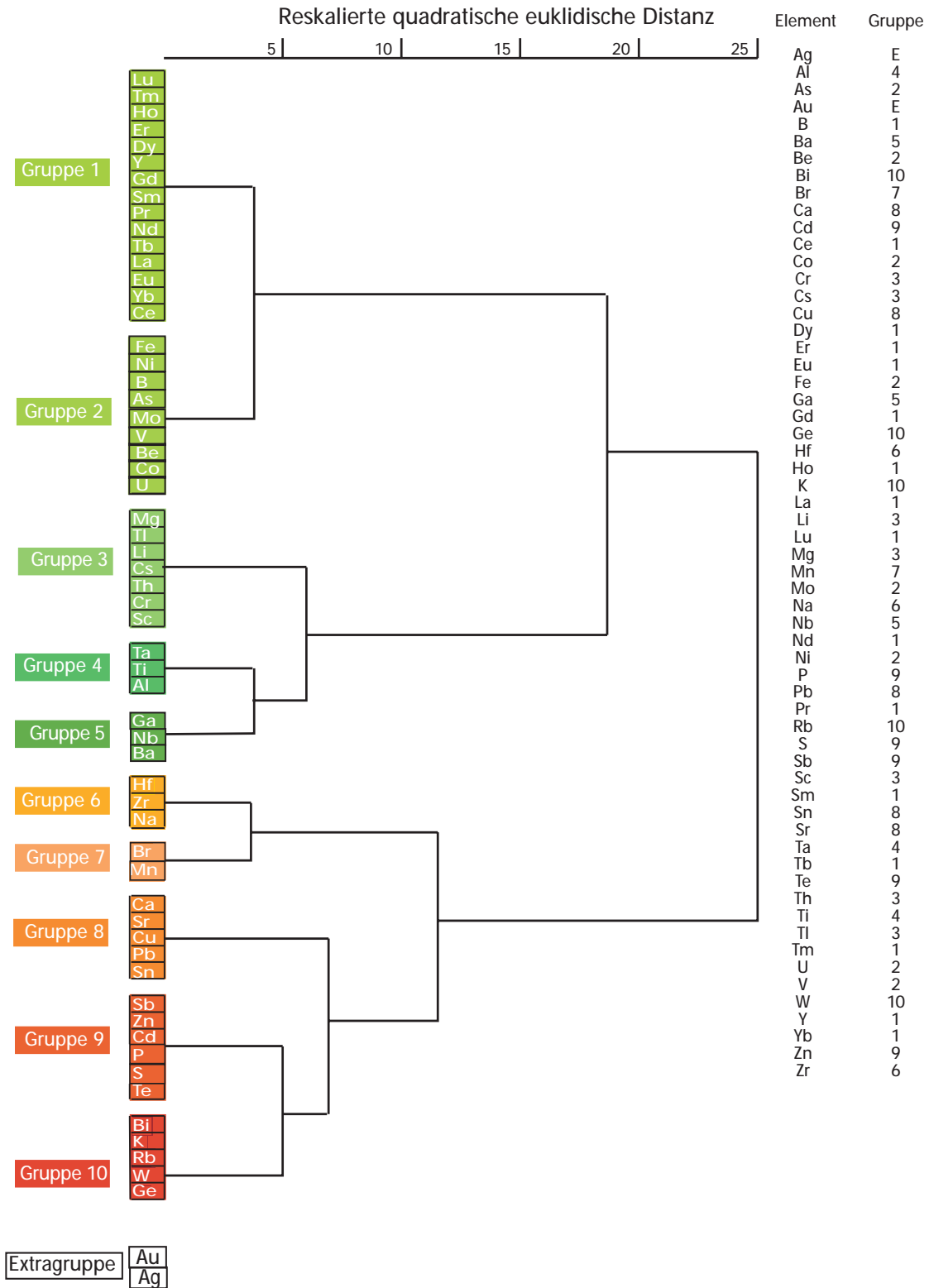
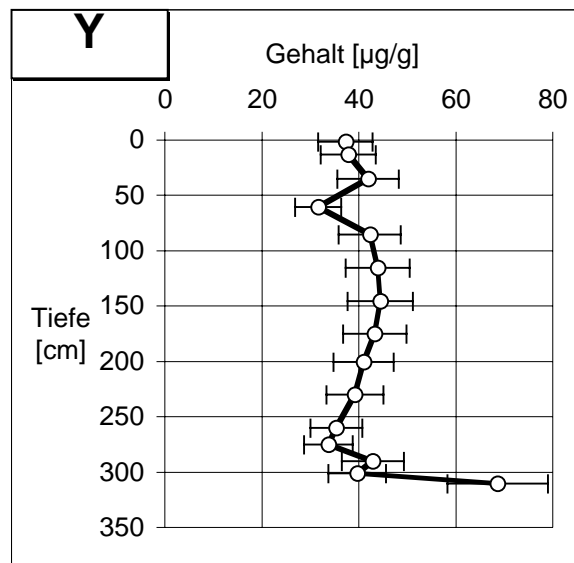
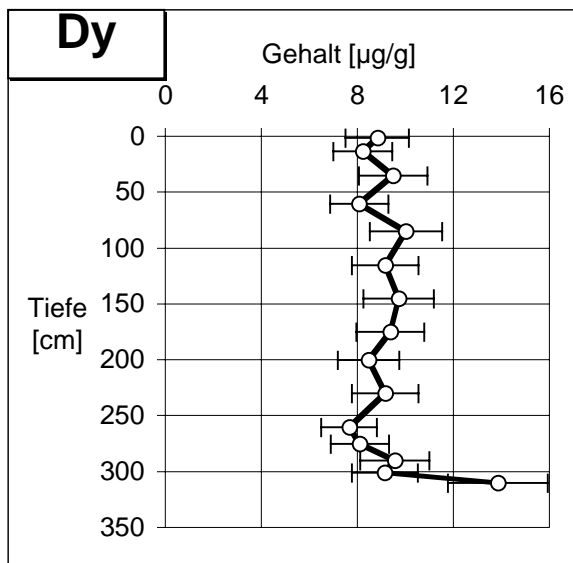
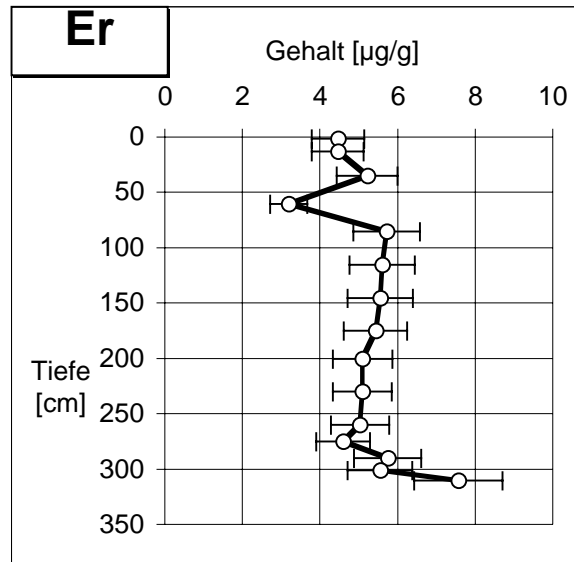
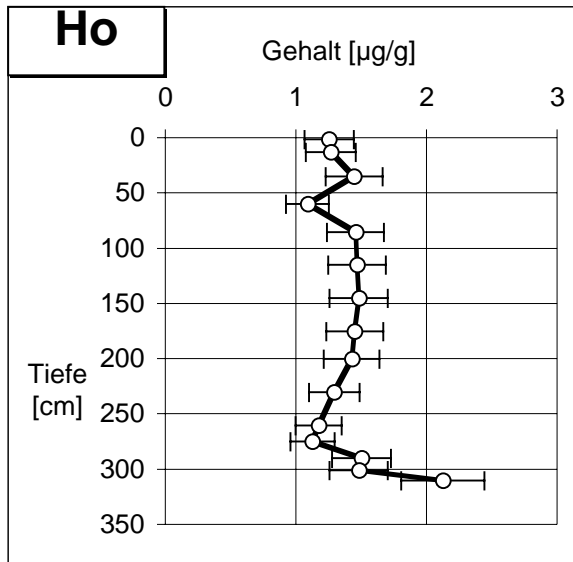
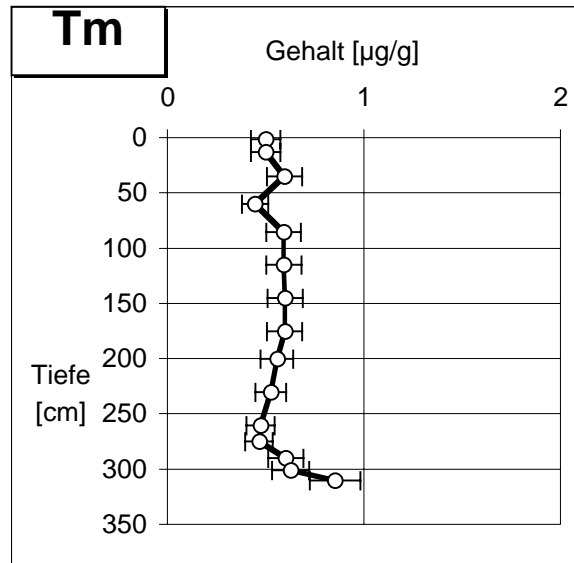
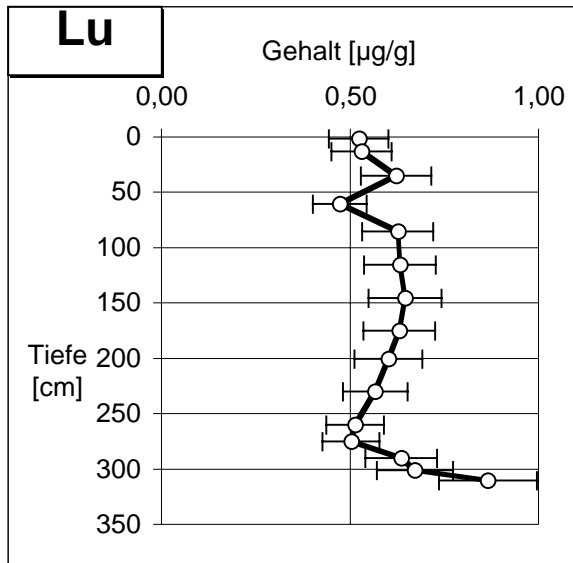
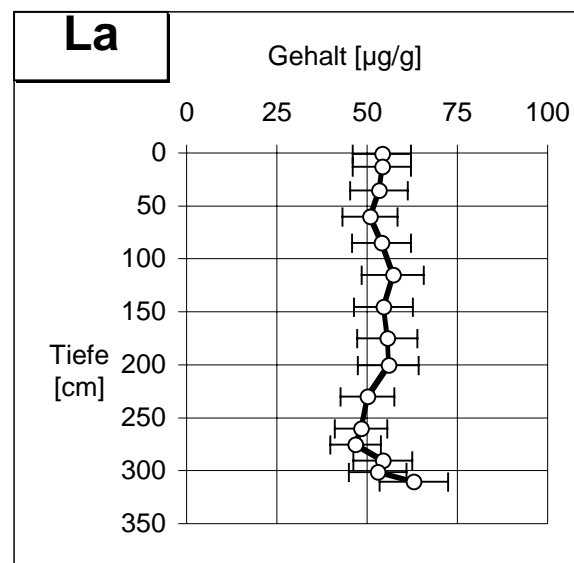
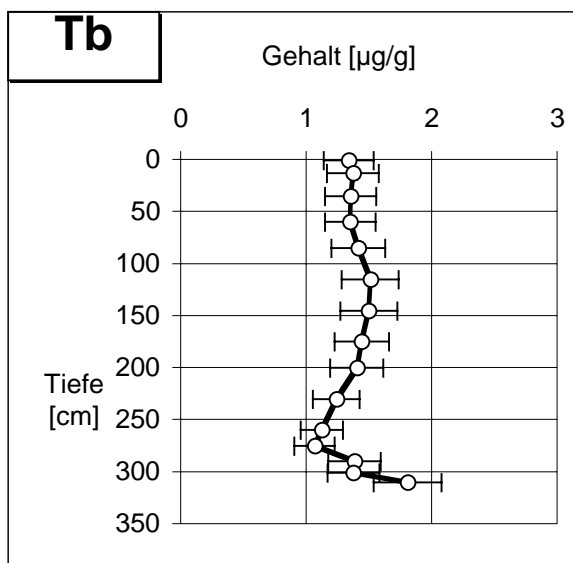
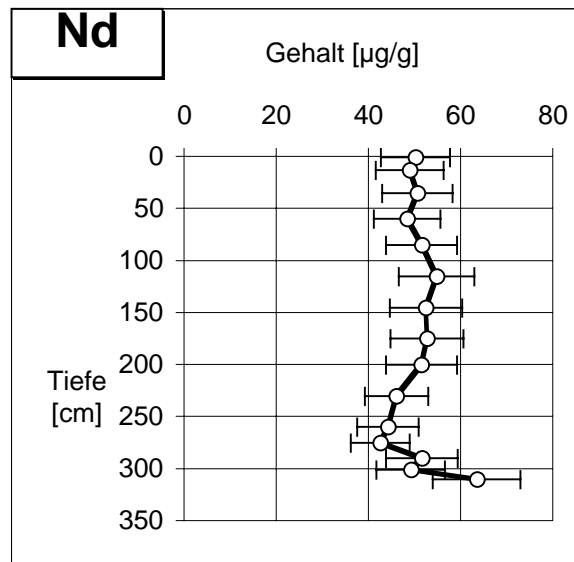
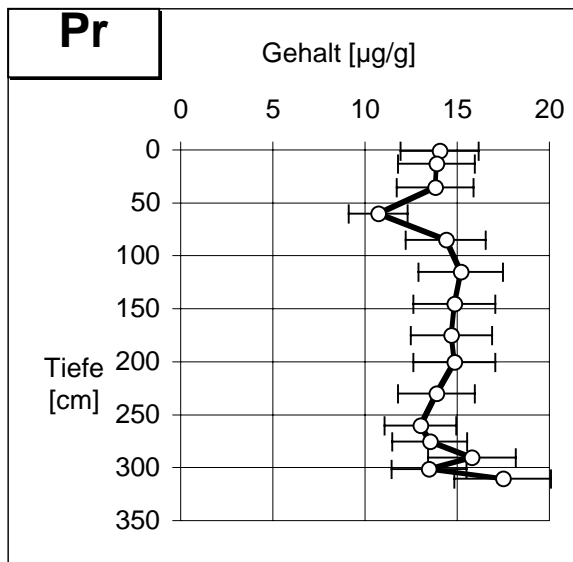
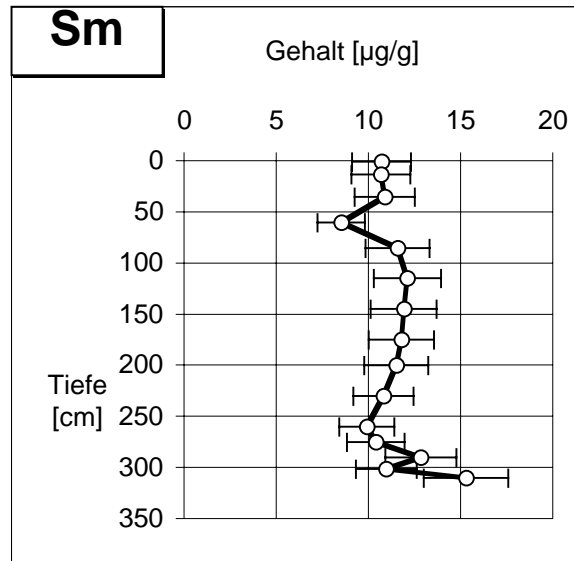
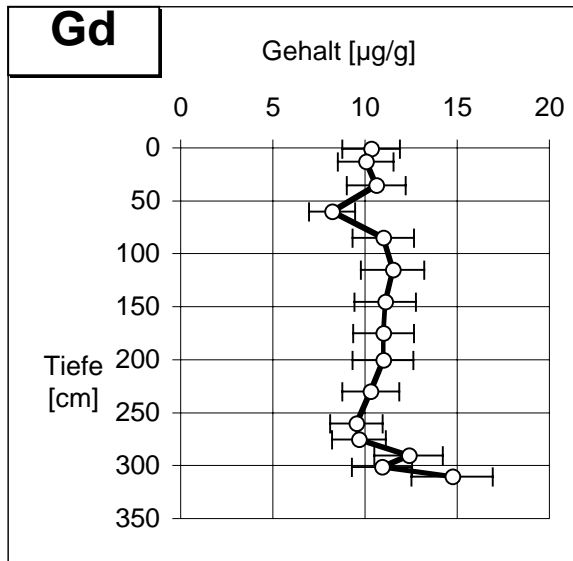


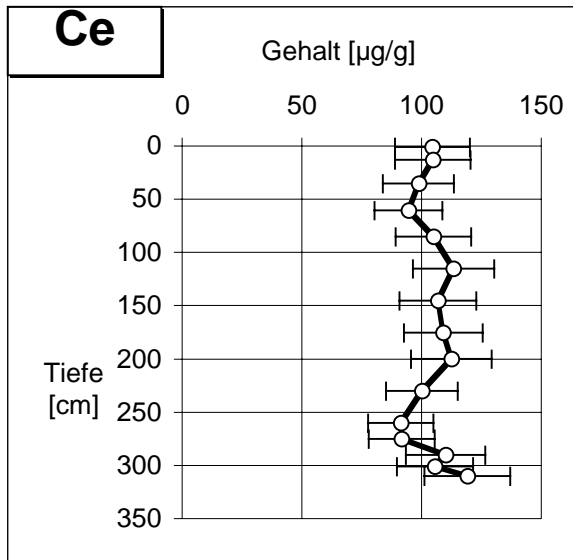
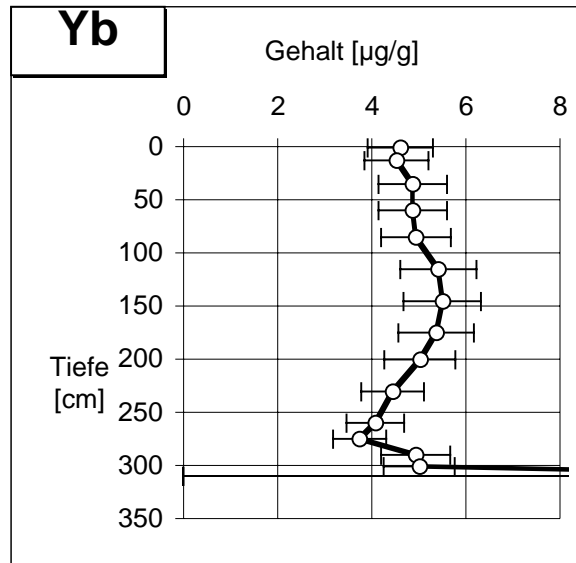
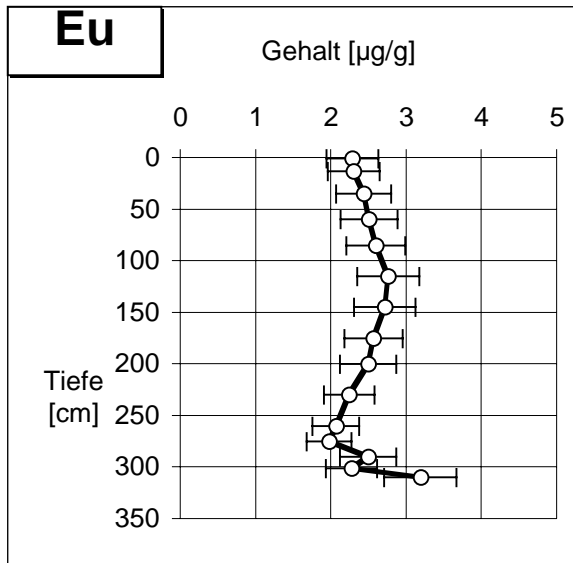
Abb. 9.1.2.4: Dendrogramm der Elemente für Kern 108 aus Roudnice (vgl. Abb. 5.2.14)

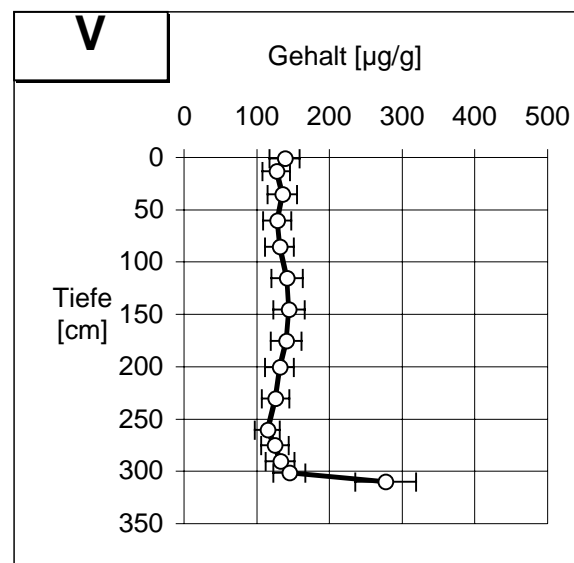
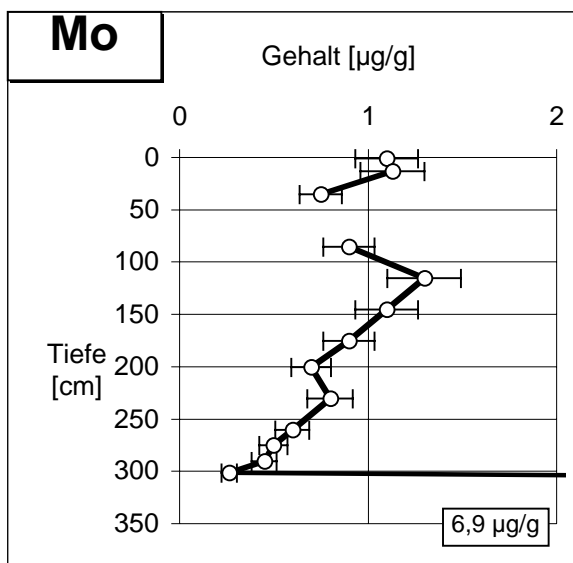
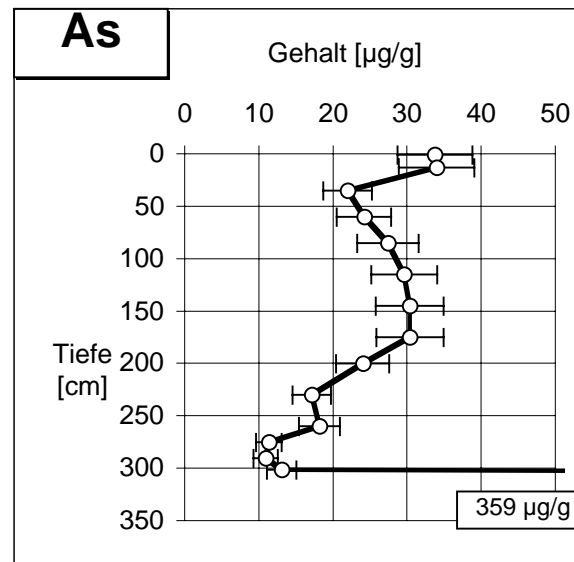
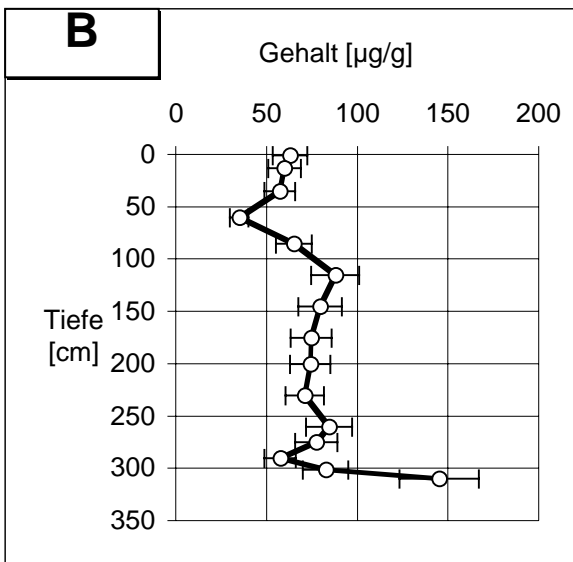
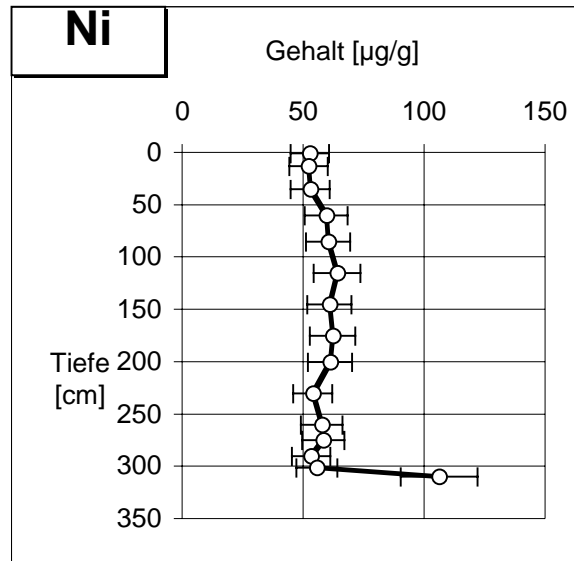
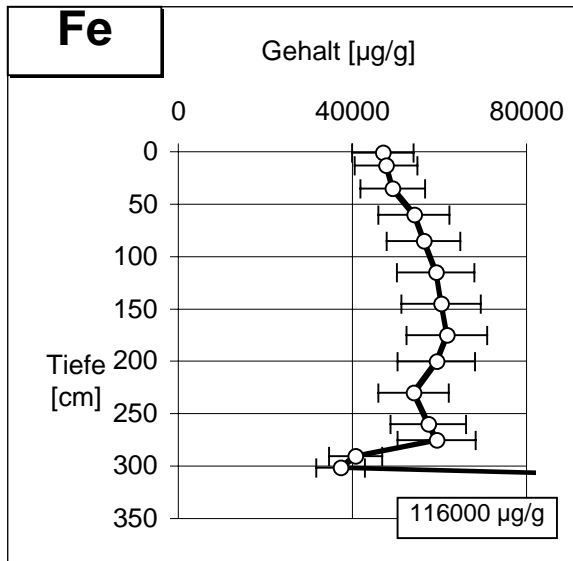


Kap. 9.1.2.2.1: Roudnice, Auenkern 108, Elementtiefenprofile, Elementgruppe 1

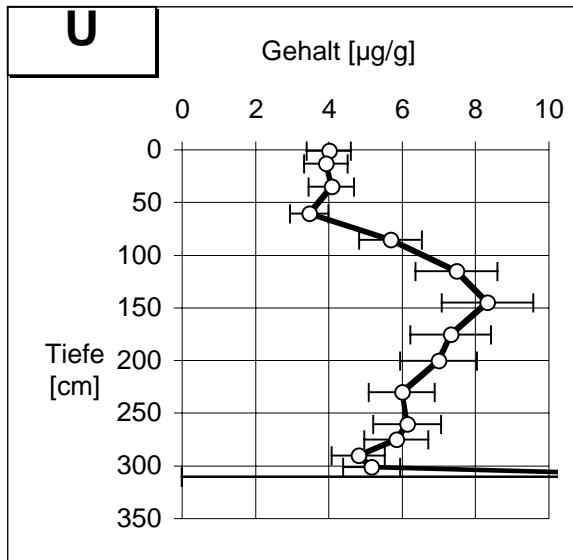
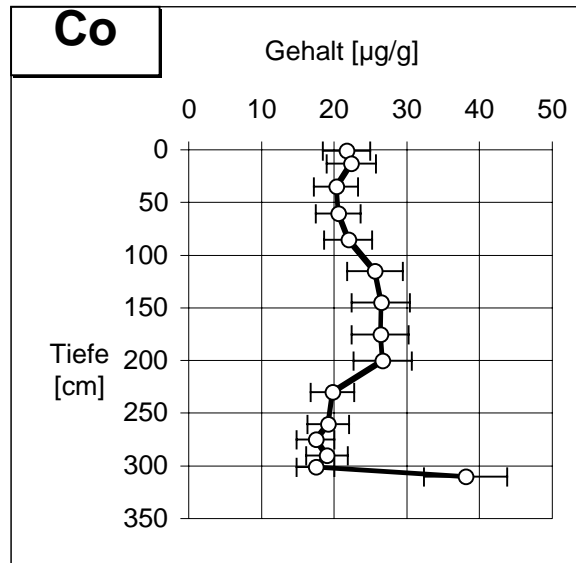
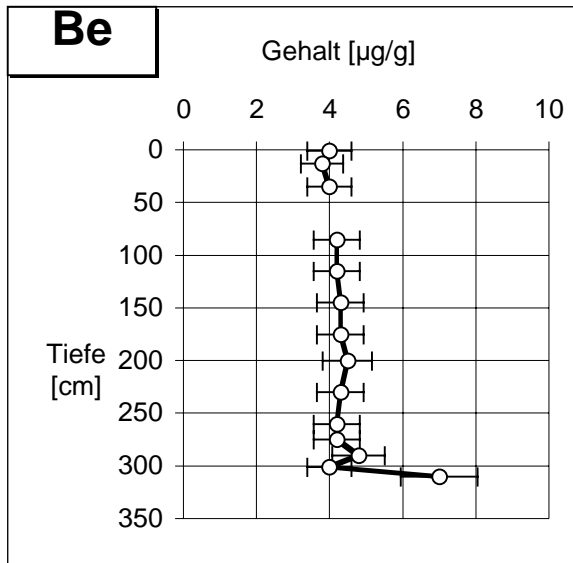


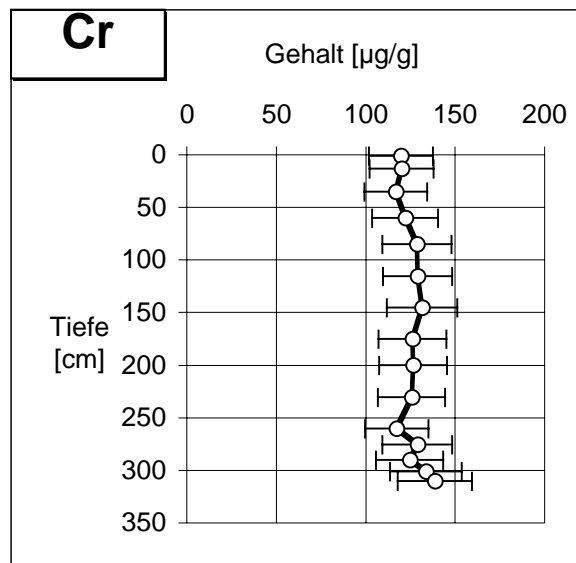
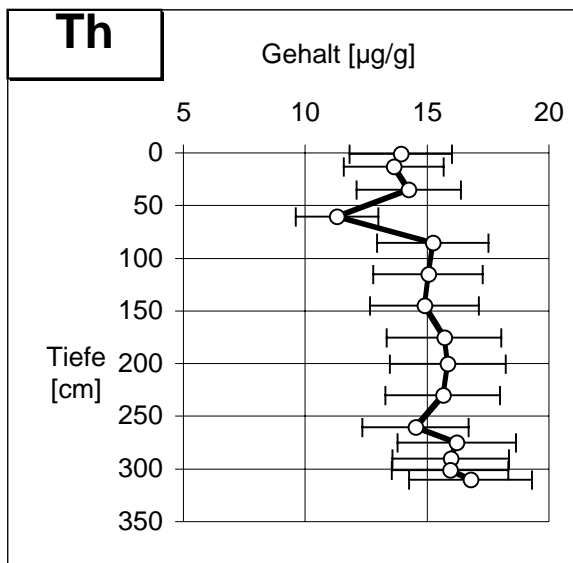
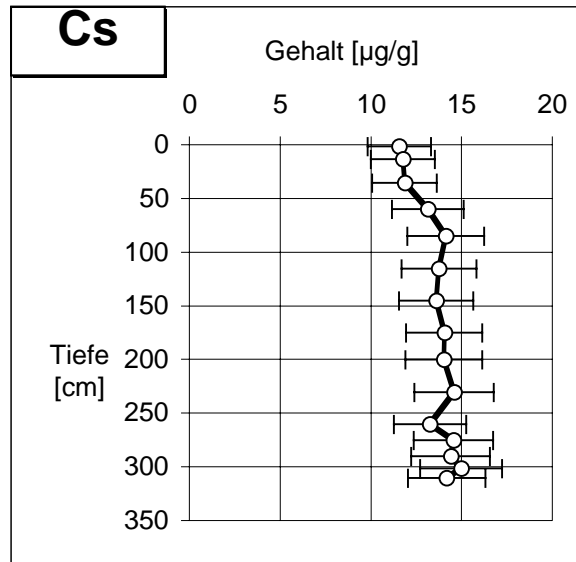
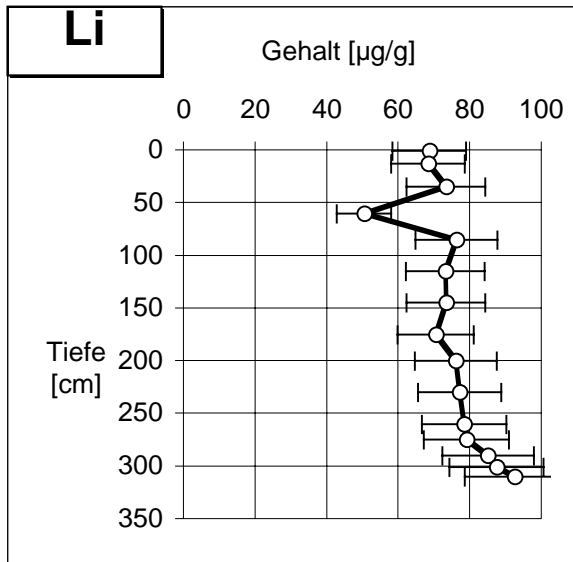
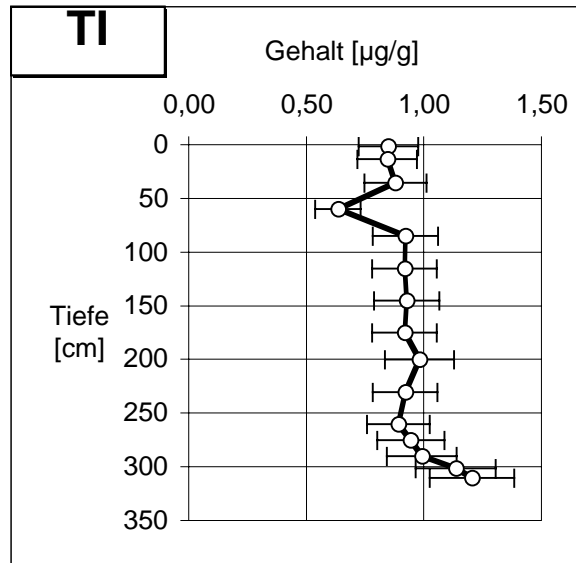
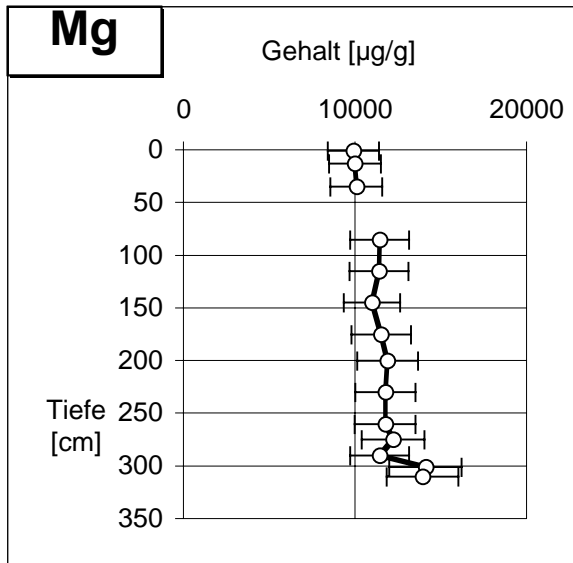
Kap. 9.1.2.2.1: Roudnice, Auenkern 108, Elementtiefenprofile, Elementgruppe 1





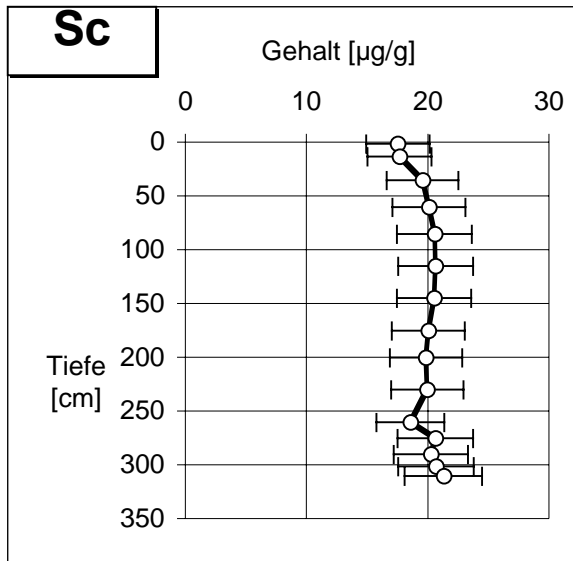
Kap. 9.1.2.2.1: Roudnice, Auenkern 108, Elementtiefenprofile, Elementgruppe 2

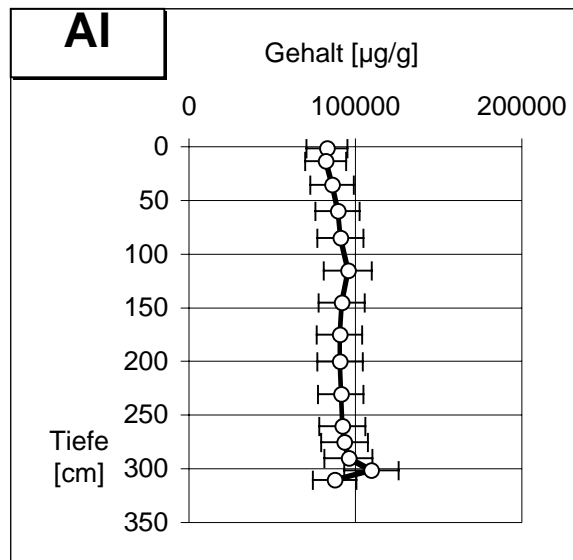
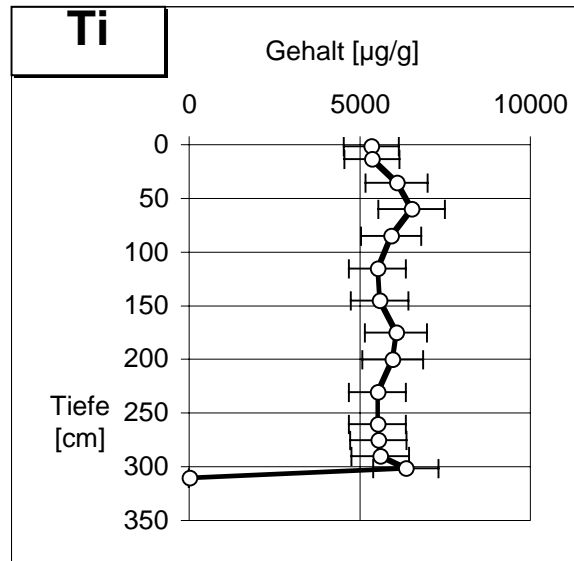
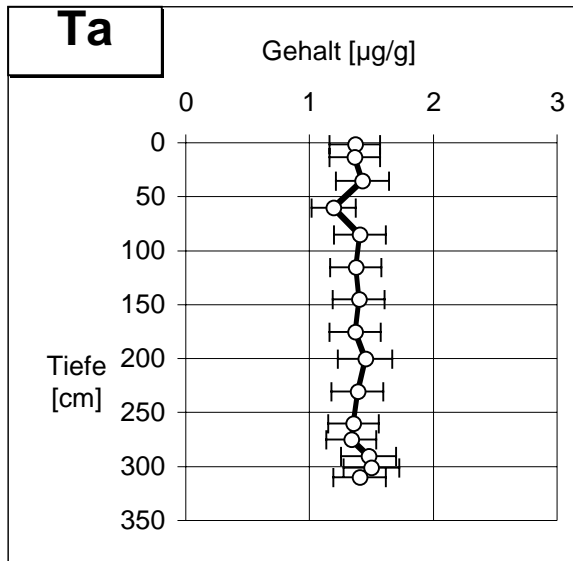


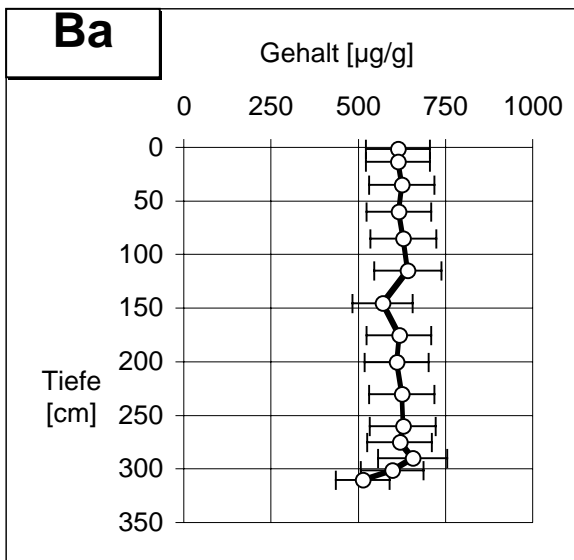
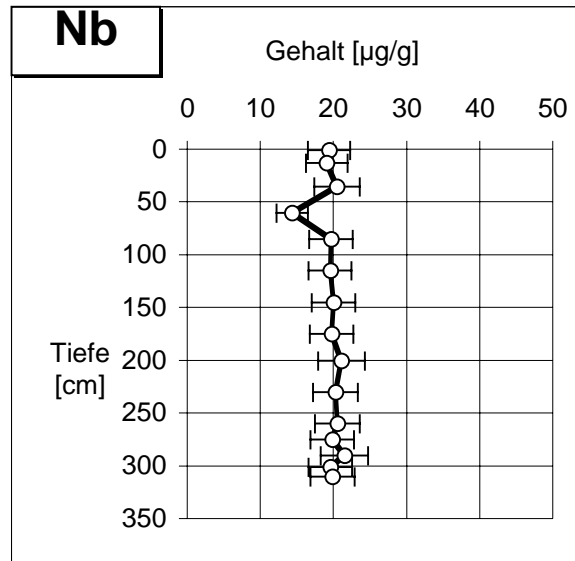
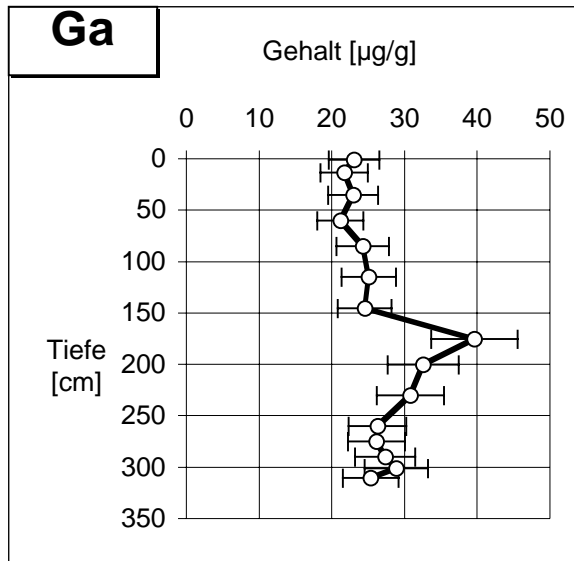


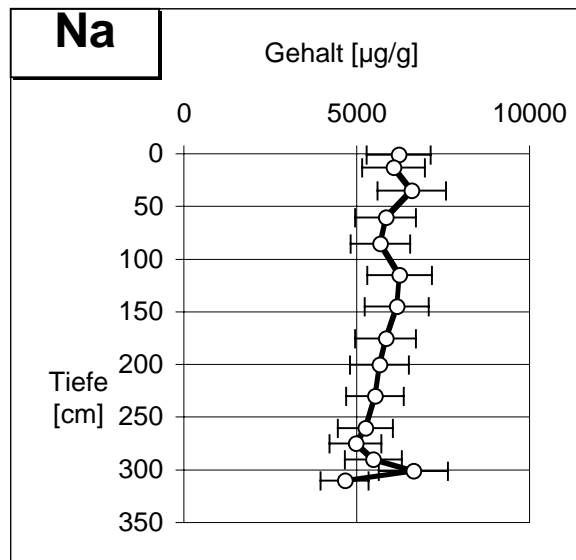
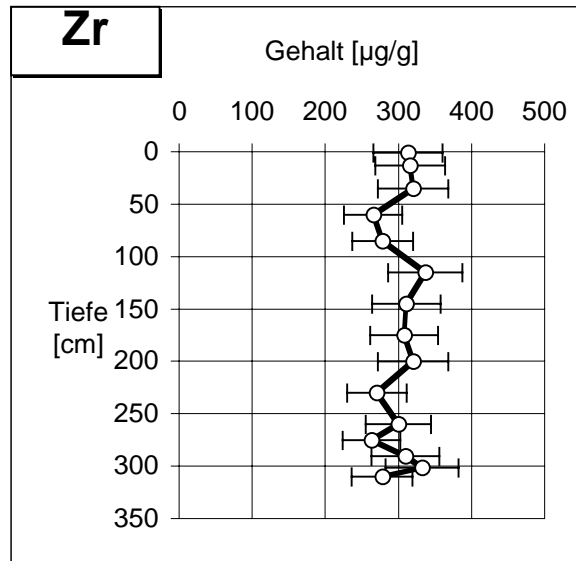
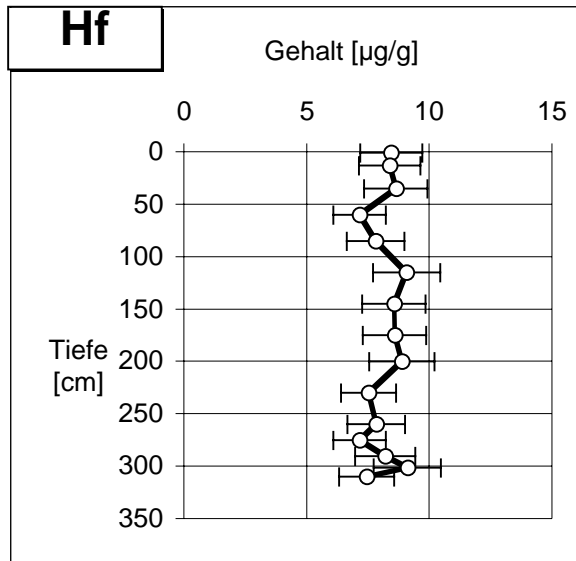
Kap. 9.1.2.2.1: Roudnice, Auenkern 108, Elementtiefenprofile, Elementgruppe 3

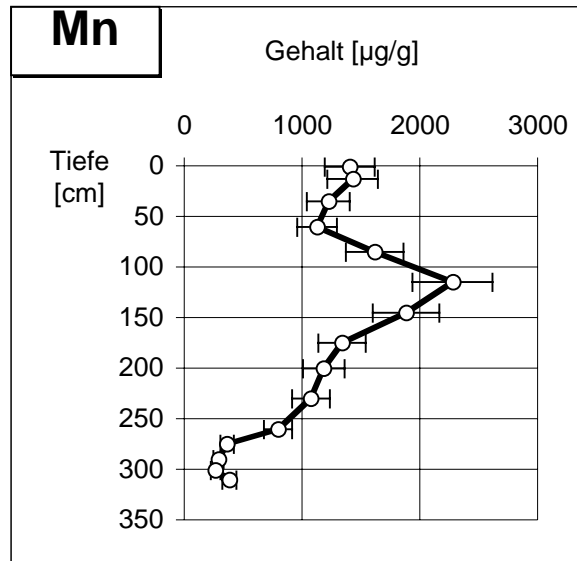
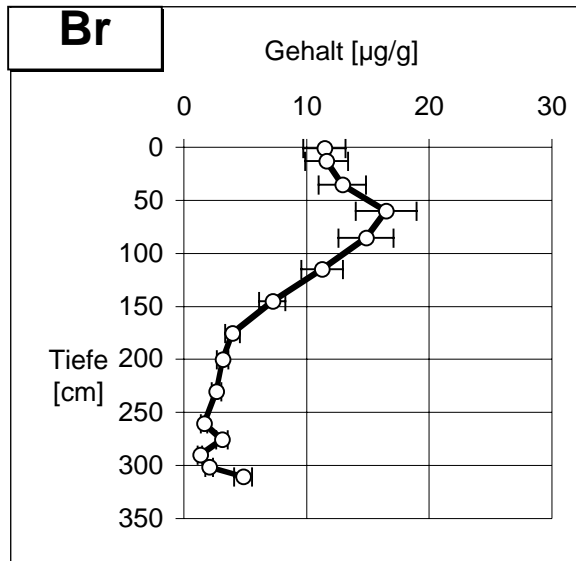


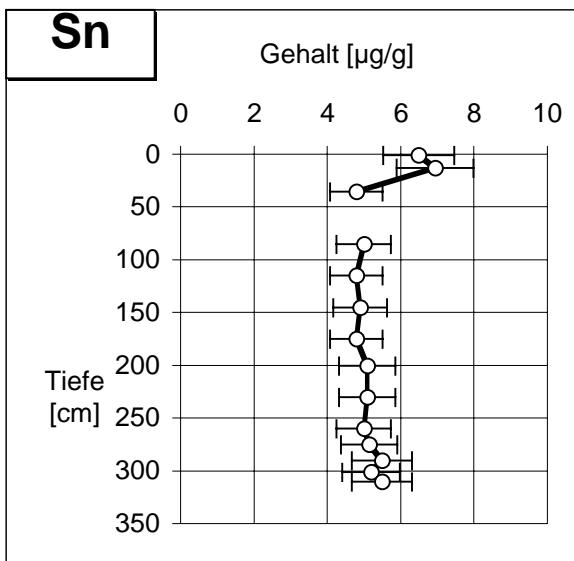
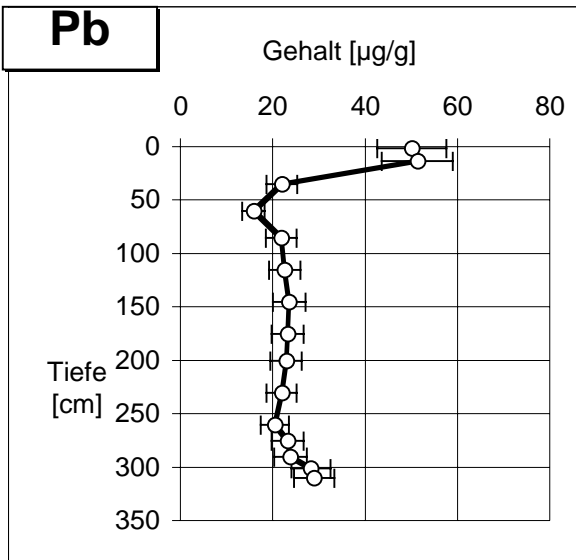
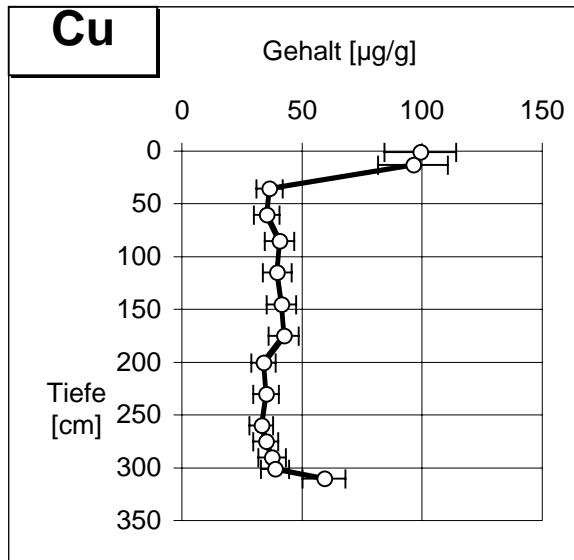
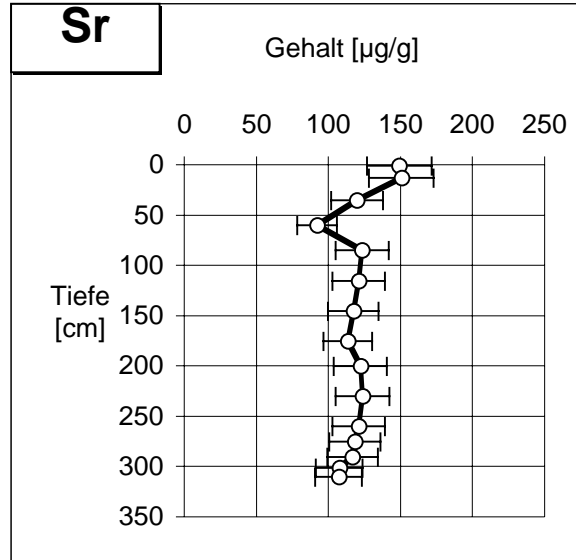
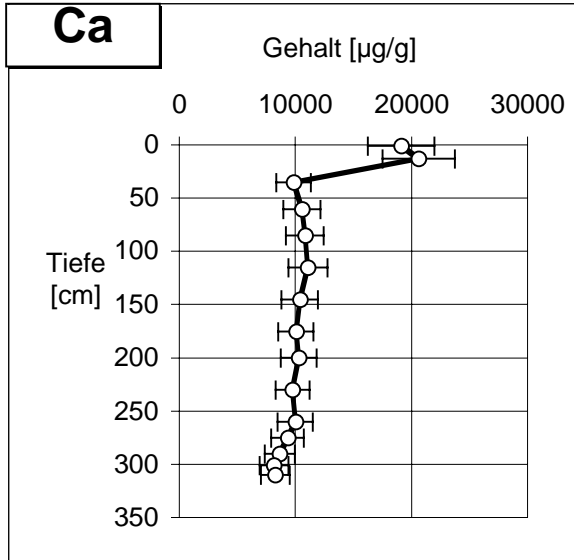




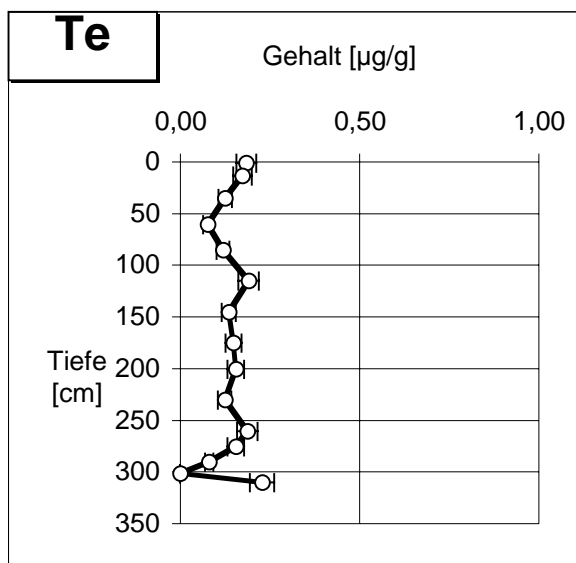
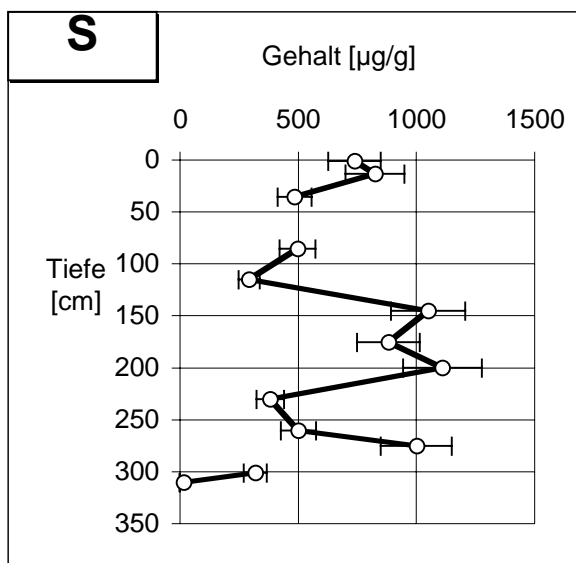
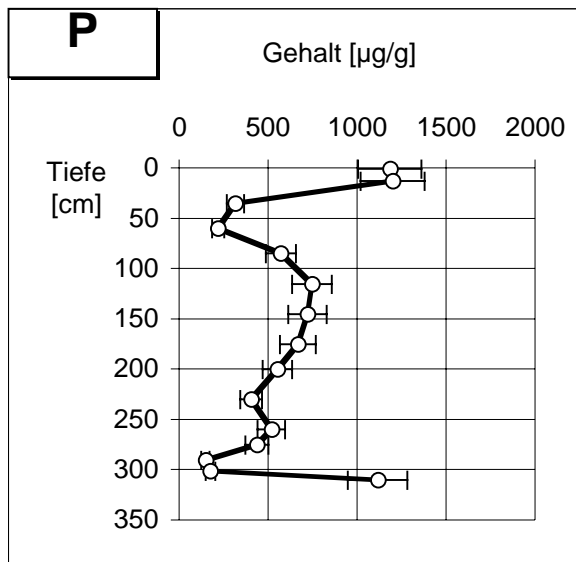
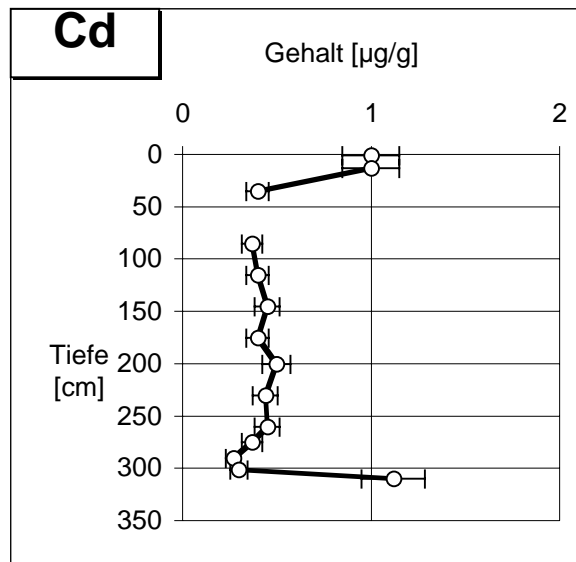
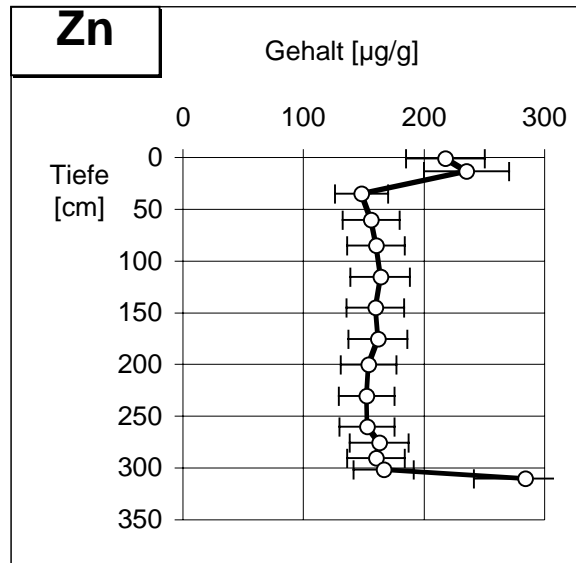
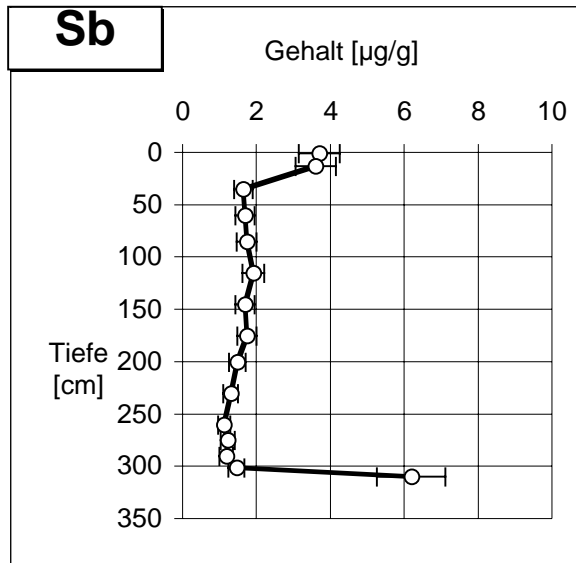




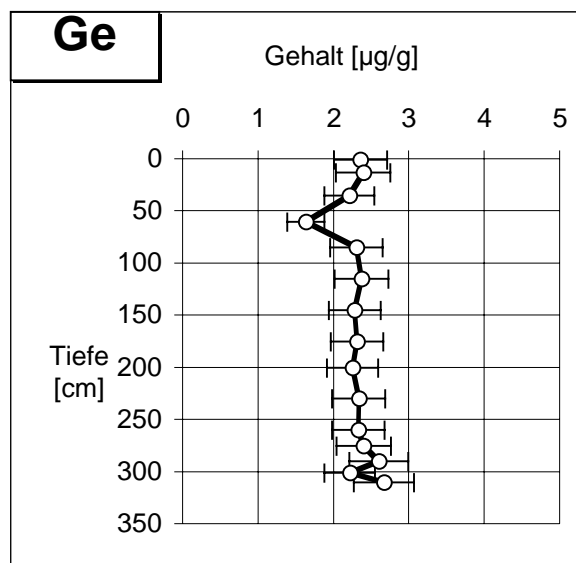
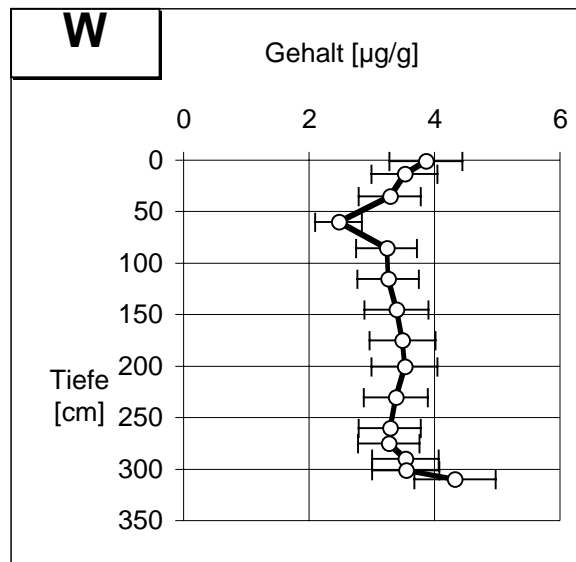
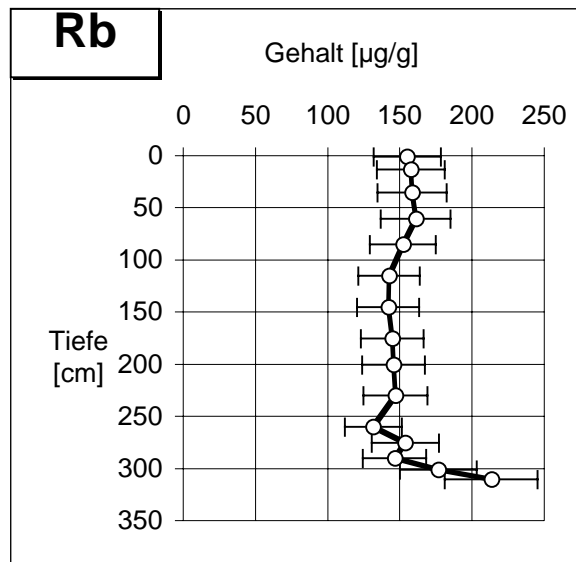
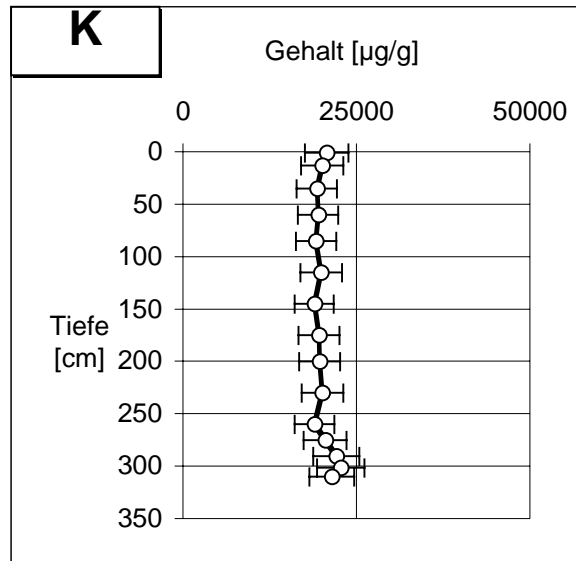
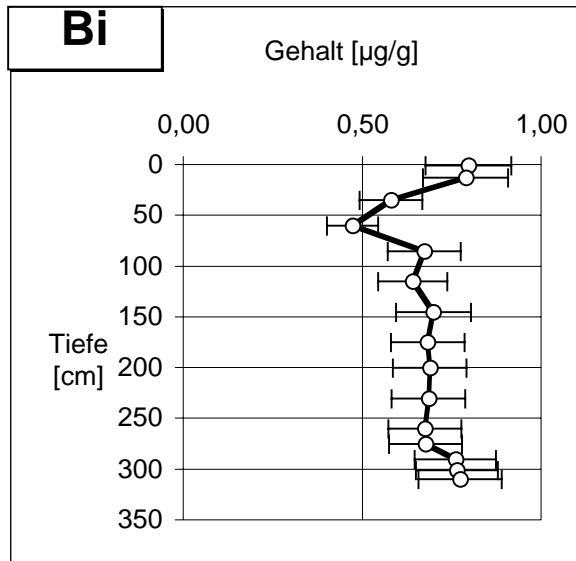




Kap. 9.1.2.2.1: Roudnice, Auenkern 108, Elementtiefenprofile, Elementgruppe 8

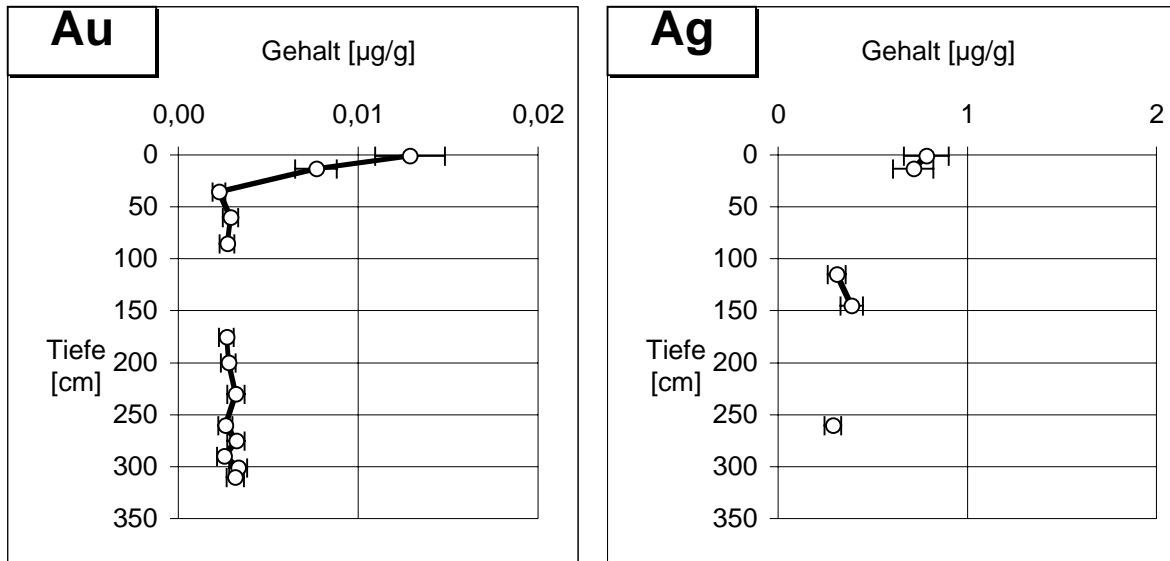


Kap. 9.1.2.2.1: Roudnice, Auenkern 108, Elementtiefenprofile, Elementgruppe 9



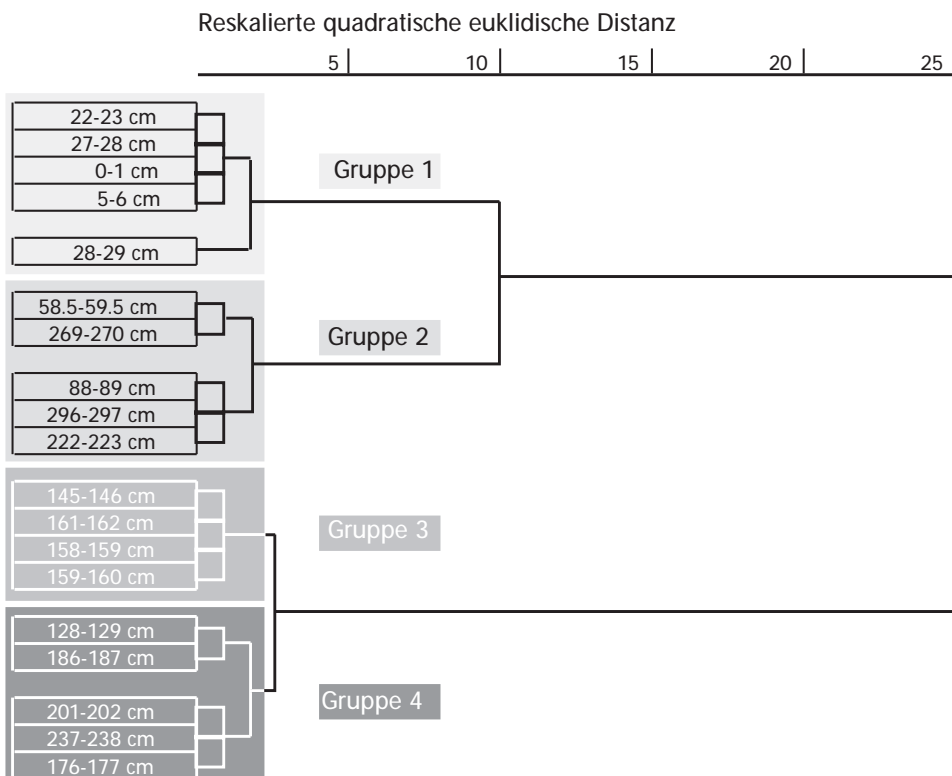
Kap. 9.1.2.2.1: Roudnice, Auenkern 108, Elementtiefenprofile, Elementgruppe 10



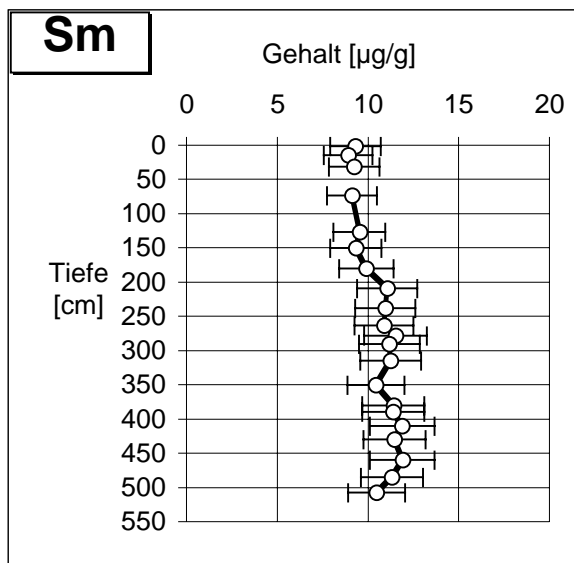
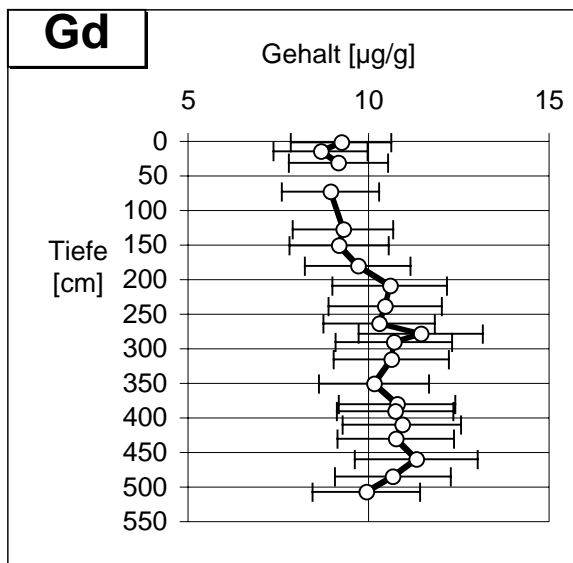
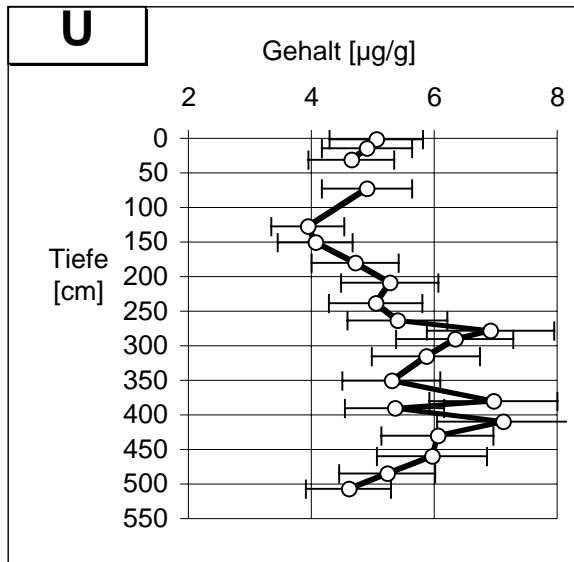
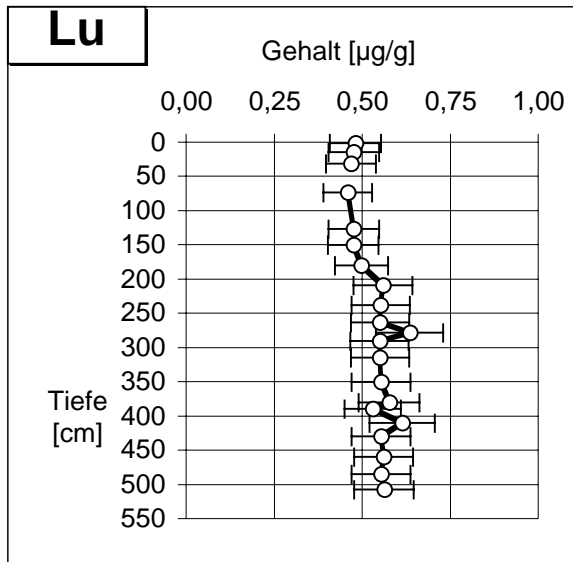
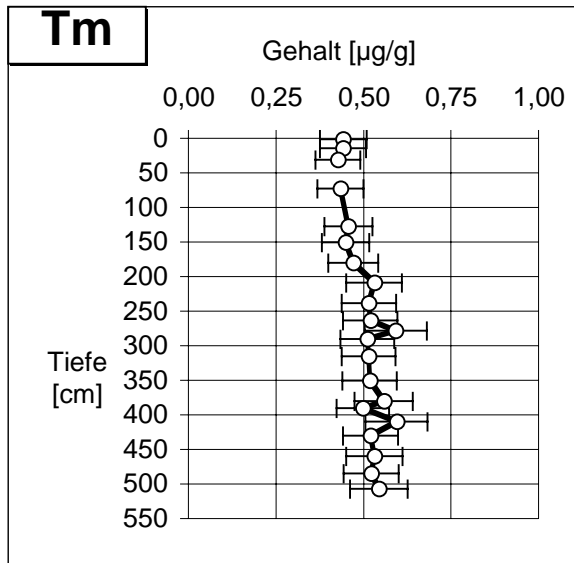
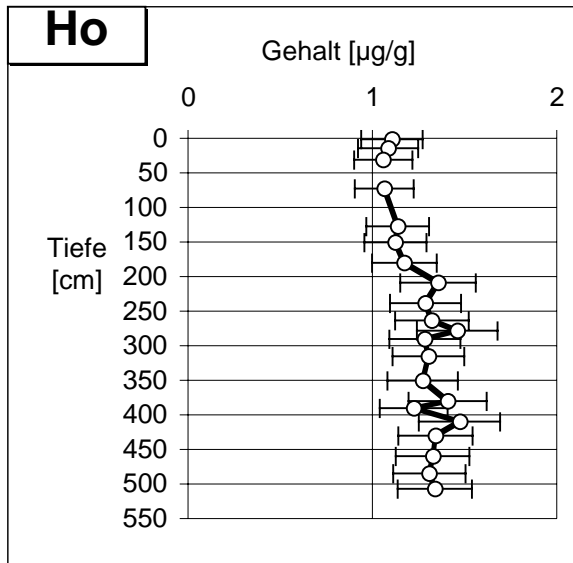


Kap. 9.1.2.2.1: Roudnice, Auenkern 108, Elementtiefenprofile, Extragruppe

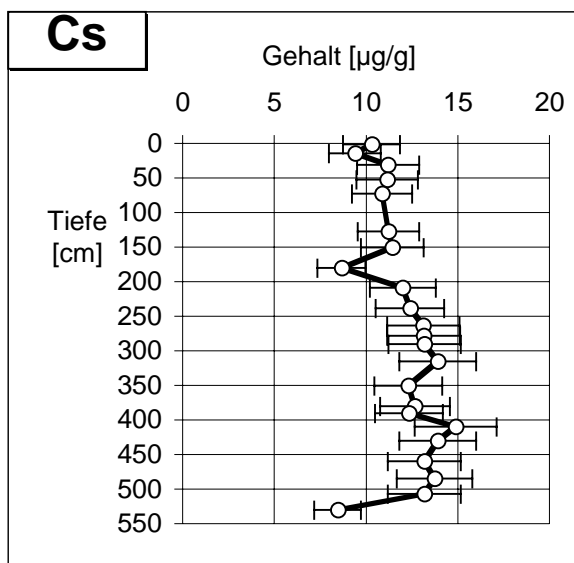
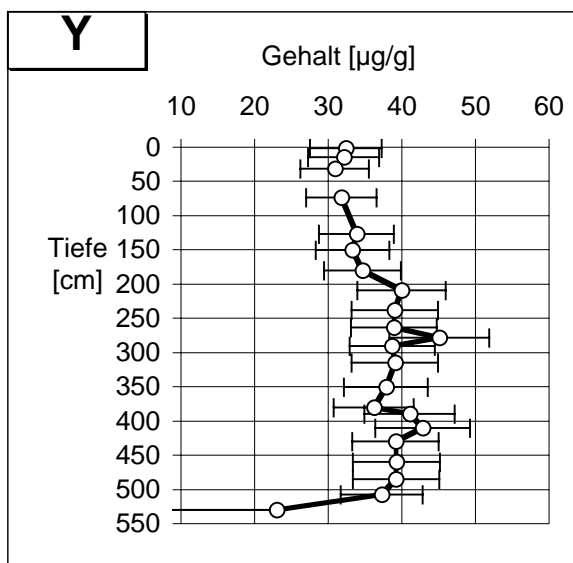
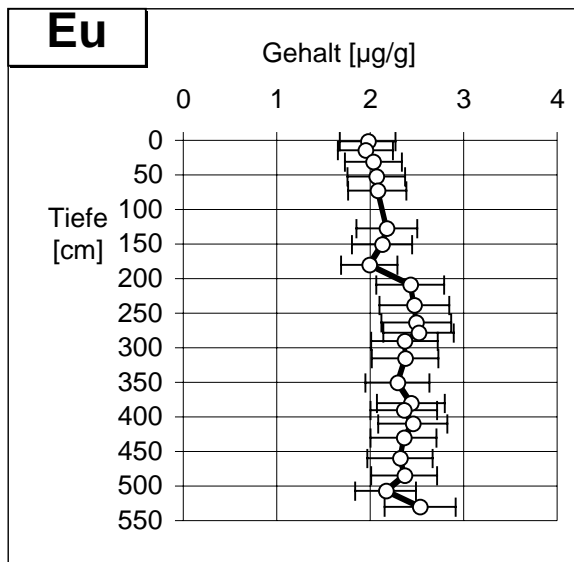
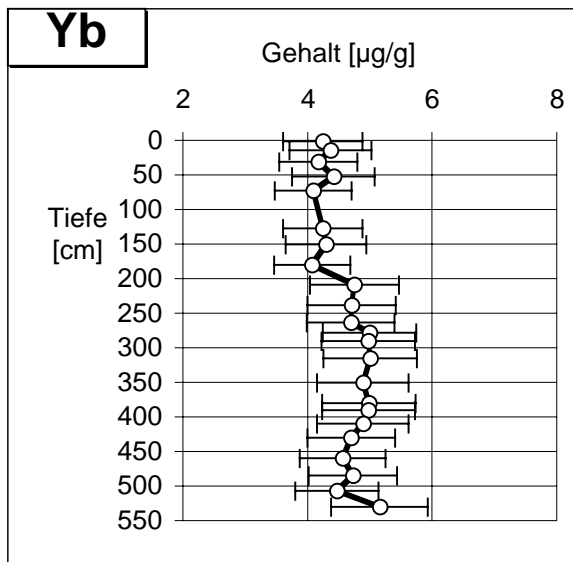
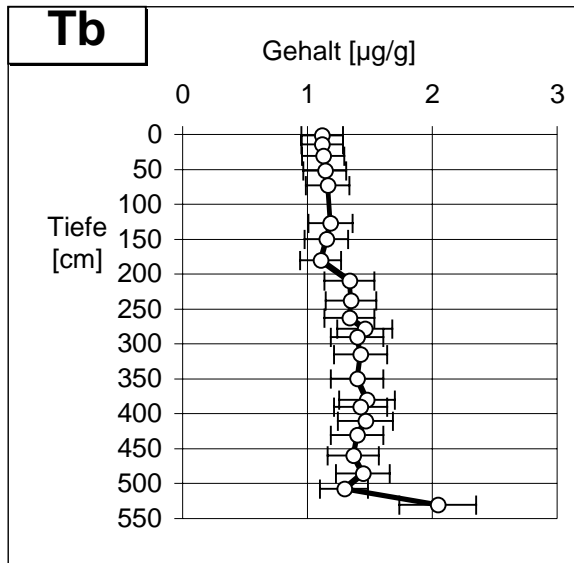
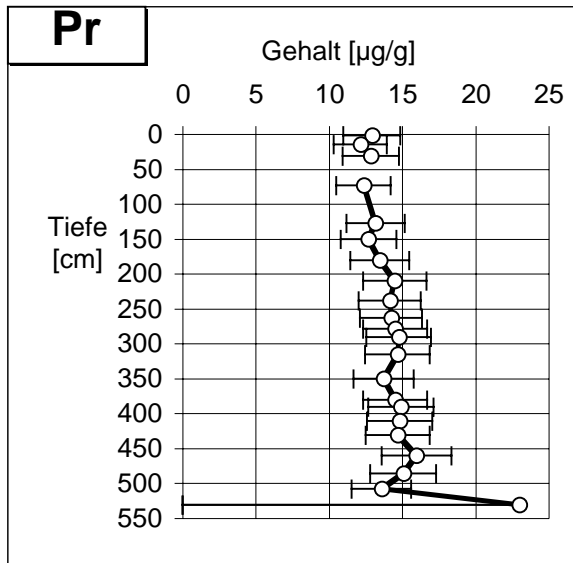
9.1.2.2.2 Auenkern 135



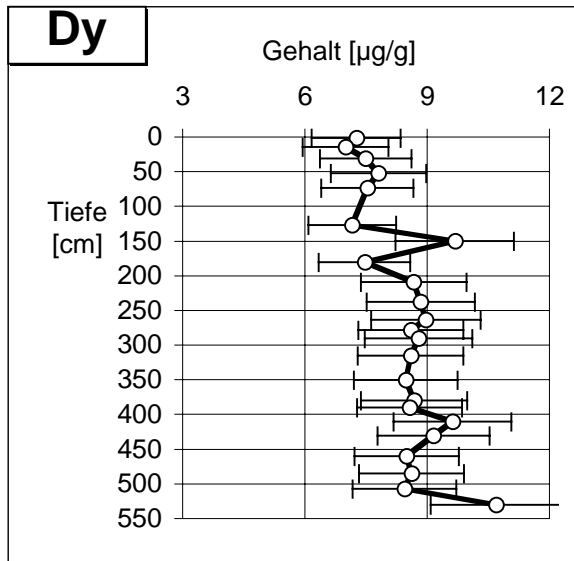
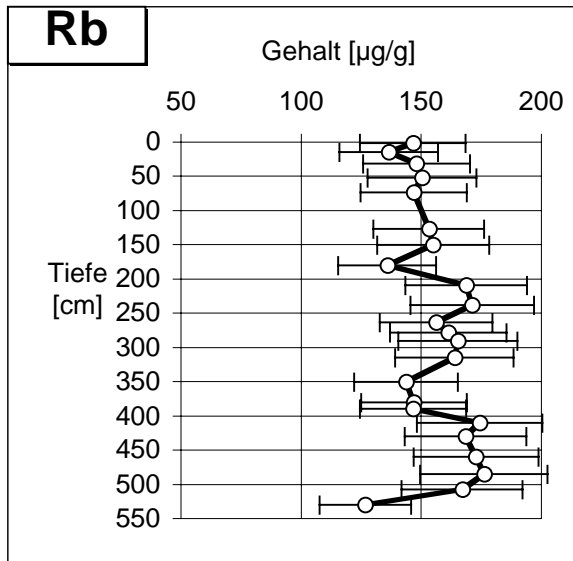
**Abb. 9.1.2.5:** Dendrogramm der Elemente für Kern 135 aus Roudnice (vgl. Abb. 5.2.19)

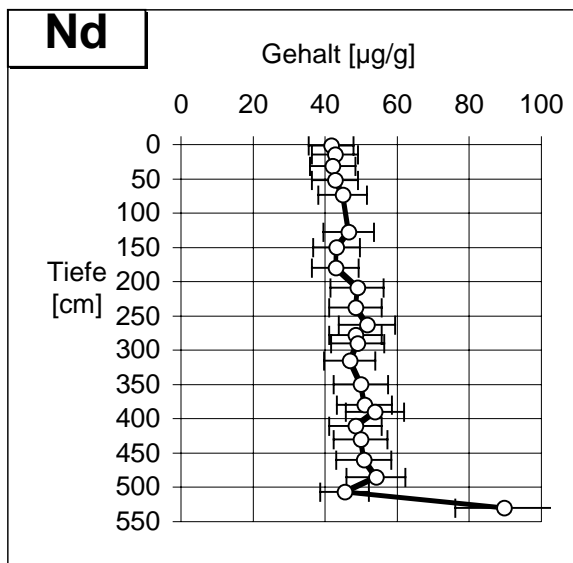
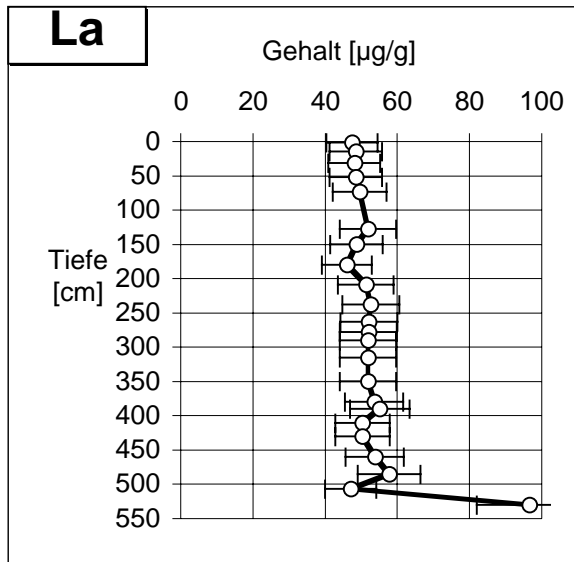
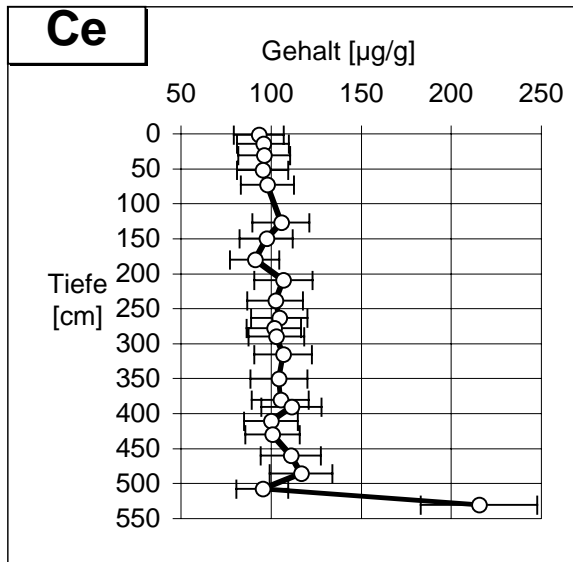
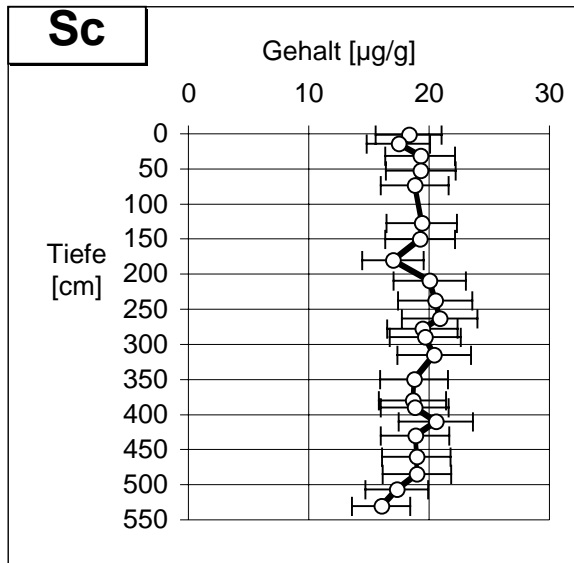
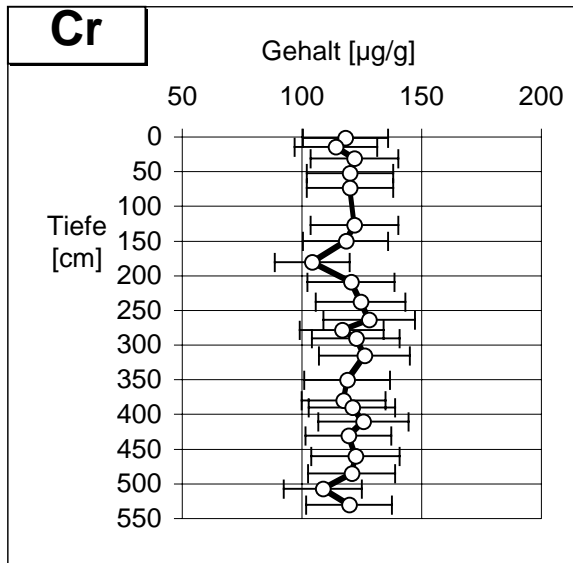


Kap. 9.1.2.2.2: Roudnice, Auenkern 135, Elementtiefenprofile, Elementgruppe 1

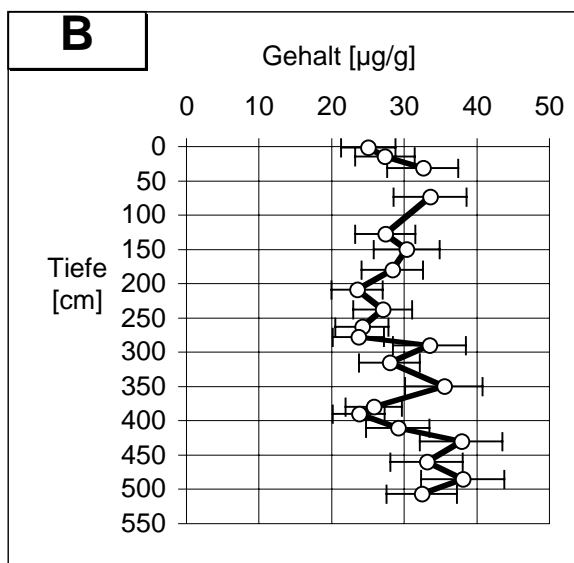
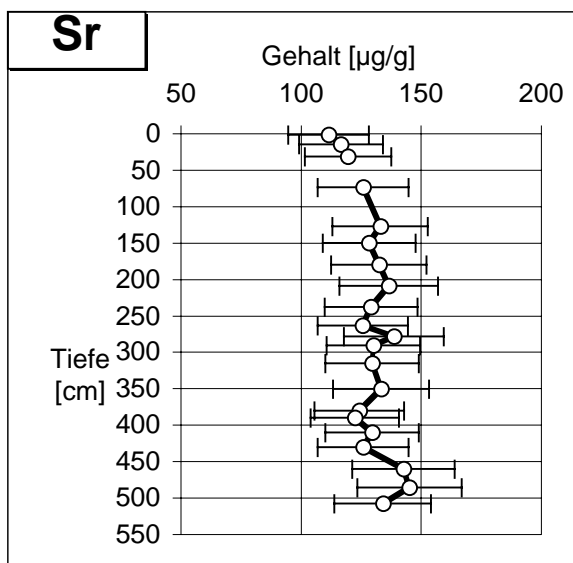
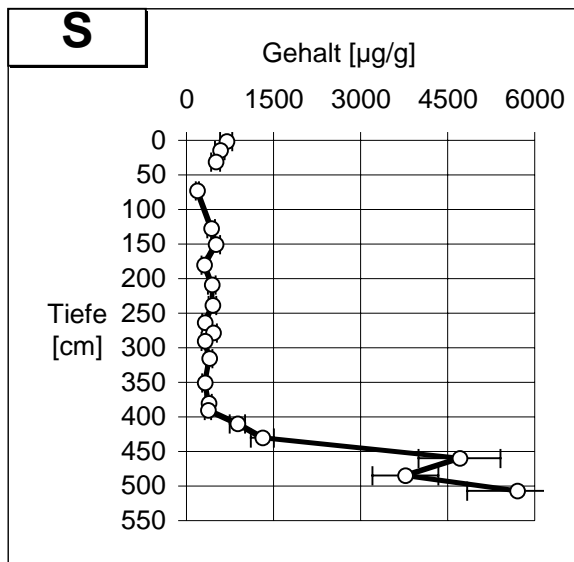
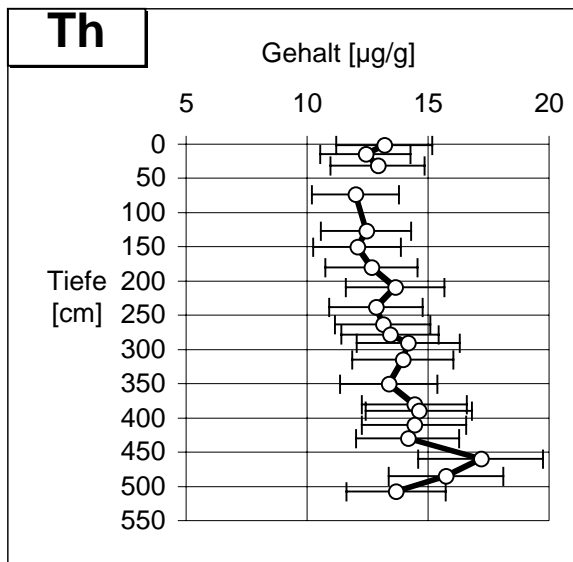
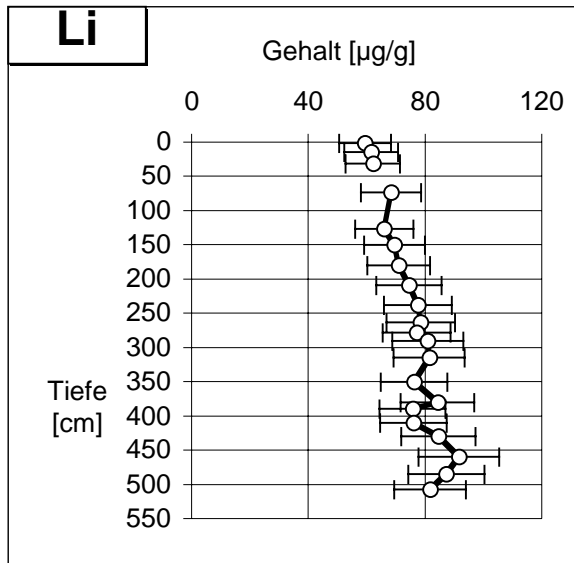
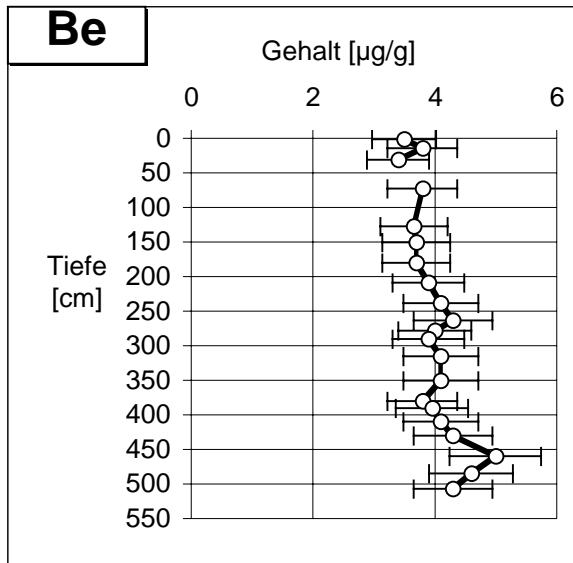


Kap. 9.1.2.2.2: Roudnice, Auenkern 135, Elementtiefenprofile, Elementgruppe 1

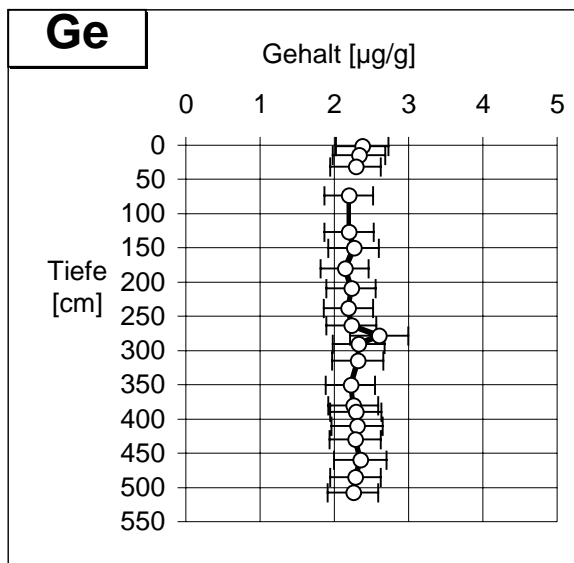
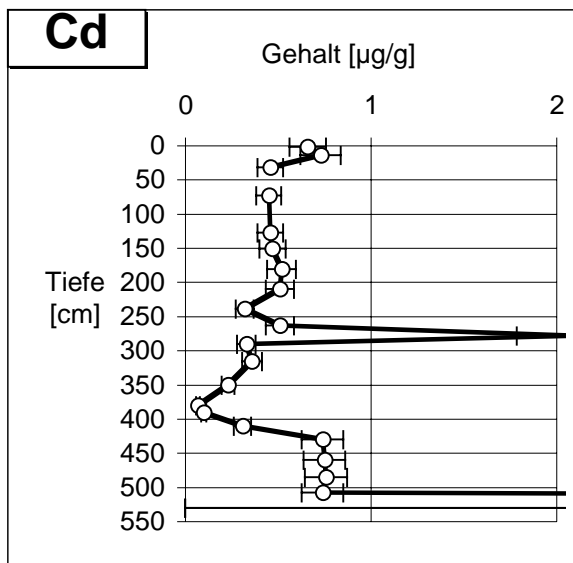
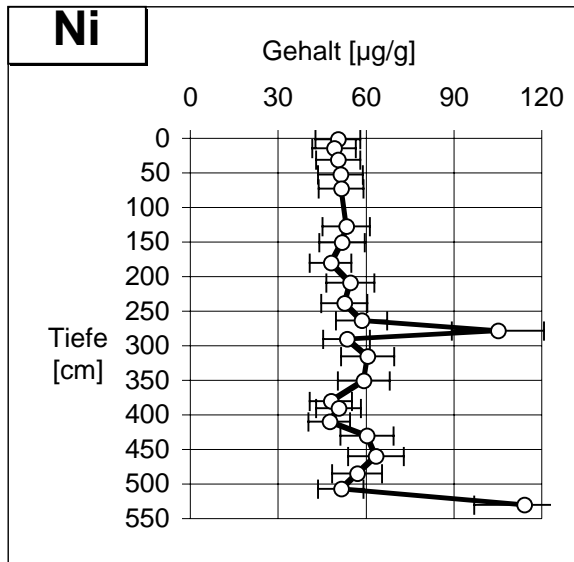
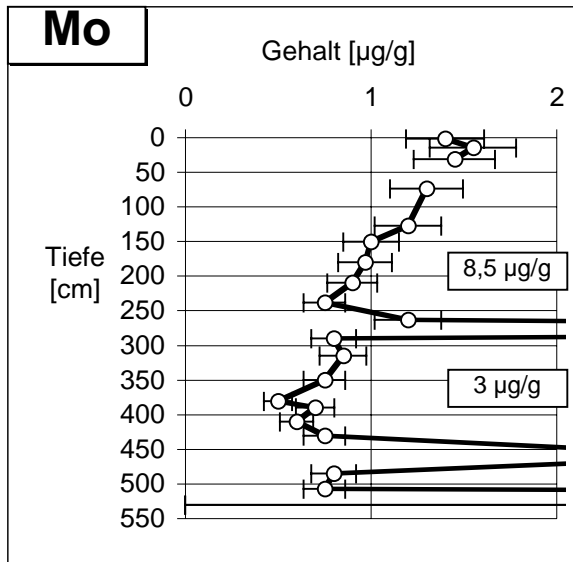
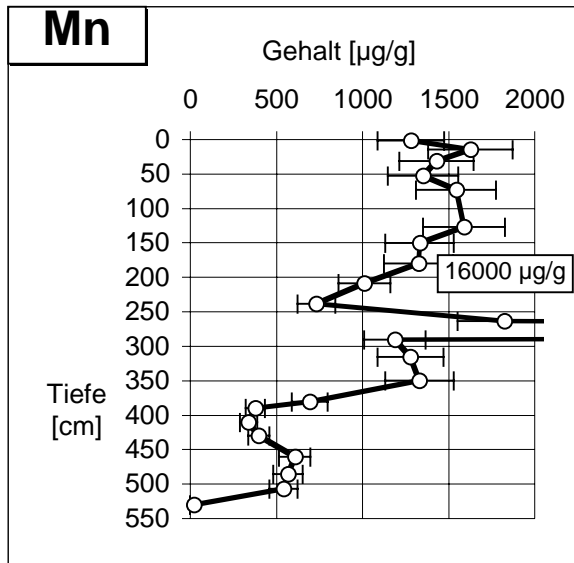
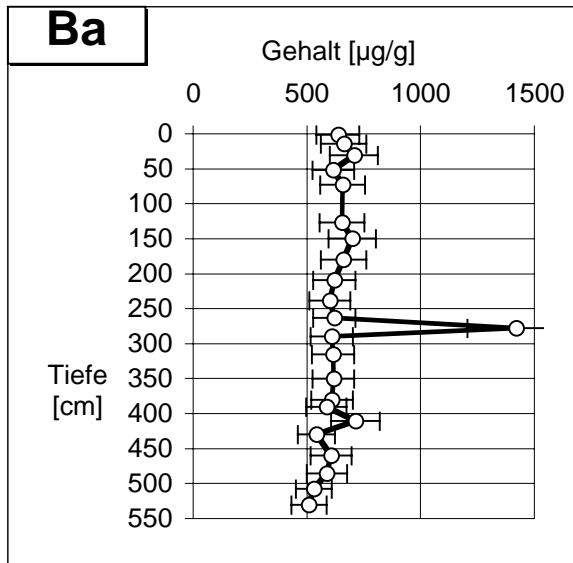




Kap. 9.1.2.2.2: Roudnice, Auenkern 135, Elementtiefenprofile, Elementgruppe 2

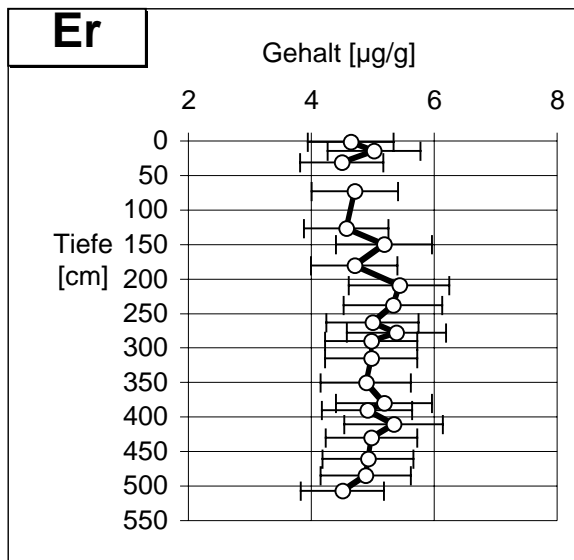
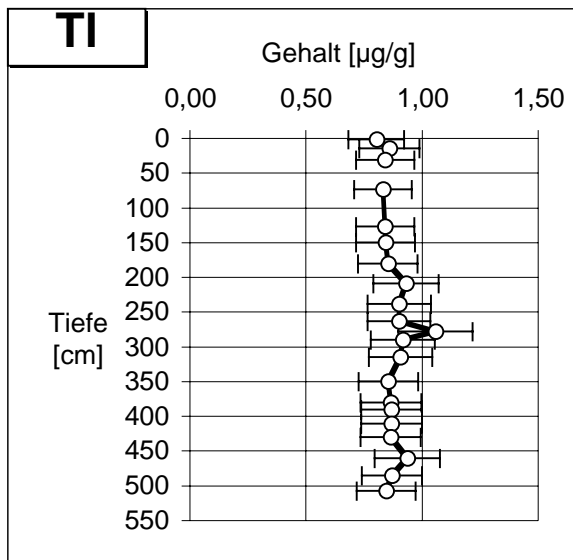
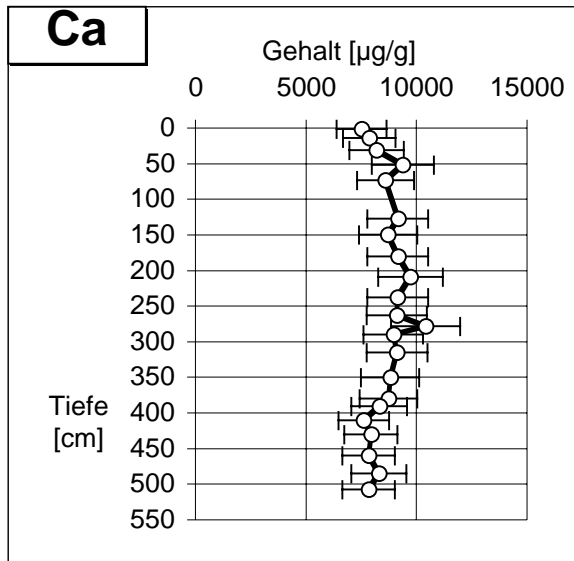
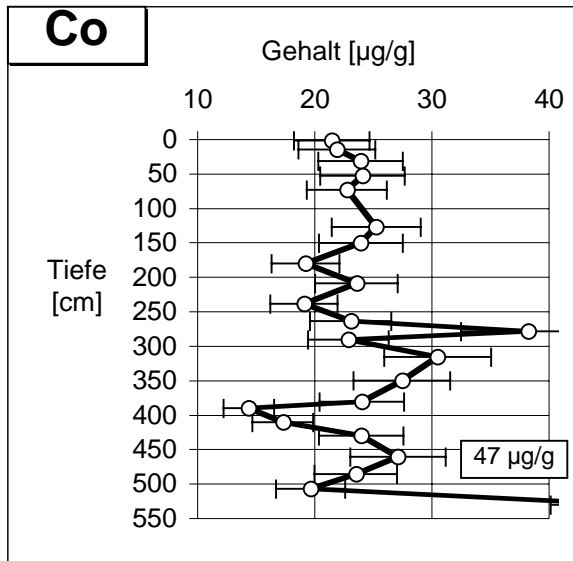


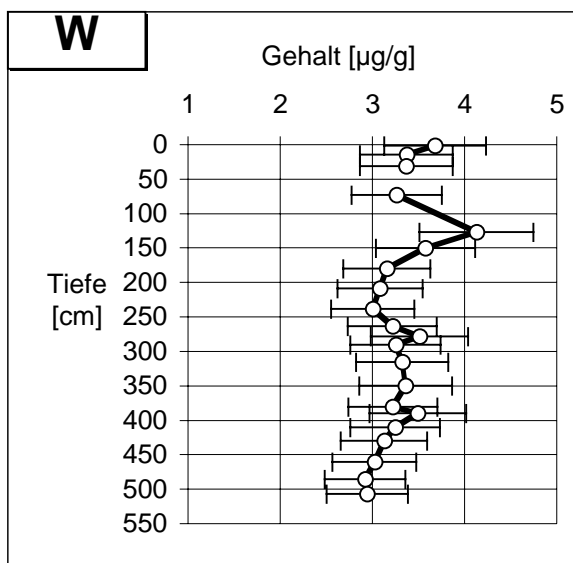
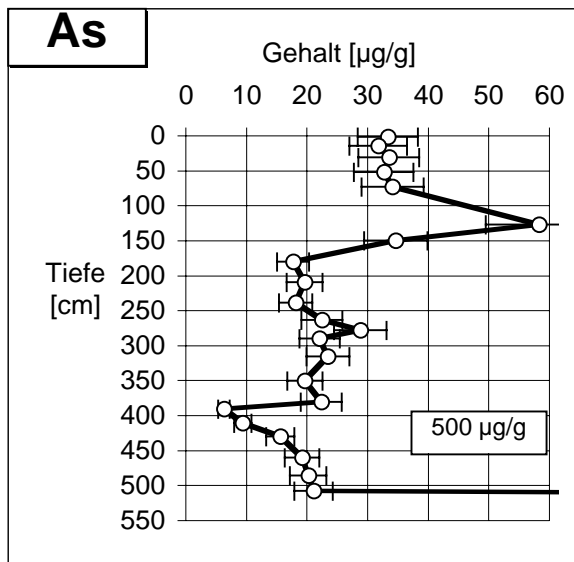
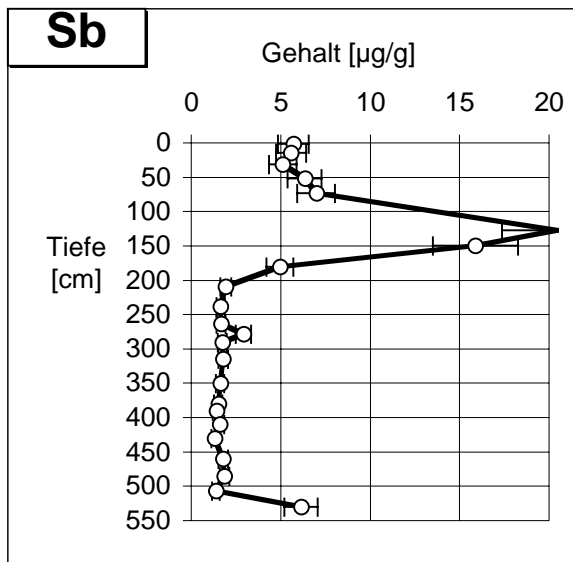
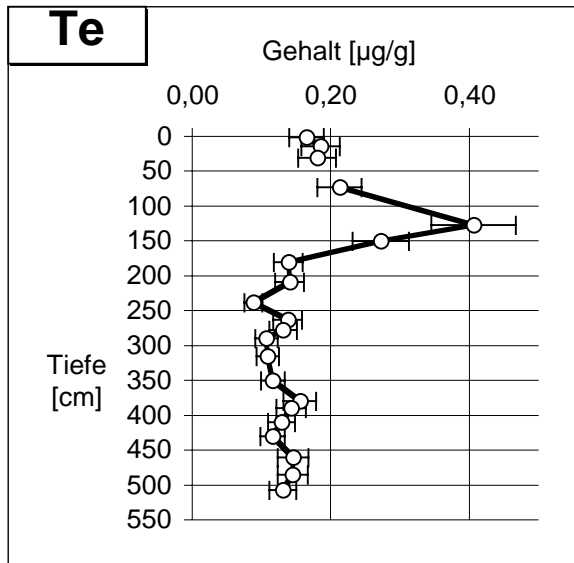
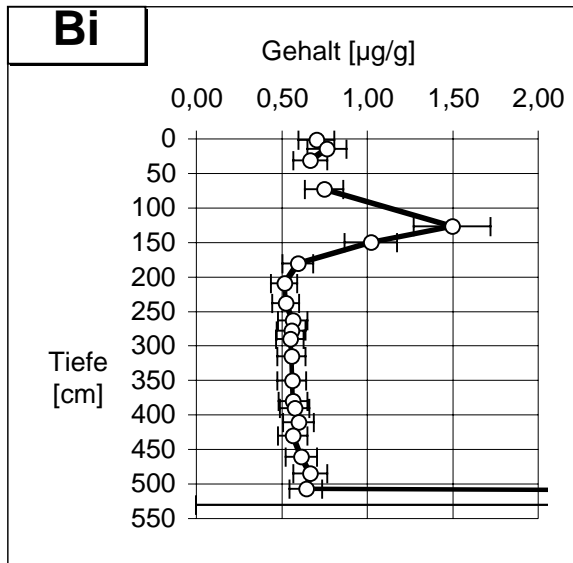
Kap. 9.1.2.2.2: Roudnice, Auenkern 135, Elementtiefenprofile, Elementgruppe 3



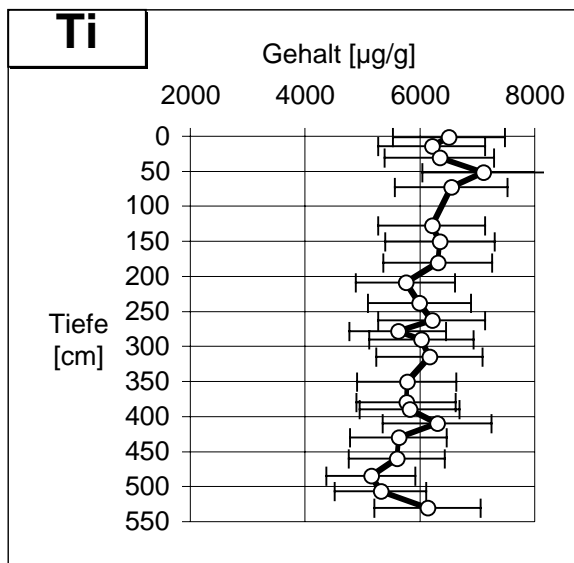
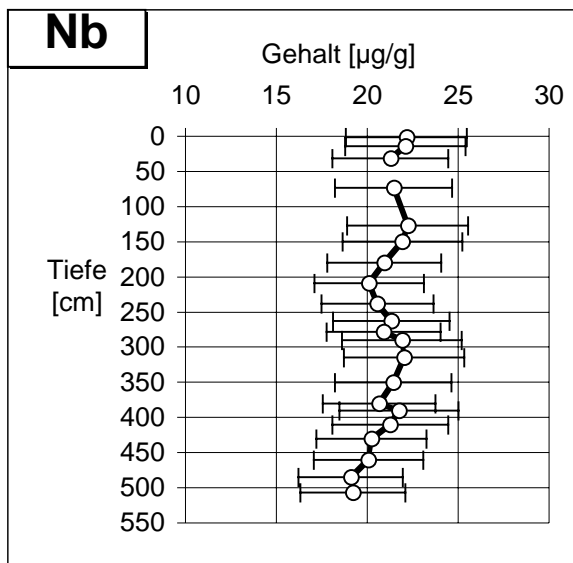
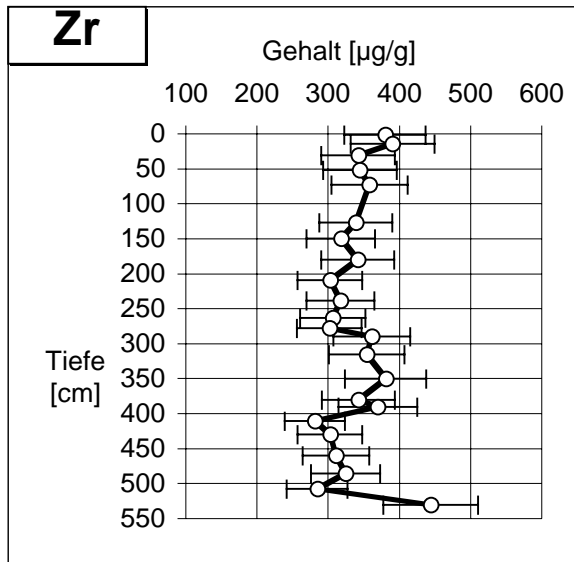
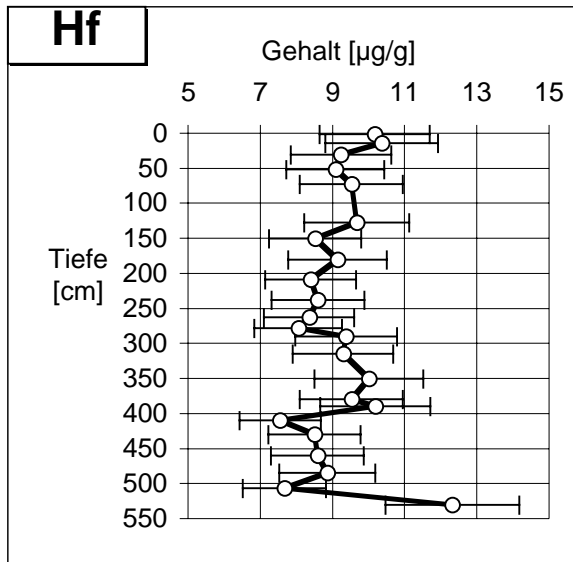
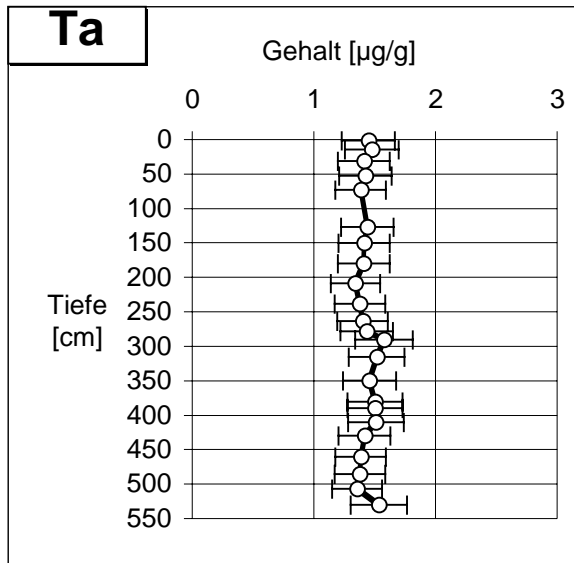
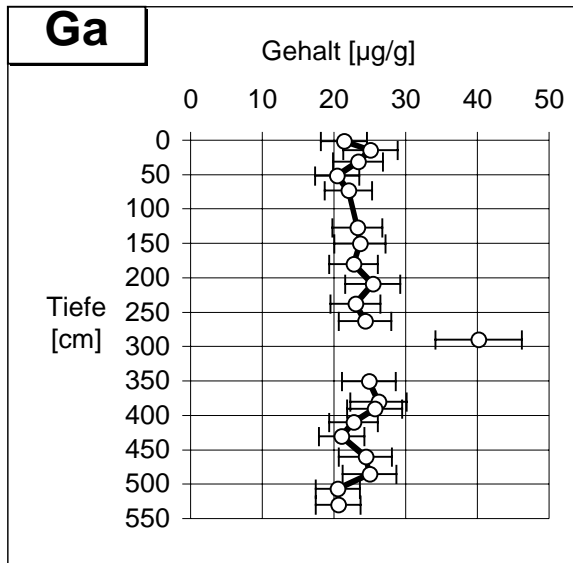
Kap. 9.1.2.2.2: Roudnice, Auenkern 135, Elementtiefenprofile, Elementgruppe 4



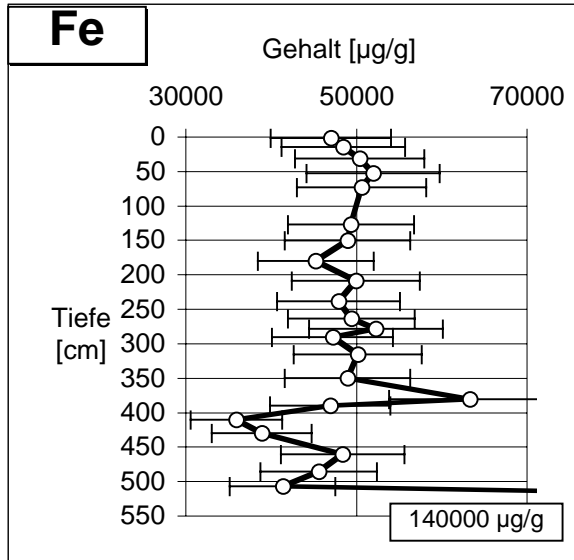
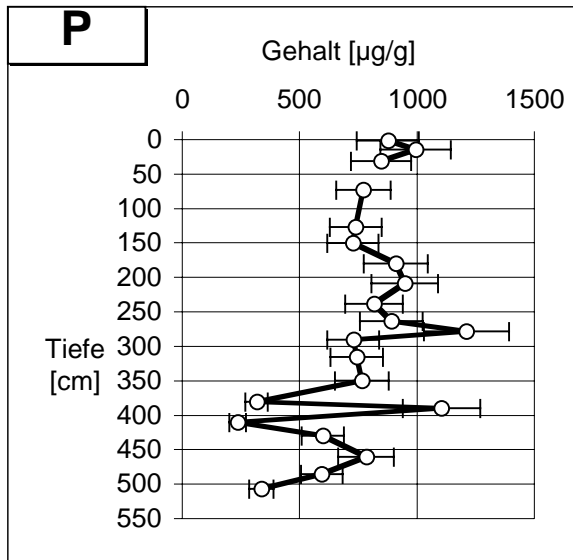
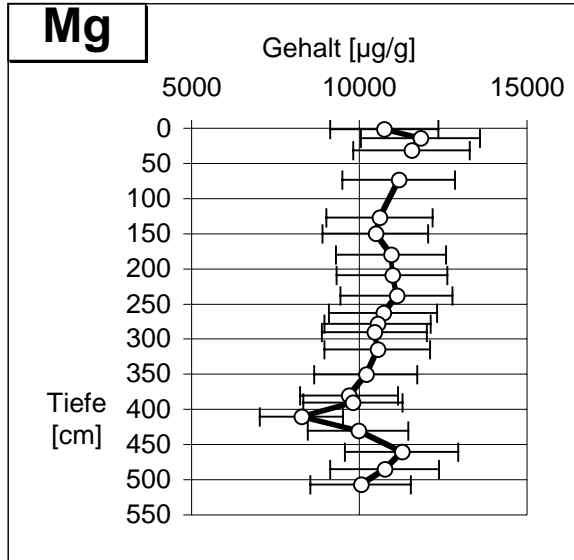
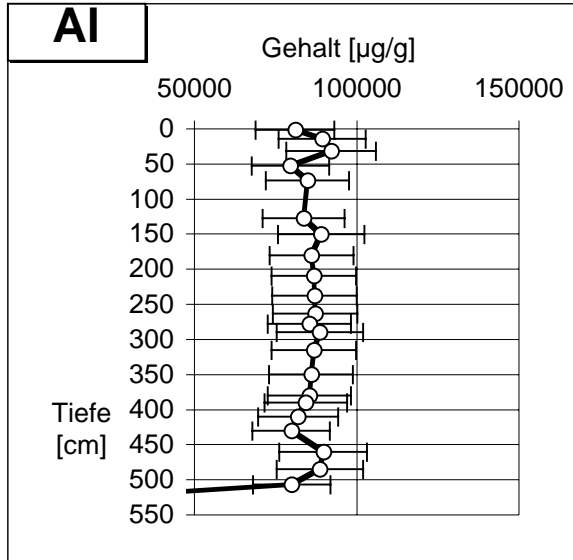


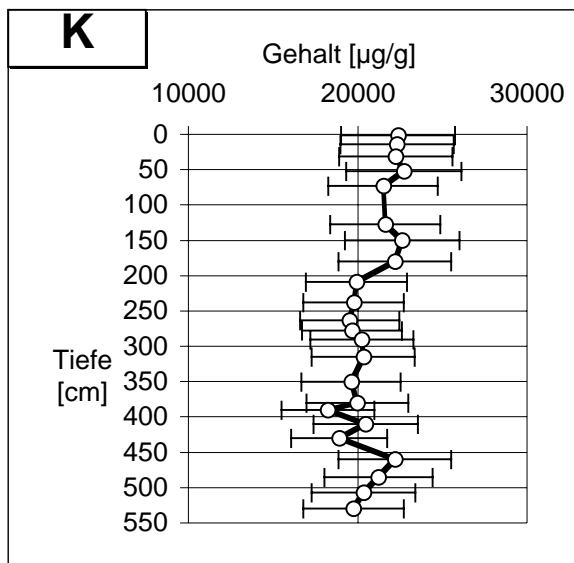
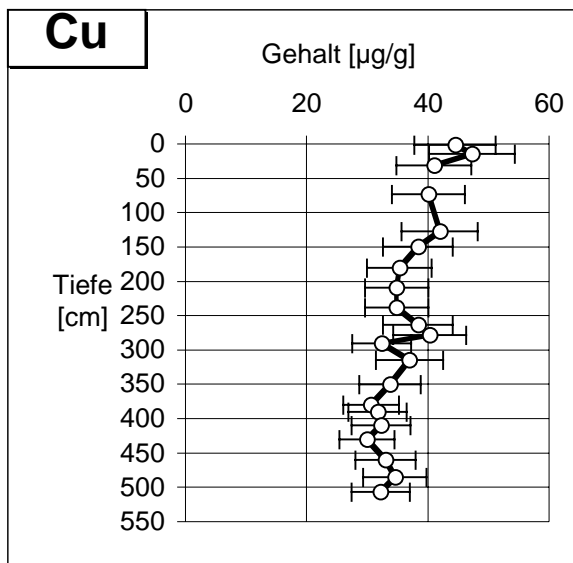
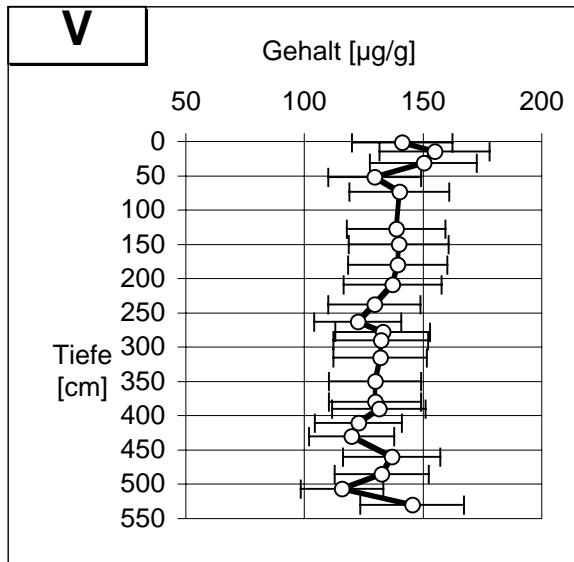
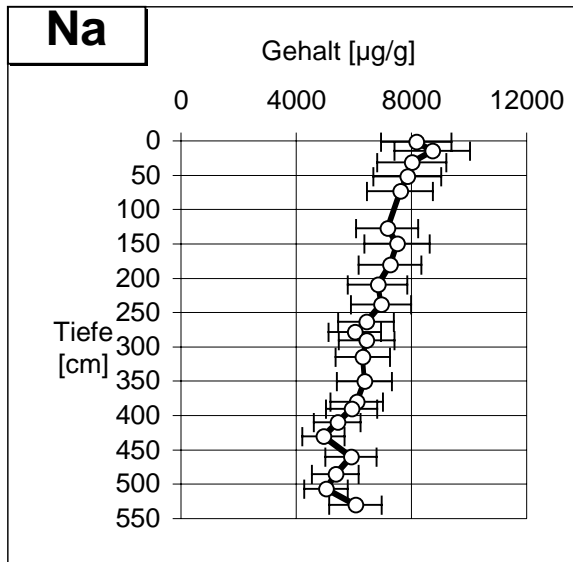
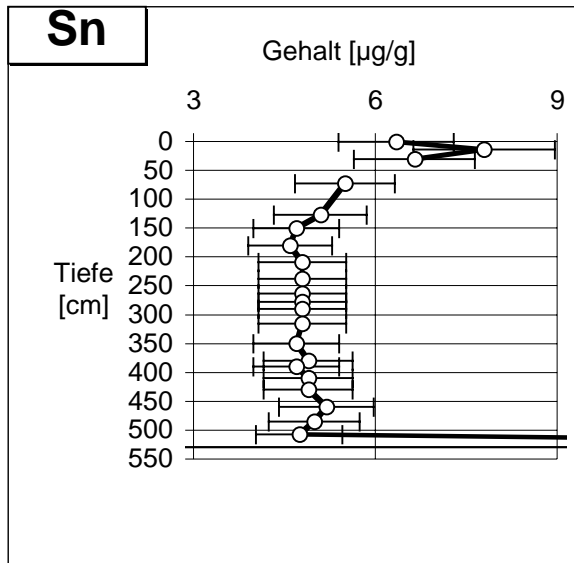
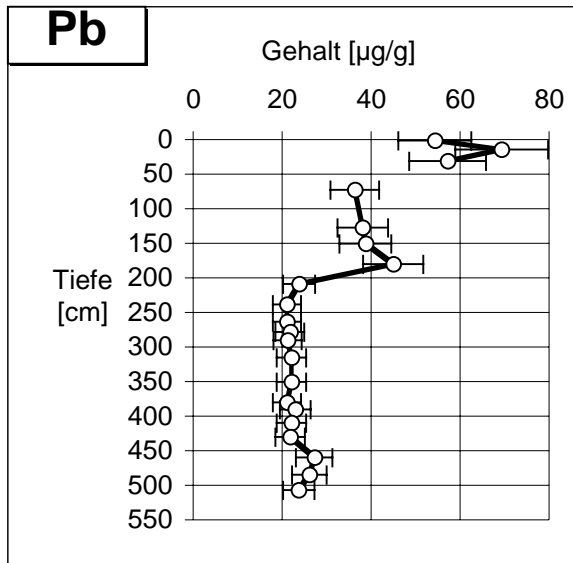


Kap. 9.1.2.2.2: Roudnice, Auenkern 135, Elementtiefenprofile, Elementgruppe 5

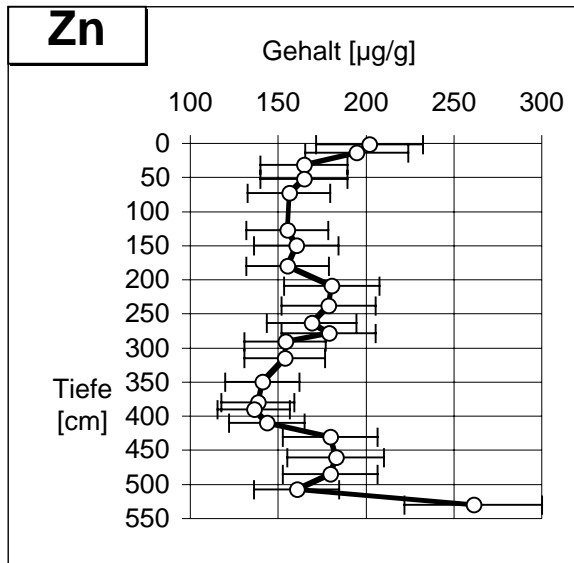
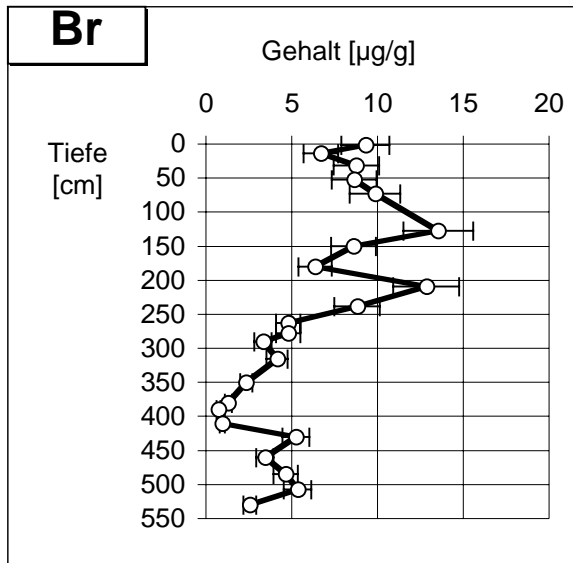


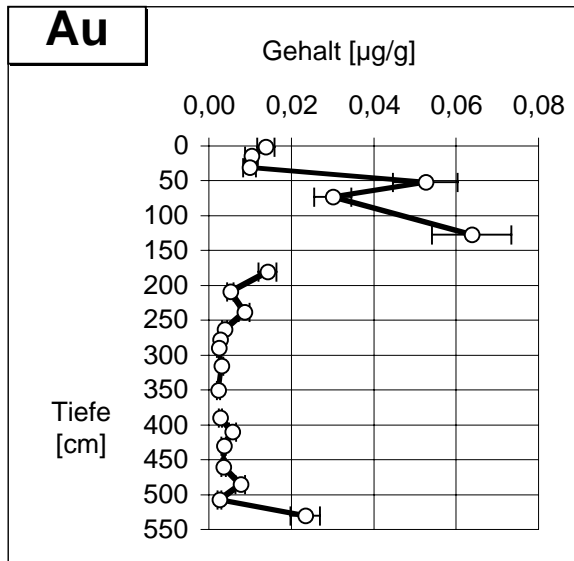
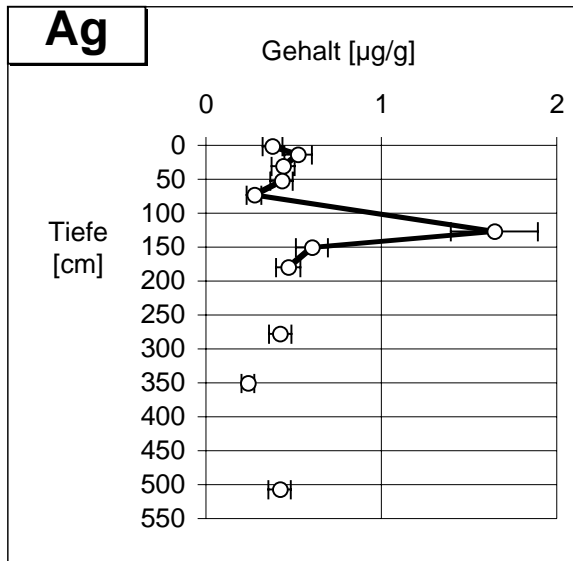
Kap. 9.1.2.2.2: Roudnice, Auenkern 135, Elementtiefenprofile, Elementgruppe 6





Kap. 9.1.2.2.2: Roudnice, Auenkern 135, Elementtiefenprofile, Elementgruppe 8





9.1.2.3 Einflußbereich des Erzgebirges (Tangermünde)

9.1.2.3.1 Auenkern 155

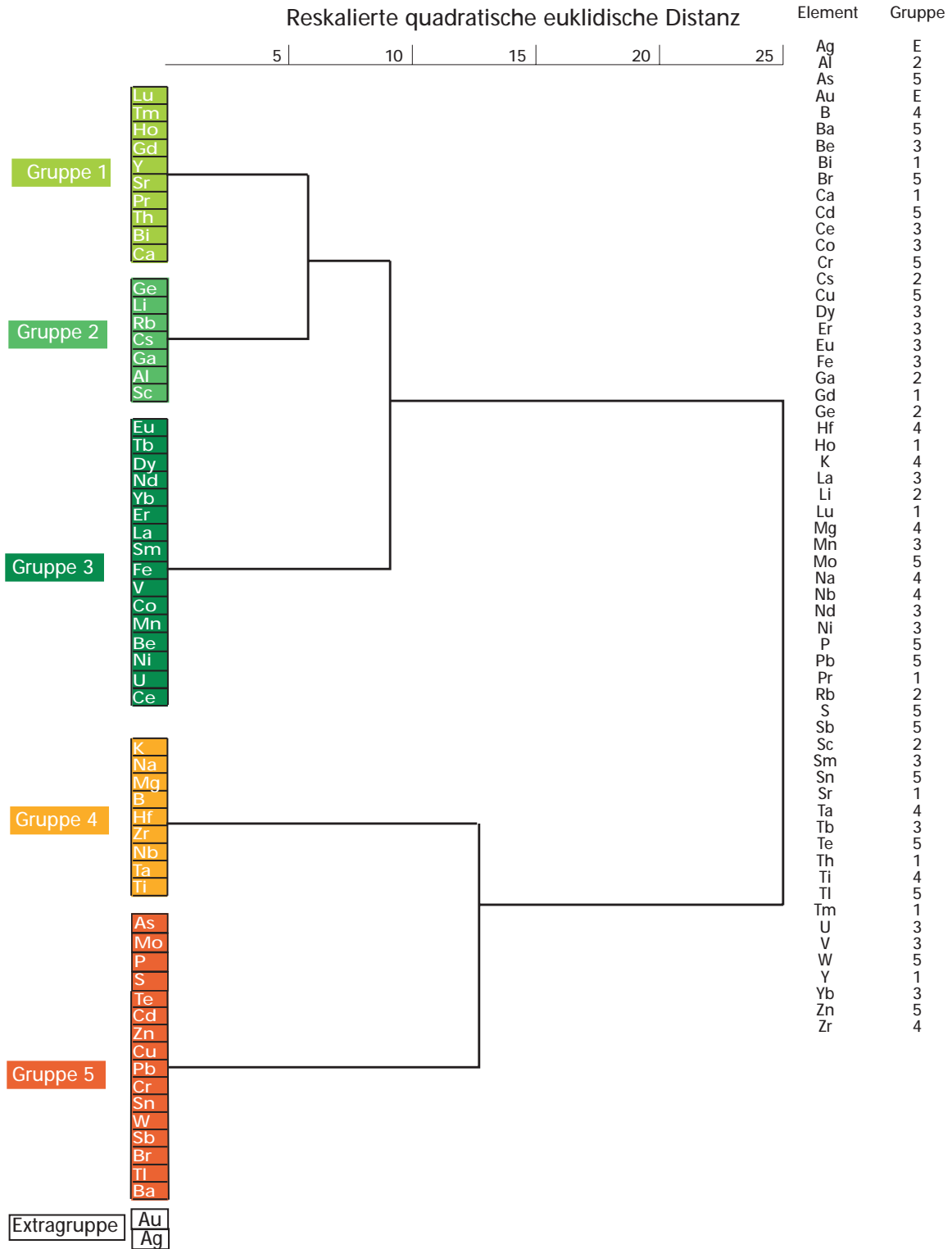
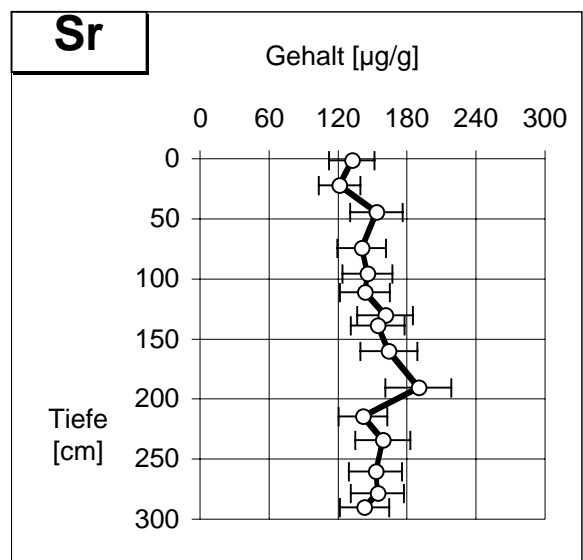
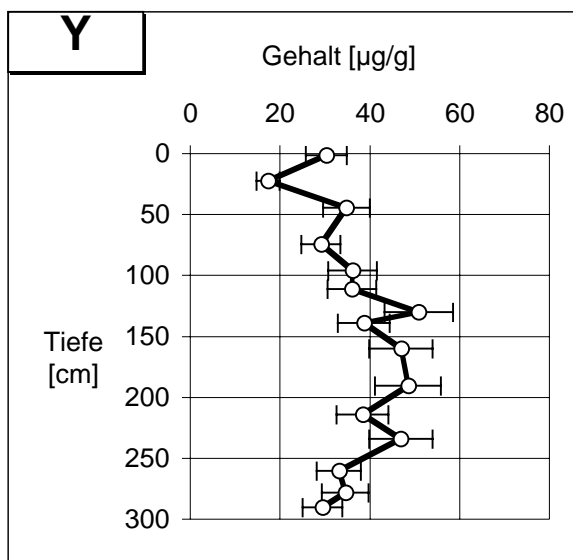
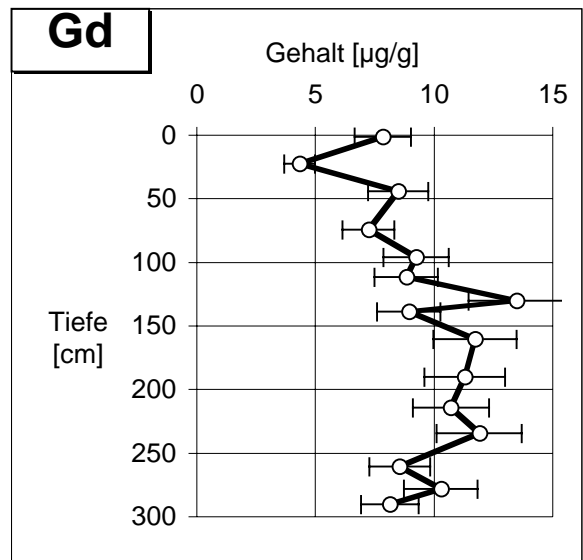
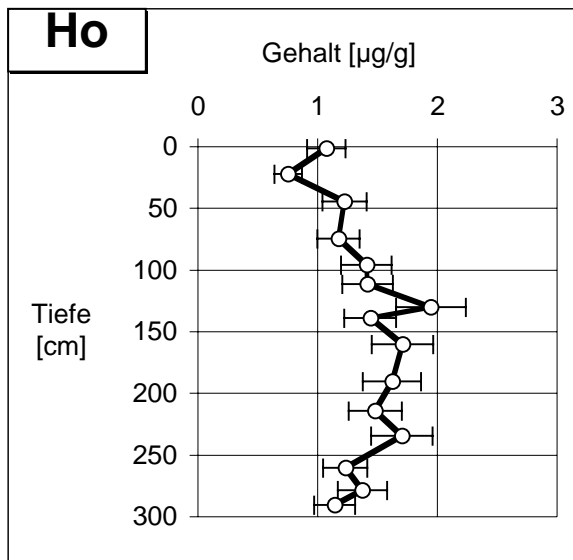
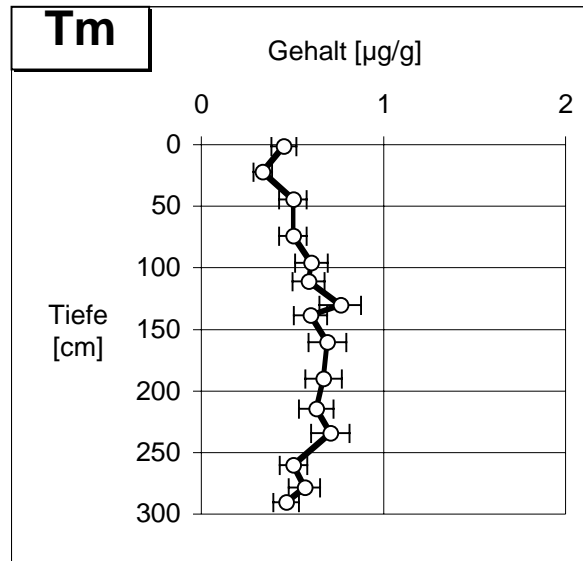
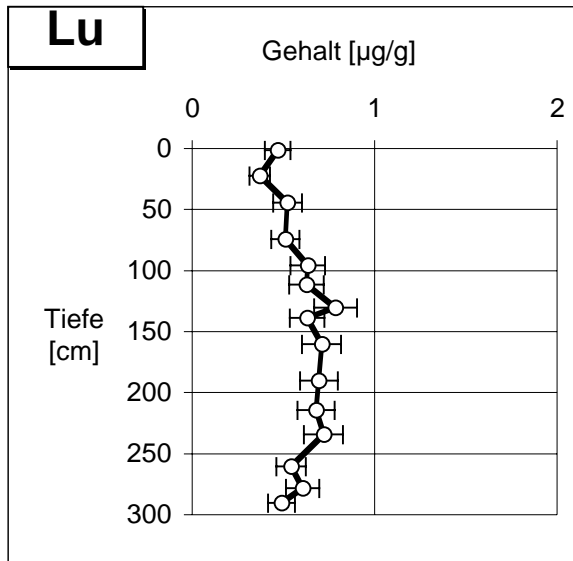
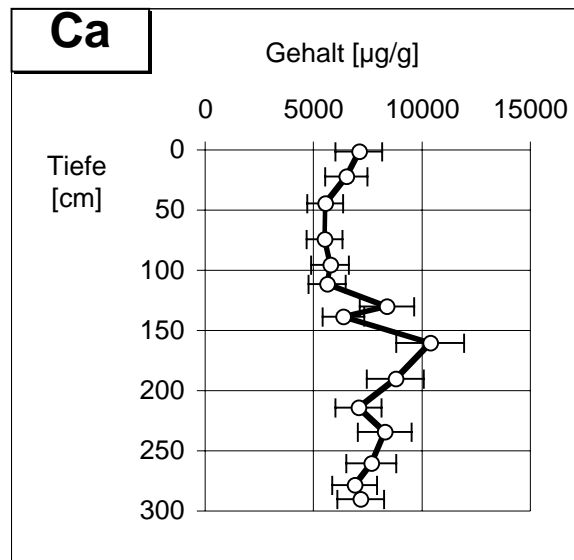
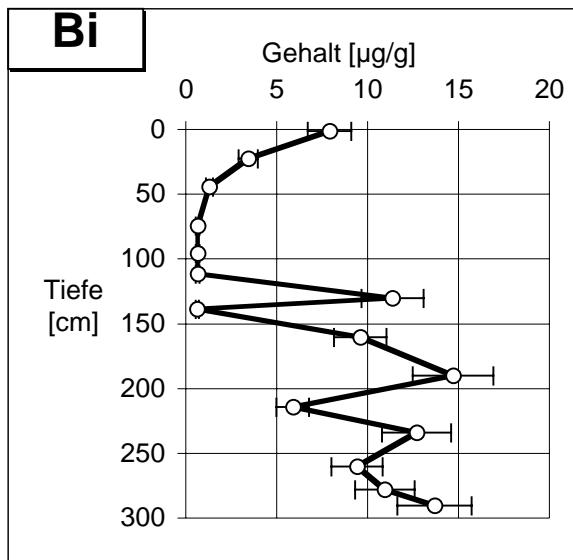
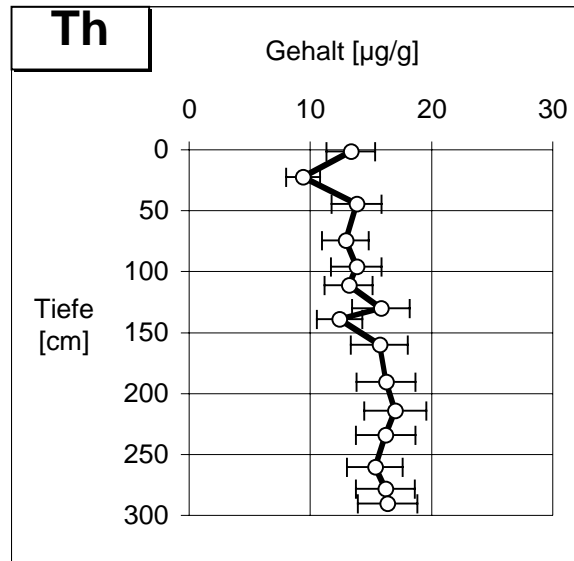
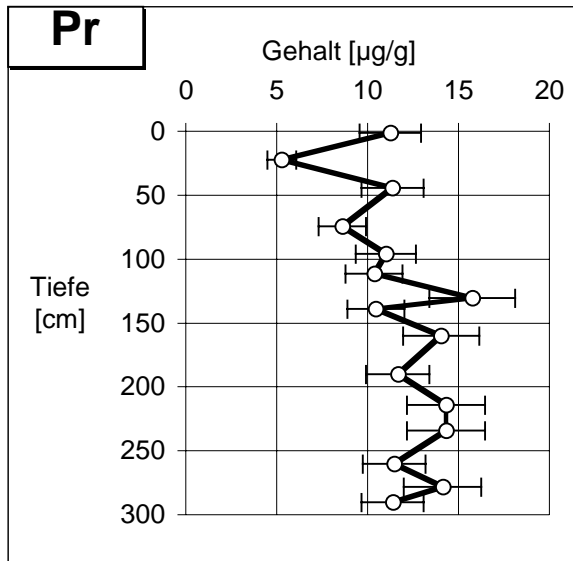


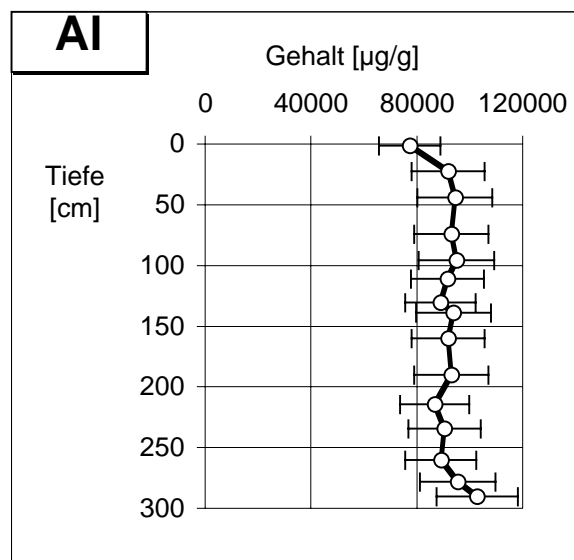
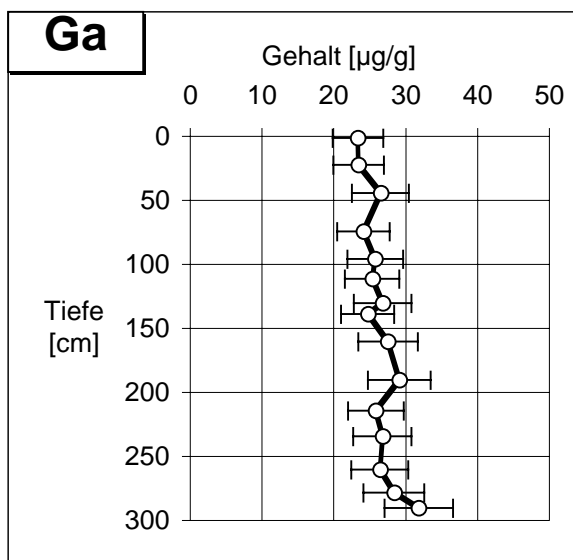
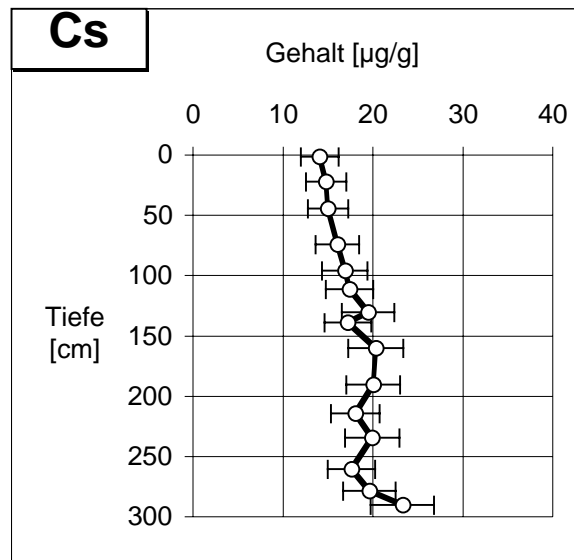
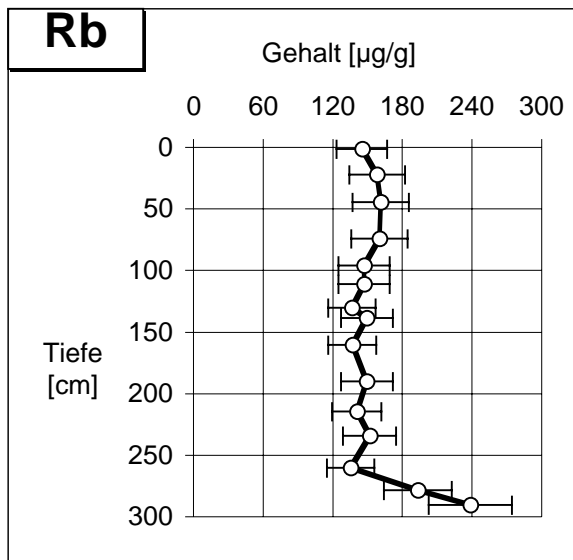
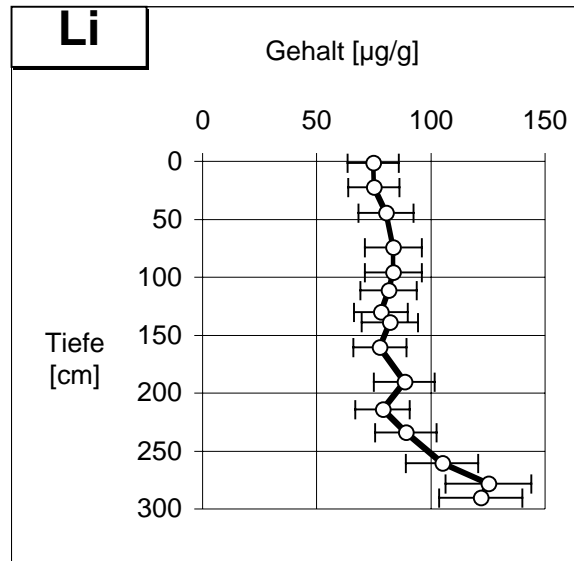
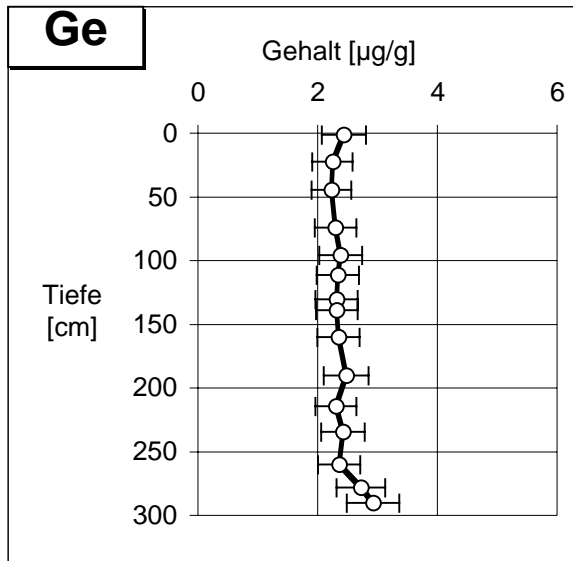
Abb. 9.1.2.6: Dendrogramm der Elemente für Kern 155 bei Tangermünde (vgl. Abb. 5.3.6)



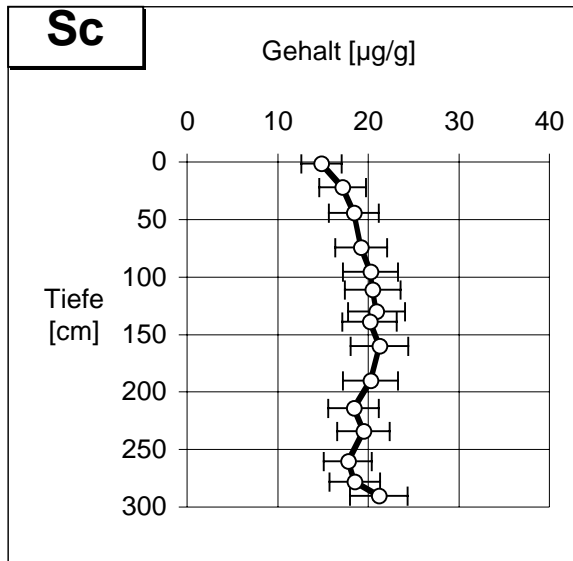


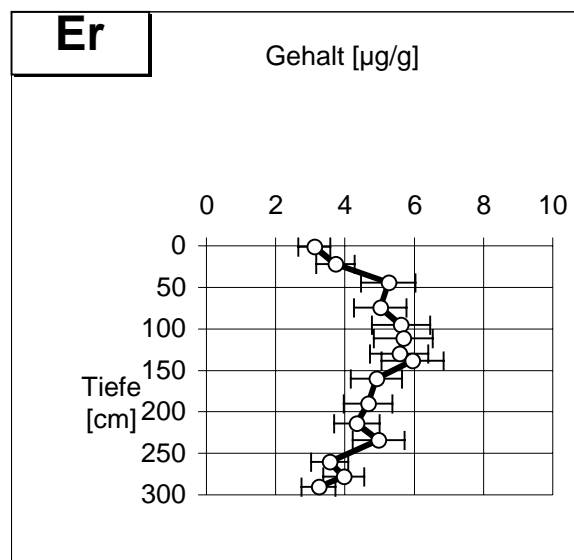
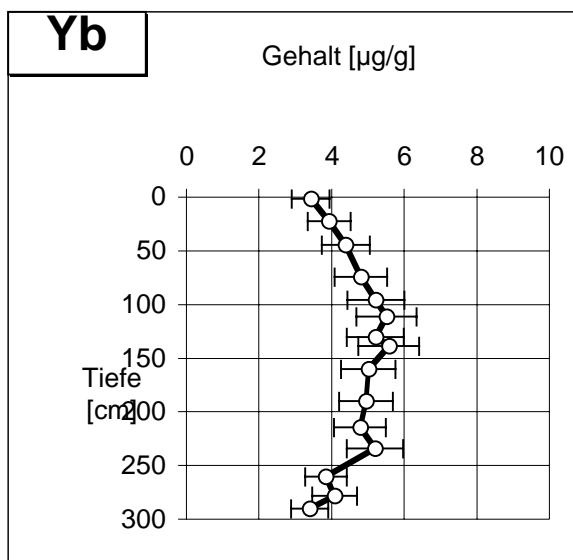
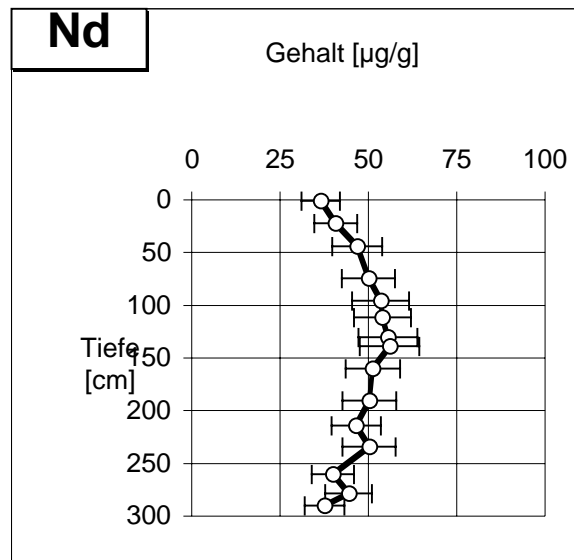
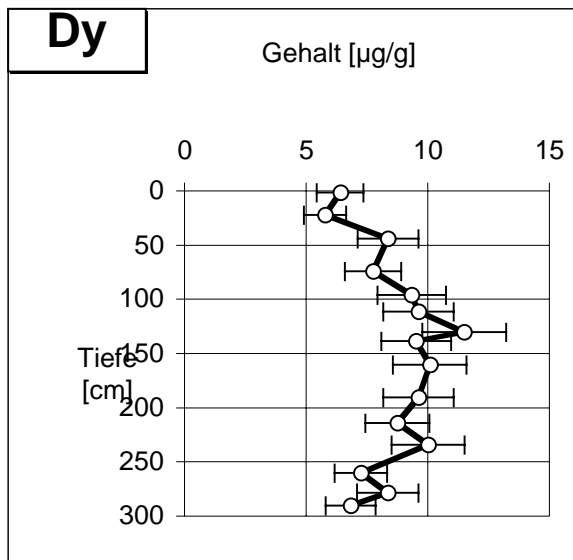
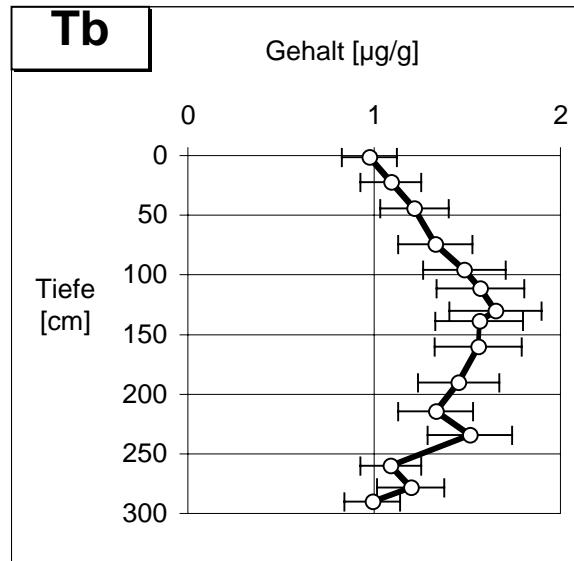
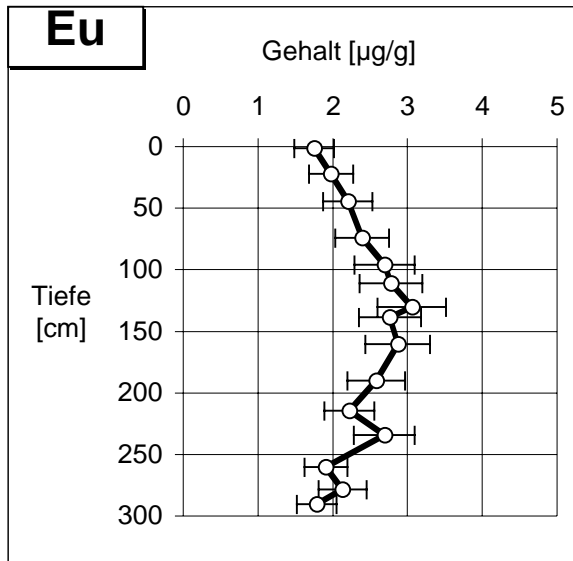
Kap. 9.1.2.3.1: Tangermünde, Auenkern 155, Elementtiefenprofile, Elementgruppe 1



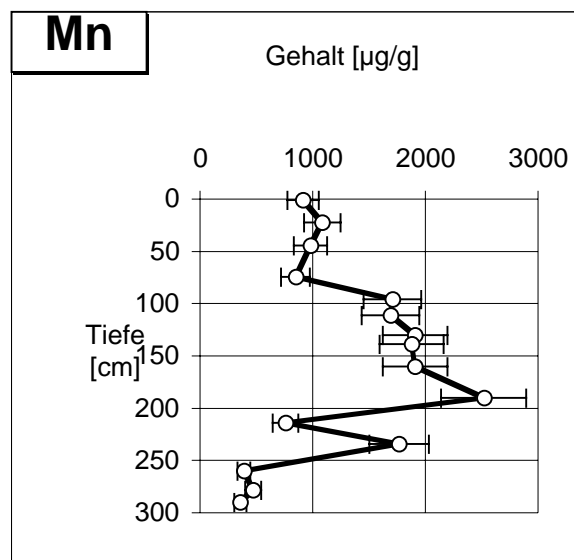
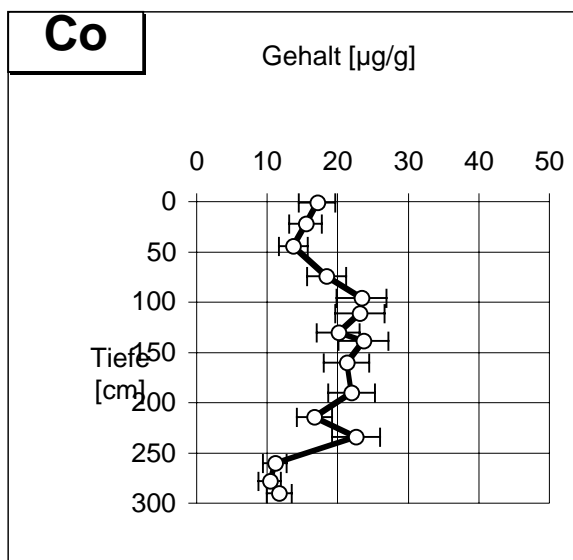
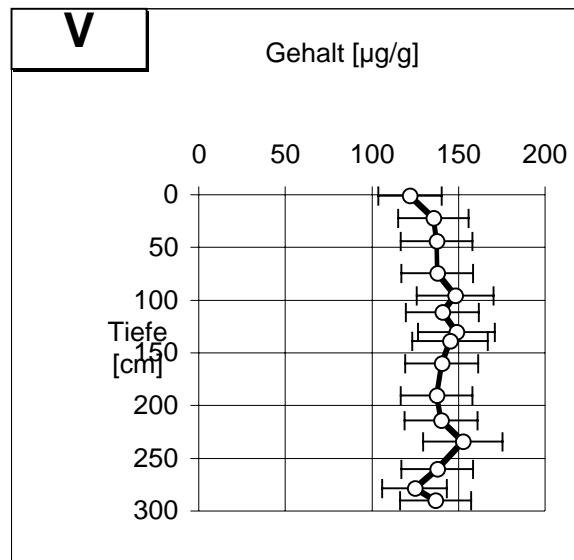
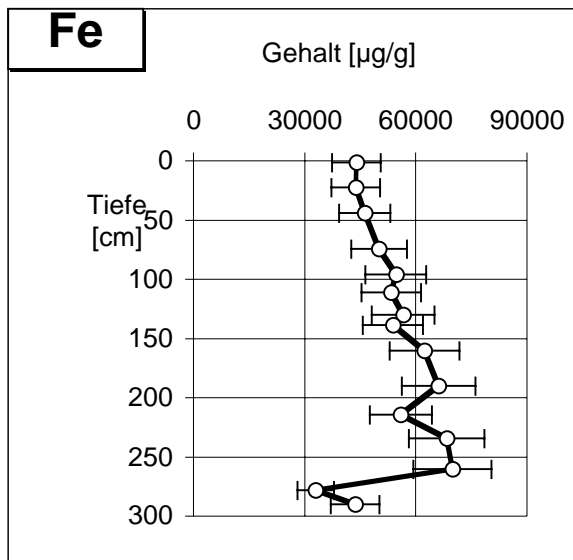
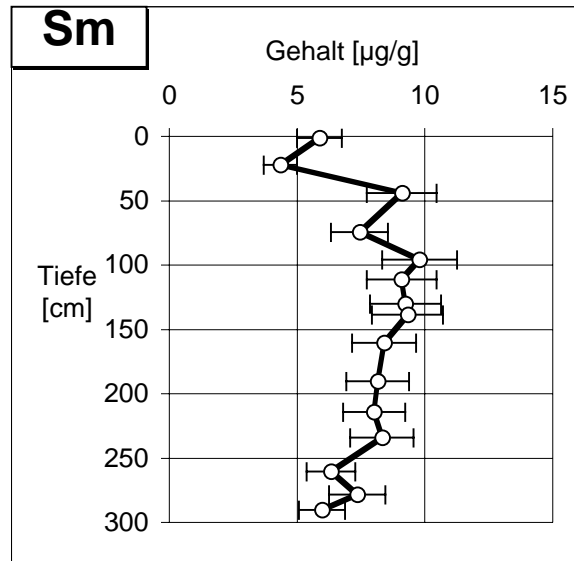
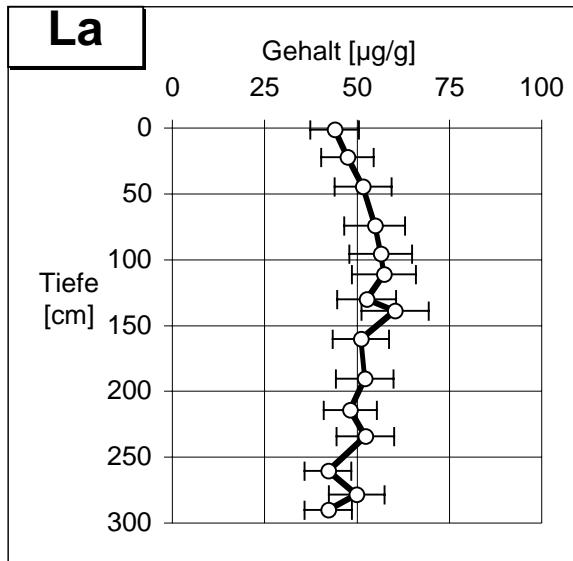


Kap. 9.1.2.3.1: Tangermünde, Auenkern 155, Elementtiefenprofile, Elementgruppe 2

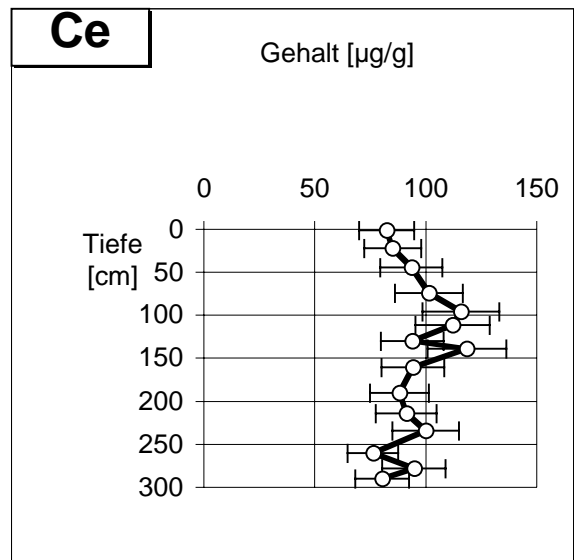
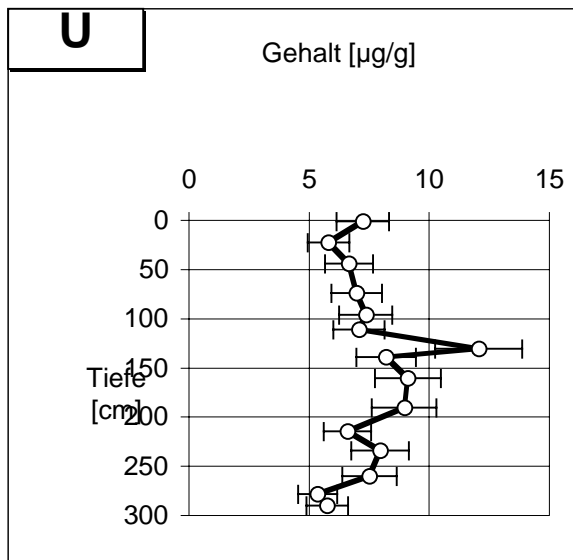
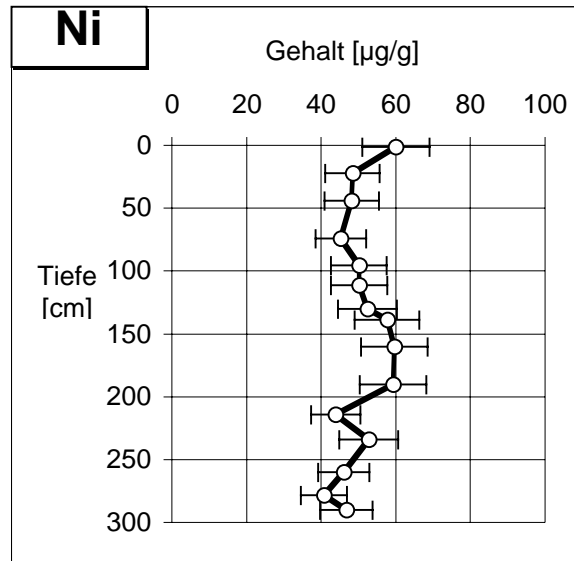
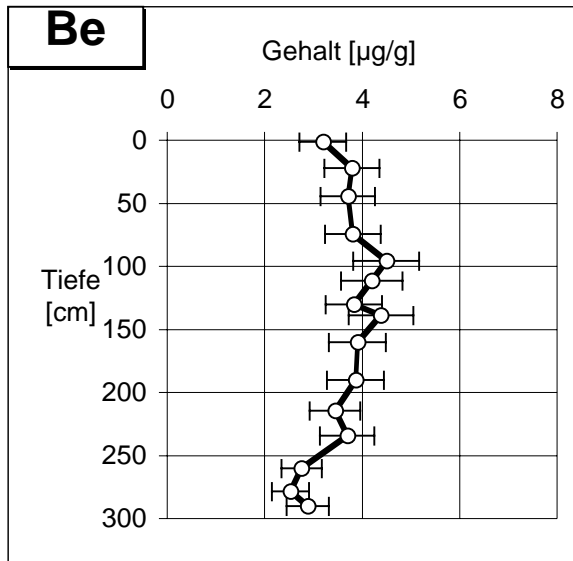


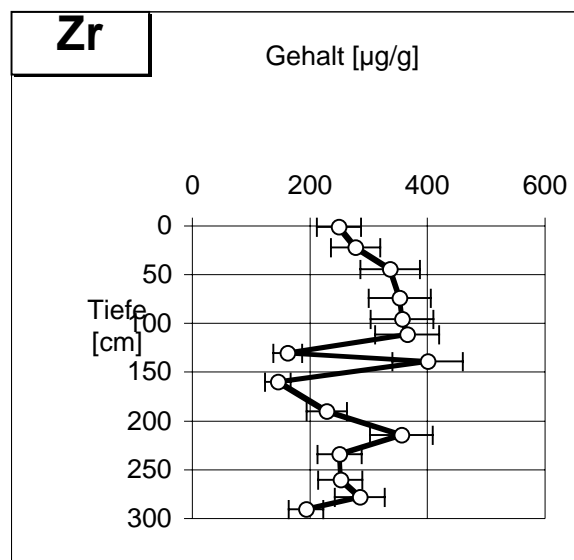
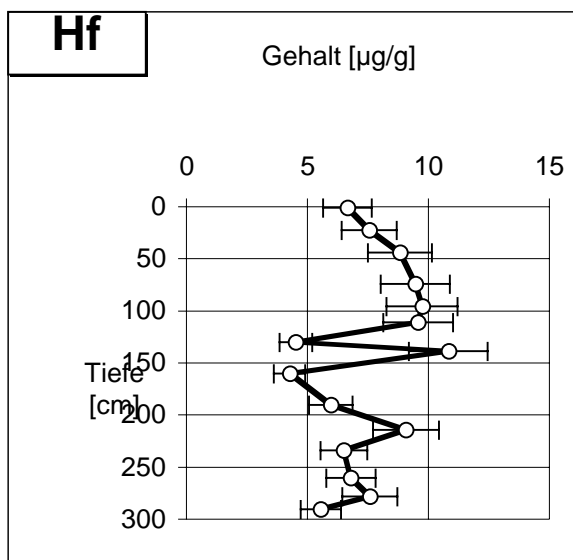
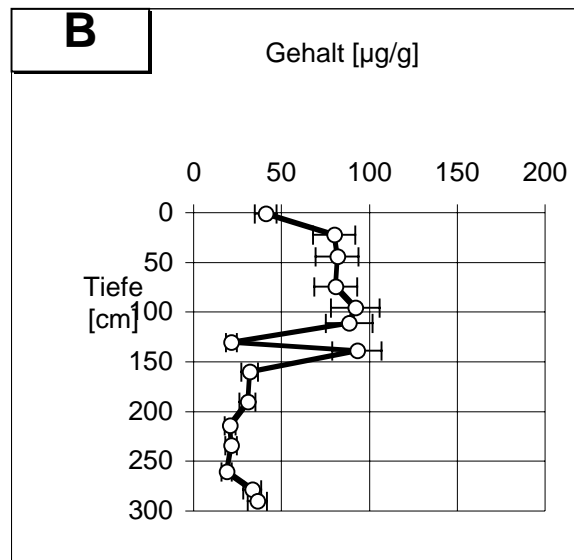
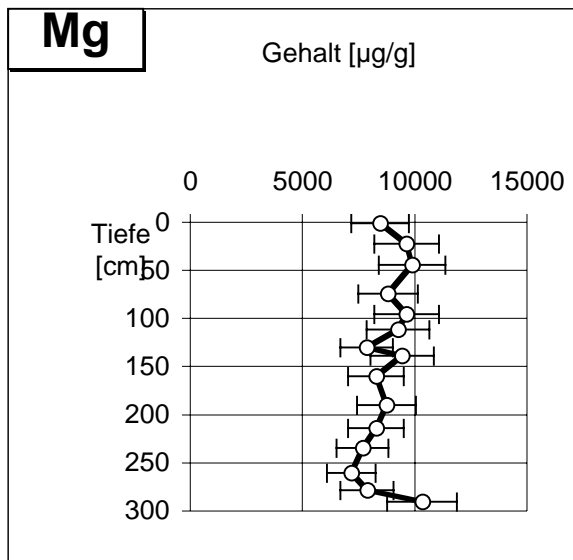
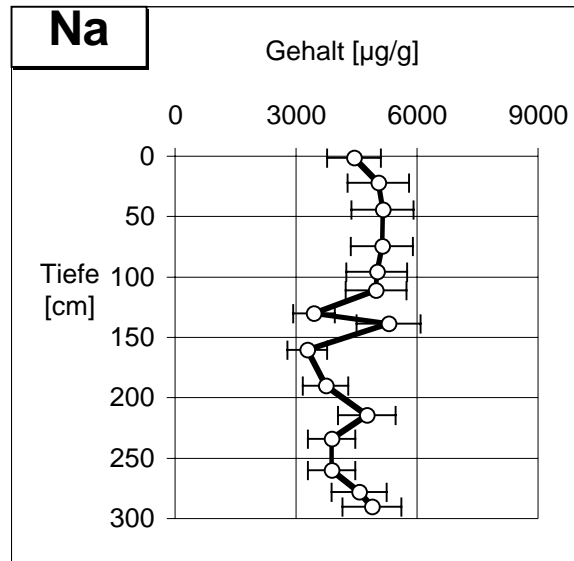
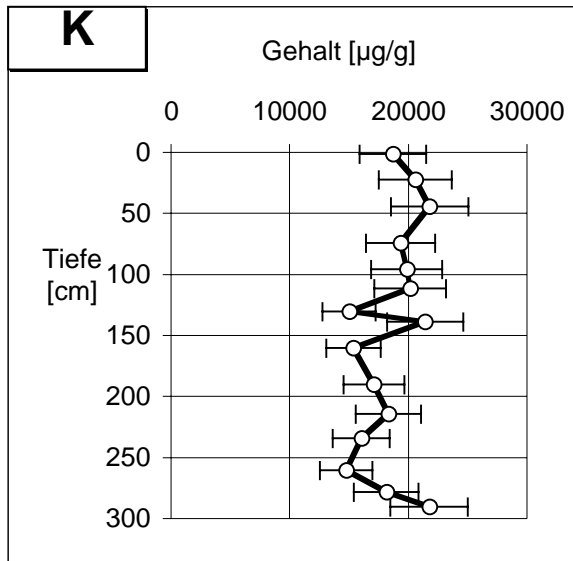


Kap. 9.1.2.3.1: Tangermünde, Auenkern 155, Elementtiefenprofile, Elementgruppe 3



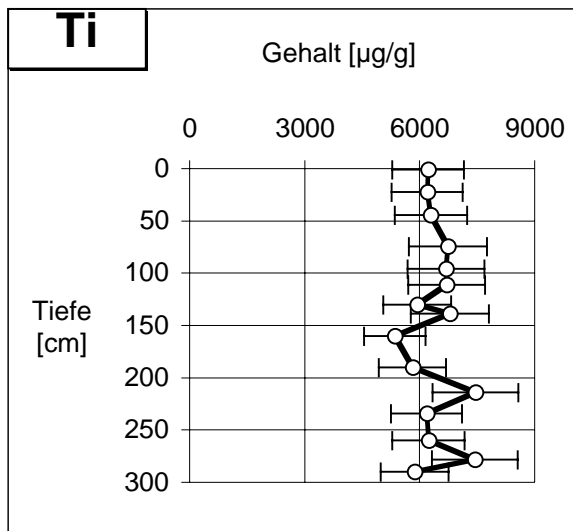
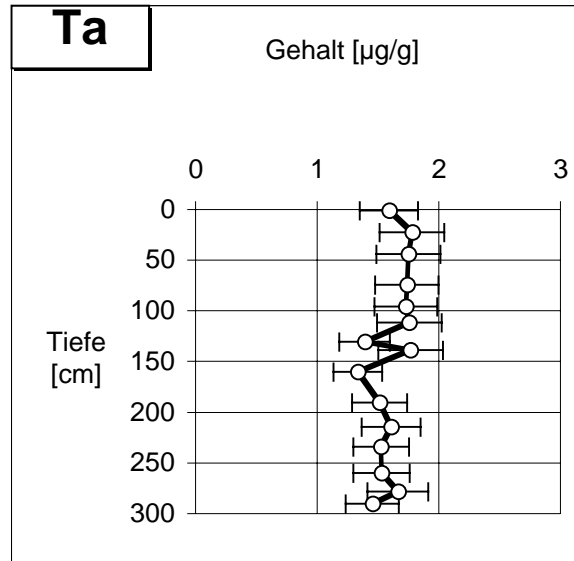
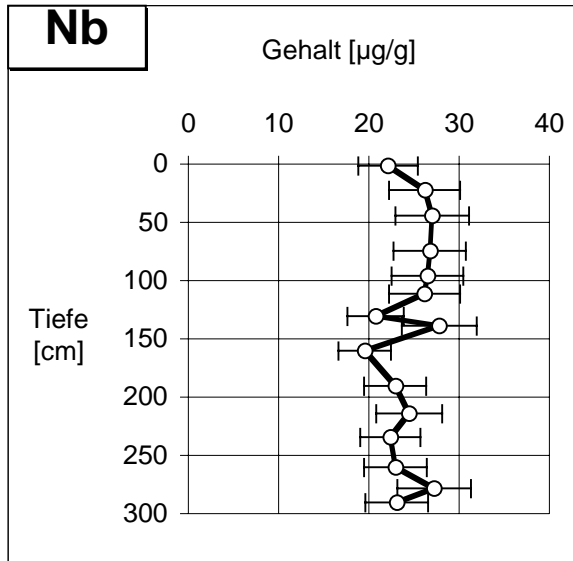
Kap. 9.1.2.3.1: Tangermünde, Auenkern 155, Elementtiefenprofile, Elementgruppe 3

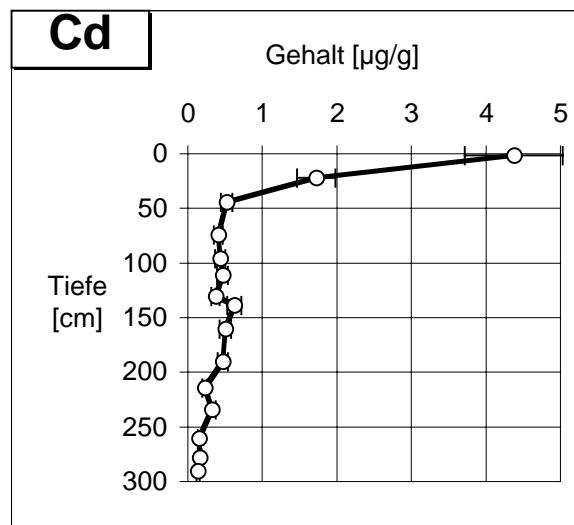
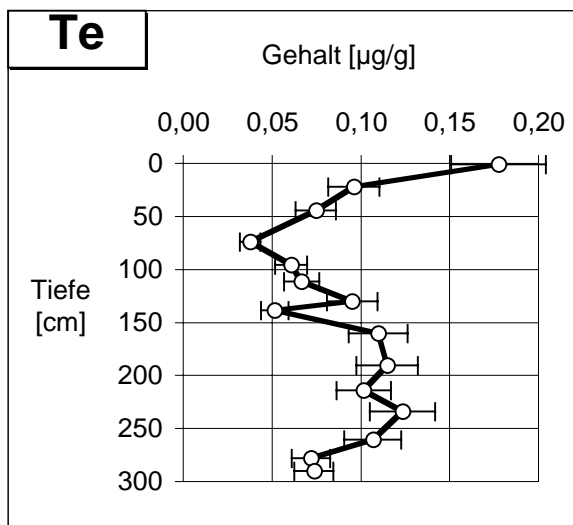
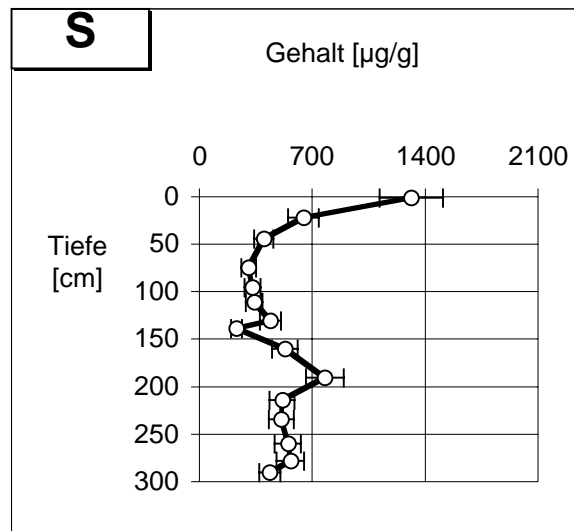
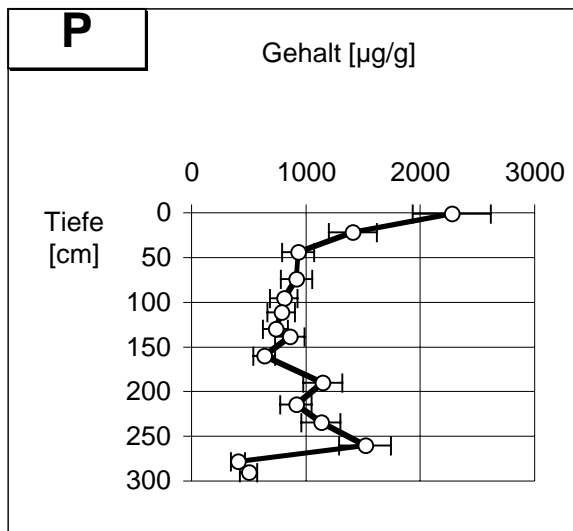
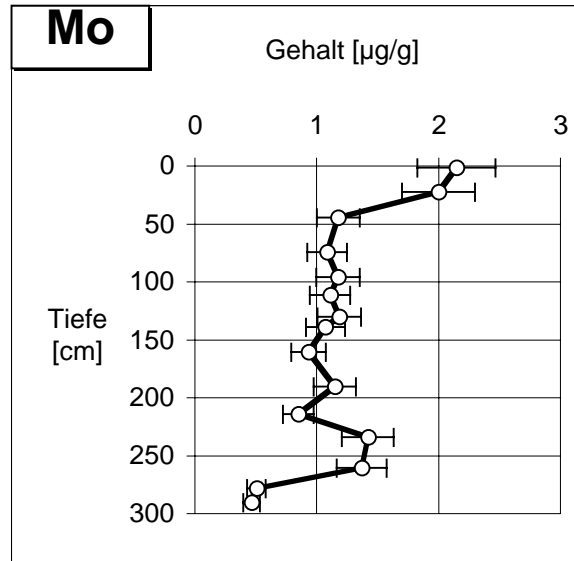
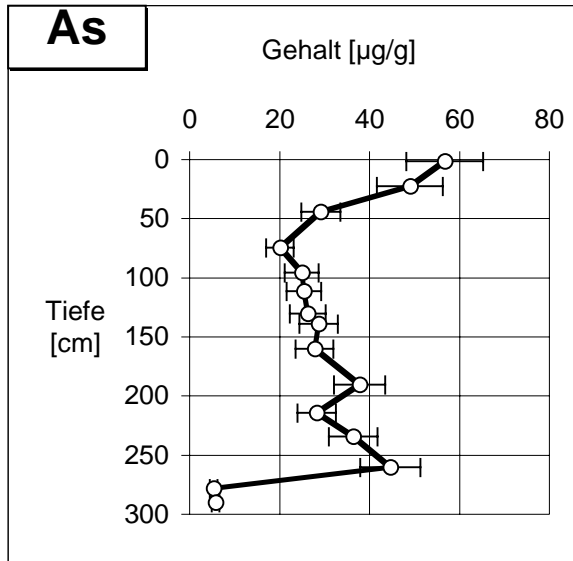




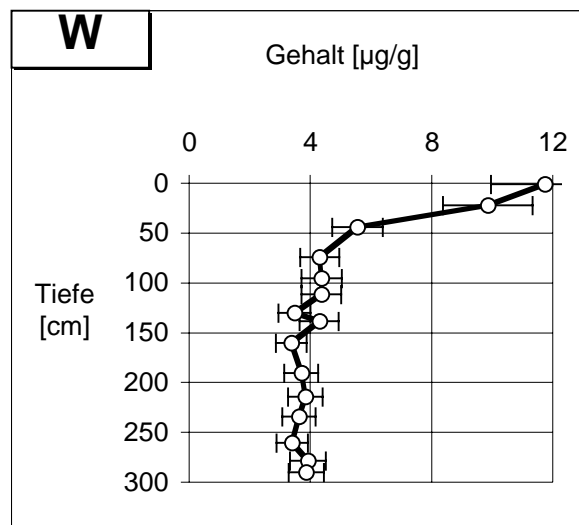
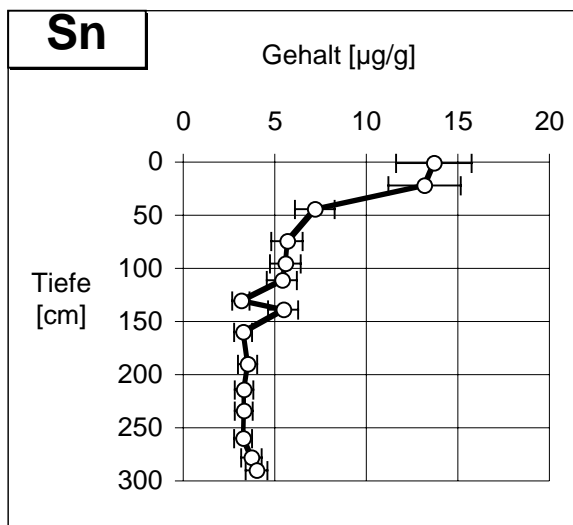
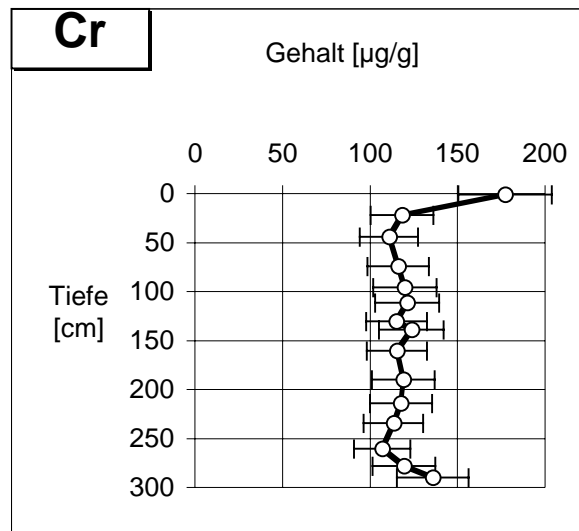
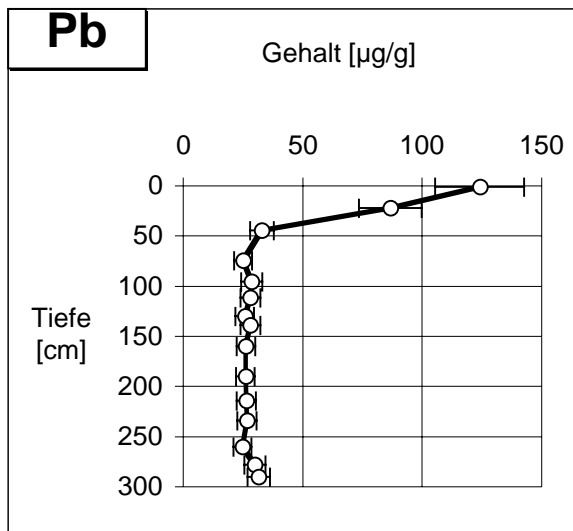
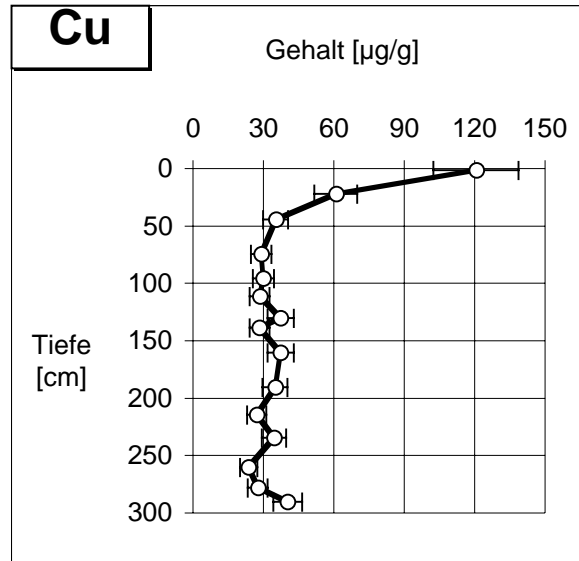
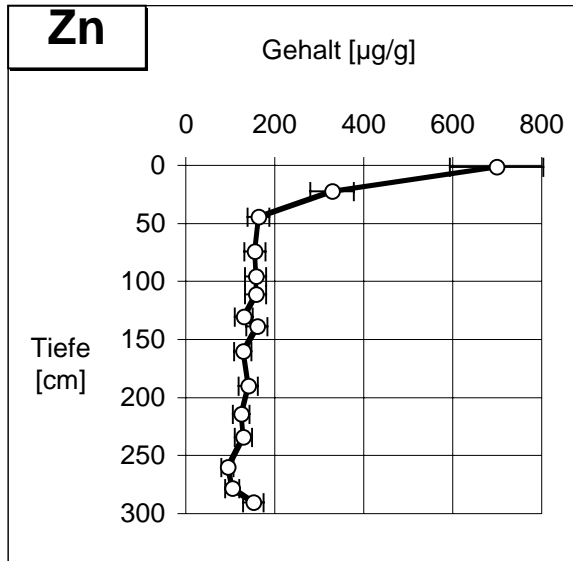
Kap. 9.1.2.3.1: Tangermünde, Auenkern 155, Elementtiefenprofile, Elementgrupp



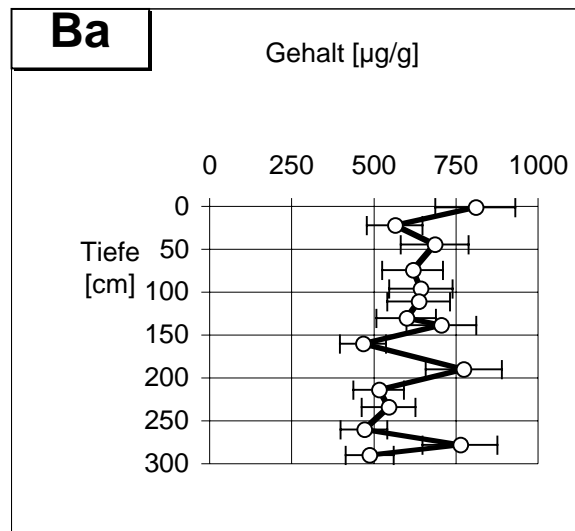
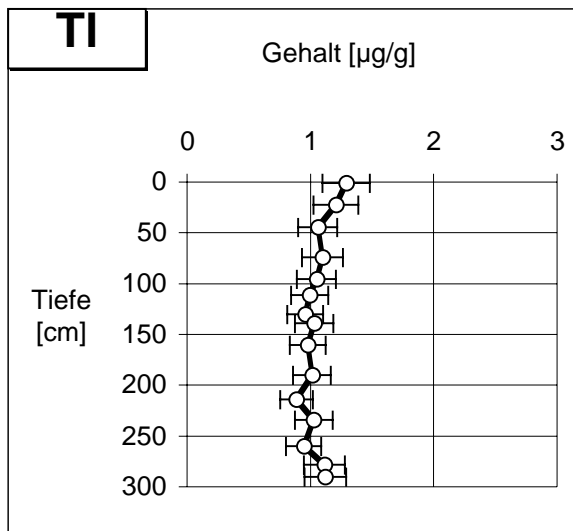
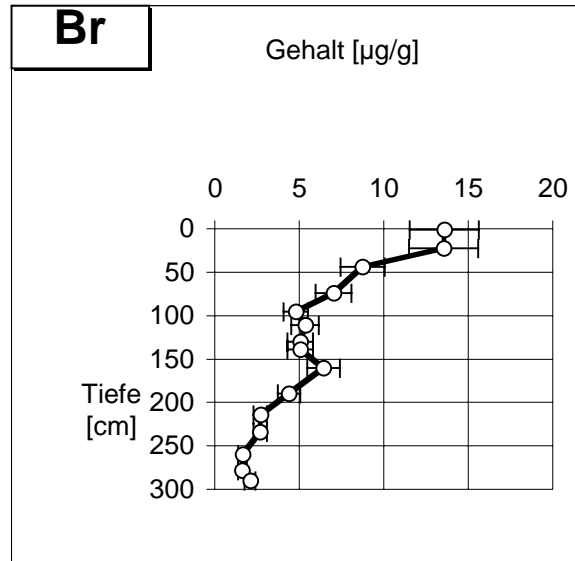
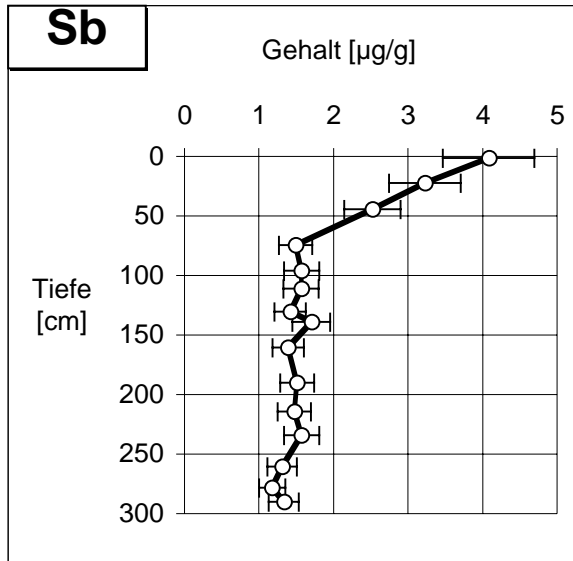


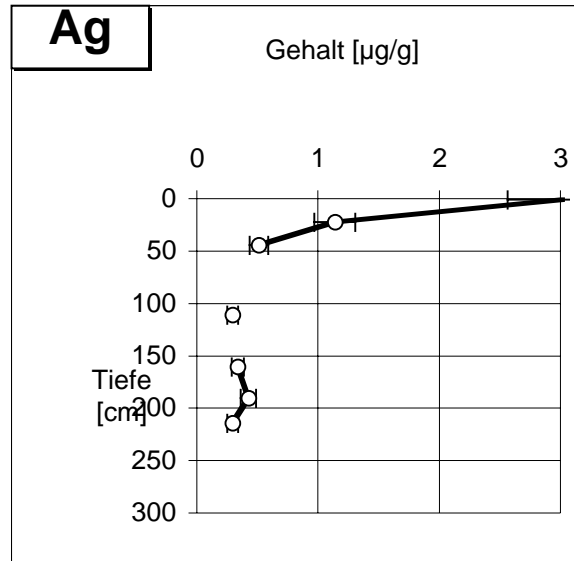
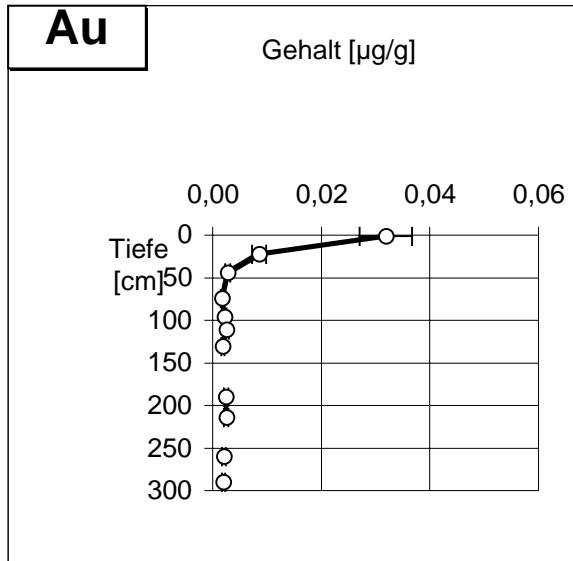


Kap. 9.1.2.3.1: Tangermünde, Auenkern 155, Elementtiefenprofile, Elementgruppe 5



Kap. 9.1.2.3.1: Tangermünde, Auenkern 155, Elementtiefenprofile, Elementgruppe 5





9.1.2.3.2 Auenkern 189

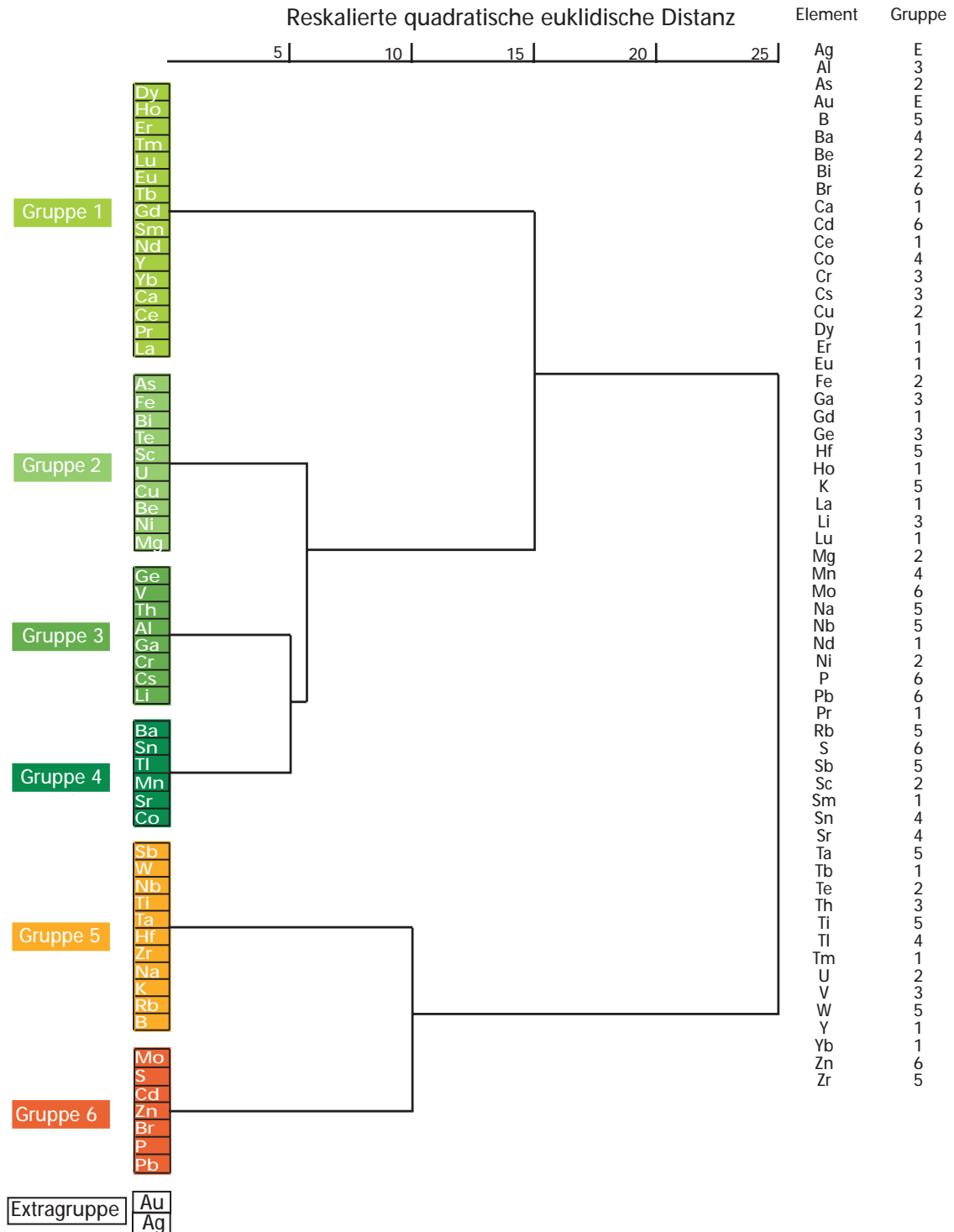
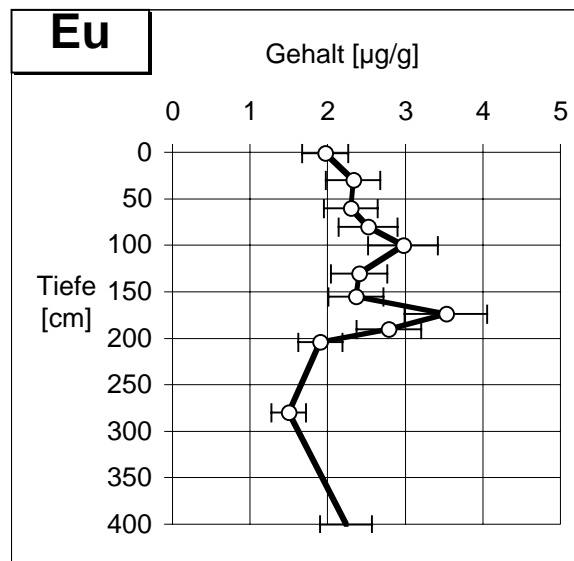
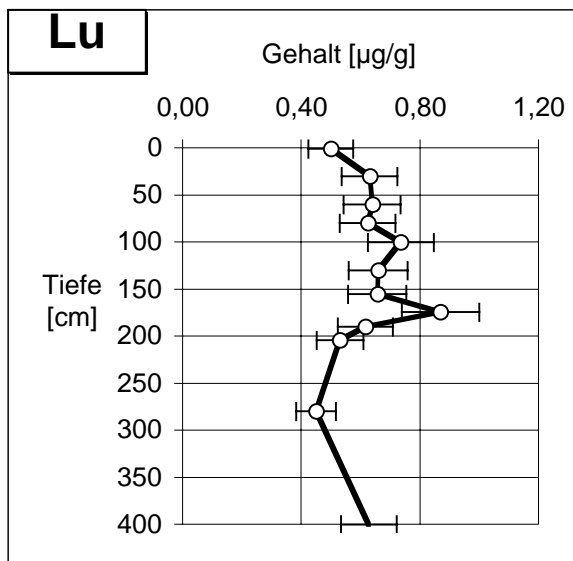
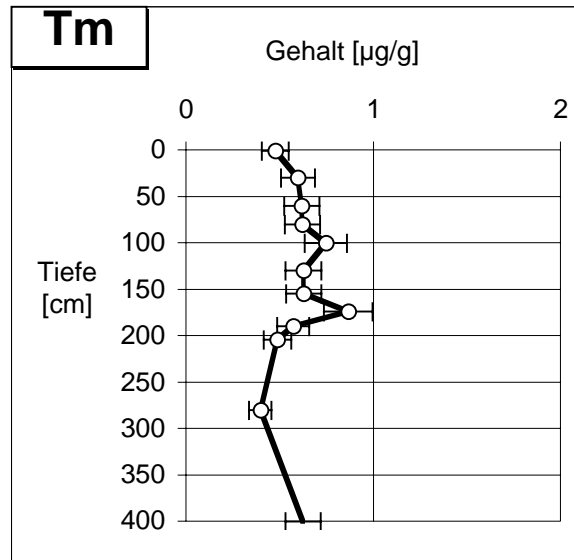
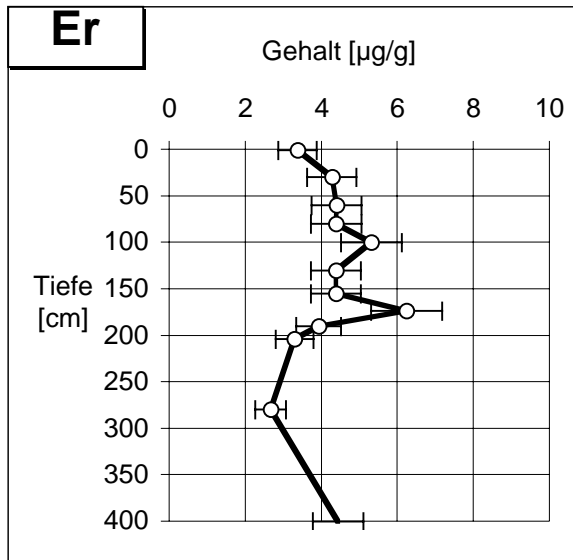
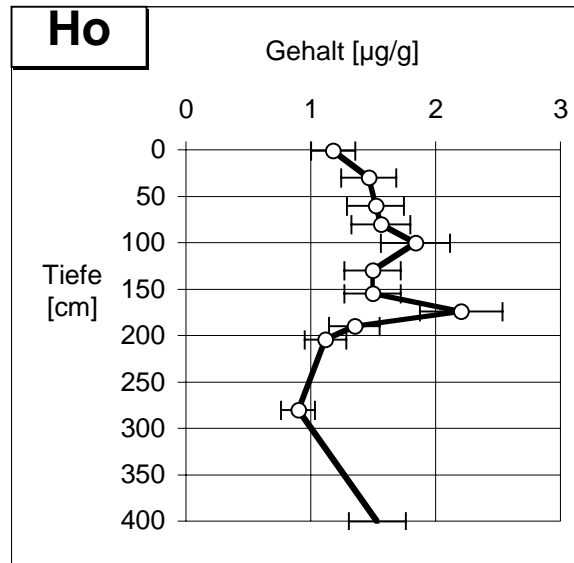
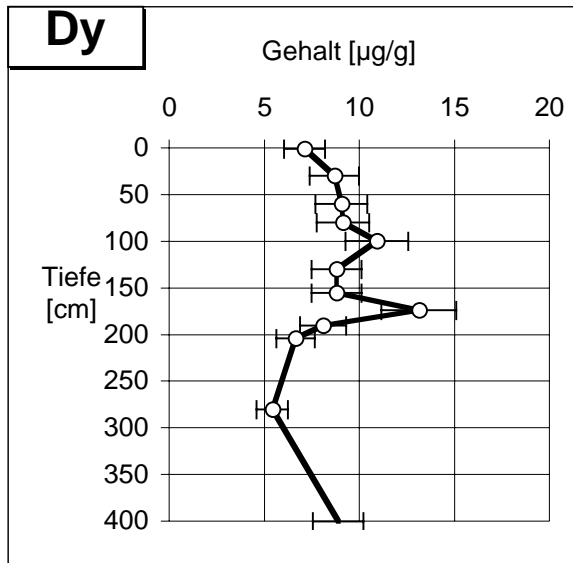
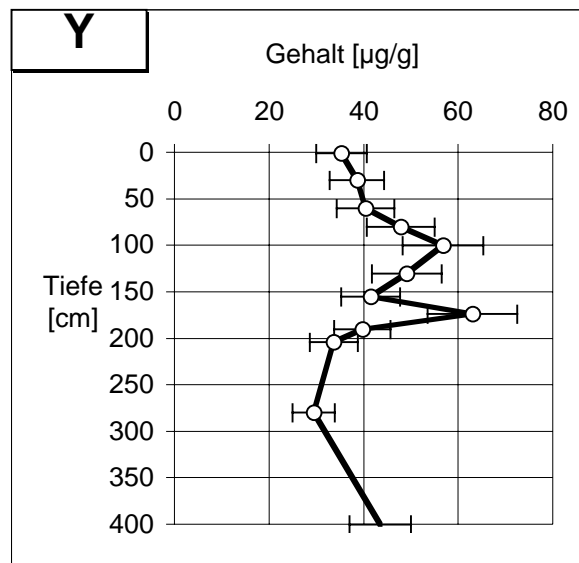
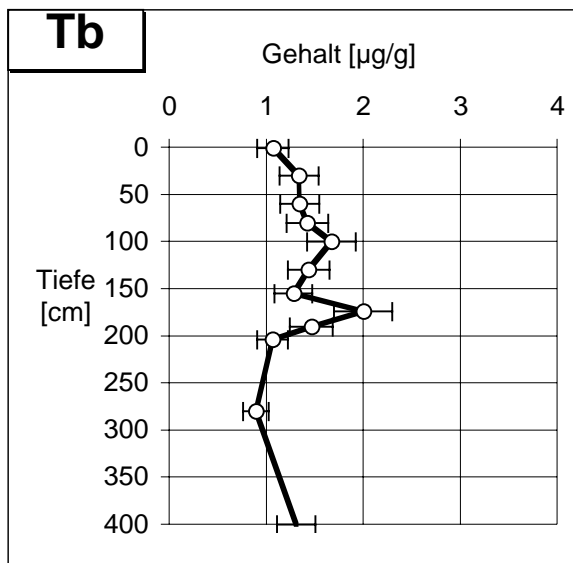
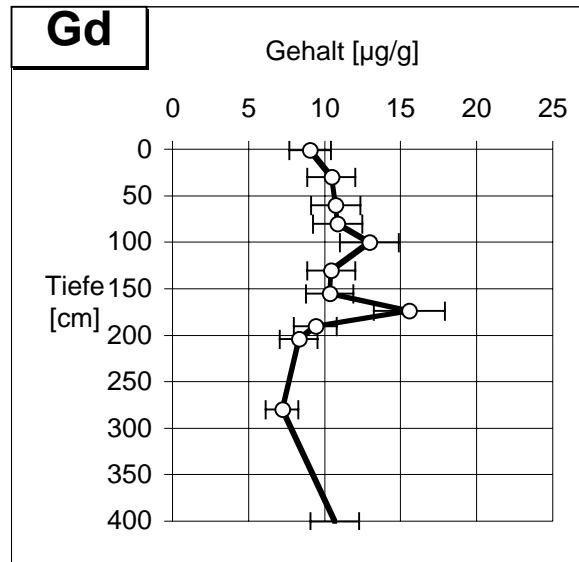
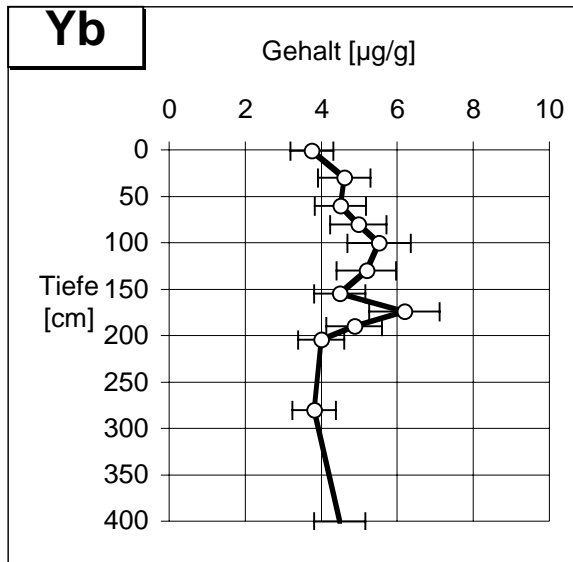
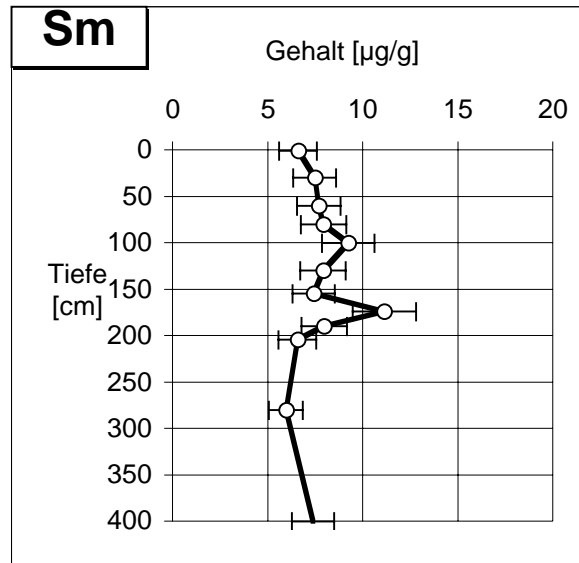
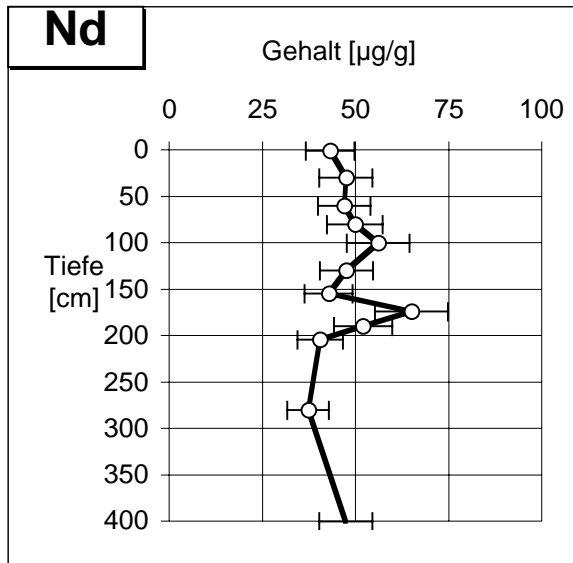


Abb. 9.1.2.6: Dendrogramm der Elemente für Kern 189 aus Tangermünde (vgl. Abb. 5.3.10)

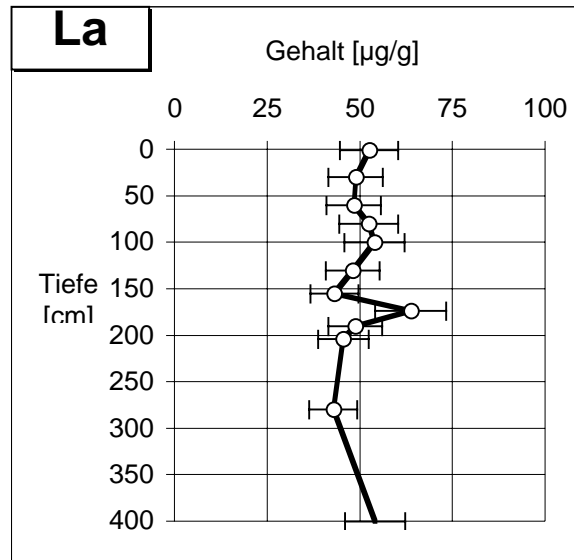
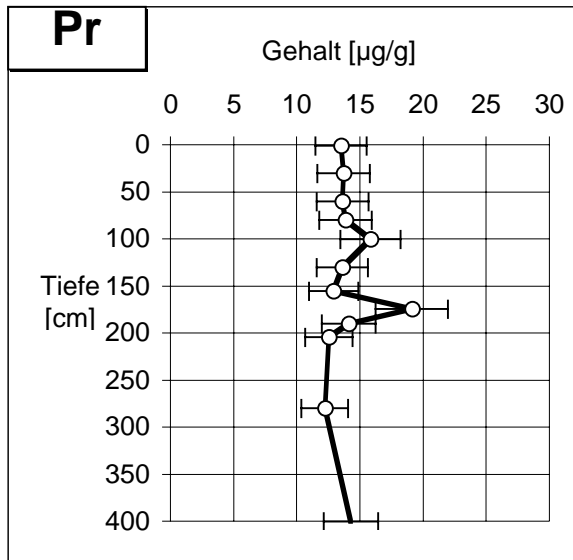
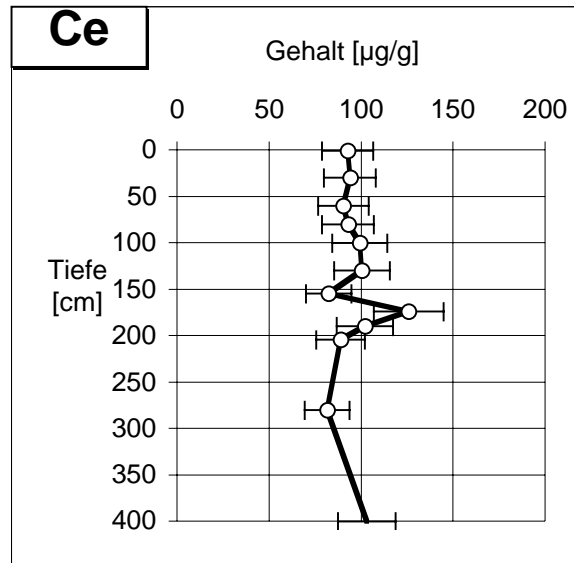
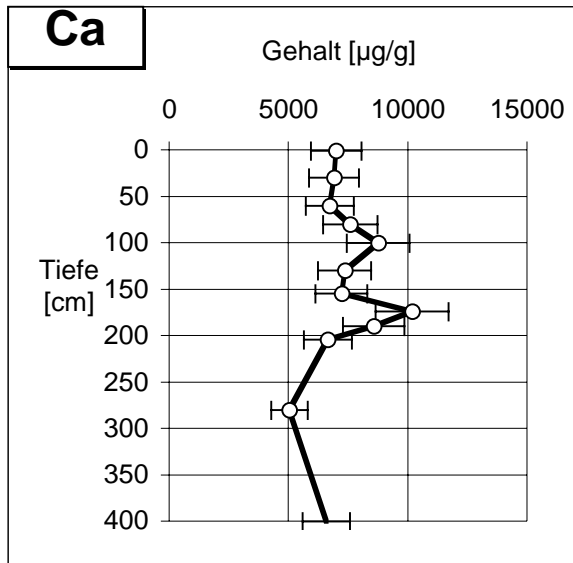


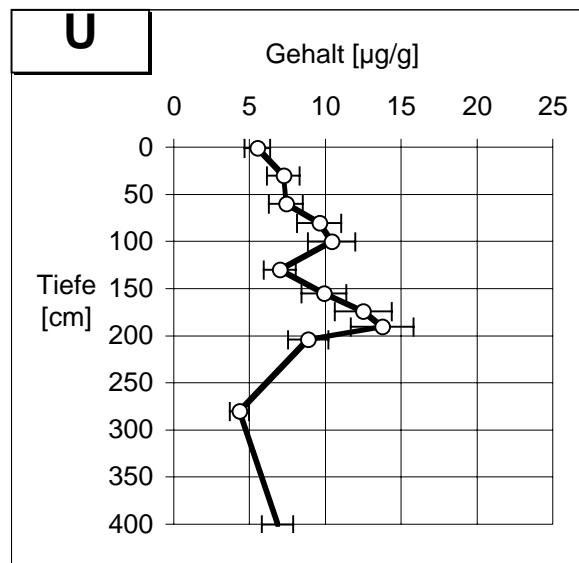
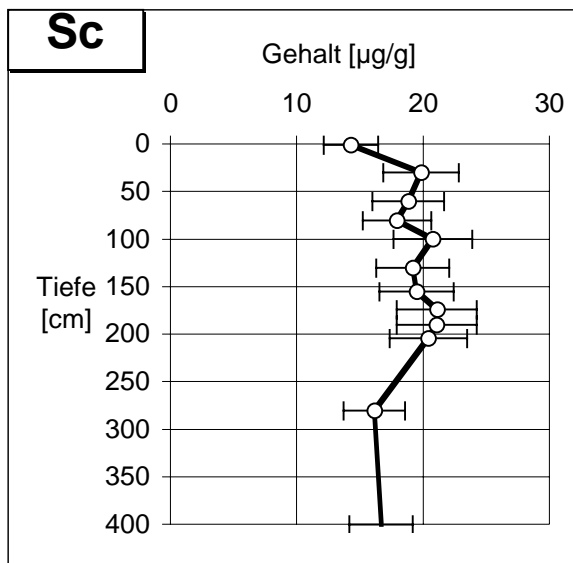
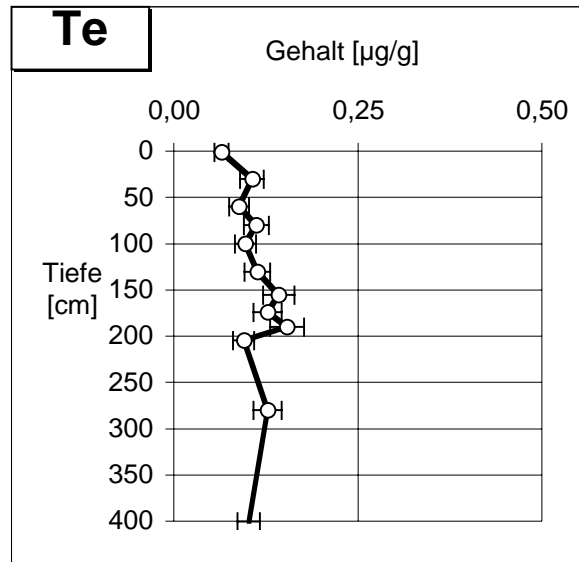
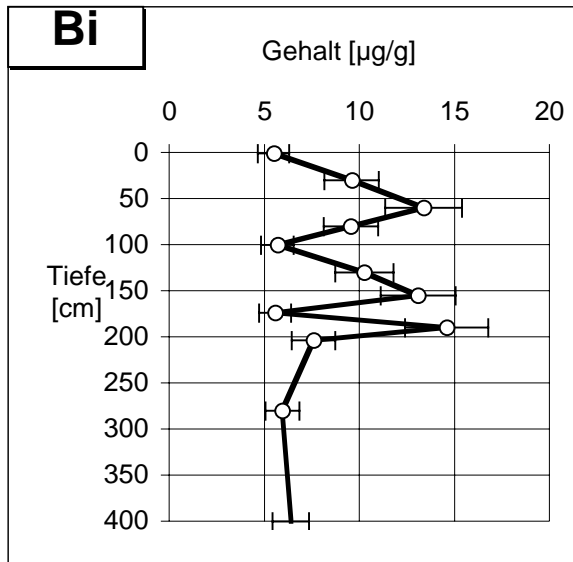
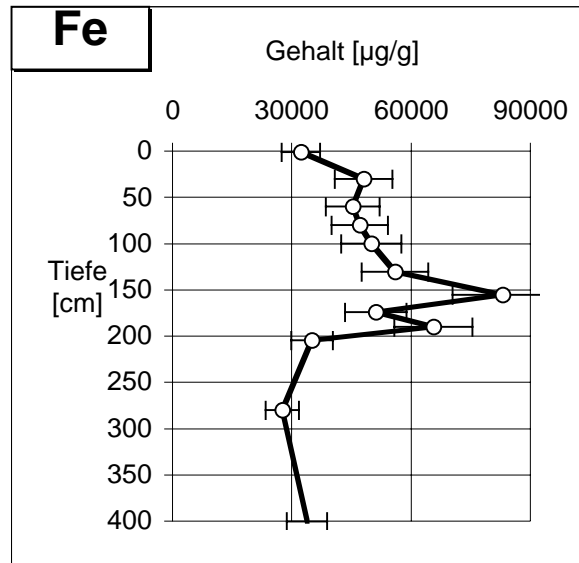
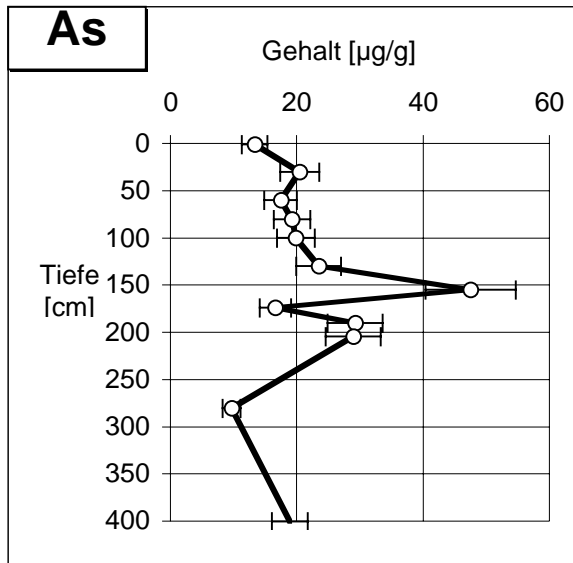
Kap. 9.1.2.3.2: Tangermünde, Auenkern 189, Elementtiefenprofile, Elementgruppe 1



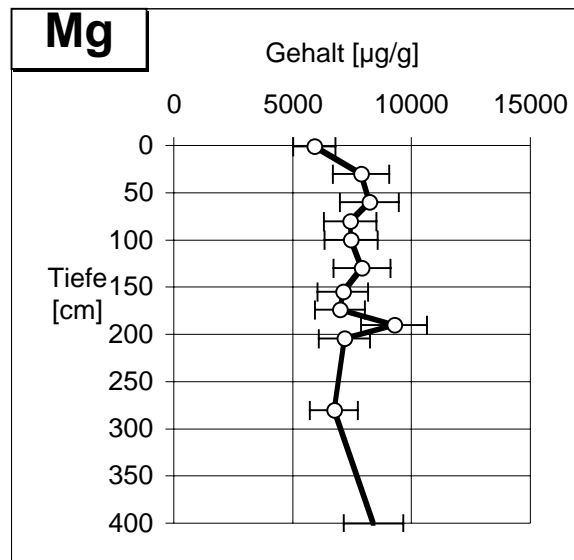
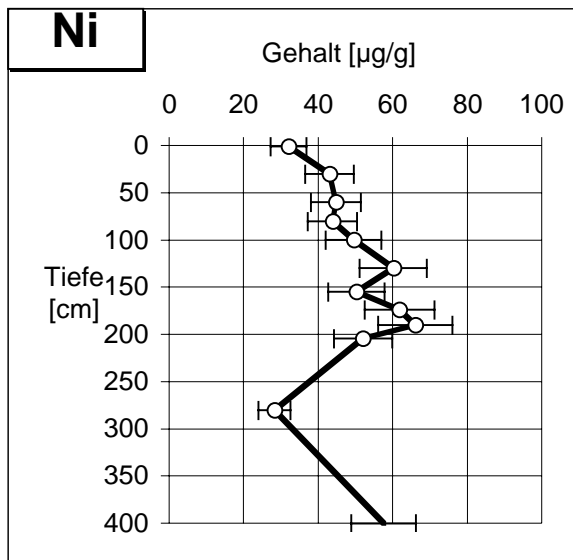
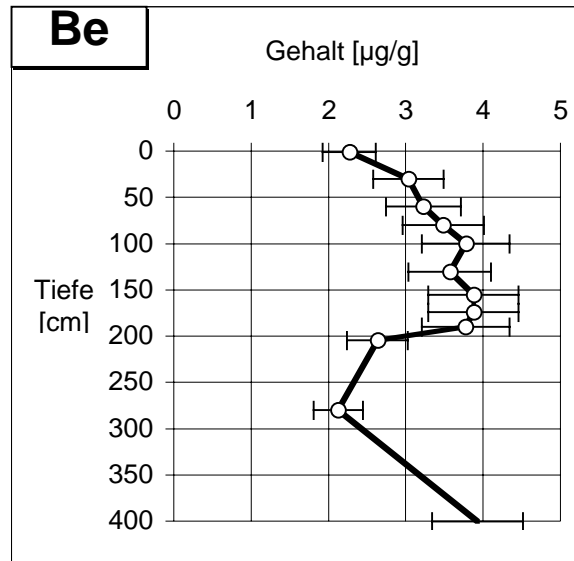
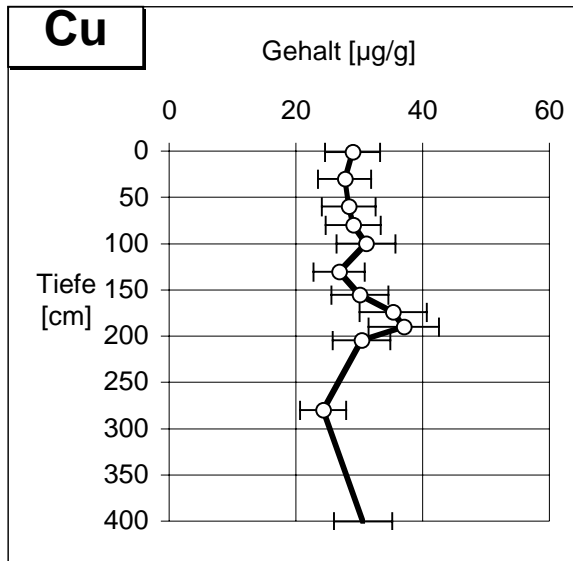
Kap. 9.1.2.3.2: Tangermünde, Auenkern 189, Elementtiefenprofile, Elementgruppe 1

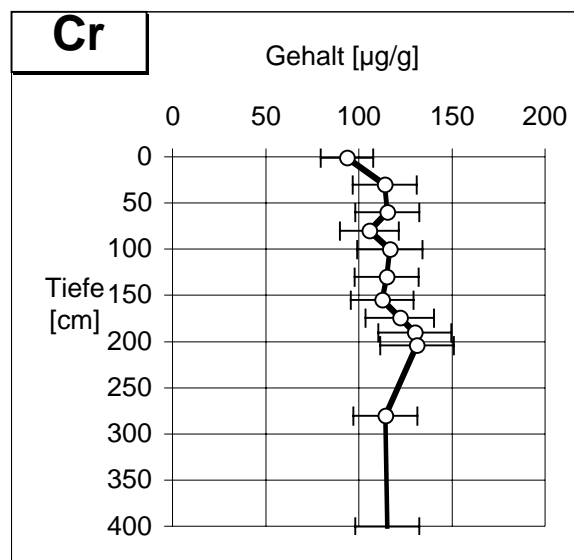
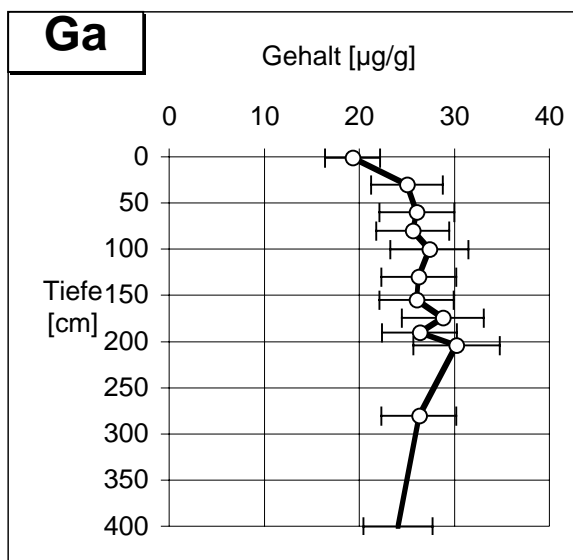
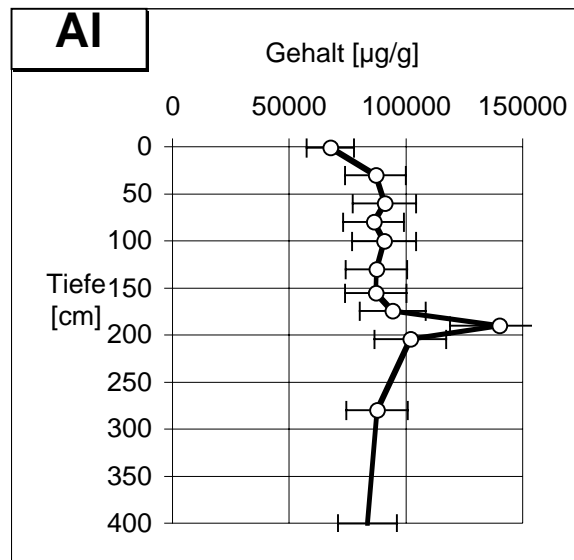
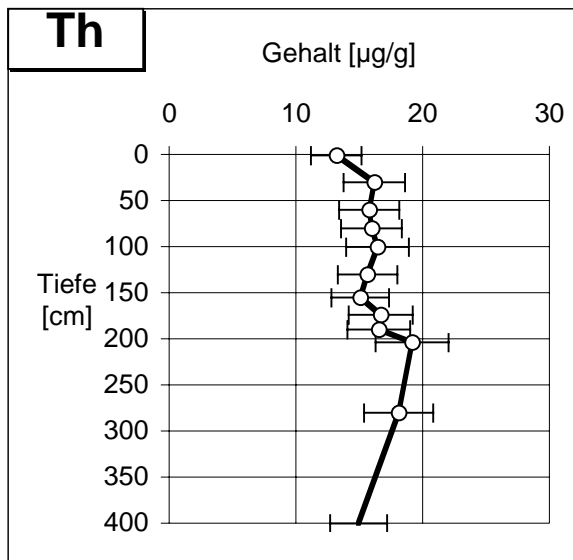
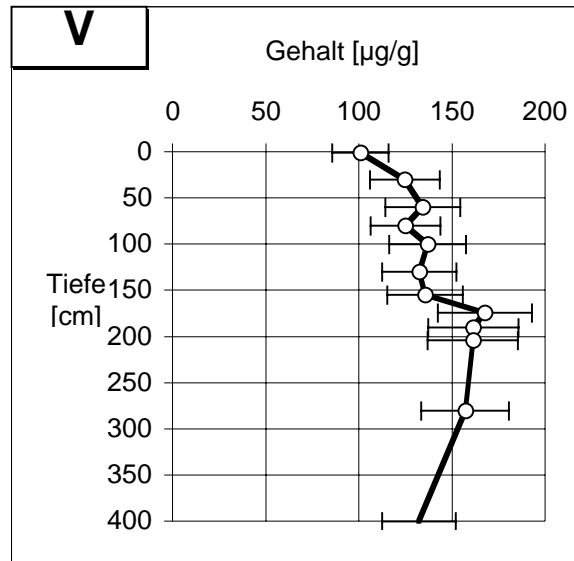
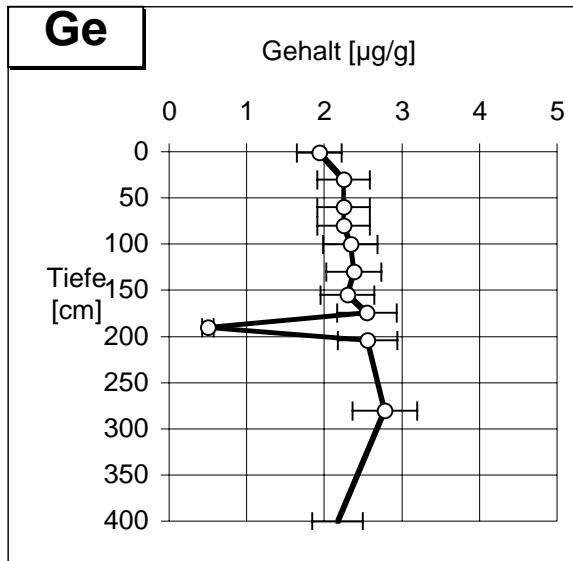




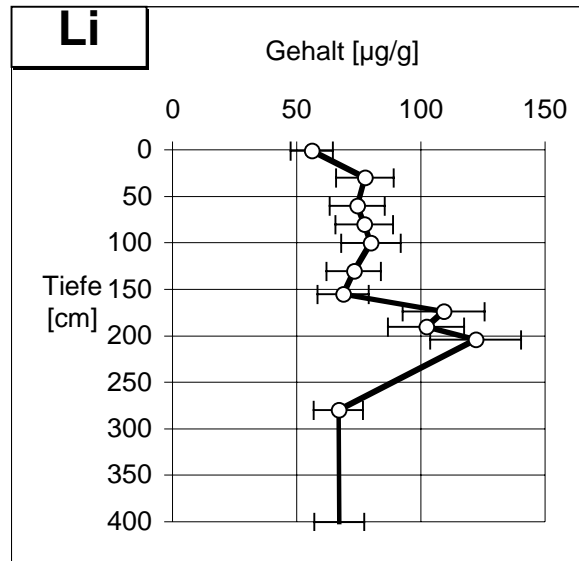
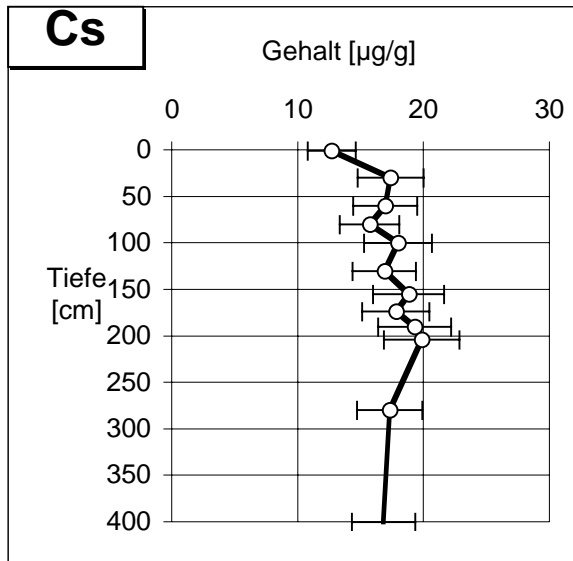


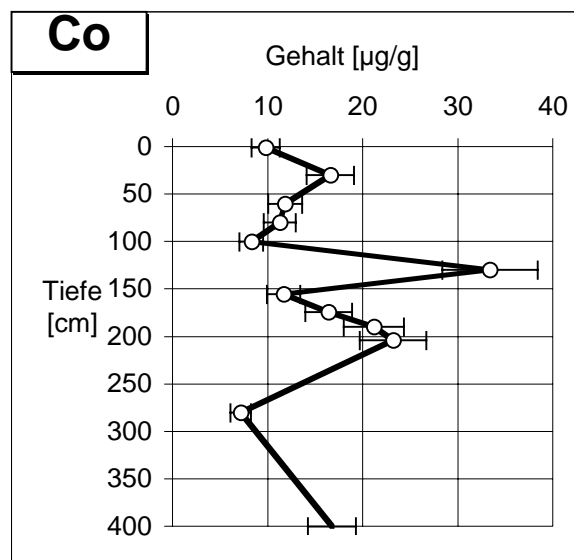
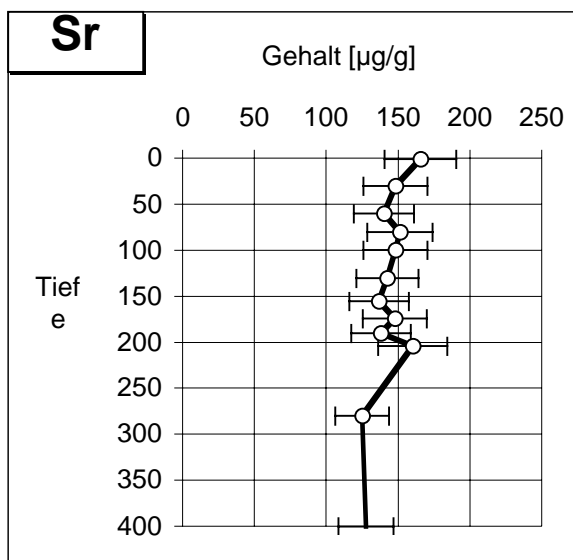
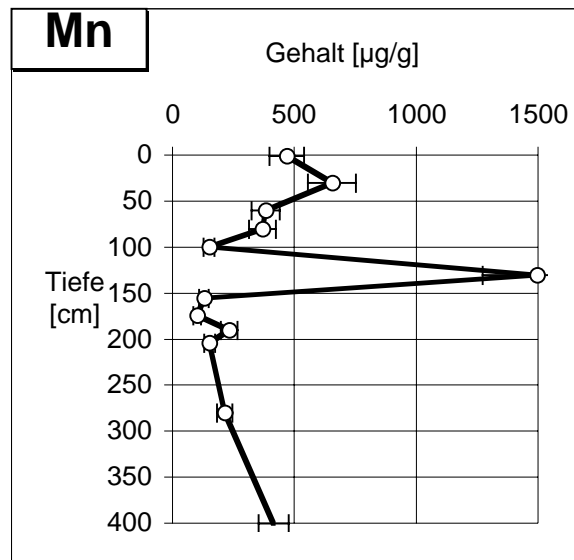
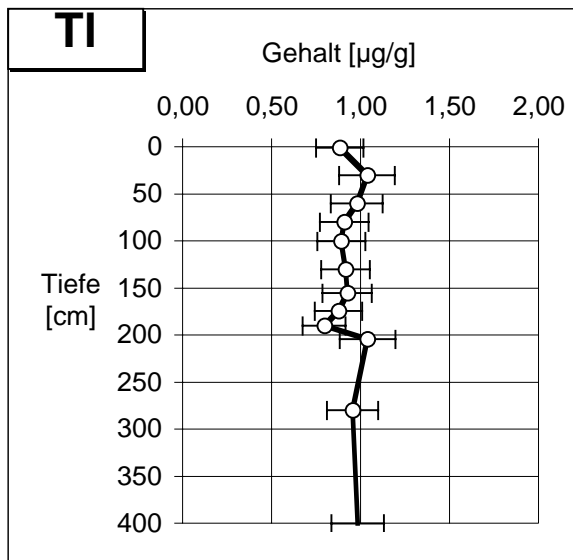
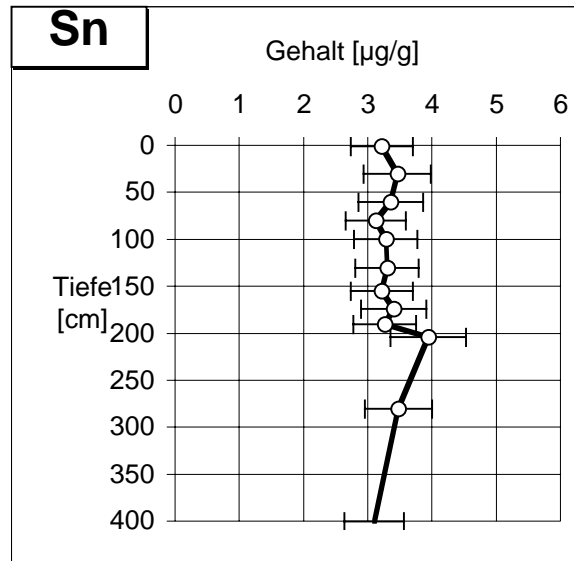
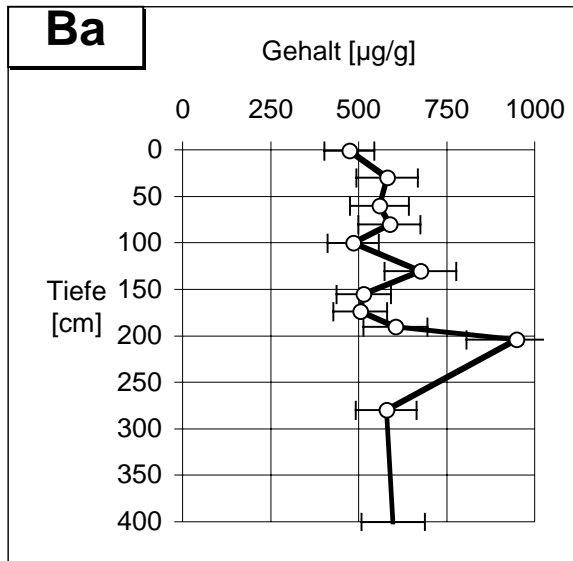
Kap. 9.1.2.3.2: Tangermünde, Auenkern 189, Elementtiefenprofile, Elementgruppe 2



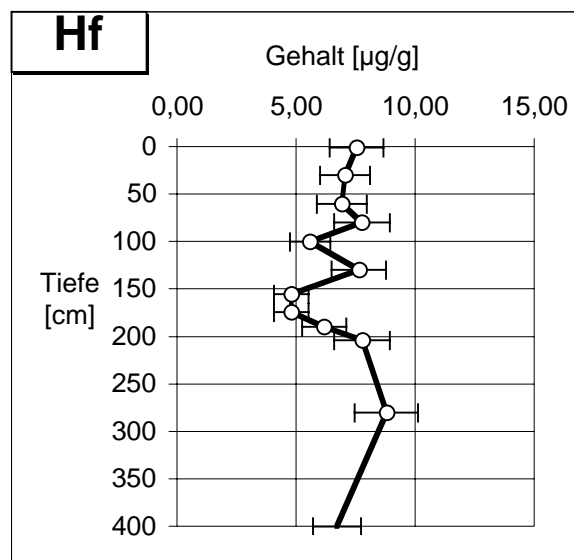
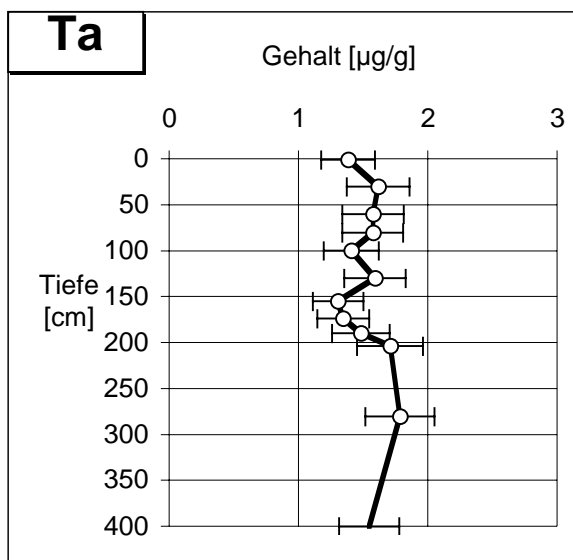
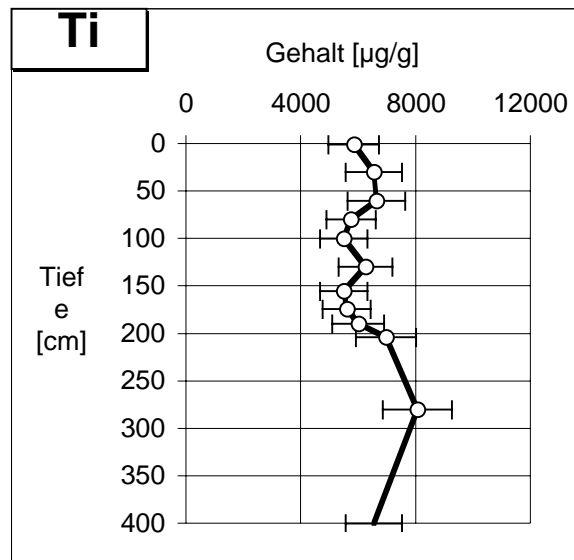
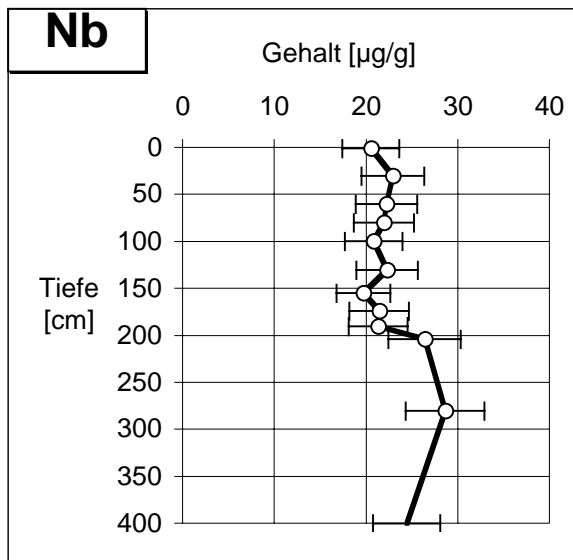
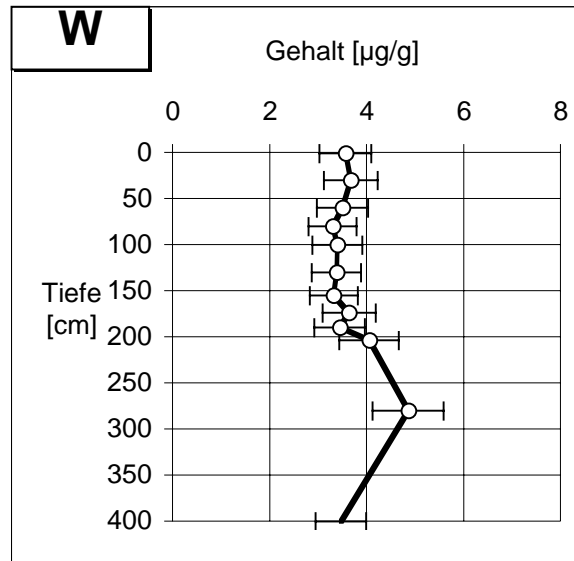
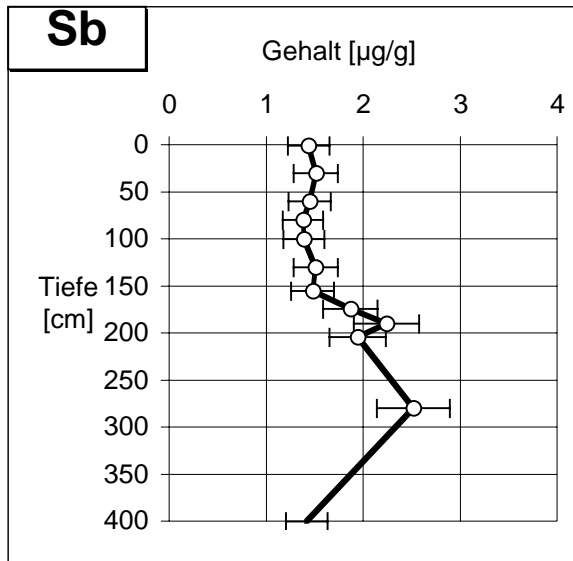


Kap. 9.1.2.3.2: Tangermünde, Auenkern 189, Elementtiefenprofile, Elementgruppe 3

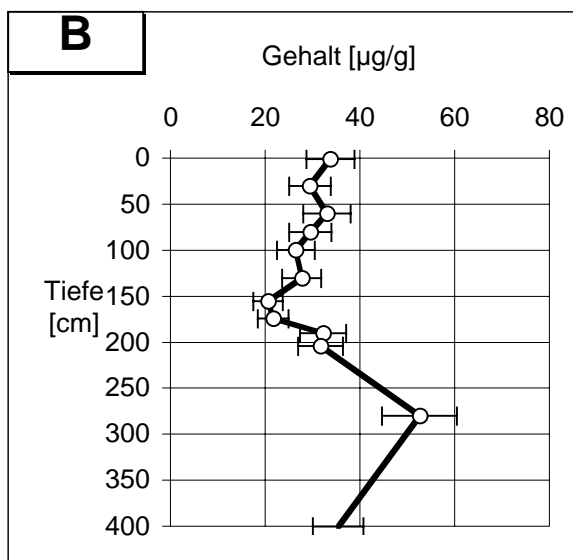
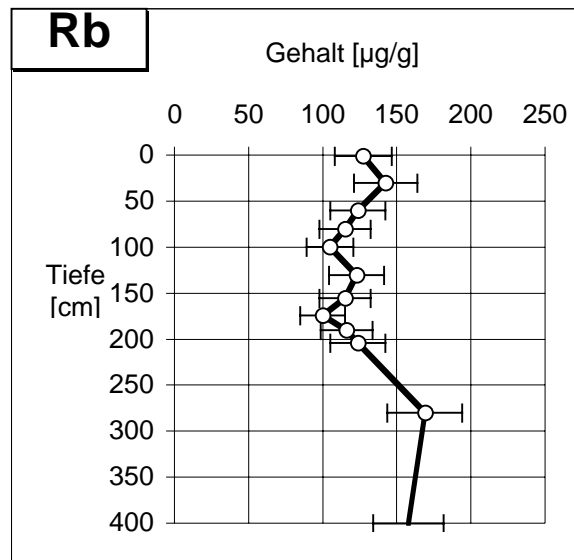
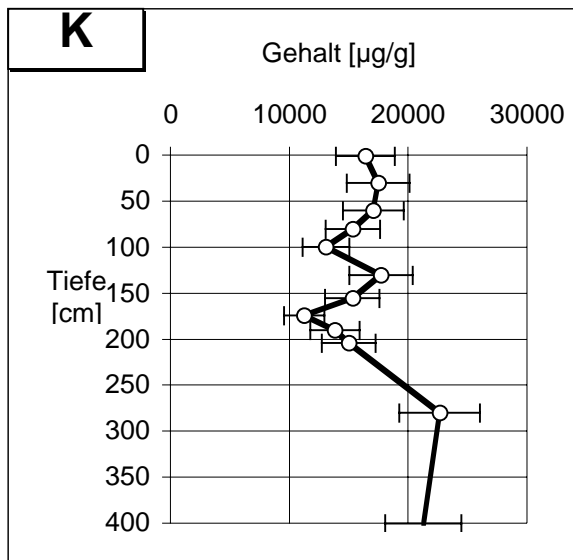
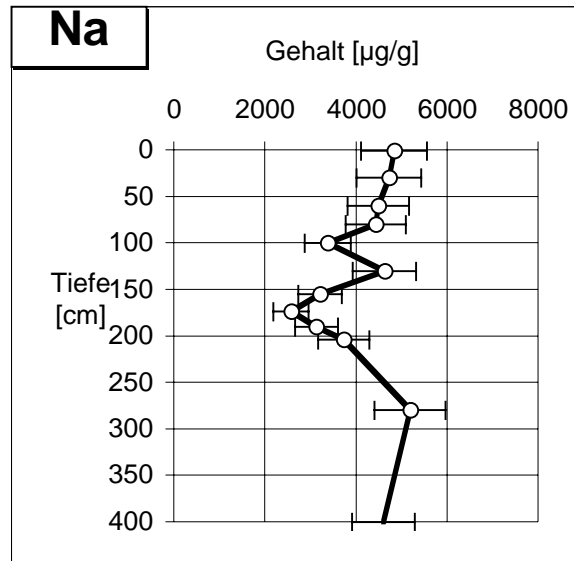
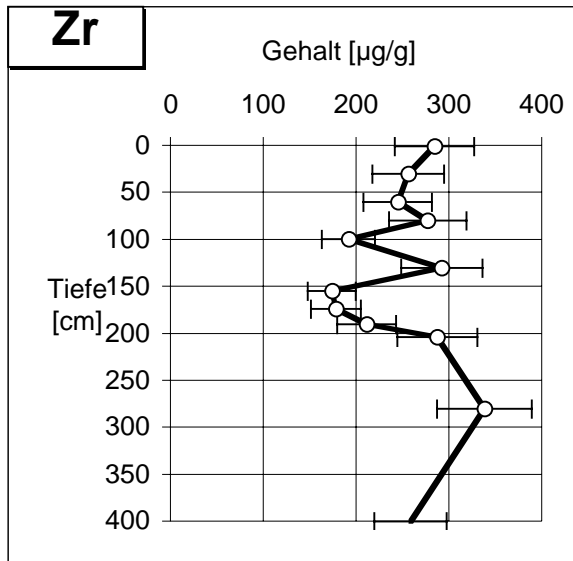




Kap. 9.1.2.3.2: Tangermünde, Auenkern 189, Elementtiefenprofile, Elementgruppe 4

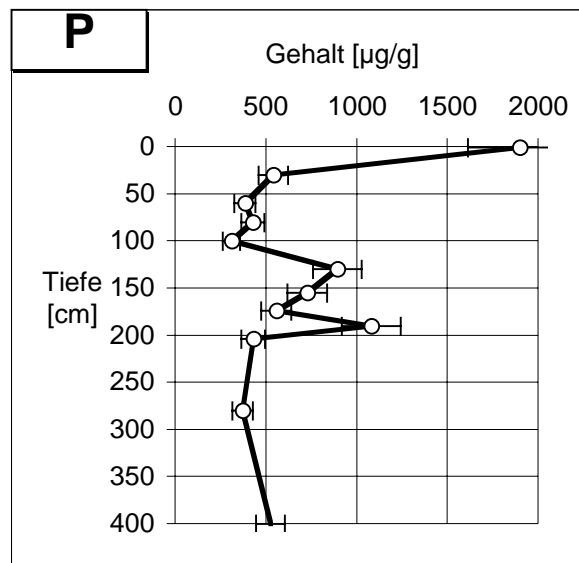
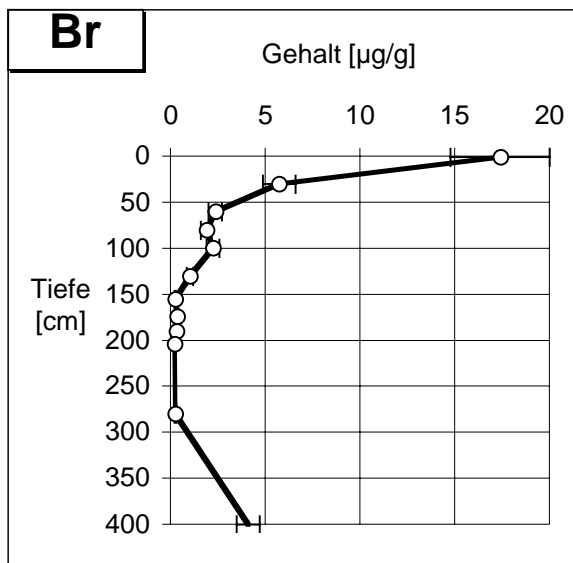
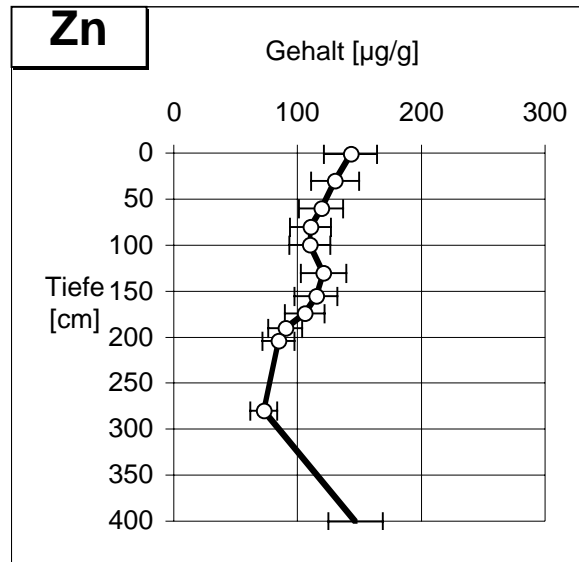
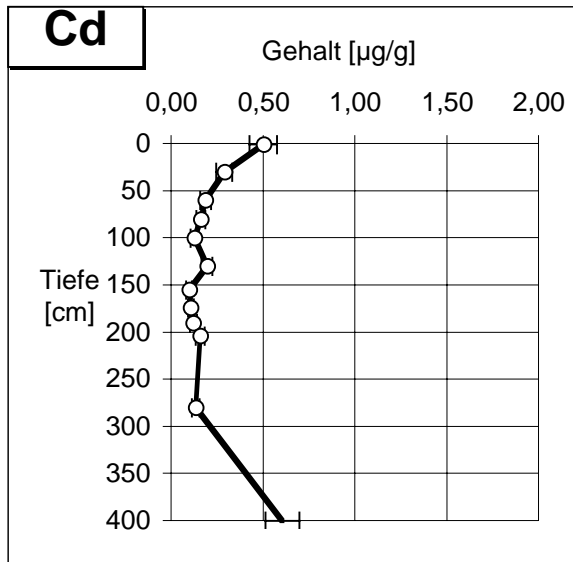
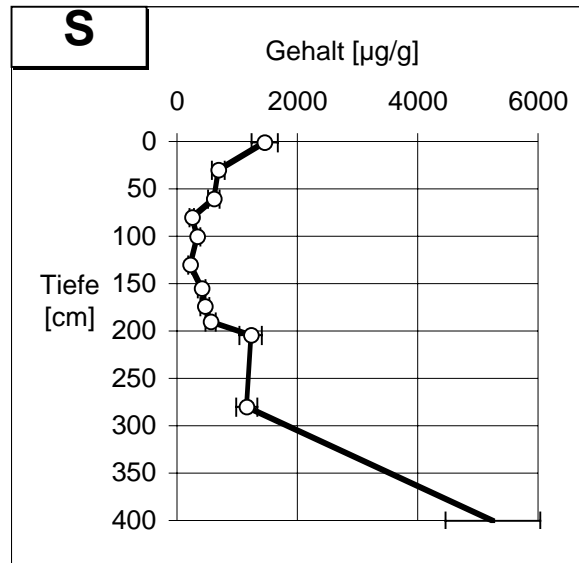
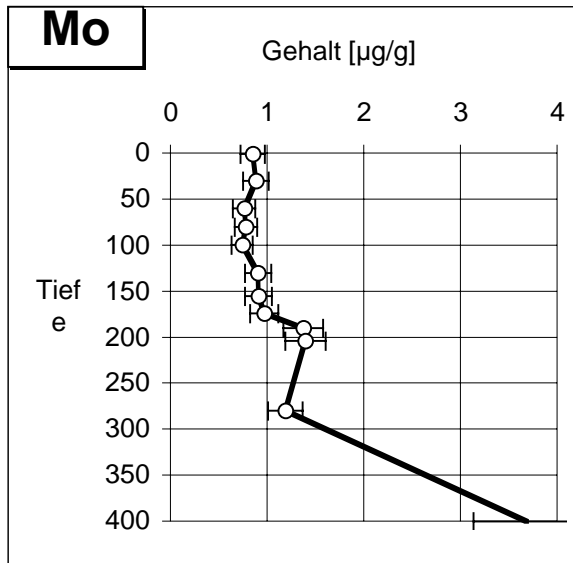


Kap. 9.1.2.3.2: Tangermünde, Auenkern 189, Elementtiefenprofile, Elementgruppe 5

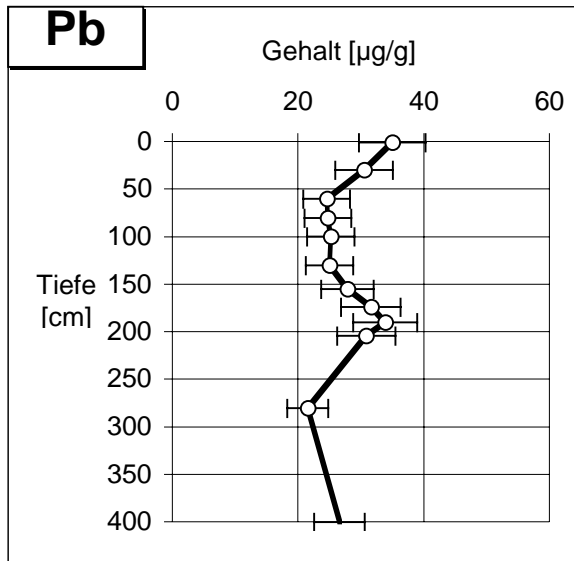


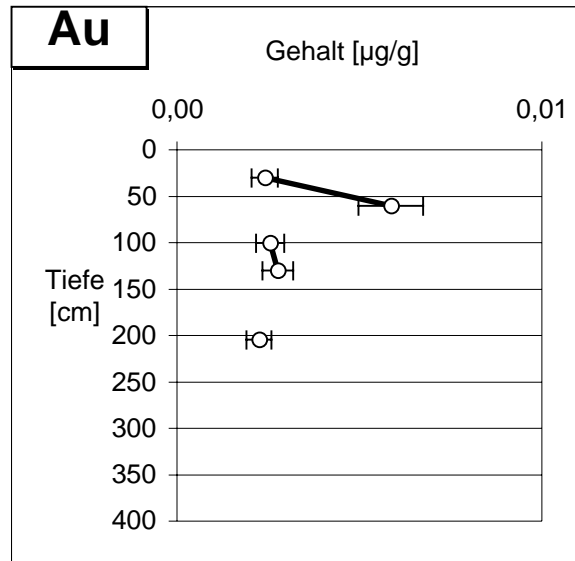
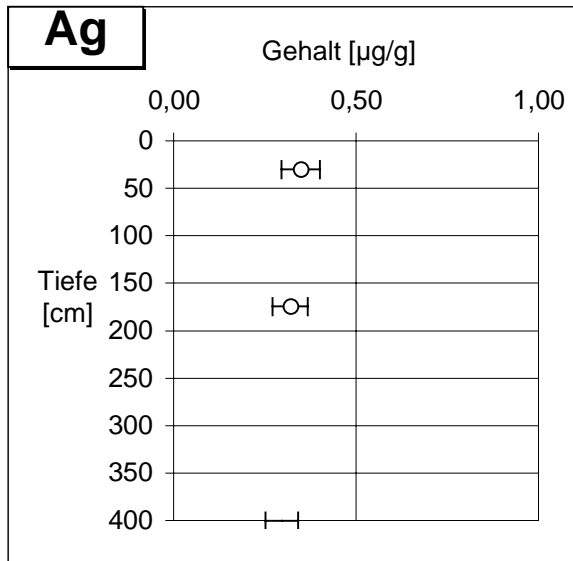
Kap. 9.1.2.3.2: Tangermünde, Auenkern 189, Elementtiefenprofile, Elementgruppe 5





Kap. 9.1.2.3.2: Tangermünde, Auenkern 189, Elementtiefenprofile, Elementgruppe 6





**9.1.3 Zusammenstellung regionaler und allgemeingültiger  
geogener Hintergrundwerte für die Elbe**

Tab. 9.1.3.1: Vergleich der regionalen geogenen Hintergrundwerte des Elbetals mit Angabe der jeweiligen Minima- und Maxima-Werte

Element	Hradec Králové			Roudnice			Tangermünde		
	Minima [mg/kg]	Maxima [mg/kg]	Durchschnitt [mg/kg]	Minima [mg/kg]	Maxima [mg/kg]	Durchschnitt [mg/kg]	Minima [mg/kg]	Maxima [mg/kg]	Durchschnitt [mg/kg]
Li	67	104	82	51	92	76	56	125	79
Be	3,0	5,0	4,0	3,8	5,0	4,2	2,1	4,5	3,7
B	77	118	94	24	88	52	19	53	28
Na	3800	7420	5660	4950	8740	6150	2580	5310	4620
Mg	9480	12500	11100	8280	14100	11000	5920	10300	8100
Al	76100	97900	87500	79600	110000	88700	67800	103000	89700
P	272	1120	625	149	1210	618	313	1520	694
S	174	2590	981	294	5700	474	225	1460	502
K	19800	31700	24600	18300	22800	20100	11300	22700	17300
Ca	3650	7790	6240	7620	11100	9410	5060	10400	7100
Sc	14	19	17	17	21	20	14	21	19
Ti	4250	6630	5700	5150	7110	5850	5360	8080	6190
V	105	146	125	115	155	132	101	168	137
Cr	98	125	110	109	134	124	94	136	117
Mn	247	2970	661	269	2280	927	102	2520	964
Fe	27900	54000	39300	36000	61700	52500	27700	83000	51200
Co	13	26	17	14	31	22	7,2	33	17
Ni	44	62	52	48	64	57	28	66	50
Cu	23	38	31	30	42	35	24	40	30
Zn	124	187	161	136	183	162	73	164	127
Ga	17	39	23	20	40	25	19	32	26
Ge	1,9	2,7	2,3	1,6	2,6	2,3	1,9	2,9	2,3
As	15	50	28	6	30	22	5,4	45	24
Br	1,0	12	4,1	0,7	17	3,8	0,2	8,8	2,9
Rb	145	195	170	132	177	153	100	239	137
Sr	101	154	122	92	145	125	125	190	150
Y	23	49	37	31	45	40	17	63	39
Zr	143	451	296	264	391	325	146	400	268
Nb	14	26	20	14	22	21	20	29	23
Mo	0,3	3,6	0,8	0,3	3,0	0,8	0,5	1,4	1,0
Ag	0,2	0,5	0,3	0,2	0,4	0,4	0,3	0,5	0,3
Cd	0,2	1,3	0,6	0,1	0,8	0,4	0,1	0,6	0,3
Sn	4,7	10	6,3	4,7	5,5	4,9	3,1	7,2	3,5
Sb	1,2	2,7	1,9	1,1	1,9	1,6	1,2	2,5	1,5
Cs	12	18	15	9	15	13	13	23	18
Ba	496	695	577	532	714	616	468	774	599
La	33	58	44	46	58	53	42	64	50
Ce	64	115	88	91	117	103	76	126	94
Pr	7,2	15	12	11	16	14	5,3	16	13
Nd	28	56	42	42	55	50	37	56	49
Sm	5,8	13	10	8,6	12,9	10,9	4,4	10	7,8
Eu	1,2	3	2,0	2,0	3	2	1,5	3,5	2,4
Gd	5,5	12	9,5	8,2	12,4	10,6	4	13	10
Tb	0,7	2	1,2	1,1	2	1,4	0,9	1,7	1,3
Dy	5,6	11	8,6	7,0	10,0	8,9	5,4	12	8,8
Ho	0,9	1,7	1,3	1,1	1,5	1,4	0,8	1,9	1,5
Er	3,2	6,4	4,9	3,2	5,8	5,0	2,7	6,0	4,7
Tm	0,4	0,7	0,6	0,4	0,6	0,5	0,3	0,9	0,6
Yb	2,9	5,8	4,4	3,7	5,5	4,8	3,4	6,2	4,7
Lu	0,4	0,7	0,6	0,5	0,6	0,6	0,4	0,9	0,6
Hf	4,0	12	7,9	7,2	10,4	8,8	4,3	11	7,3
Ta	1,1	2,1	1,5	1,2	1,6	1,4	1,3	1,8	1,6
W	2,9	5,3	3,8	2,5	3,5	3,3	3,3	4,9	3,7
Au	0,001	0,007	0,003	0,002	0,009	0,003	0,002	0,006	0,002
Tl	0,8	1,2	1,0	0,6	1,1	0,9	0,8	1,1	1,0
Pb	26	47	36	16	28	23	22	35	27
Bi	0,5	1,2	0,8	0,5	0,8	0,6	0,6	0,7	1,3
Th	11	18	14	11	17	14	9,4	19	16
U	4,4	7,6	5,8	3,5	8,3	5,8	4,3	14	7,8

Tab. 9.1.3.2: Geogene Hintergrundwerte (GHW): Minima- und Maxima-Werte im Vergleich zu regionalen GHW

	Geogene Hintergrundwerte (regional)			Geogene Hintergrundwerte der Elberegion (Elbe-GHW)				
	Hradec Králové.	Roudnice	Tangermünde	Elbe-GHW	Maximum	Minimum	Maximum	Minimum
	[mg/kg]	[mg/kg]	[mg/kg]	[mg/kg]	[mg/kg]	[mg/kg]	[prozent. Abweichung vom Elbe-GHW]	
Li	82	76	79	79	125	51	59	-36
Be	4,0	4,2	3,7	3,9	5,0	2,1	27	-46
B	94	52	28	58	118	19	104	-68
Na	5660	6150	4620	5470	8740	2580	60	-53
Mg	11100	11000	8100	10100	14100	5920	40	-41
Al	87500	88700	89700	88600	110000	67800	24	-23
P	625	618	694	646	1520	149	135	-77
S	981	474	502	652	5700	174	774	-73
K	24600	20100	17300	20700	31700	11300	53	-45
Ca	6240	9410	7100	7590	11100	3650	46	-52
Sc	17	20	19	19	21	14	14	-27
Ti	5700	5850	6190	5910	8080	4250	37	-28
V	125	132	137	131	168	101	28	-23
Cr	110	124	117	117	136	94	16	-20
Mn	661	927	964	851	2970	102	249	-88
Fe	39300	52500	51200	47600	83000	27700	74	-42
Co	17	22	17	19	33	7,2	78	-62
Ni	52	57	50	53	66	28	25	-47
Cu	31	35	30	32	42	23	32	-29
Zn	161	162	127	150	187	73	25	-51
Ga	23	25	26	25	40	17	61	-31
Ge	2,3	2,3	2,3	2,3	2,9	1,6	27	-29
As	28	22	24	24	50	5,4	107	-78
Br	4,1	3,8	2,9	3,6	17	0,2	357	-93
Rb	170	153	137	153	239	100	56	-34
Sr	122	125	150	132	190	92	44	-30
Y	37	40	39	38	63	17	65	-54
Zr	296	325	268	296	451	143	52	-52
Nb	20	21	23	21	29	14	35	-33
Mo	0,8	0,8	1,0	0,9	3,6	0,3	323	-69
Ag	0,3	0,4	0,3	0,3	0,5	0,2	56	-36
Cd	0,6	0,4	0,3	0,4	1,3	0,1	199	-83
Sn	6,3	4,9	3,5	4,9	9,5	3,1	94	-37
Sb	1,9	1,6	1,5	1,7	2,7	1,1	65	-32
Cs	15	13	18	15	23	8,7	53	-43
Ba	577	616	599	598	774	468	30	-22
La	44	53	50	49	64	33	30	-32
Ce	88	103	94	95	126	64	32	-32
Pr	12	14	13	13	16	5,3	24	-59
Nd	42	50	49	47	56	28	20	-39
Sm	10	11	7,8	9,5	13	4,4	35	-54
Eu	2,0	2,4	2,4	2,2	3,5	1,2	57	-45
Gd	9,5	11	9,7	9,9	13	4,4	36	-56
Tb	1,2	1,4	1,3	1,3	1,7	0,7	29	-43
Dy	8,6	8,9	8,8	8,8	12	5,4	31	-38
Ho	1,3	1,4	1,5	1,4	1,9	0,8	40	-46
Er	4,9	5,0	4,7	4,9	6,4	2,7	33	-45
Tm	0,6	0,5	0,6	0,6	0,9	0,3	52	-41
Yb	4,4	4,8	4,7	4,6	6,2	2,9	34	-36
Lu	0,6	0,6	0,6	0,6	0,9	0,4	45	-38
Hf	7,9	8,8	7,3	8,0	12	4,0	51	-50
Ta	1,5	1,4	1,6	1,5	2,1	1,1	37	-27
W	3,8	3,3	3,7	3,6	5,3	2,5	49	-31
Au	0,003	0,003	0,002	0,003	0,009	0,001	189	-52
Tl	1,0	0,9	1,0	1,0	1,2	0,6	24	-34
Pb	36	23	27	29	47	16	65	-45
Bi	0,8	0,6	0,7	0,7	1,3	0,5	87	-32
Th	14	14	16	15	19	9	30	-36
U	5,8	5,8	7,8	6,5	14	3,5	113	-46

Tab. 9.1.3.3: Prozentuale Abweichung der GHW von den Turekian Wedepohl-Werten

Vergleich der Elbehintergrundwerte mit den Turekian & Wedepohl-Werten (T&W)						
	T&W	Elbe-GHW	Hradec Králové	Roudnice	Tangermünde	Elberegion
	[mg/kg]	[mg/kg]	[%]	[%]	[%]	[%]
Li	66	79	25	15	20	20
Be	3	3,9	32	38	22	31
B	100	58	-6	-48	-72	-42
Na	9600	5470	-41	-36	-52	-43
Mg	15000	10100	-26	-26	-46	-33
Al	80000	88600	9	11	12	11
P	700	646	-11	-12	-1	-8
S	2400	652	-59	-80	-79	-73
K	26600	20700	-7	-24	-35	-22
Ca	22100	7590	-72	-57	-68	-66
Sc	13	19	31	51	50	44
Ti	4600	5910	24	27	35	29
V	130	131	-3	2	5	1
Cr	90	117	22	37	30	30
Mn	850	851	-22	9	13	0
Fe	47200	47600	-17	11	8	1
Co	19	19	-9	16	-10	-1
Ni	68	53	-23	-16	-26	-22
Cu	45	32	-30	-22	-34	-29
Zn	95	150	69	71	34	58
Ga	19	25	21	29	39	29
Ge	1,6	2,3	42	44	46	44
As	13	24	114	65	81	87
Br	4	3,6	1	-4	-27	-10
Rb	140	153	21	9	-2	9
Sr	300	132	-59	-58	-50	-56
Y	26	38	41	52	48	47
Zr	160	296	85	103	67	85
Nb	11	21	80	87	112	93
Mo	2,6	0,9	-69	-71	-61	-67
Ag	0,07	0,3	355	425	372	384
Cd	0,3	0,4	96	27	-5	39
Sn	6	4,9	4	-18	-41	-18
Sb	1,5	1,7	24	8	-1	10
Cs	5	15	199	162	250	204
Ba	580	598	0	6	3	3
La	49	49	-10	8	3	0
Ce	96	95	-8	8	-2	-1
Pr	5,6	13	116	153	124	131
Nd	24	47	75	107	103	95
Sm	6	9,5	63	82	31	59
Eu	1	2,2	95	142	138	125
Gd	6,4	9,9	48	65	51	55
Tb	1	1,3	20	36	34	30
Dy	4,6	8,8	87	93	91	90
Ho	1,2	1,4	12	13	21	16
Er	2,5	4,9	95	102	86	94
Tm	0,2	0,6	185	169	203	186
Yb	2,5	4,6	76	92	87	85
Lu	0,7	0,6	-15	-18	-10	-14
Hf	2,8	8,0	182	213	160	185
Ta	0,8	1,5	87	76	98	87
W	1,8	3,6	111	82	104	99
Tl	1,4	1,0	-29	-35	-30	-32
Pb	20	29	82	13	35	43
Th	12	15	20	19	31	23
U	3,7	6,5	58	56	110	75

Abweichung ±30% vom T&W
Abweichung > -30% vom T&W
Abweichung > +30% vom T&W

**Tab. 9.1.3.4:** Einordnung der neuen geogenen Hintergrundwerte des Elbestroms (GHW Elbe) in das Klassifizierungssystem der ARGE-ELBE (vgl. Tab. 5.5.1)

Metall	GHW* ARGE	GHW ELBE	I	I-II	II (ZV**)	II-III	III	III-IV	IV
	[ g/g]	[ g/g]	[ g/g]	[ g/g]	[ g/g]	[ g/g]	[ g/g]	[ g/g]	[ g/g]
<b>Hg</b>	0,2-0,4	< <b>0,3</b>	GHW	<0,5	<0,8	<5	<10	25	>25
<b>Cd</b>	0,2-0,4	<b>0,4</b>	GHW	<0,5	<1,2	<5	<10	25	>25
<b>Pb</b>	25-30	<b>29</b>	GHW	<50	<100	<150	<250	500	>500
<b>Cu</b>	20-30	<b>32</b>	GHW	<40	<60	<150	<250	500	>500
<b>Zn</b>	90-110	<b>150</b>	GHW	<150	<200	<500	<1000	2000	>2000
<b>Cr</b>	60-80	<b>117</b>	GHW	<90	<100	<150	<250	500	>500
<b>Ni</b>	10-30	<b>53</b>	GHW	<40	<50	<150	<250	500	>500
<b>As</b>	3-5	<b>24</b>	GHW	<10	<20	<40	<70	100	>100

\*GHW: Geogener Hintergrundwert; \*\*Zielvorgabe; grau gekennzeichnet sind die Felder, in denen die neu ermittelten geogenen Hintergrundwerte des Elbestroms liegen



Tab. 9.1.3.5: Klassifizierungssystem mit neuen Hintergrundwerten

Element	I	I - II	II	II - III	III	III - IV	IV
	Elbe-GHW	Elbe-GHW	(ZV**)				
	Maximalgehalt						
	[mg/kg]	[mg/kg]	[mg/kg]	[mg/kg]	[mg/kg]	[mg/kg]	[mg/kg]
Li	79	≤ 125	≤ 316	≤ 632	≤ 1260	≤ 2530	≥ 2530
Be	3,9	≤ 5,0	≤ 16	≤ 31	≤ 63	≤ 126	≥ 126
B	58	≤ 118	≤ 233	≤ 465	≤ 930	≤ 1860	≥ 1860
Na	5470	≤ 8740	≤ 21880	≤ 43800	≤ 87500	≤ 175000	≥ 175000
Mg	10100	≤ 14100	≤ 40400	≤ 80800	≤ 162000	≤ 323000	≥ 323000
Al	88600	≤ 110000	≤ 354000	≤ 709000			
P	646	≤ 1520	≤ 258	≤ 5170	≤ 10300	≤ 20700	≥ 20700
S	652	≤ 5700	≤ 2610	≤ 5220	≤ 10400	≤ 20900	≥ 20900
K	20700	≤ 31700	≤ 82800	≤ 166000	≤ 331000	≤ 662000	≥ 662000
Ca	7590	≤ 11100	≤ 30400	≤ 60700	≤ 121000	≤ 243000	≥ 243000
Sc	19	≤ 21	≤ 75	≤ 149	≤ 299	≤ 598	≥ 598
Ti	5910	≤ 8080	≤ 23600	≤ 47300	≤ 94600	≤ 189000	≥ 189000
V	131	≤ 168	≤ 526	≤ 1052	≤ 2100	≤ 4210	≥ 4210
Cr	117	≤ 136	≤ 467	≤ 934	≤ 1870	≤ 3740	≥ 3700
Mn	851	≤ 2970	≤ 3402	≤ 6810	≤ 13600	≤ 27200	≥ 27200
Fe	47600	≤ 83000	≤ 190000	≤ 389000	≤ 760000		
Co	19	≤ 33	≤ 75	≤ 150	≤ 301	≤ 601	≥ 601
Ni	53	≤ 66	≤ 212	≤ 425	≤ 849	≤ 1700	≥ 1670
Cu	32	≤ 42	≤ 129	≤ 257	≤ 514	≤ 1030	≥ 1030
Zn	150	≤ 187	≤ 600	≤ 1200	≤ 2400	≤ 4800	≥ 4800
Ga	25	≤ 40	≤ 98	≤ 197	≤ 394	≤ 787	≥ 787
Ge	2,3	≤ 2,9	≤ 9	≤ 18	≤ 37	≤ 74	≥ 74
As	24	≤ 50	≤ 97	≤ 194	≤ 389	≤ 778	≥ 778
Br	3,6	≤ 17	≤ 14	≤ 29	≤ 58	≤ 116	≥ 116
Rb	153	≤ 239	≤ 612	≤ 1220	≤ 2450	≤ 4900	≥ 4900
Sr	132	≤ 190	≤ 529	≤ 1060	≤ 2120	≤ 4200	≥ 4200
Y	38	≤ 63	≤ 153	≤ 306	≤ 612	≤ 1200	≥ 1220
Zr	296	≤ 451	≤ 1190	≤ 2370	≤ 4740	≤ 9500	≥ 9500
Nb	21	≤ 29	≤ 85	≤ 170	≤ 339	≤ 679	≥ 679
Mo	0,9	≤ 3,6	≤ 3	≤ 7	≤ 14	≤ 27	≥ 27
Ag	0,3	≤ 0,5	≤ 1	≤ 3	≤ 5	≤ 11	≥ 11
Cd	0,4	≤ 1,3	≤ 2	≤ 3	≤ 7	≤ 13	≥ 13
Sn	4,9	≤ 9,5	≤ 20	≤ 39	≤ 78	≤ 157	≥ 157
Sb	1,7	≤ 2,7	≤ 7	≤ 13	≤ 26	≤ 53	≥ 53
Cs	15	≤ 23	≤ 61	≤ 122	≤ 243	≤ 486	≥ 486
Ba	598	≤ 774	≤ 2390	≤ 4780	≤ 9560	≤ 19100	≥ 19100
La	49	≤ 64	≤ 196	≤ 392	≤ 785	≤ 1570	≥ 1570
Ce	95	≤ 126	≤ 380	≤ 761	≤ 1520	≤ 3040	≥ 3040
Pr	13	≤ 16	≤ 52	≤ 103	≤ 207	≤ 413	≥ 413
Nd	47	≤ 56	≤ 187	≤ 374	≤ 749	≤ 1500	≥ 1500
Sm	9,5	≤ 13	≤ 38	≤ 76	≤ 152	≤ 305	≥ 305
Eu	2,2	≤ 3,5	≤ 9	≤ 18	≤ 36	≤ 72	≥ 72
Gd	9,9	≤ 13	≤ 40	≤ 79	≤ 159	≤ 317	≥ 317
Tb	1,3	≤ 1,7	≤ 5	≤ 10	≤ 21	≤ 42	≥ 42
Dy	8,8	≤ 12	≤ 35	≤ 70	≤ 140	≤ 280	≥ 280
Ho	1,4	≤ 1,9	≤ 6	≤ 11	≤ 22	≤ 44	≥ 44
Er	4,9	≤ 6,4	≤ 19	≤ 39	≤ 78	≤ 156	≥ 156
Tm	0,6	≤ 0,9	≤ 2	≤ 5	≤ 9	≤ 18	≥ 18
Yb	4,6	≤ 6,2	≤ 18	≤ 37	≤ 74	≤ 148	≥ 148
Lu	0,6	≤ 0,9	≤ 2	≤ 5	≤ 10	≤ 19	≥ 19
Hf	8,0	≤ 12	≤ 32	≤ 64	≤ 128	≤ 255	≥ 255
Ta	1,5	≤ 2,1	≤ 6	≤ 12	≤ 24	≤ 48	≥ 48
W	3,6	≤ 5,3	≤ 14	≤ 29	≤ 57	≤ 115	≥ 115
Hg	< 0,3	≤ 0,3	≤ 1,2	≤ 2,4	≤ 4,8	≤ 9,6	≥ 10,0
Tl	1,0	≤ 1,2	≤ 4	≤ 8	≤ 15	≤ 31	≥ 31
Pb	29	≤ 47	≤ 115	≤ 229	≤ 459	≤ 918	≥ 918
Th	15	≤ 19	≤ 59	≤ 118	≤ 236	≤ 473	≥ 473
U	6,5	≤ 14	≤ 26	≤ 52	≤ 103	≤ 207	≥ 207
Geogene Hintergrundwerte des Elbestroms							
Zielvorgaben							
Metalle des ARGE-Elbe-Klassifizierungssystems							

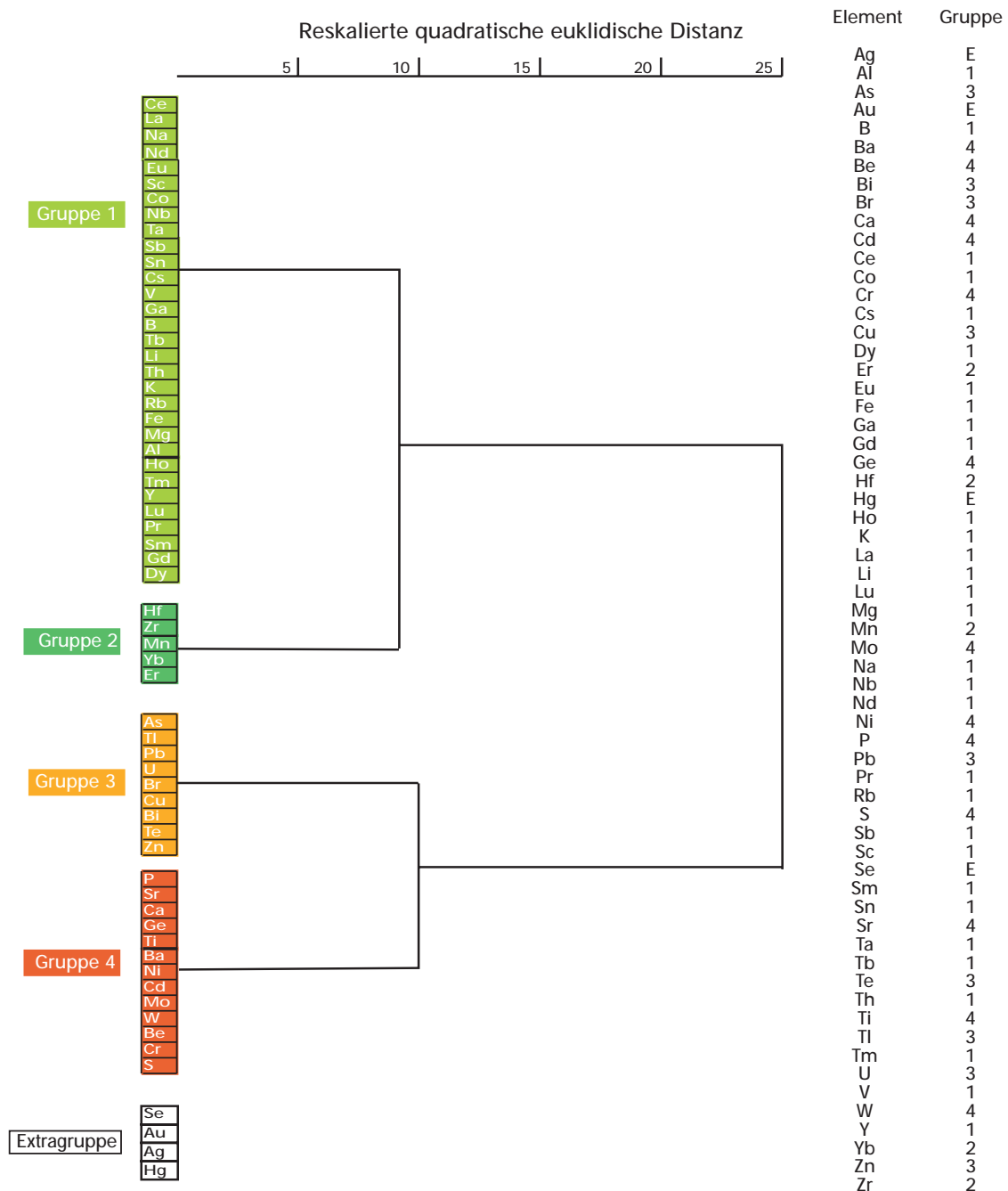
## 9.2 Anhang Teil II:

### Zeitliche Belastungsentwicklung verschiedener Elbabschnitte

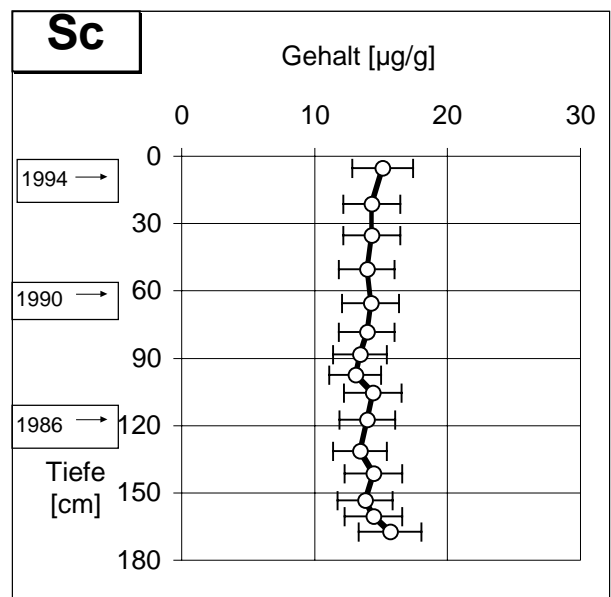
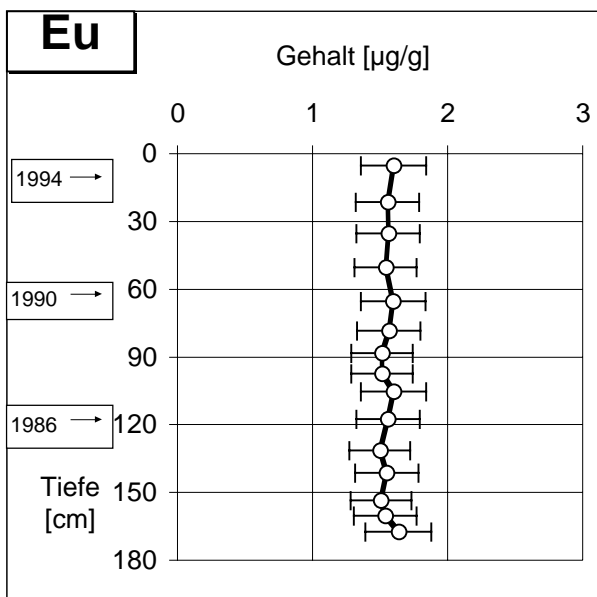
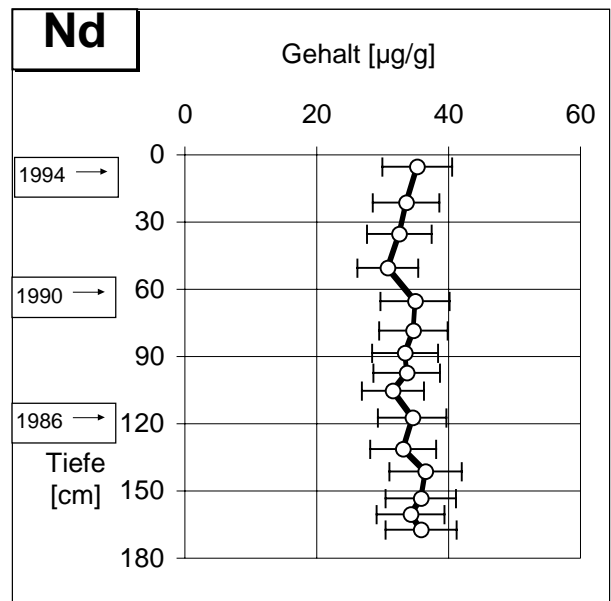
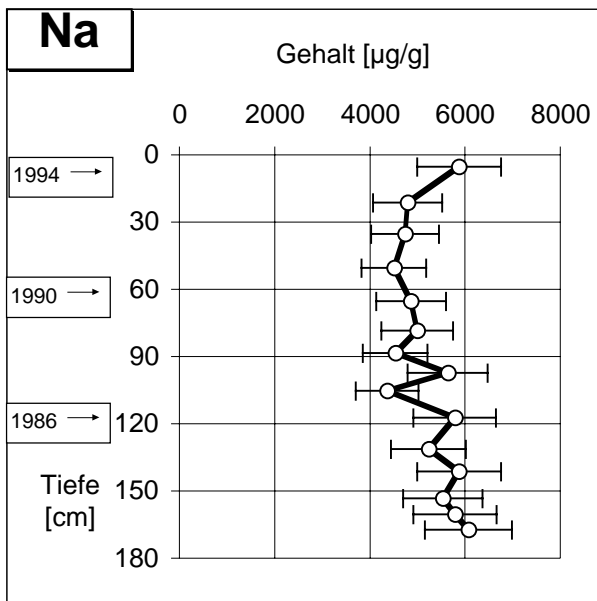
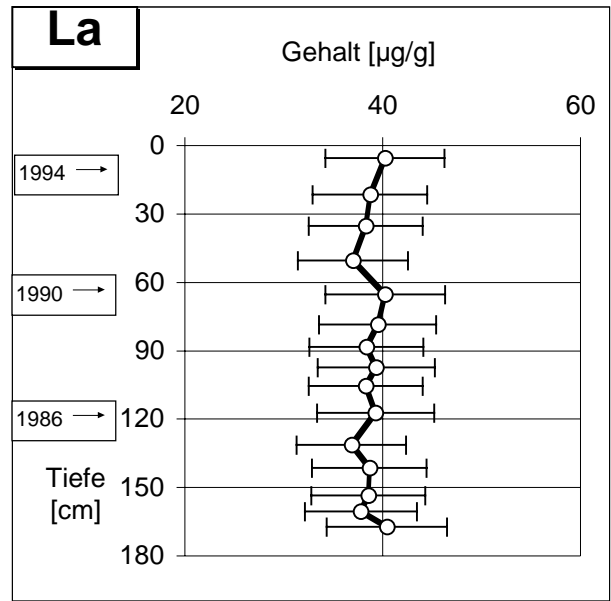
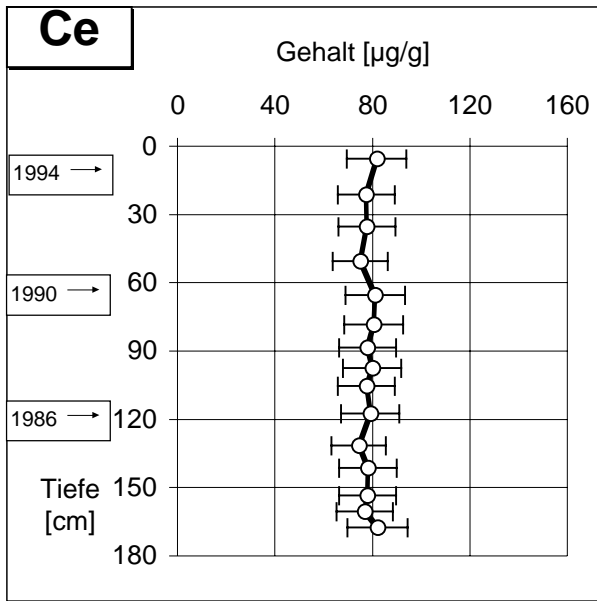
- graphische Darstellung der Tiefenprofile ( Unterwassersedimente)

#### 9.2.1 Gruppierungen der Elemente und Tiefenprofile

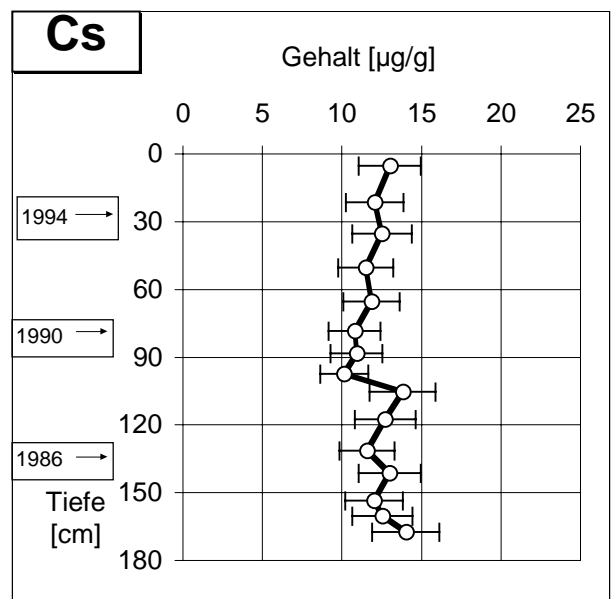
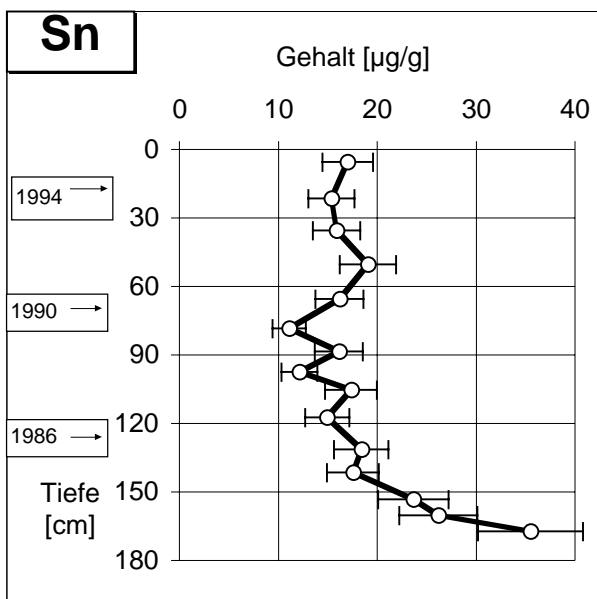
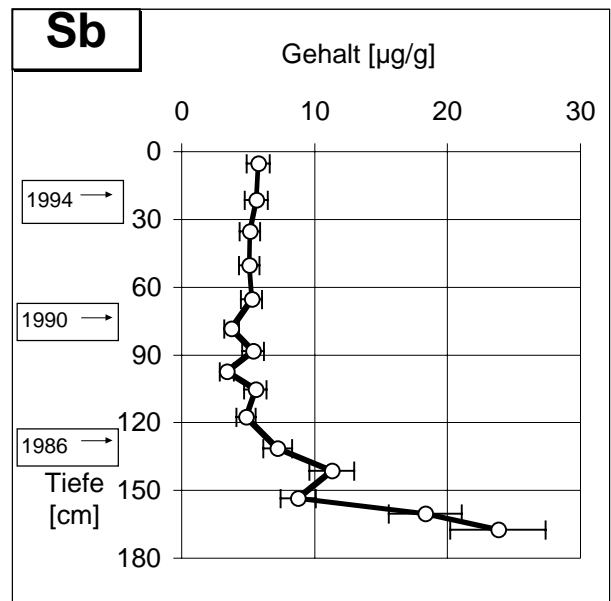
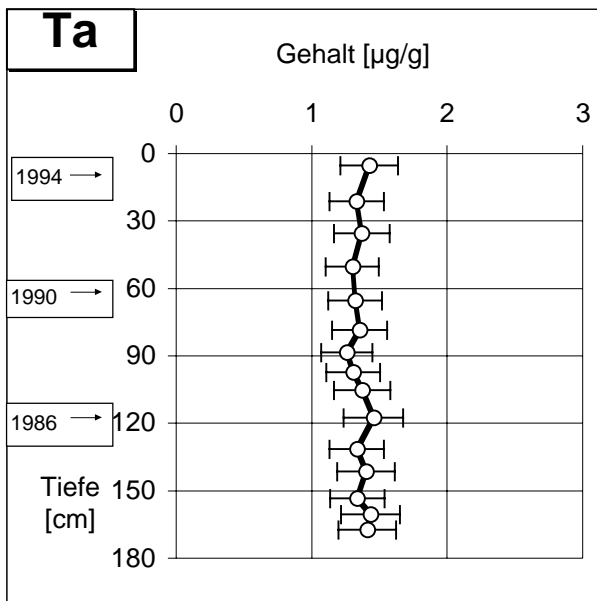
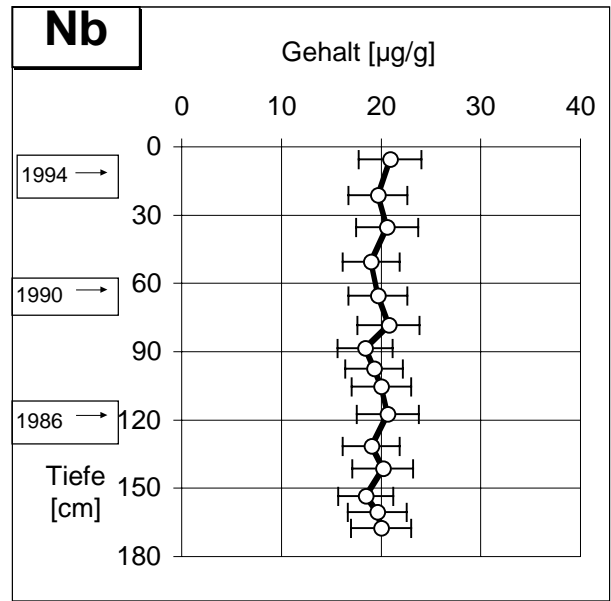
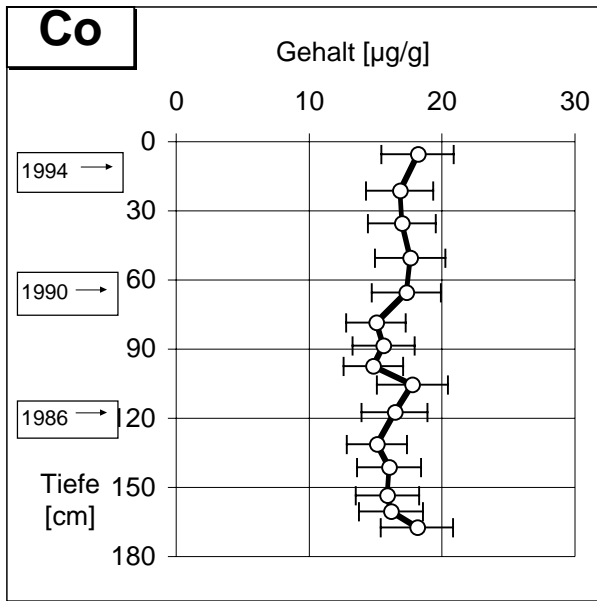
##### 9.2.1.1 Einflußbereich des Riesengebirges ("Jessipek" bei Hradec Králové)



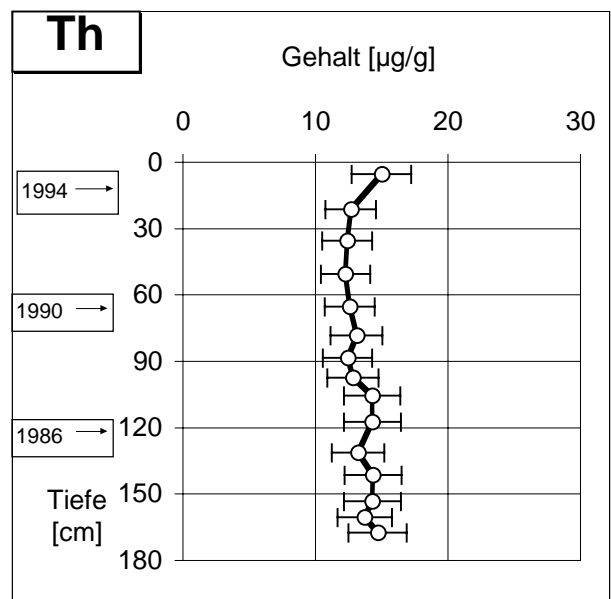
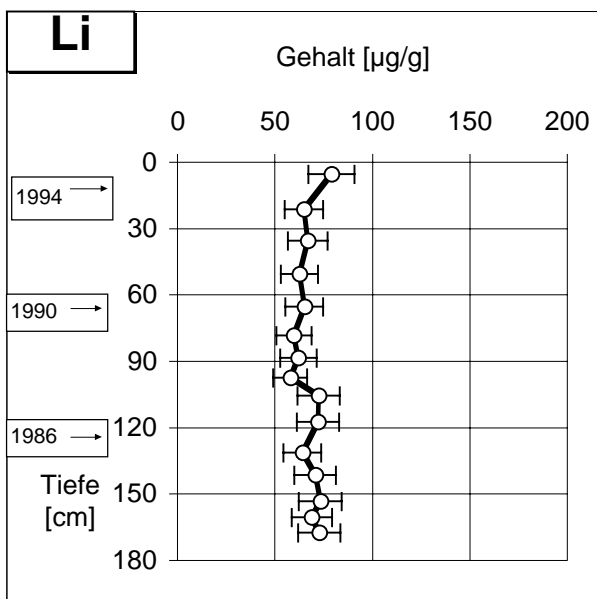
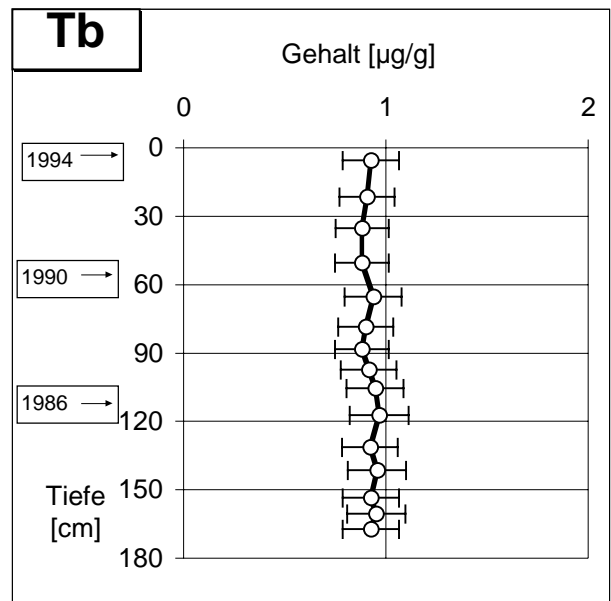
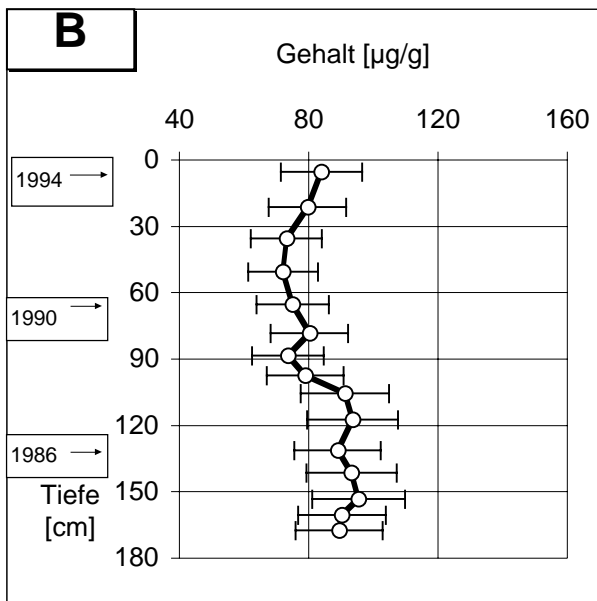
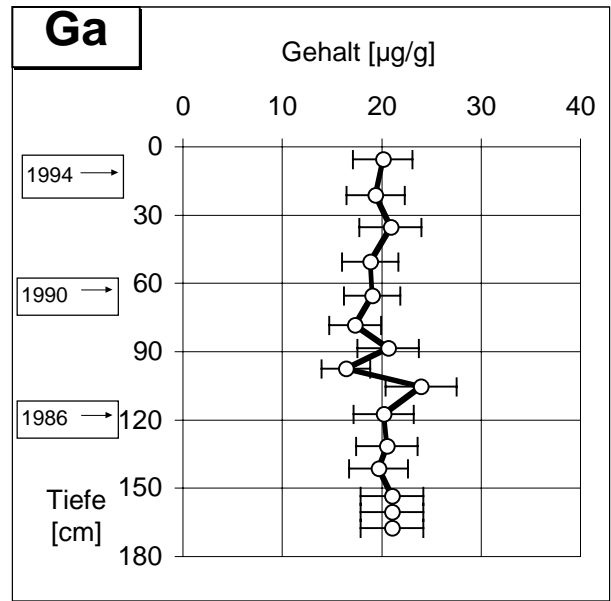
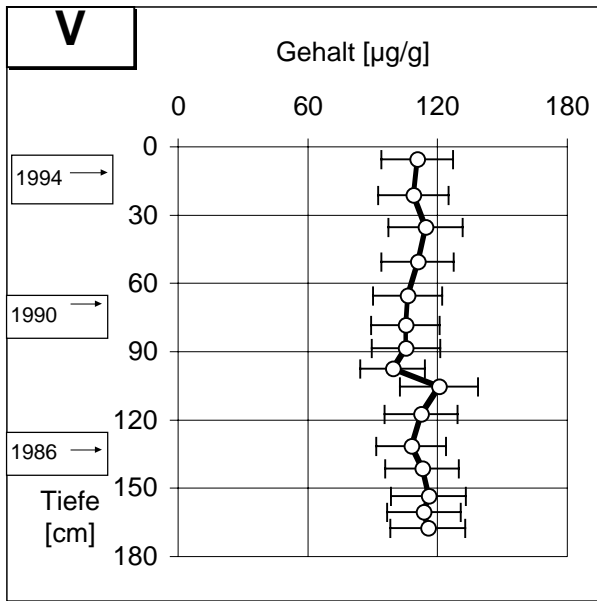
**Abb. 9.2.1.1:** Dendrogramm der Elemente vom Unterwasserkern "Jessipek" bei Hradec Králové mit Extragruppe Se, Au, Ag, Hg (vgl. Abb. 5.1.3)



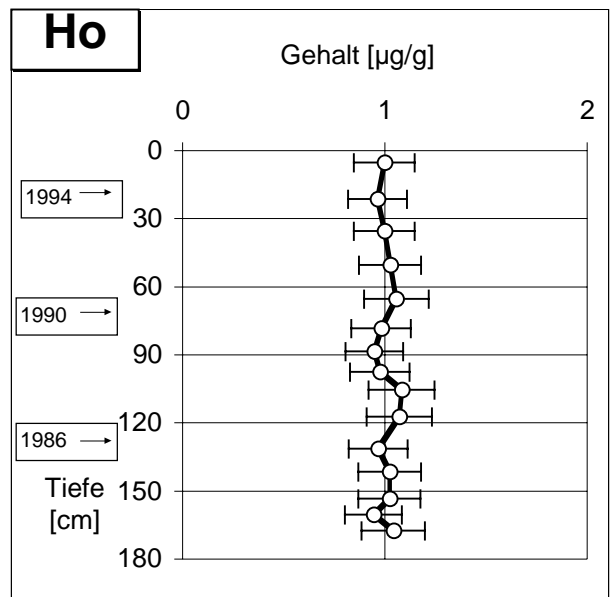
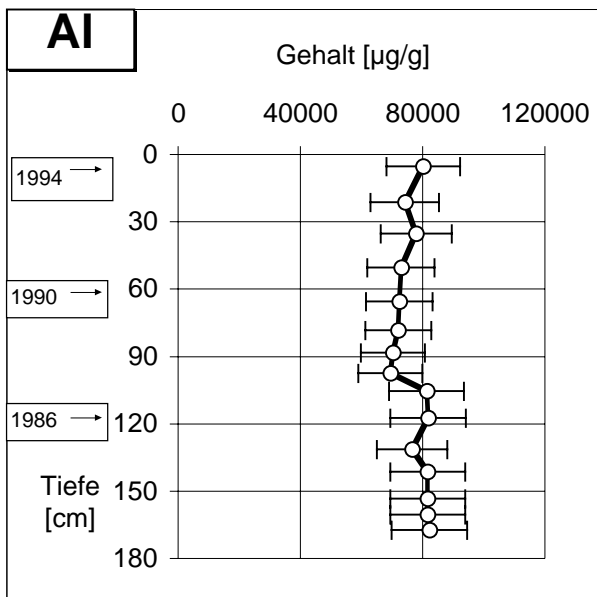
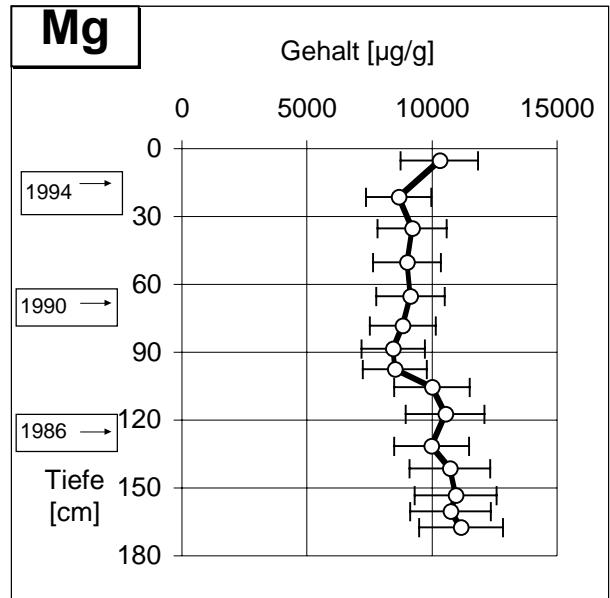
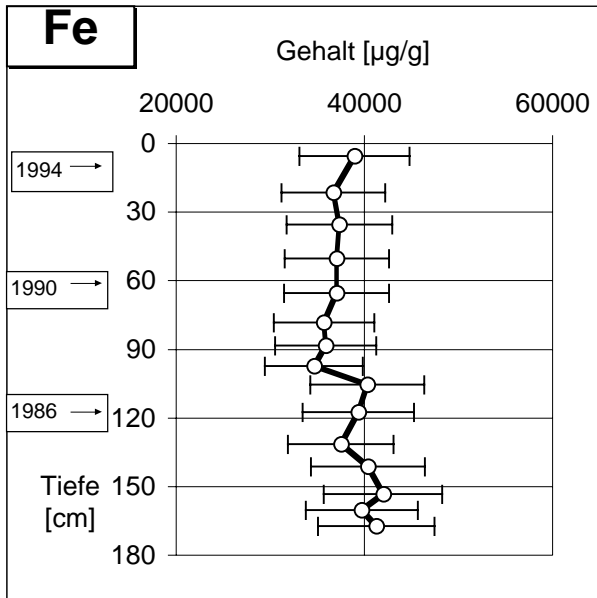
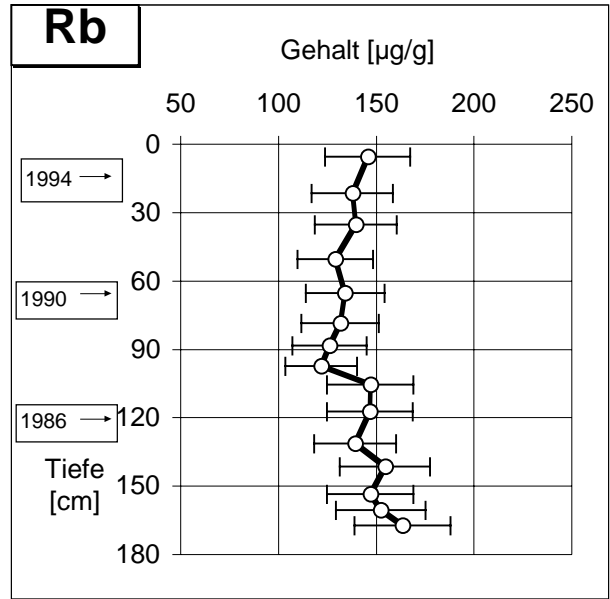
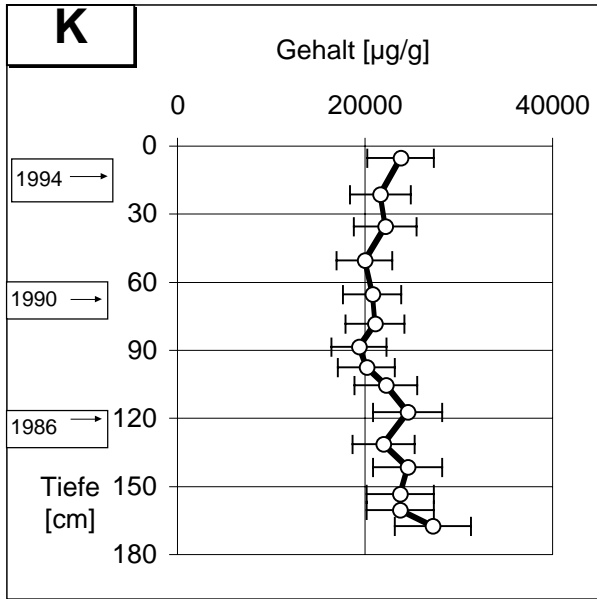
Kap. 9.2.1.1: "Jessipek" bei Hradec Králové, Unterwasserkern, Elementiefenprofile, Elementgruppe 1



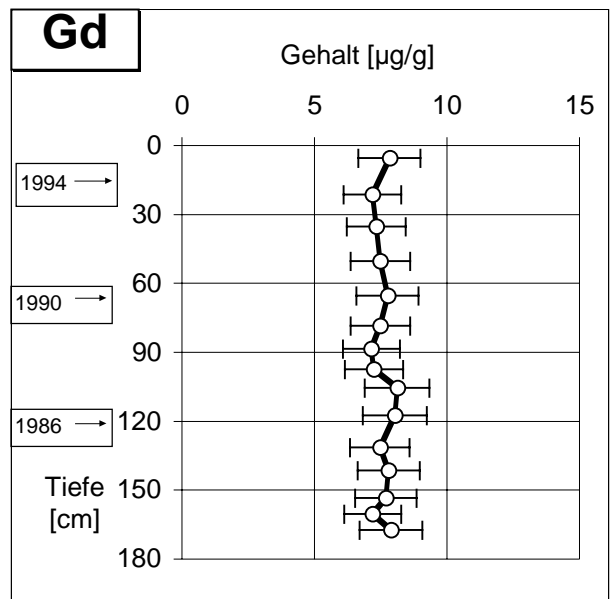
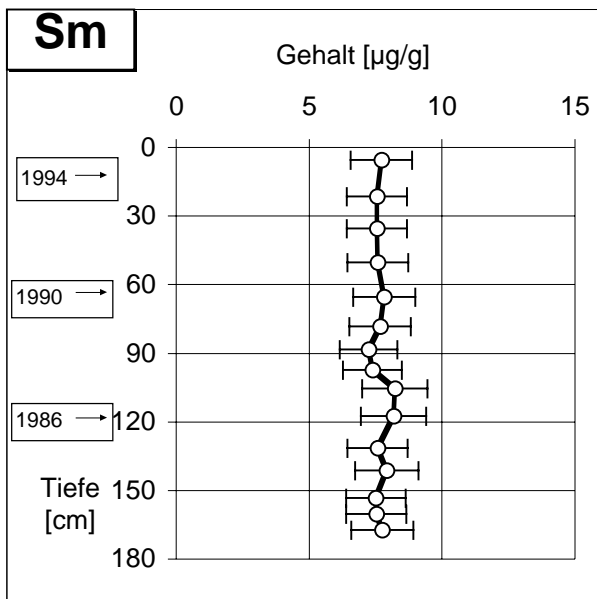
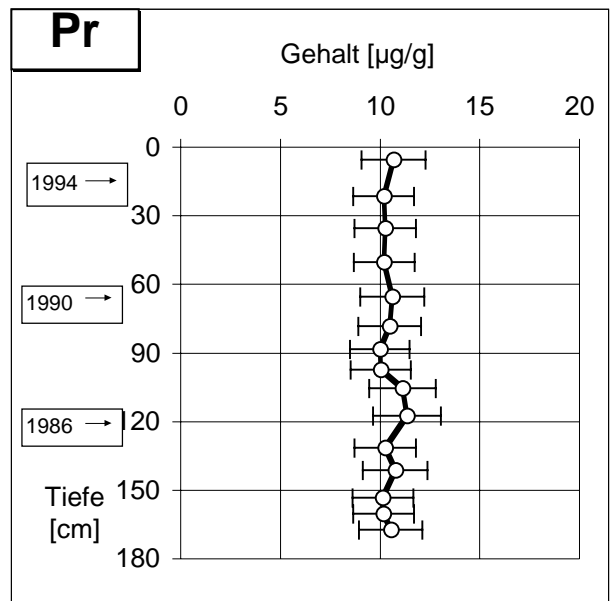
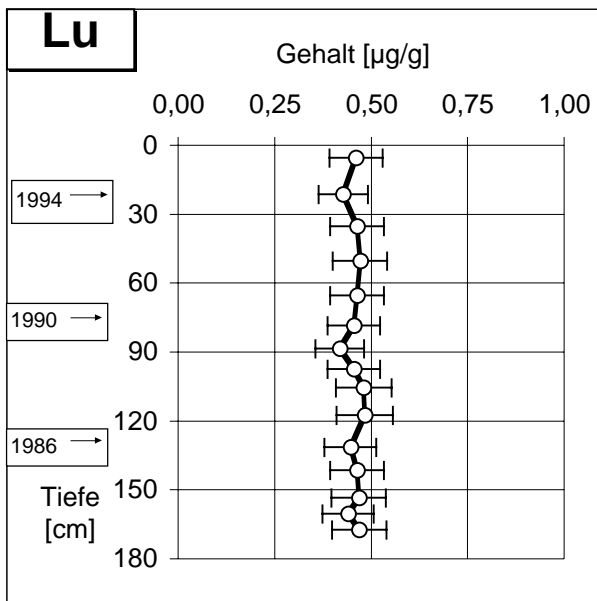
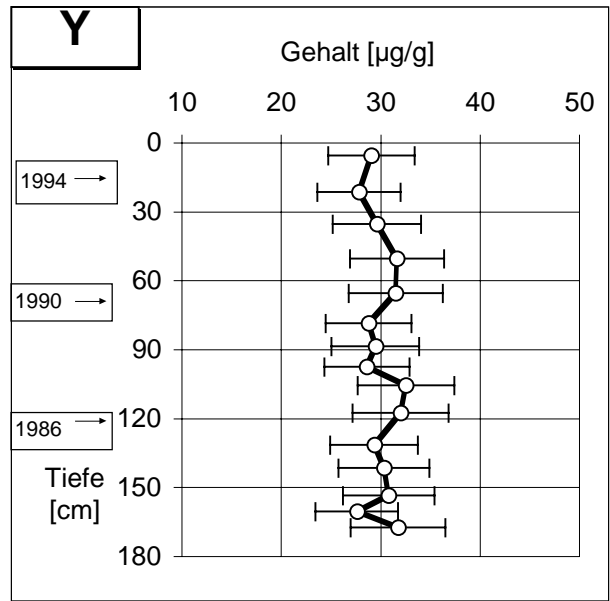
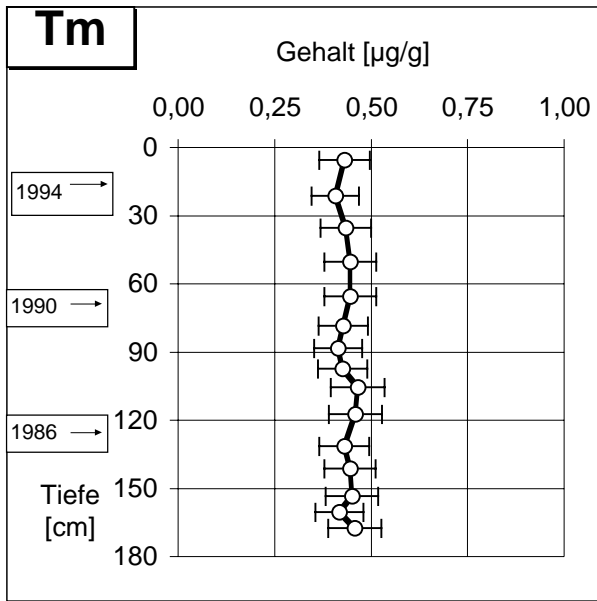
Kap. 9.2.1.1: "Jessipek" bei Hradec Králové, Unterwasserkern, Elementiefenprofile, Elementgruppe 1



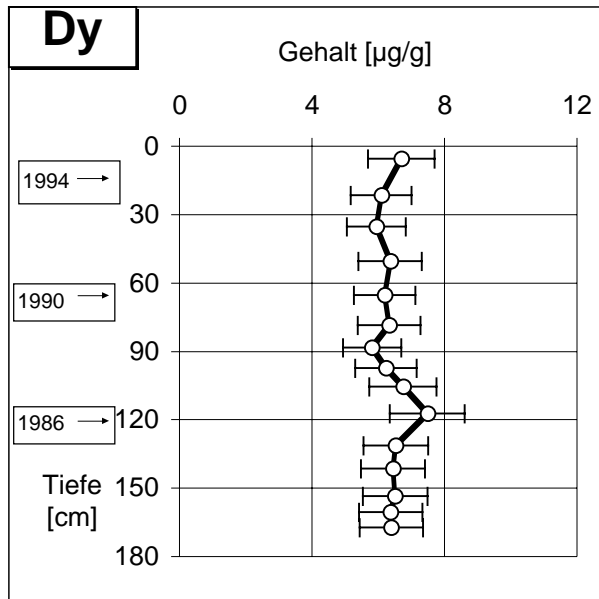
Kap. 9.2.1.1: "Jessipek" bei Hradec Králové, Unterwasserkern, Elementiefenprofile, Elementgruppe 1



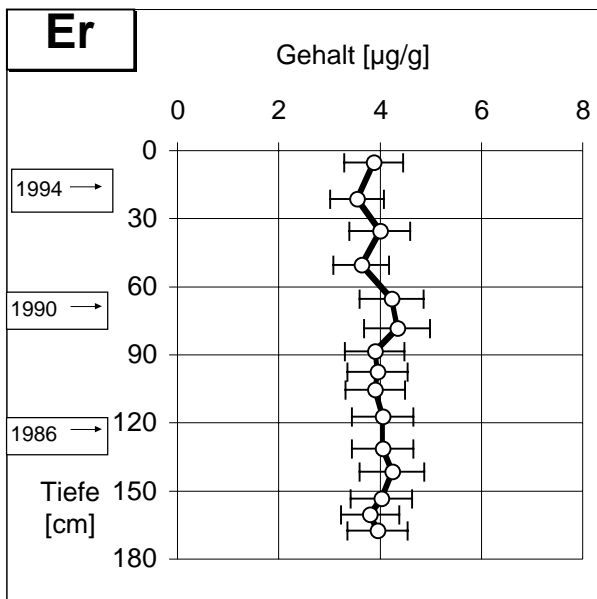
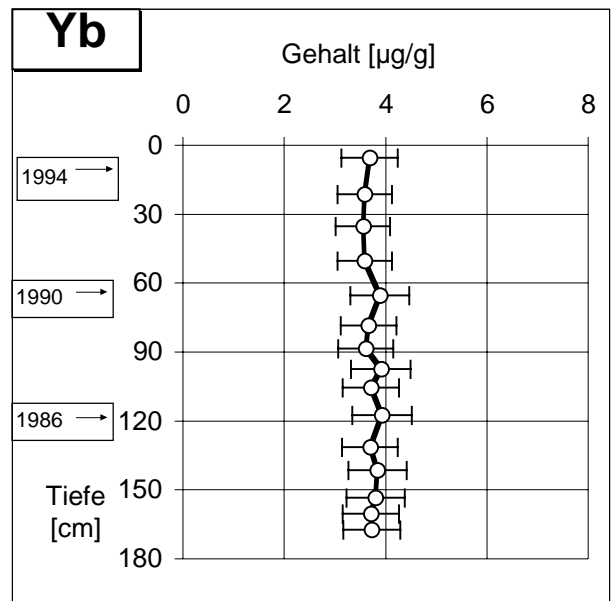
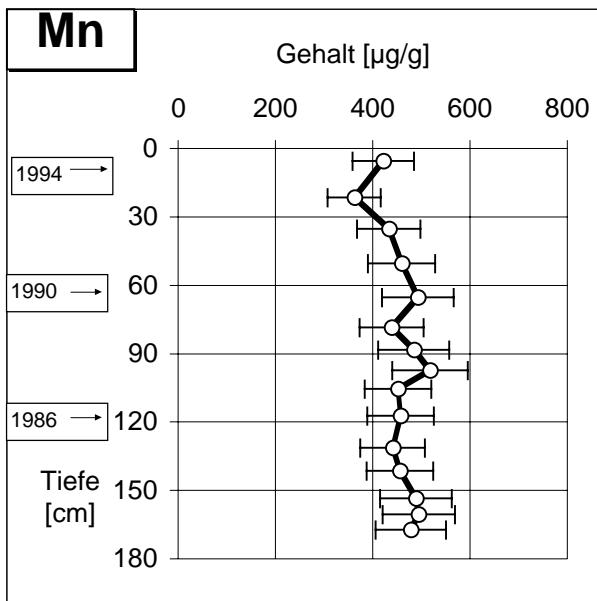
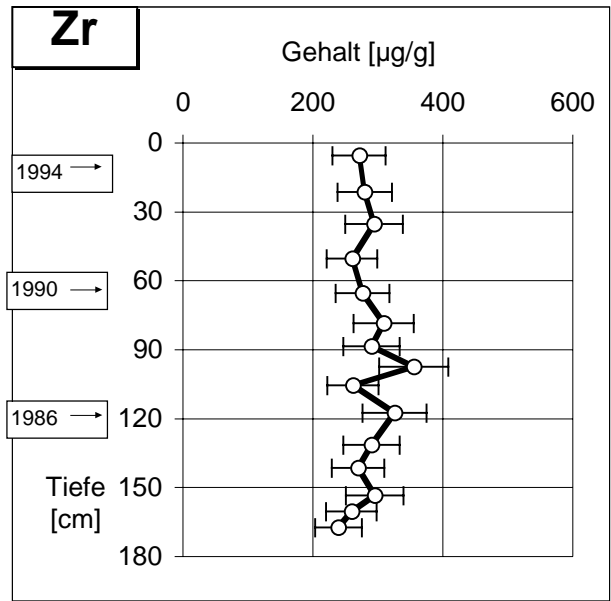
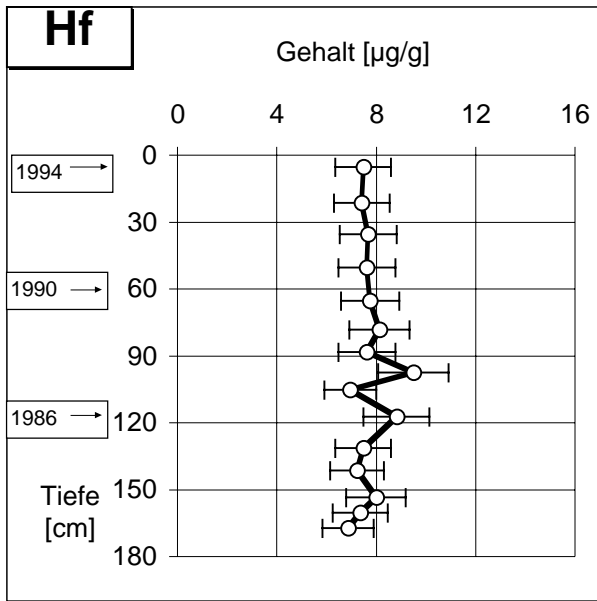
Kap. 9.2.1.1: "Jessipek" bei Hradec Králové, Unterwasserkern, Elementiefenprofile, Elementgruppe 1



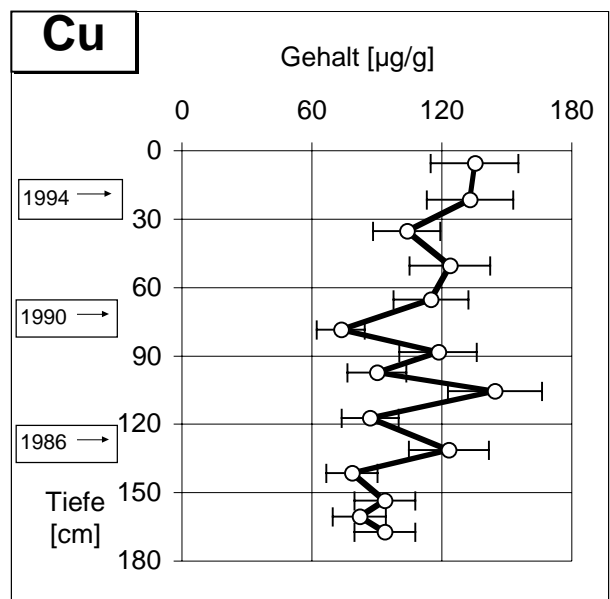
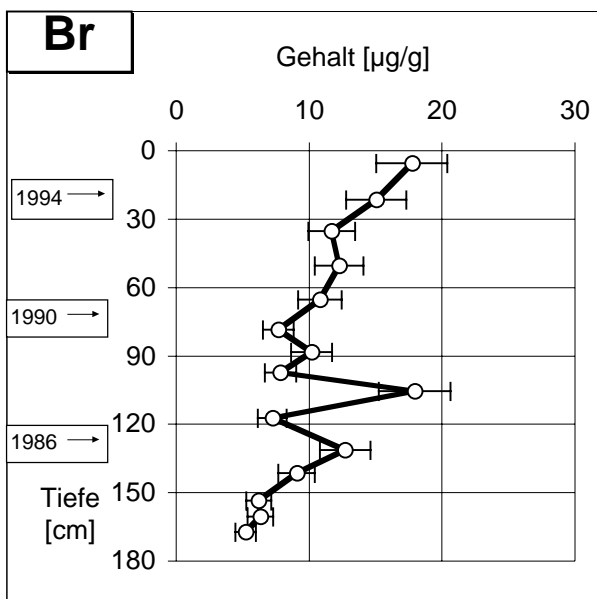
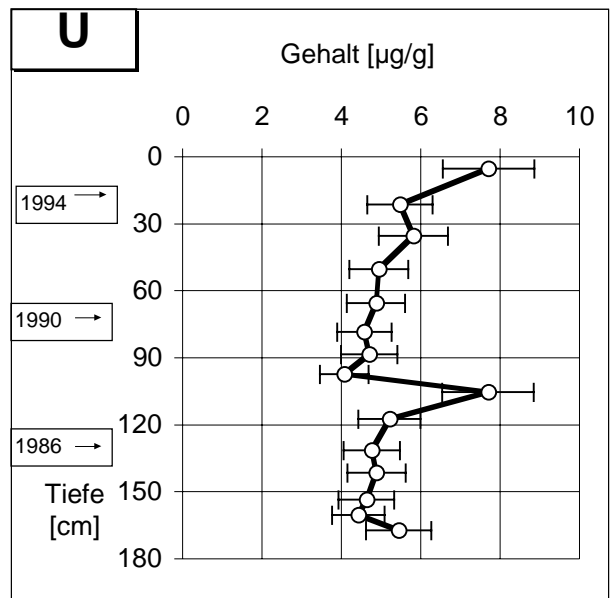
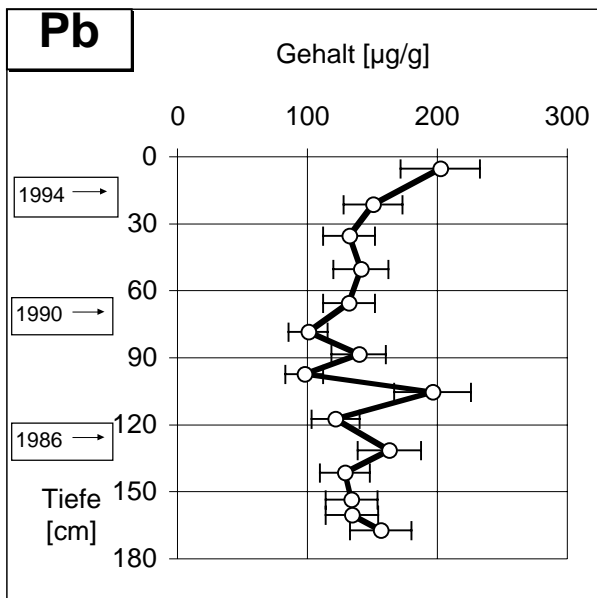
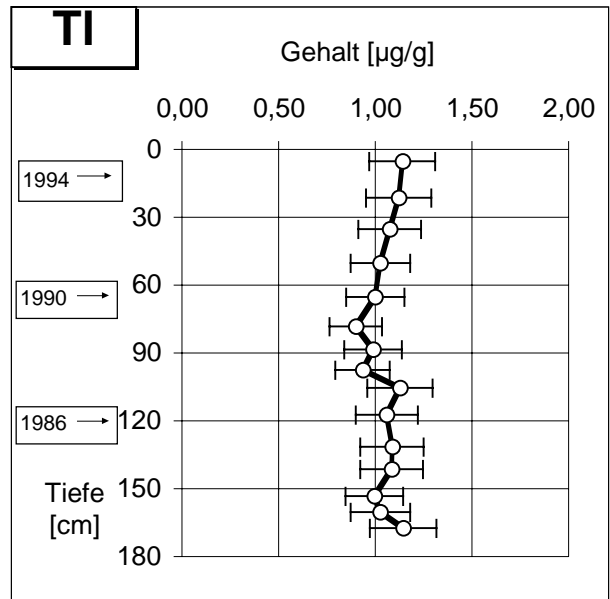
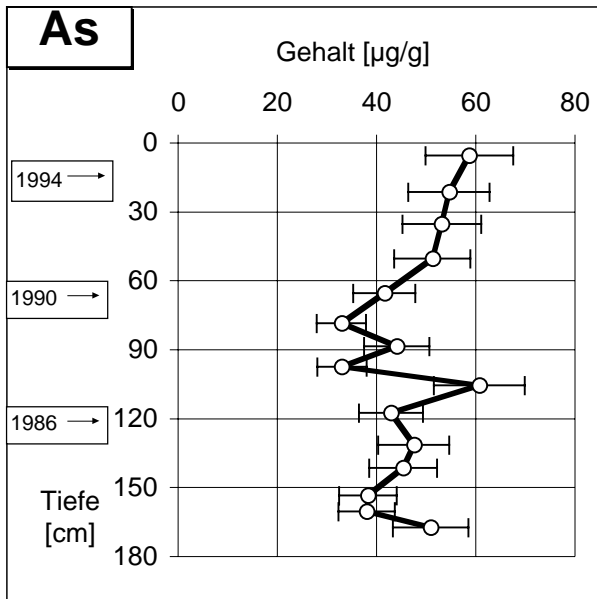
Kap. 9.2.1.1: "Jessipek" bei Hradec Králové, Unterwasserkern, Elementiefenprofile, Elementgruppe 1



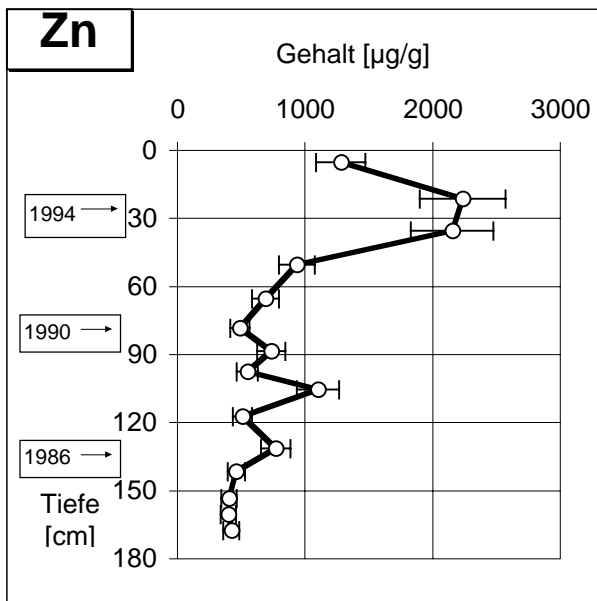
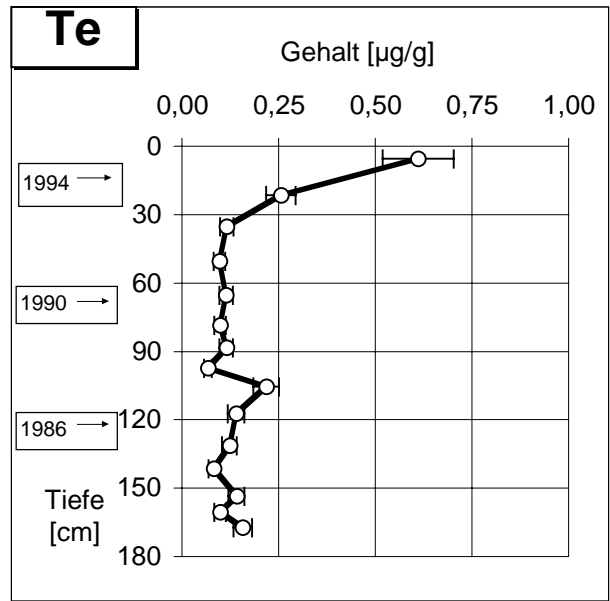
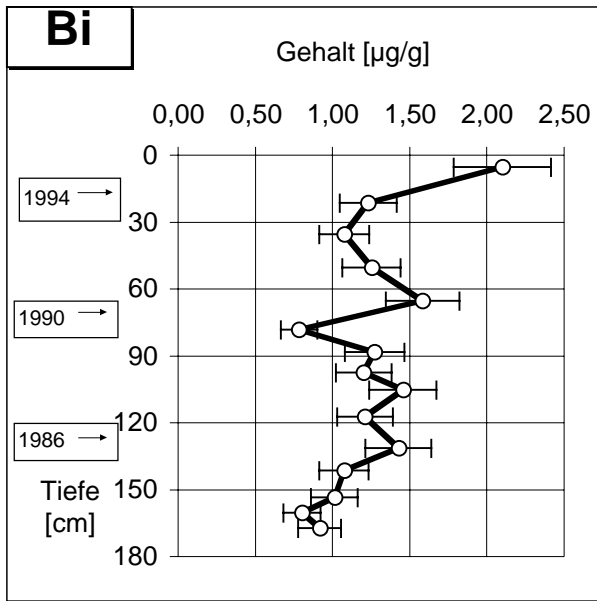


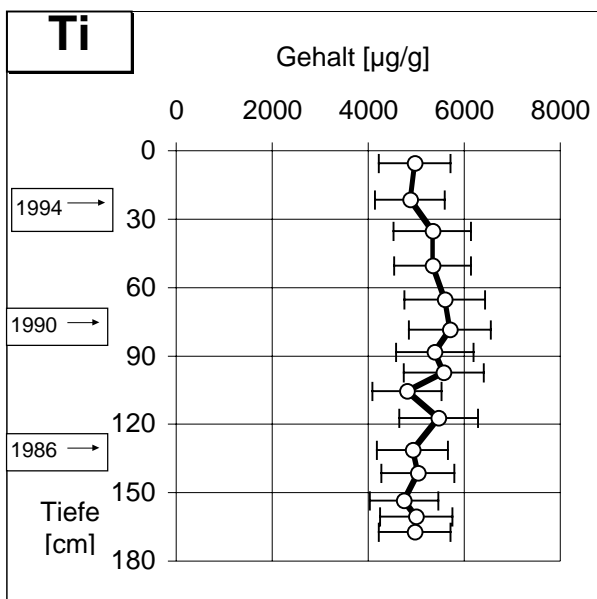
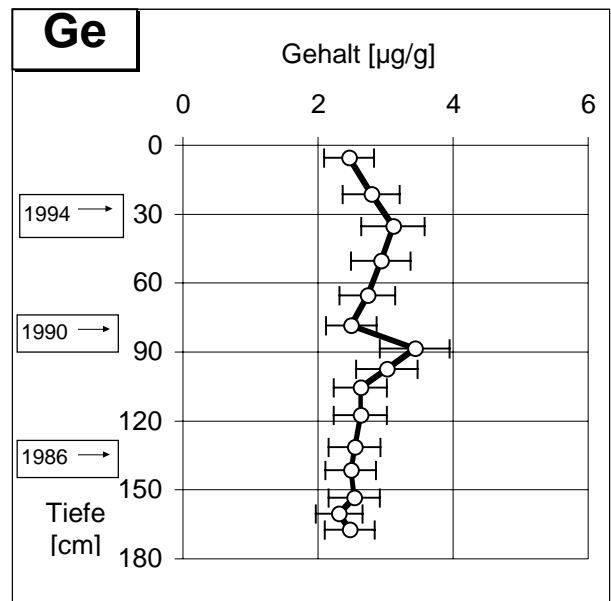
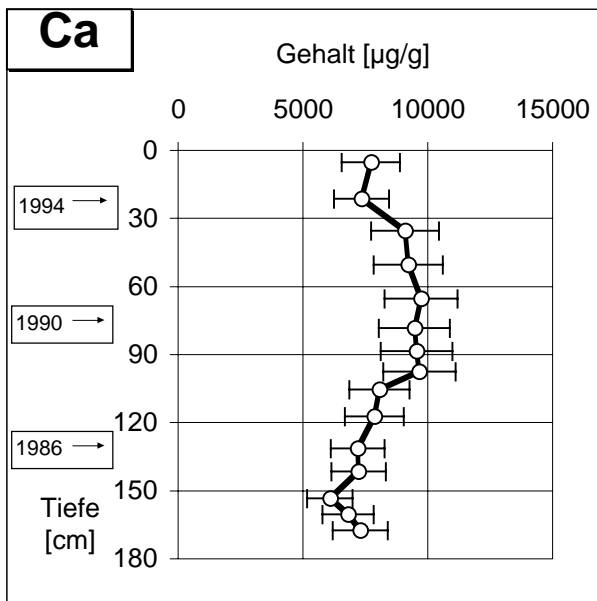
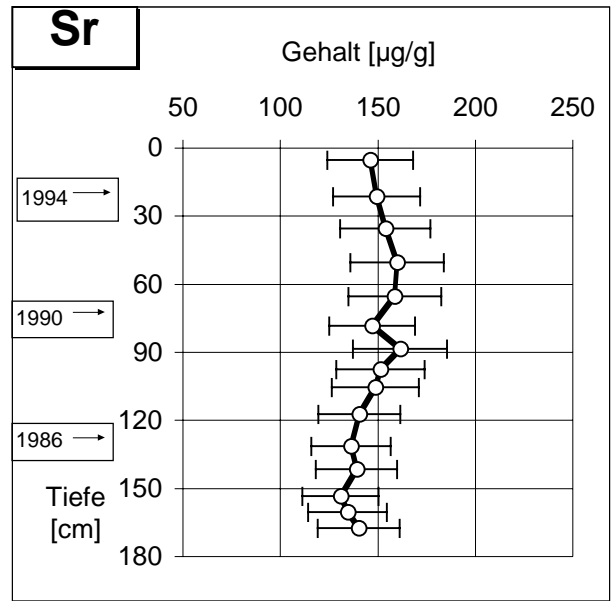
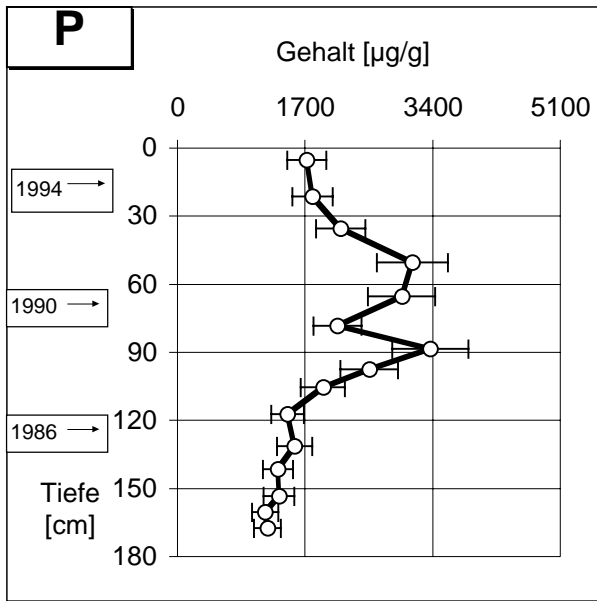


Kap. 9.2.1.1: "Jessipek" bei Hradec Králové, Unterwasserkern, Elementiefenprofile, Elementgruppe 2

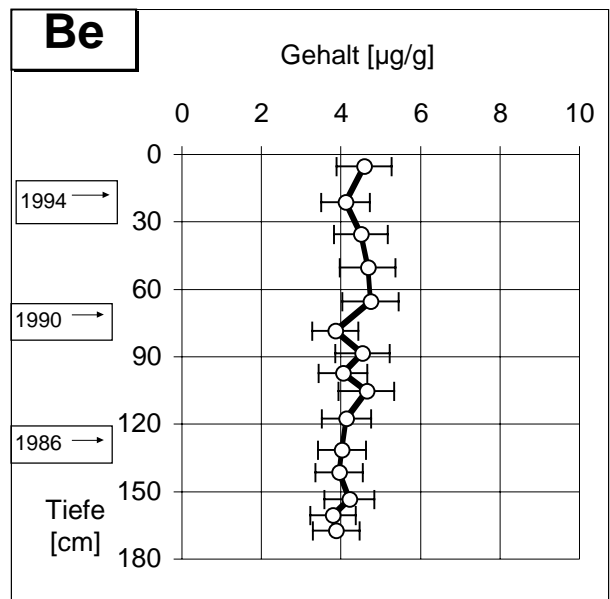
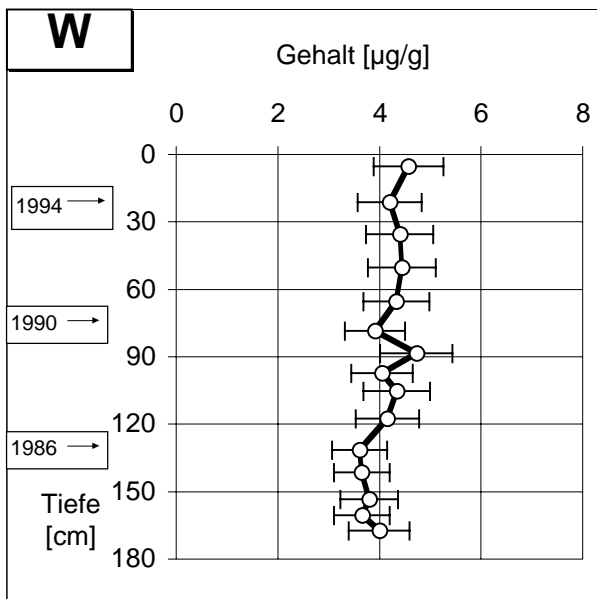
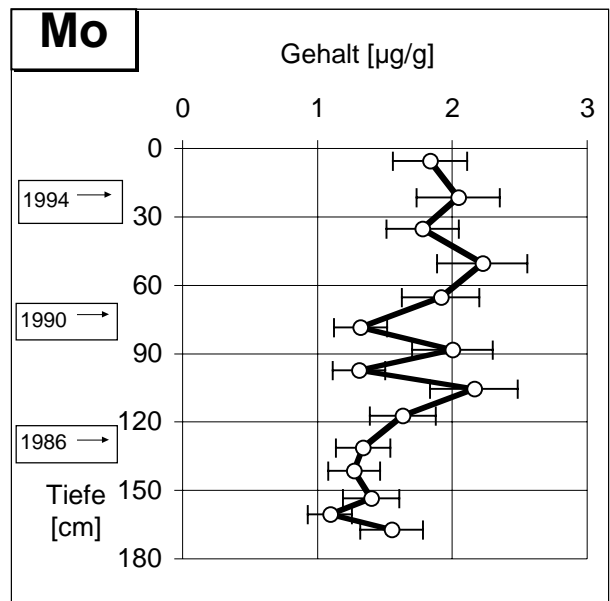
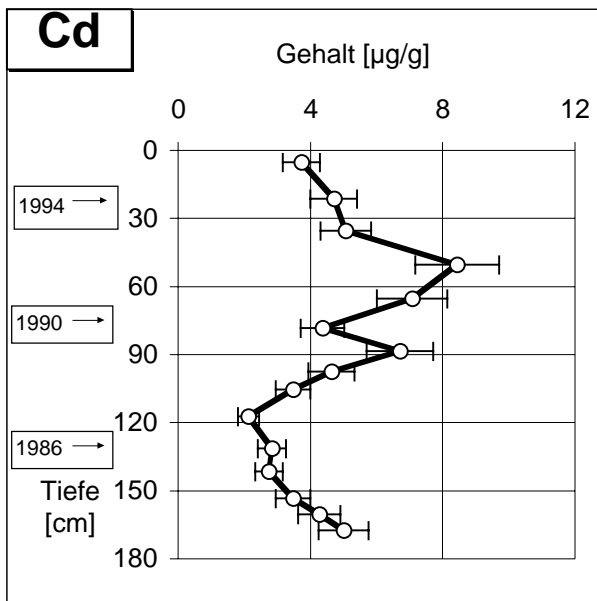
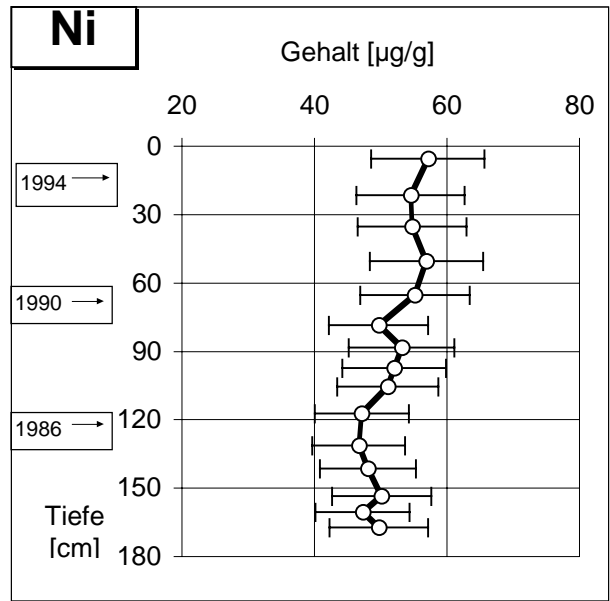
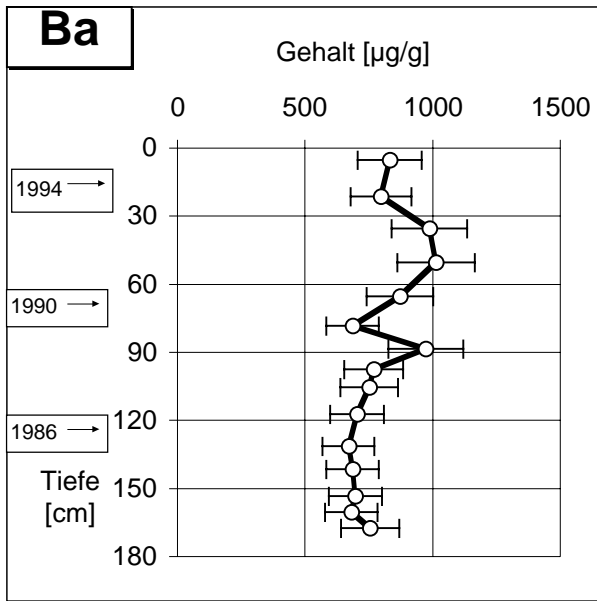


Kap. 9.2.1.1: "Jessipek" bei Hradec Králové, Unterwasserkern, Elementiefenprofile, Elementgruppe 3

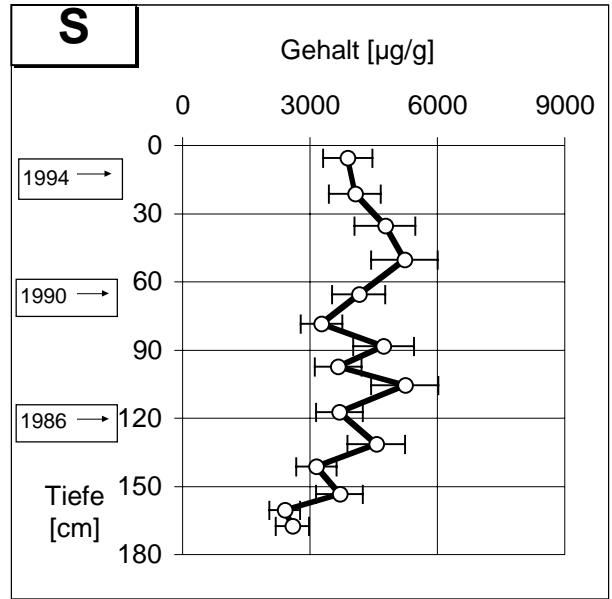
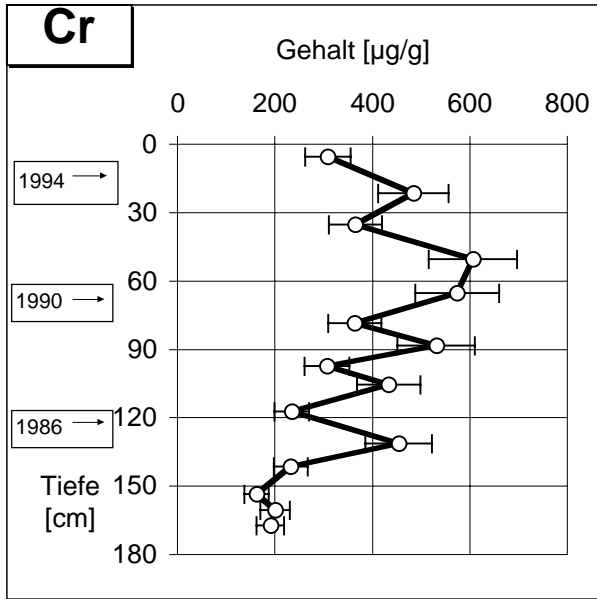




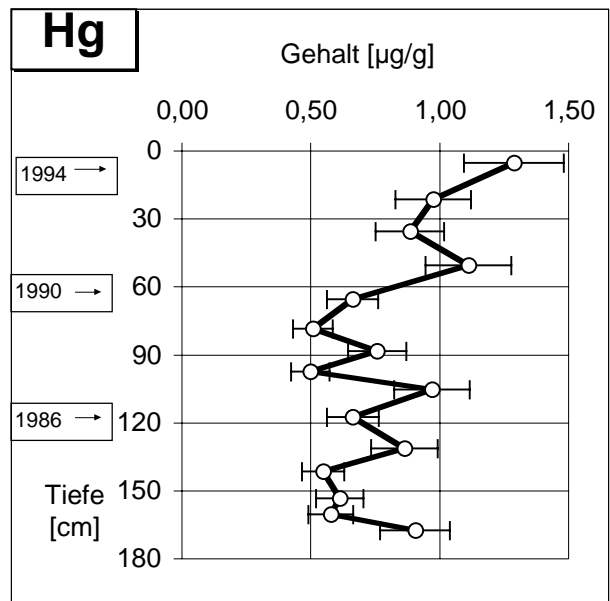
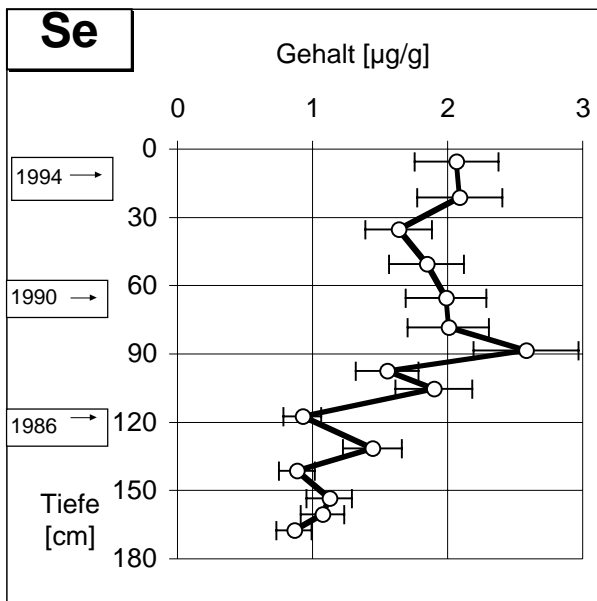
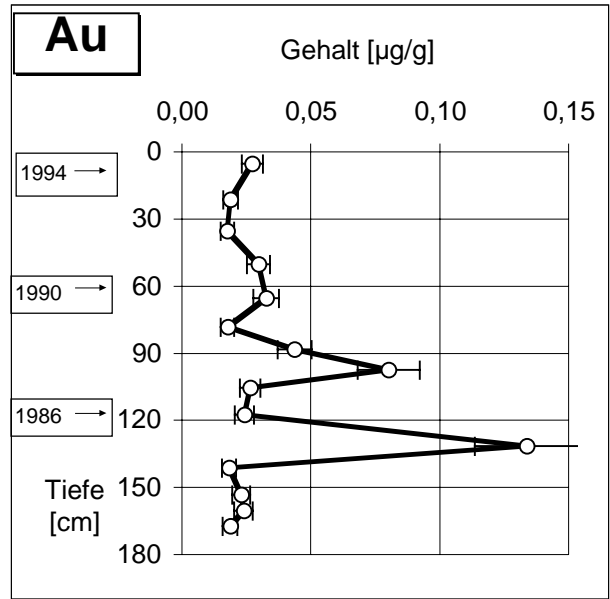
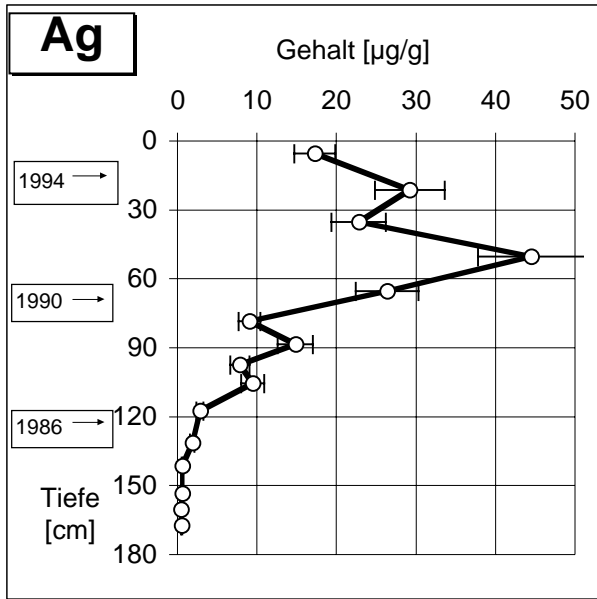
Kap. 9.2.1.1: "Jessipek" bei Hradec Králové, Unterwasserkern, Elementiefenprofile, Elementgruppe 4



Kap. 9.2.1.1: "Jessipek" bei Hradec Králové, Unterwasserkern, Elementiefenprofile, Elementgruppe 4

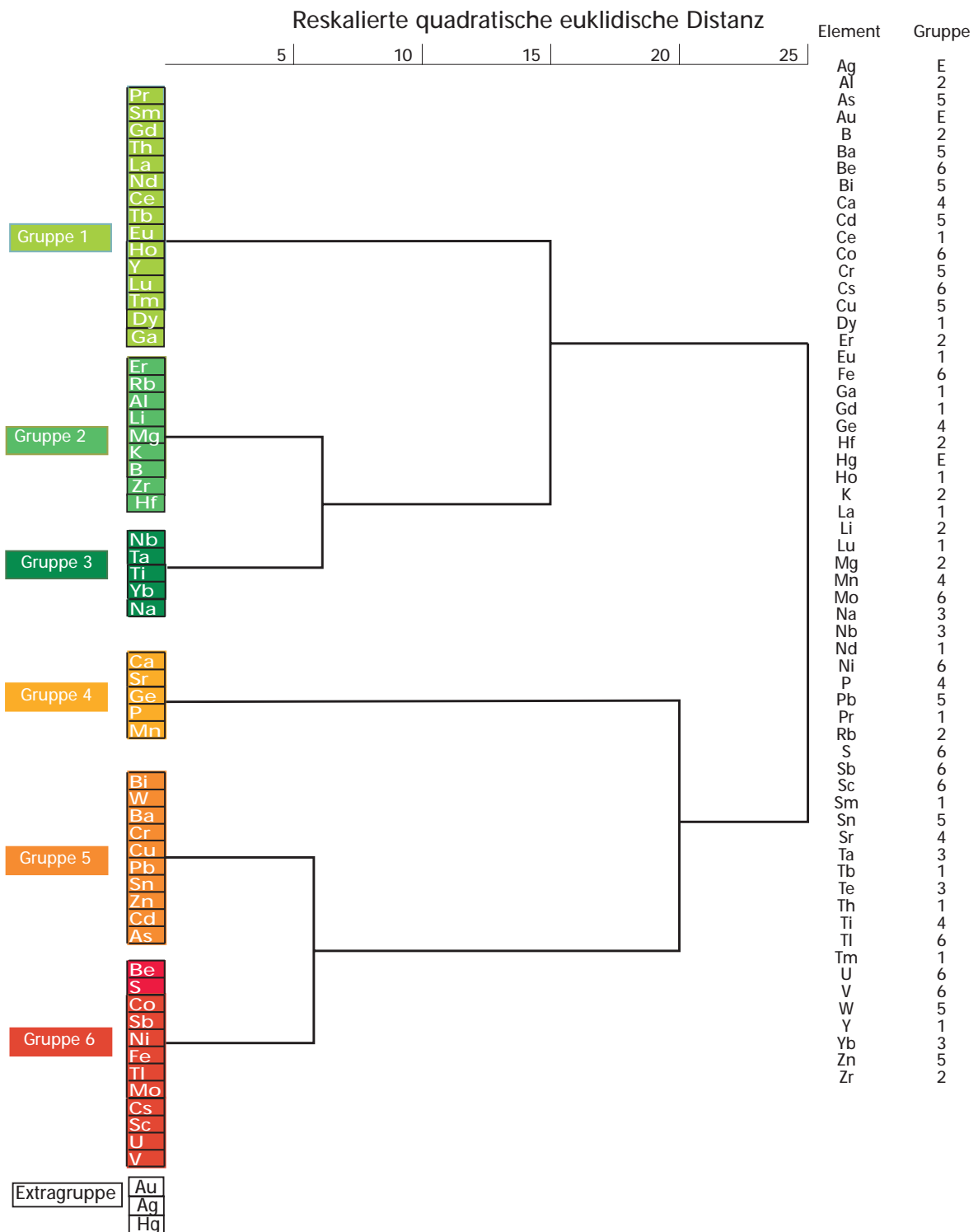


Kap. 9.2.1.1: "Jessipek" bei Hradec Králové, Unterwasserkern, Elementtiefenprofile, Elementgruppe 4



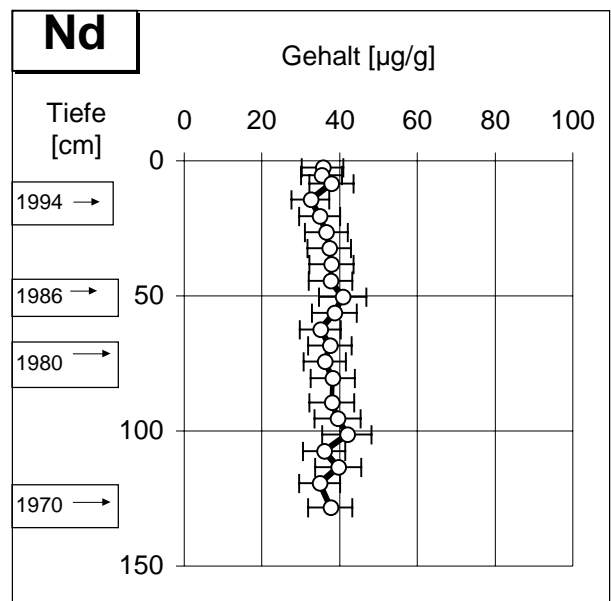
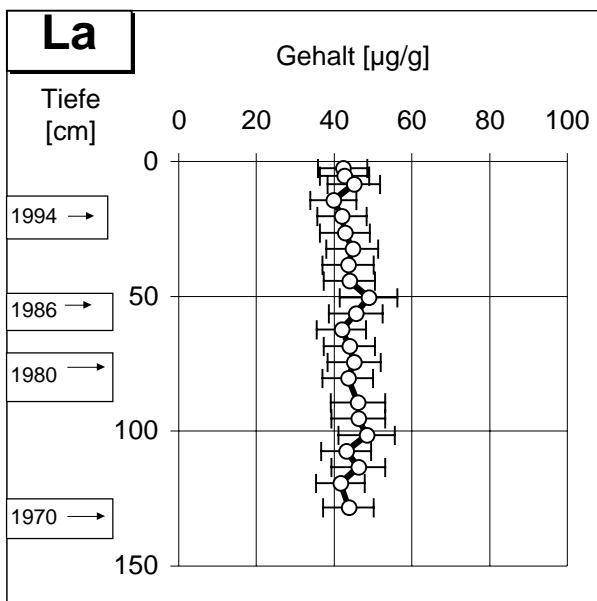
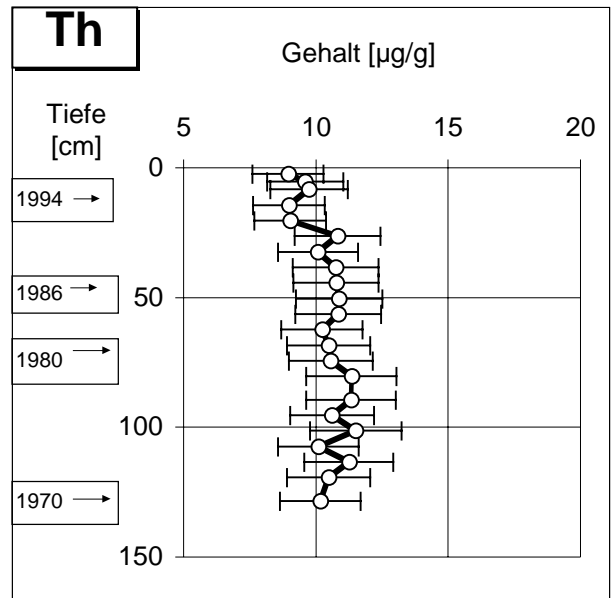
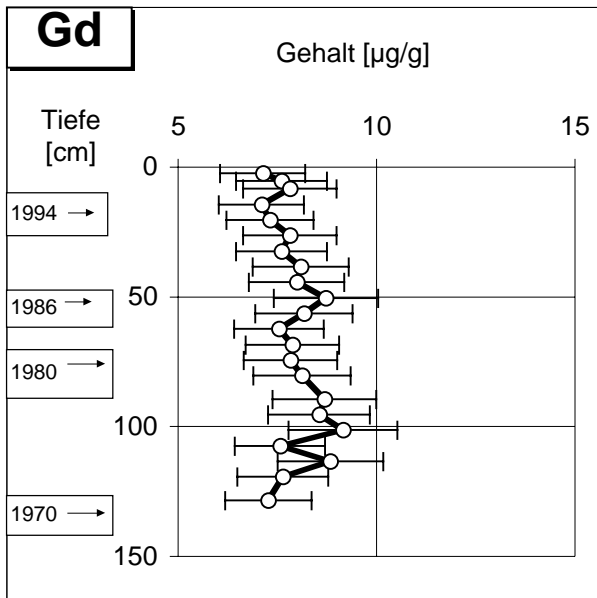
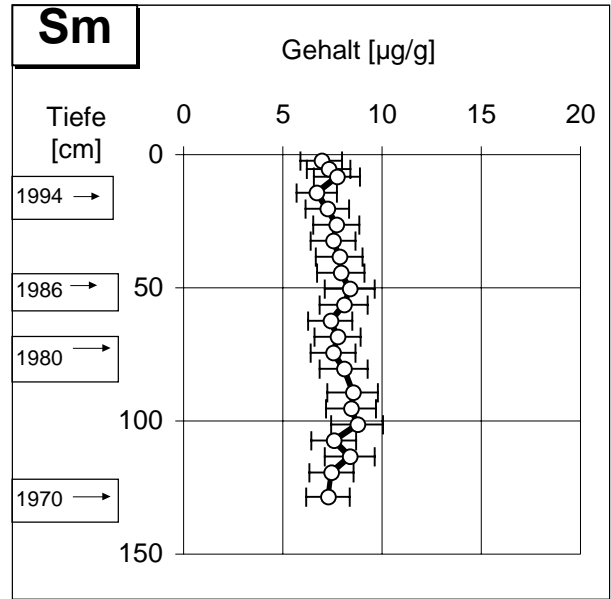
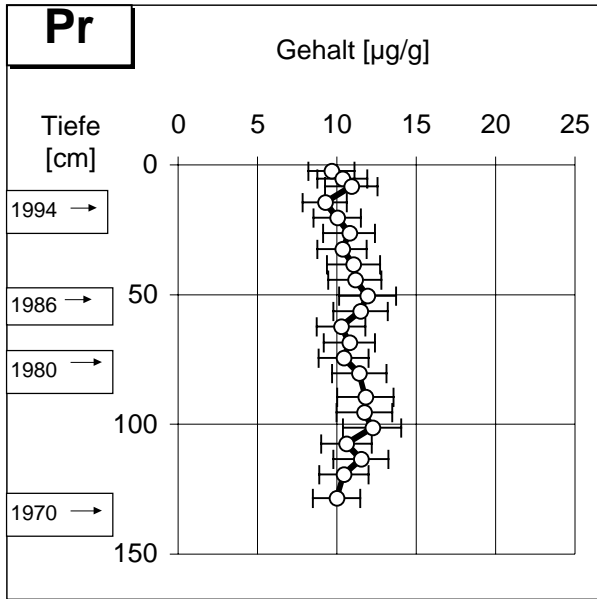
Kap. 9.2.1.1: "Jessipek" bei Hradec Králové, Unterwasserkern, Elementiefenprofile, Extragruppe

9.2.1.2 Einflußbereich des Moldaueinzugsgebietes  
("Litomerice" bei Roudnice)

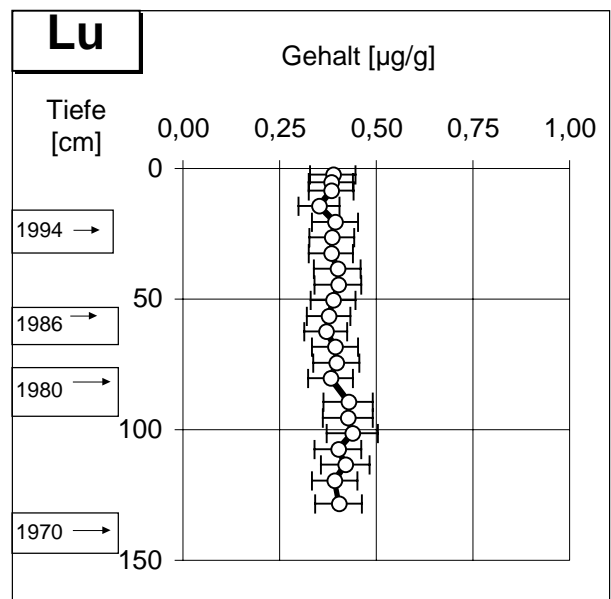
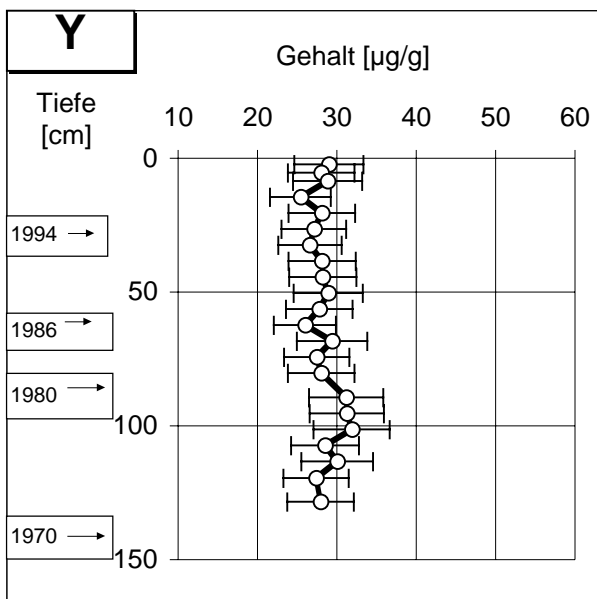
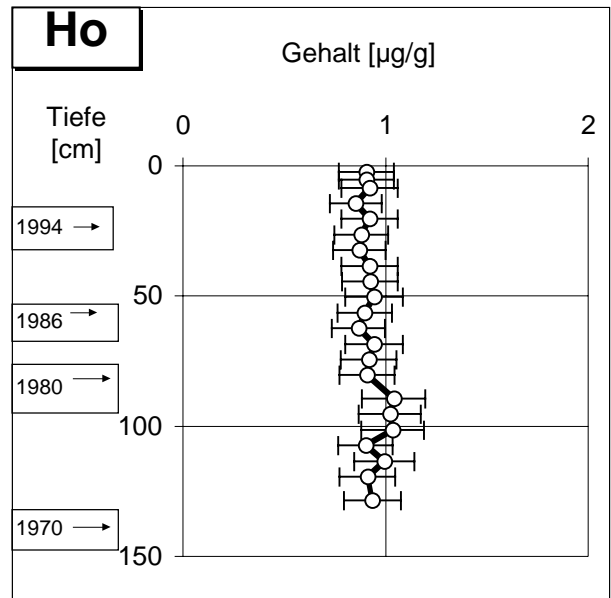
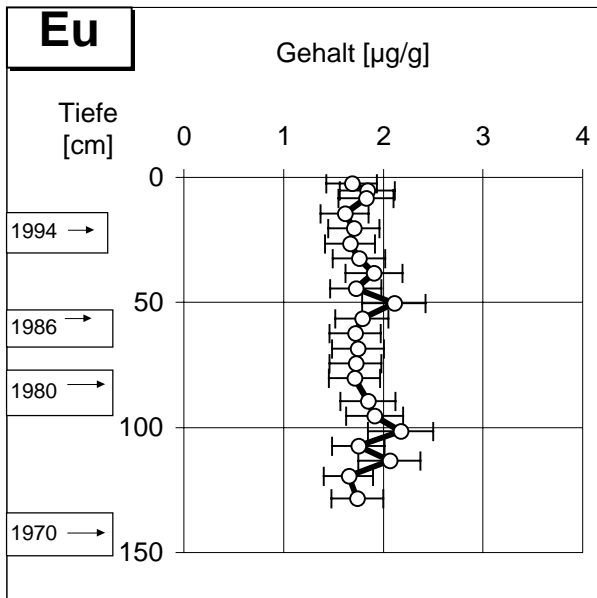
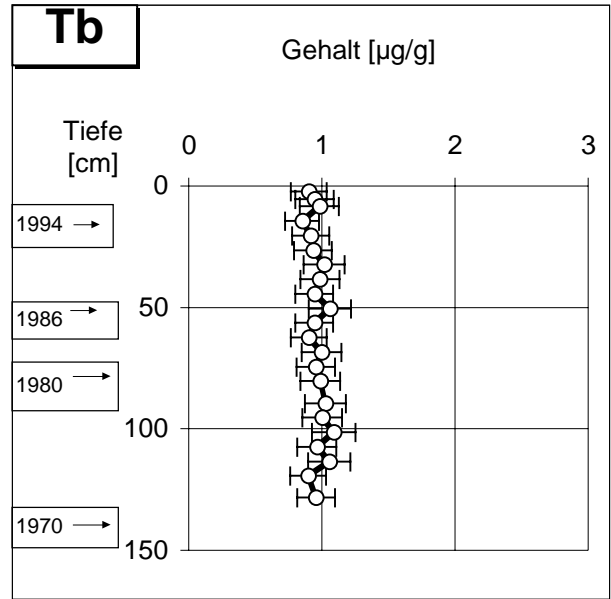
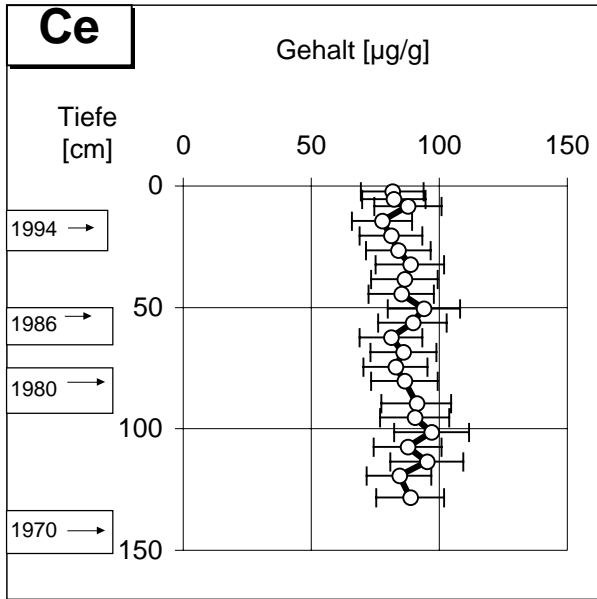


**Abb. 9.2.1.2:** Dendrogramm der Elemente vom Unterwasserkern Litomerice (vgl. Abb. 5.2.3)

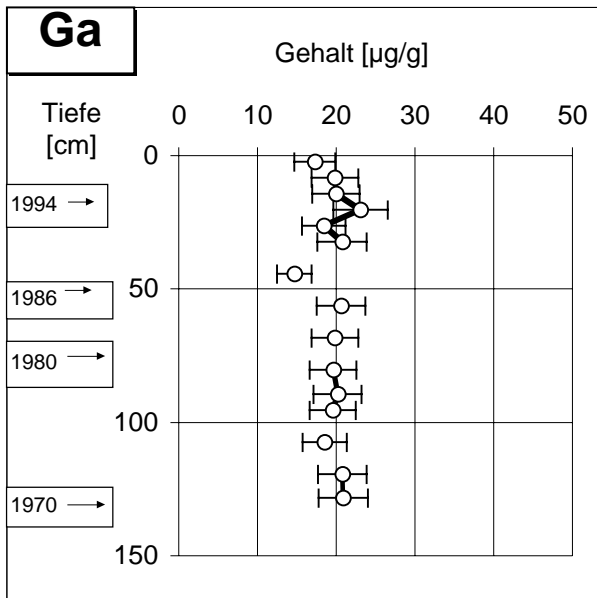
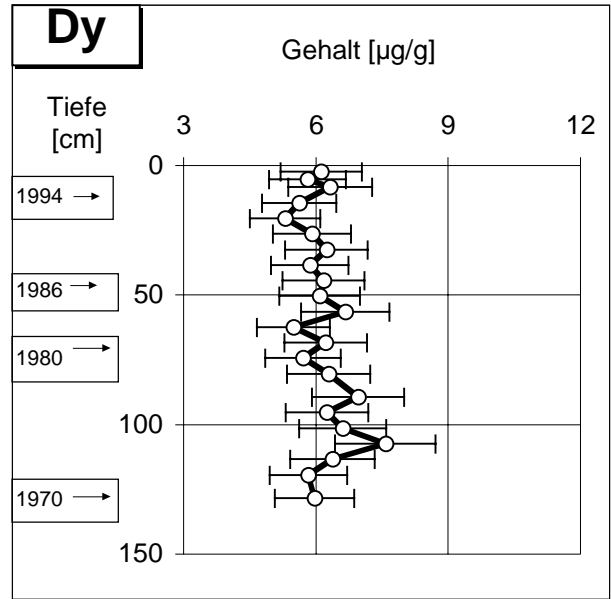
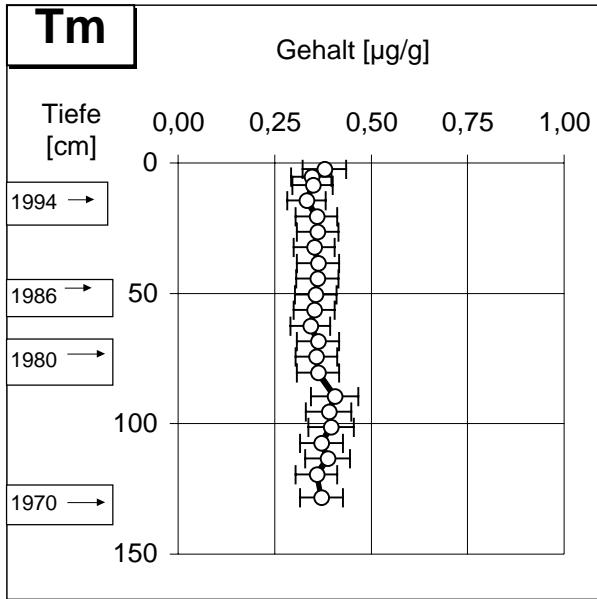


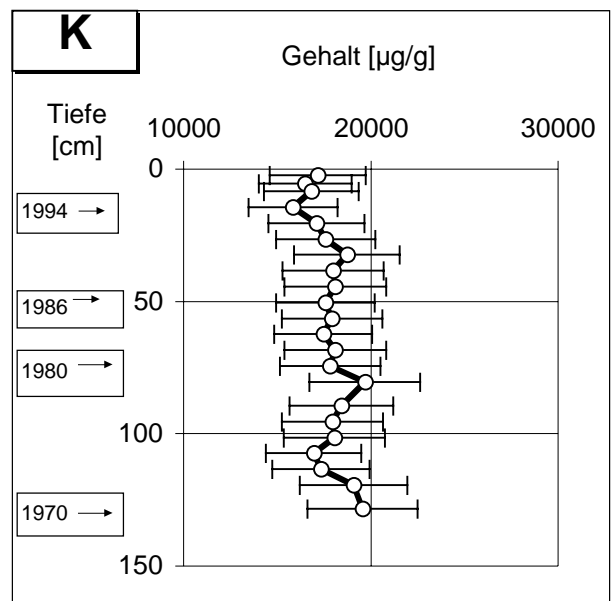
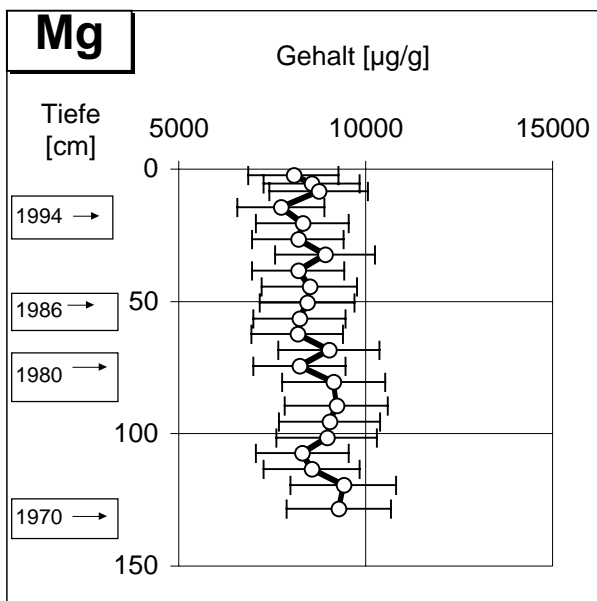
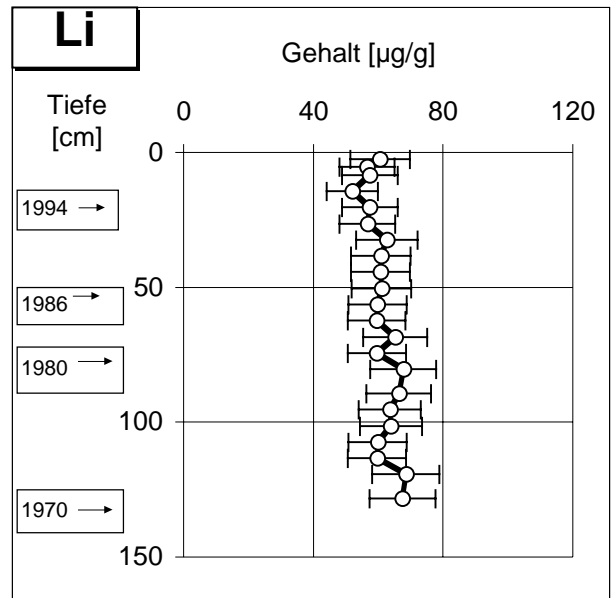
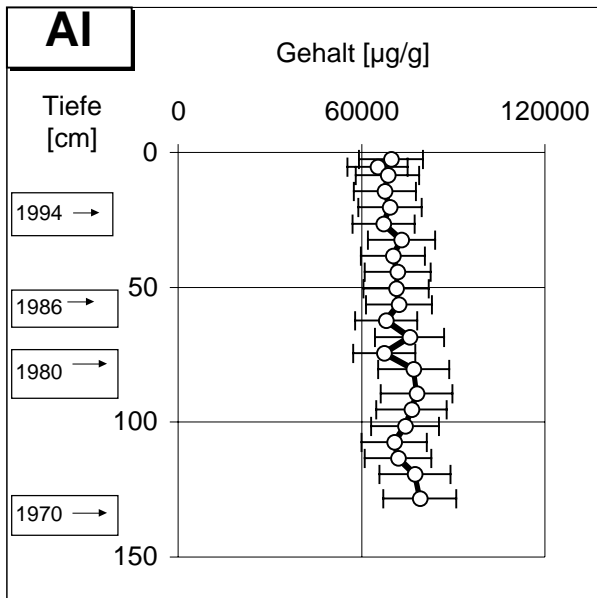
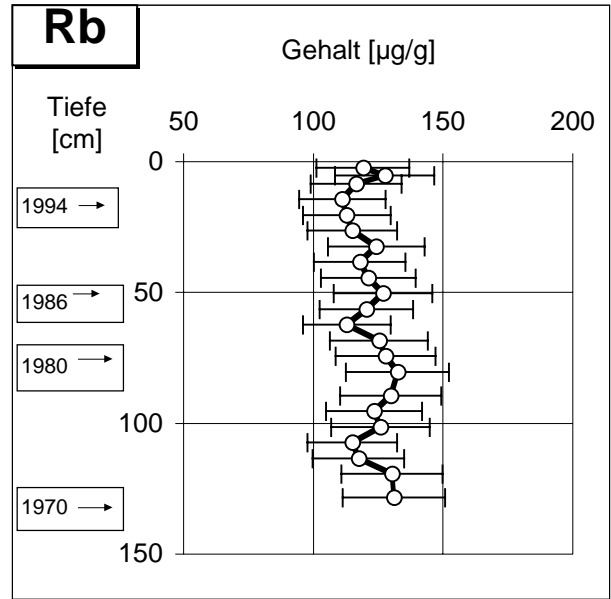
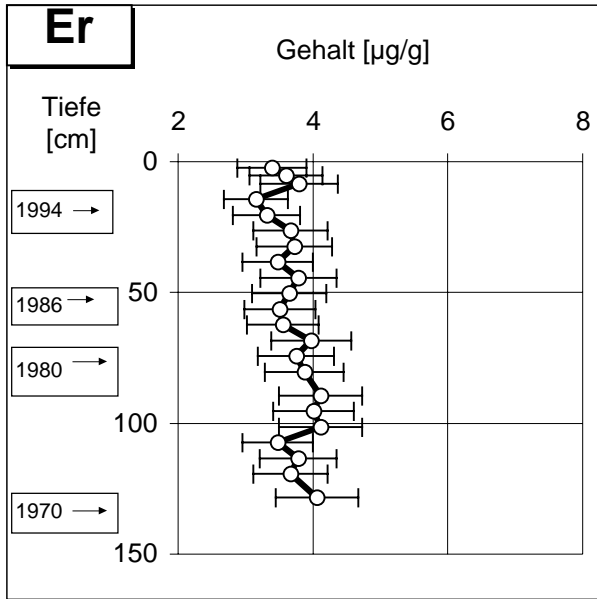


Kap. 9.2.1.2: Litomerice, Unterwasserkern, Elementtiefenprofile, Elementgruppe 1

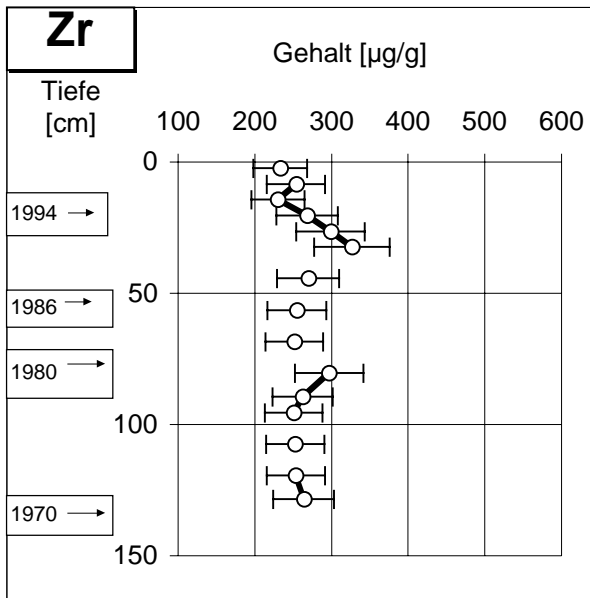
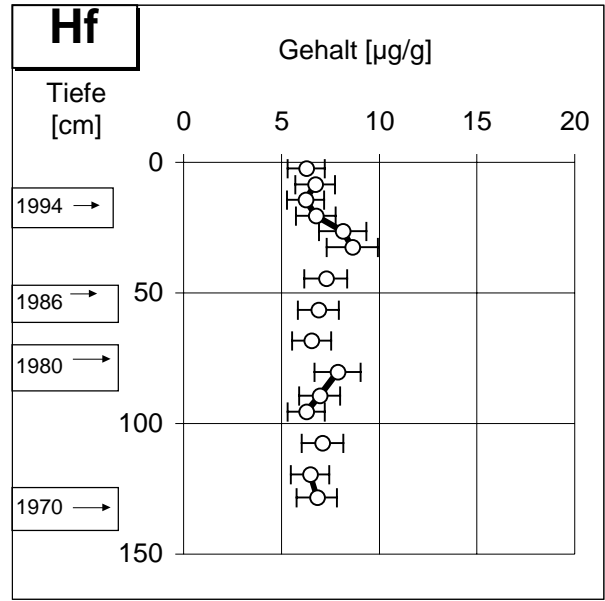
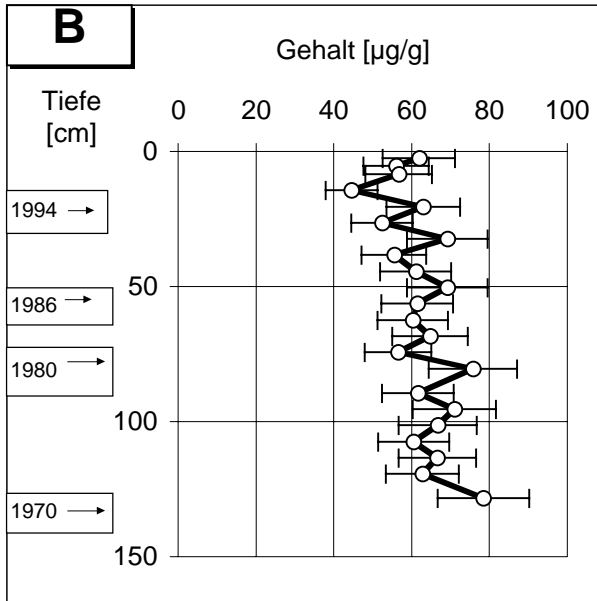


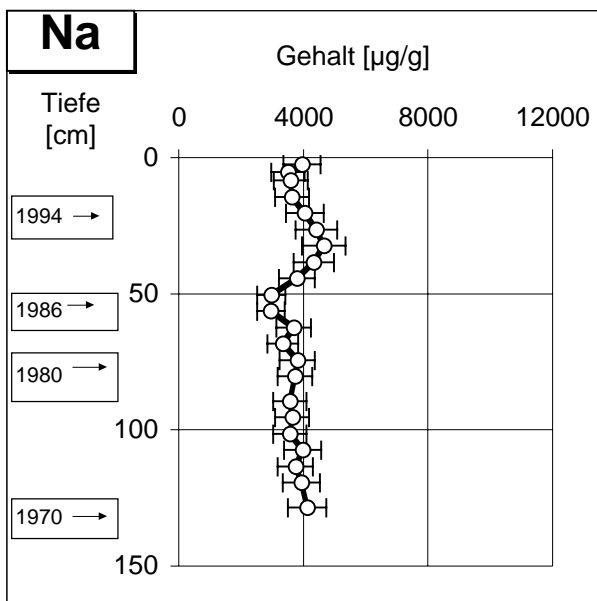
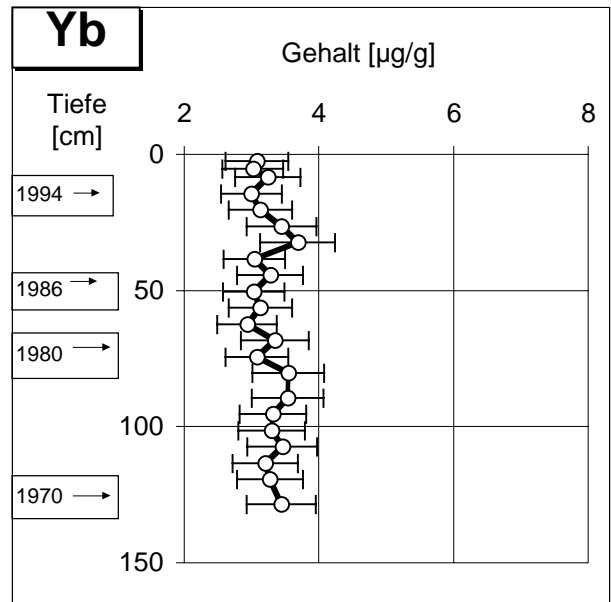
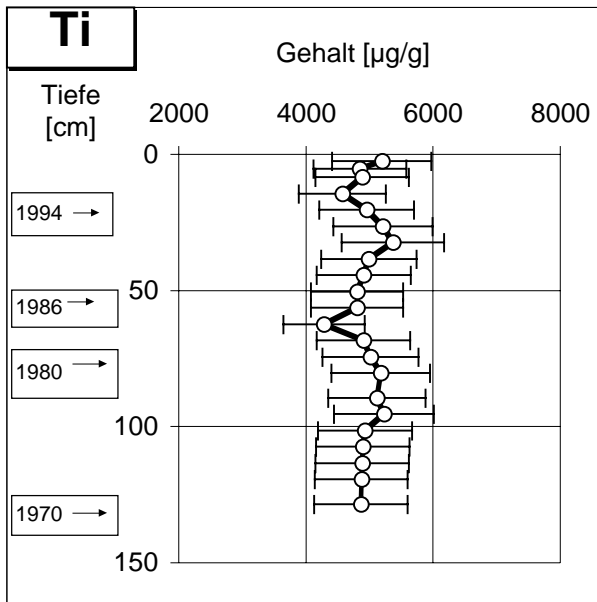
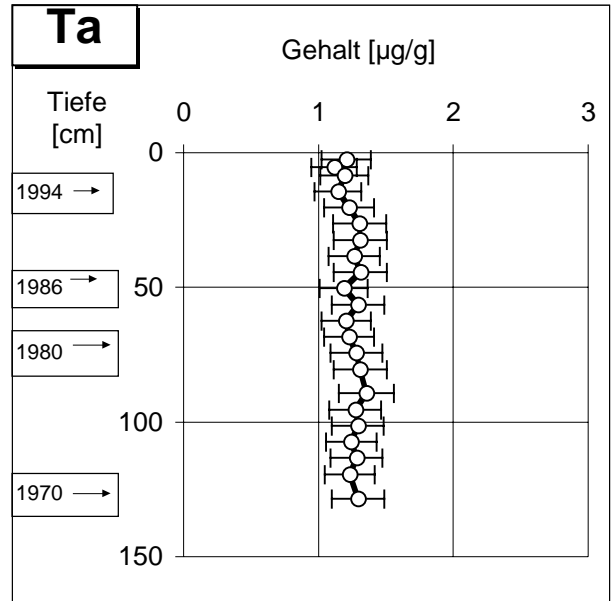
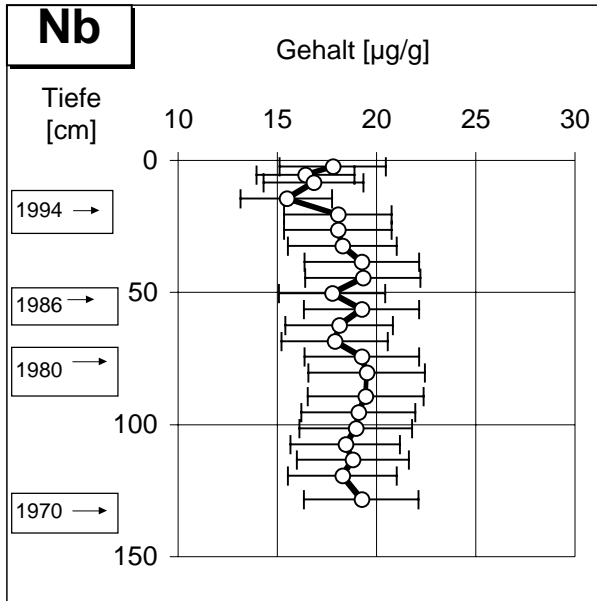
Kap. 9.2.1.2: Litomerice, Unterwasserkern, Elementtiefenprofile, Elementgruppe 1



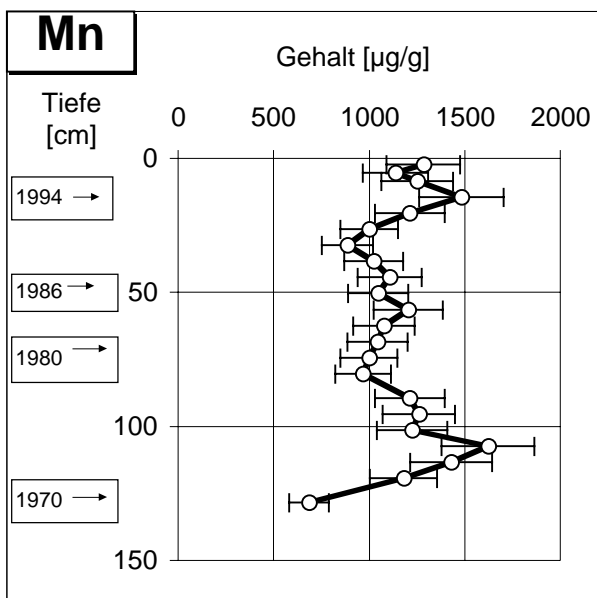
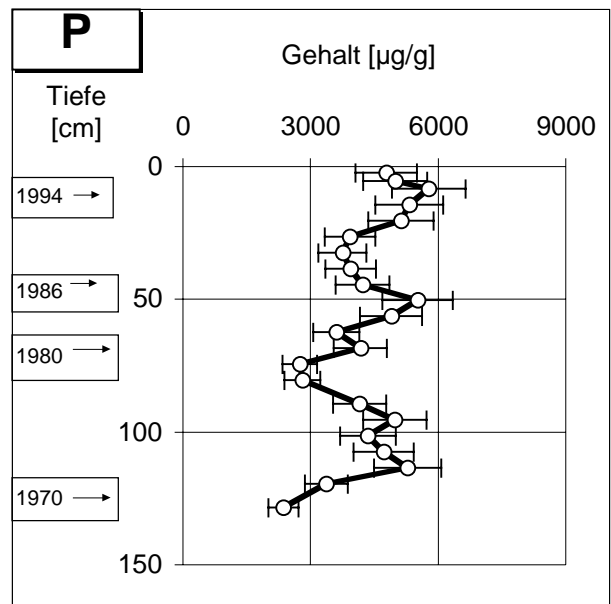
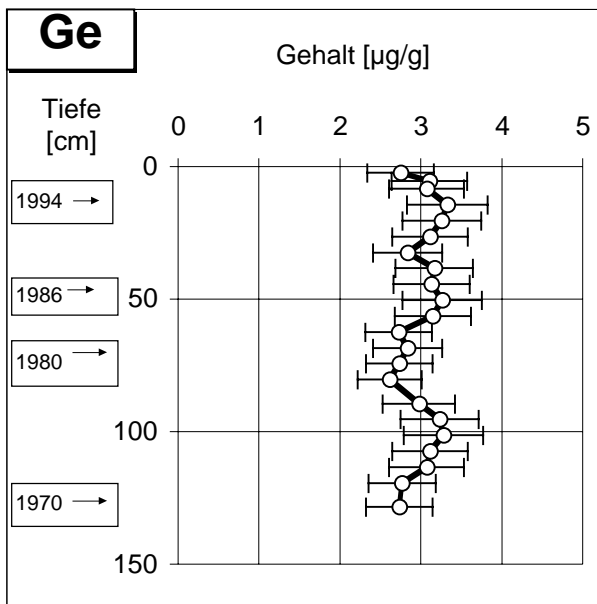
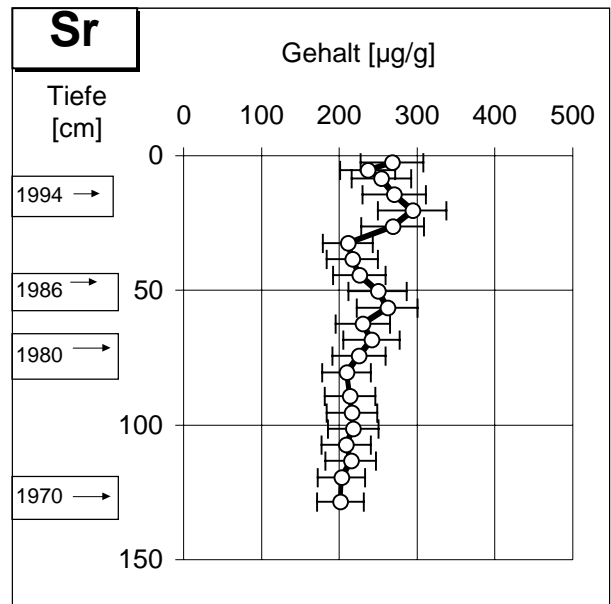
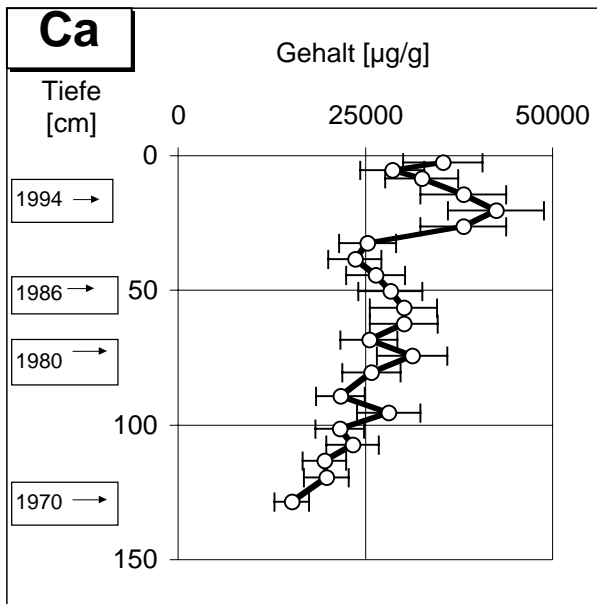


Kap. 9.2.1.2: Litomerice, Unterwasserkern, Elementtiefenprofile, Elementgruppe 2

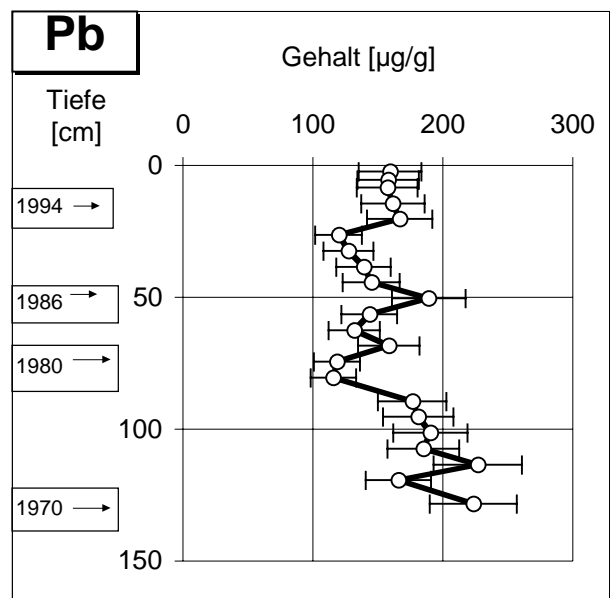
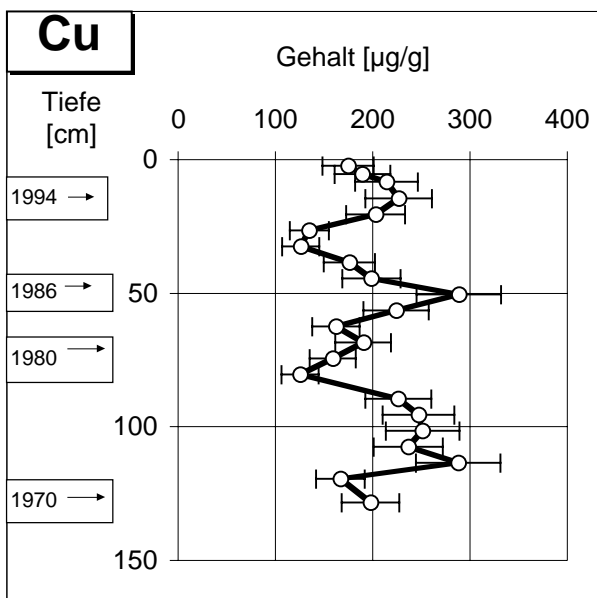
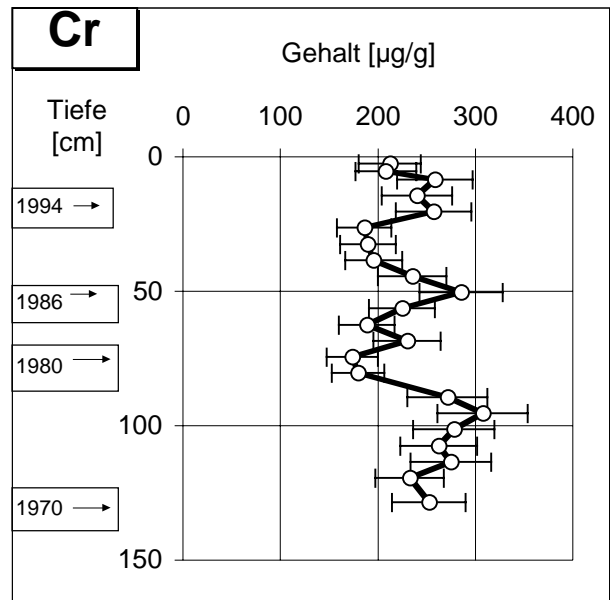
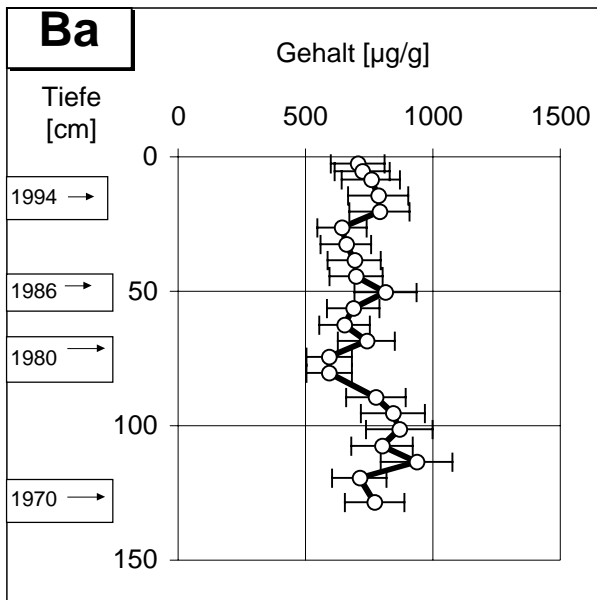
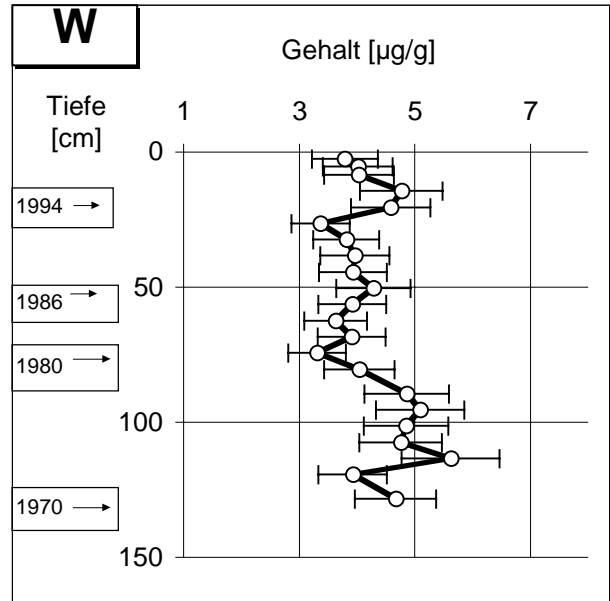
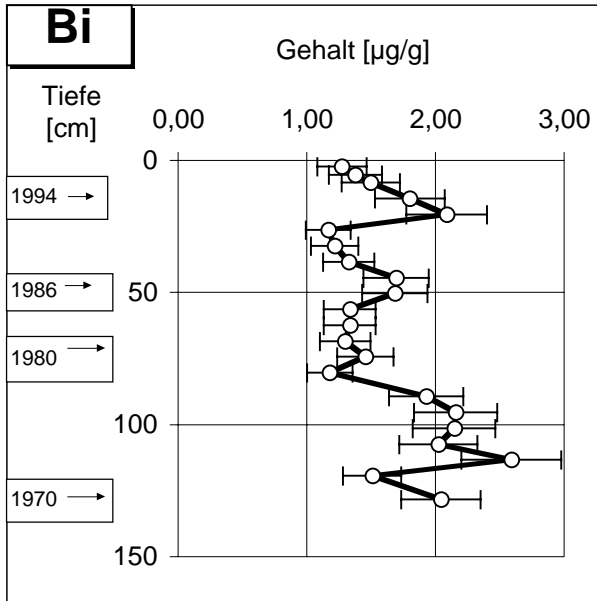




Kap. 9.2.1.2: Litomerice, Unterwasserkern, Elementtiefenprofile, Elementgruppe 3

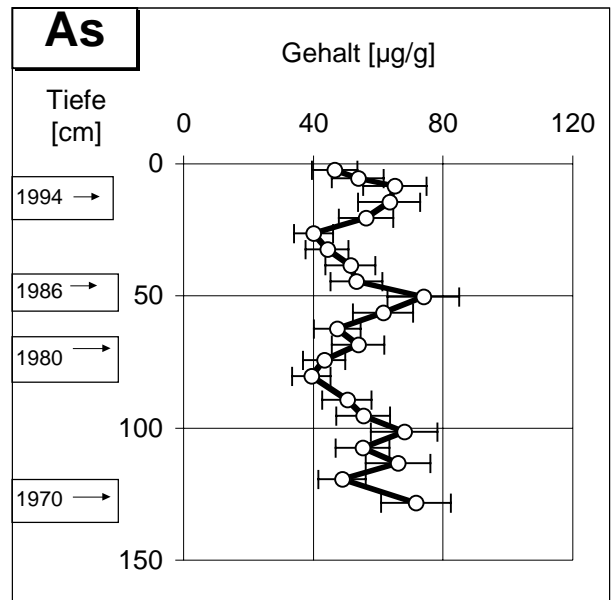
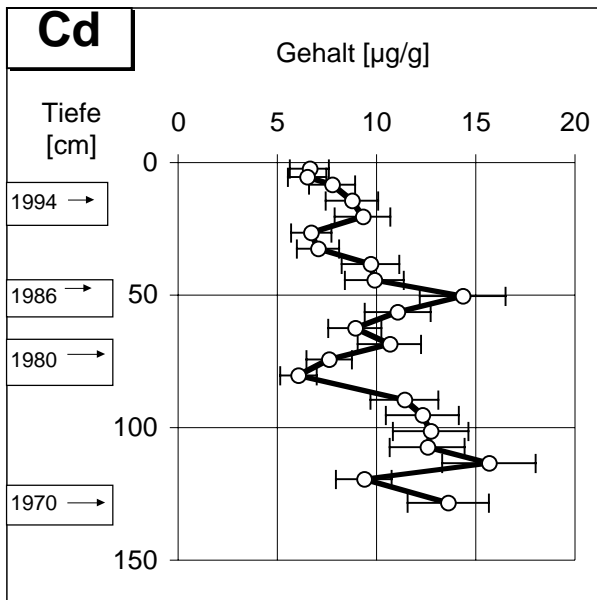
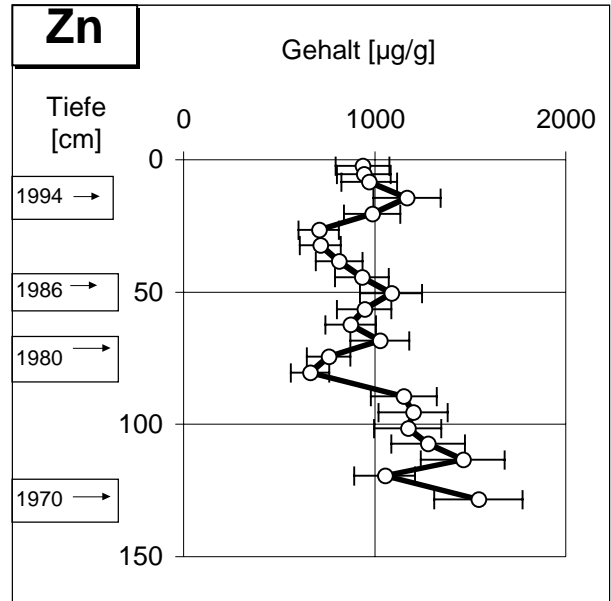
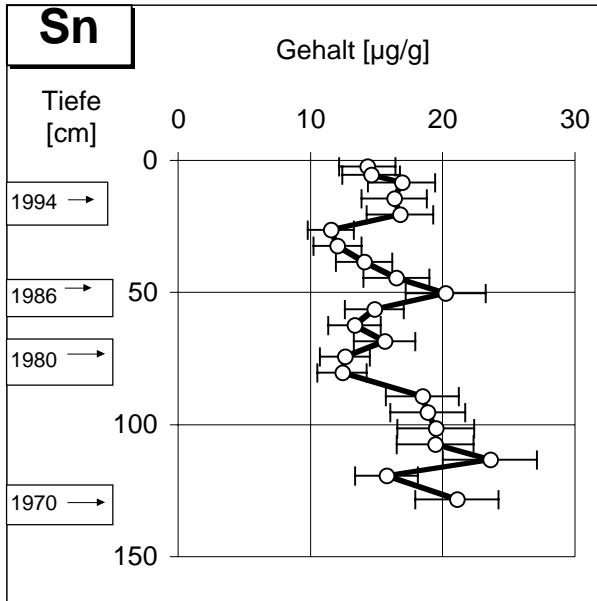


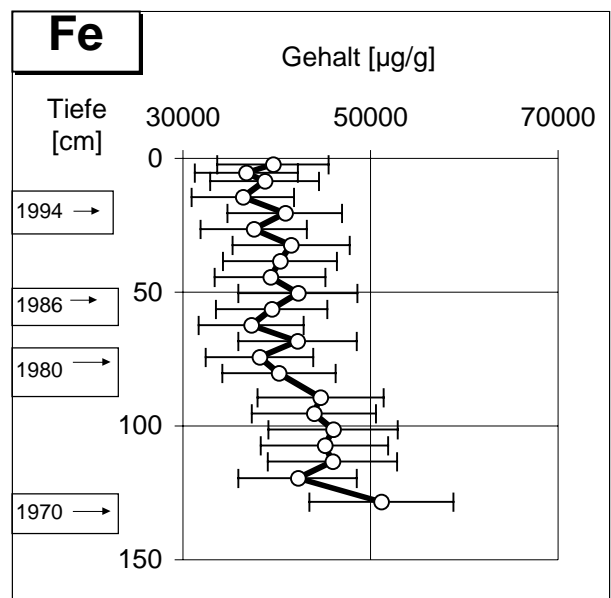
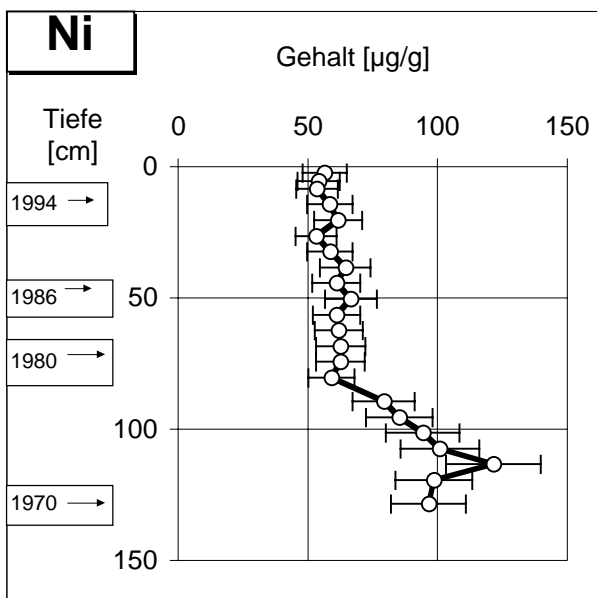
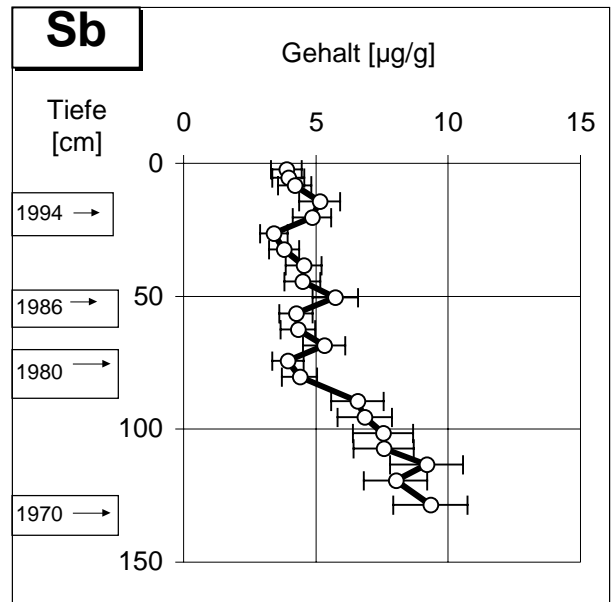
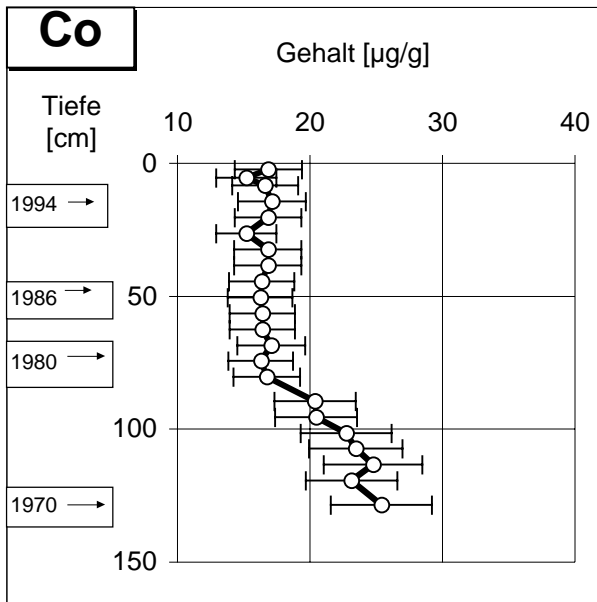
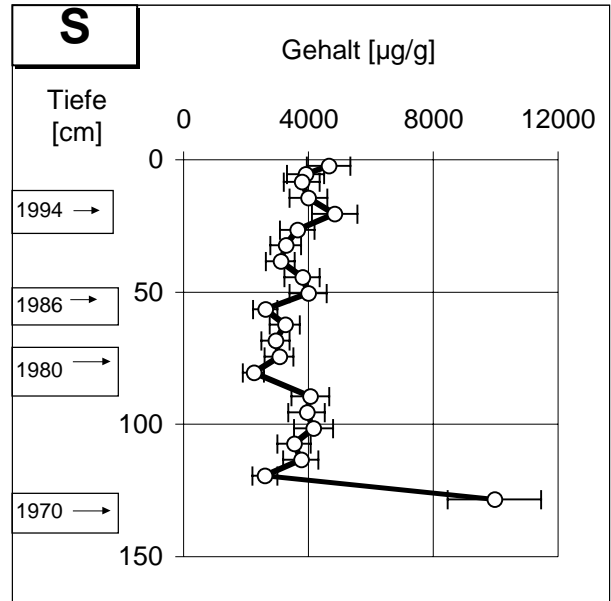
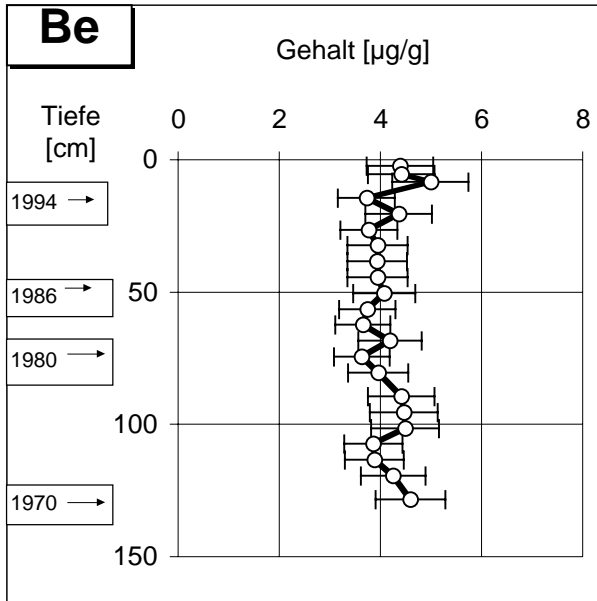
Kap. 9.2.1.2: Litomerice, Unterwasserkern, Elementtiefenprofile, Elementgruppe 4



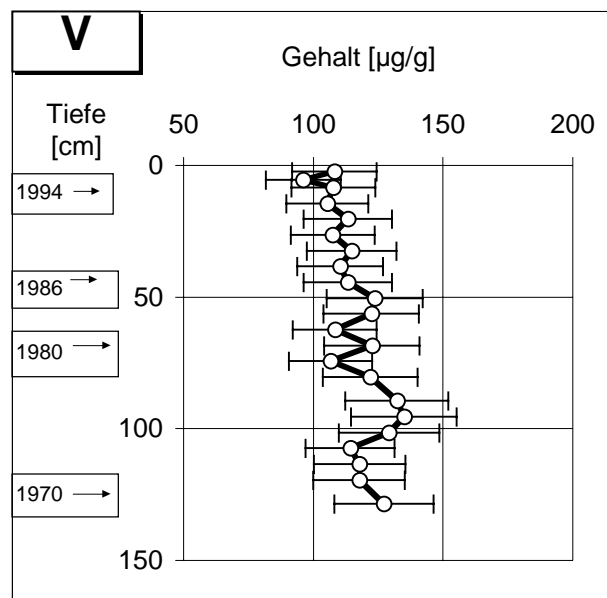
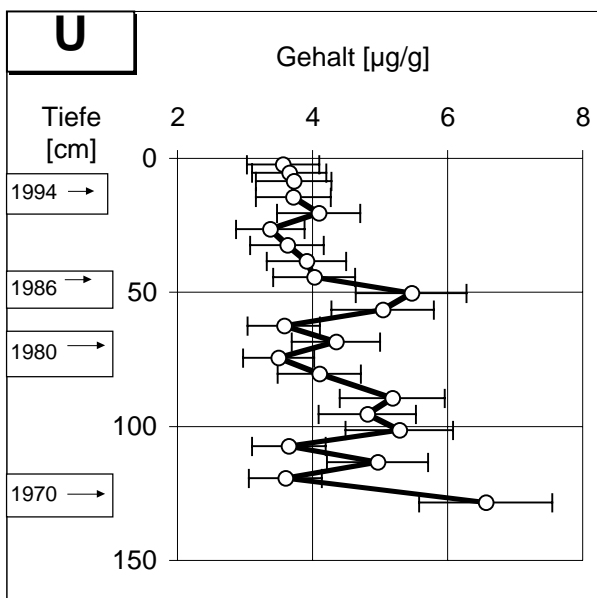
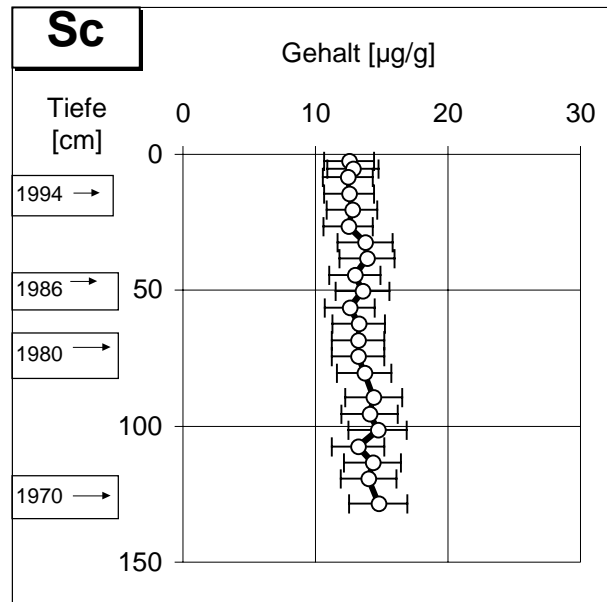
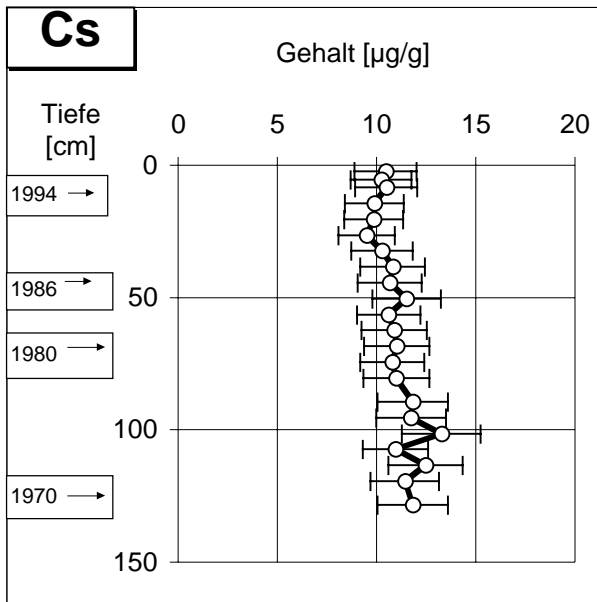
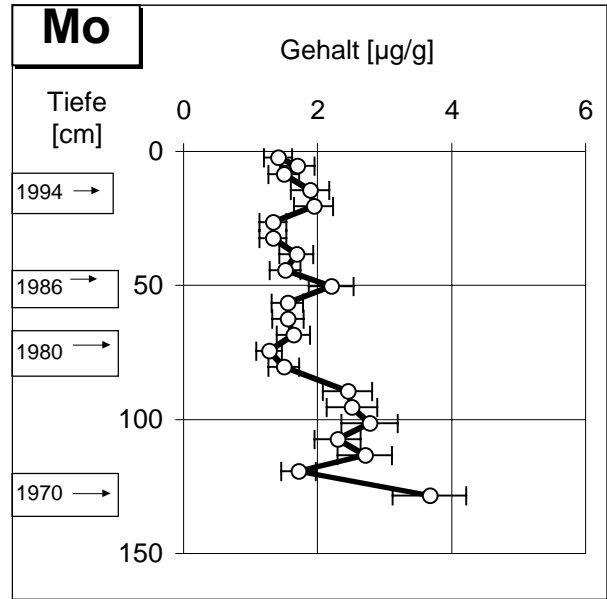
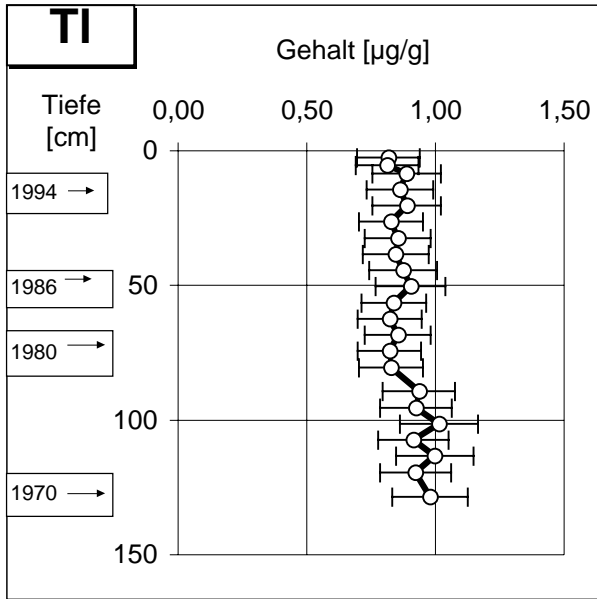
Kap. 9.2.1.2: Litomerice, Unterwasserkern, Elementtiefenprofile, Elementgruppe 5



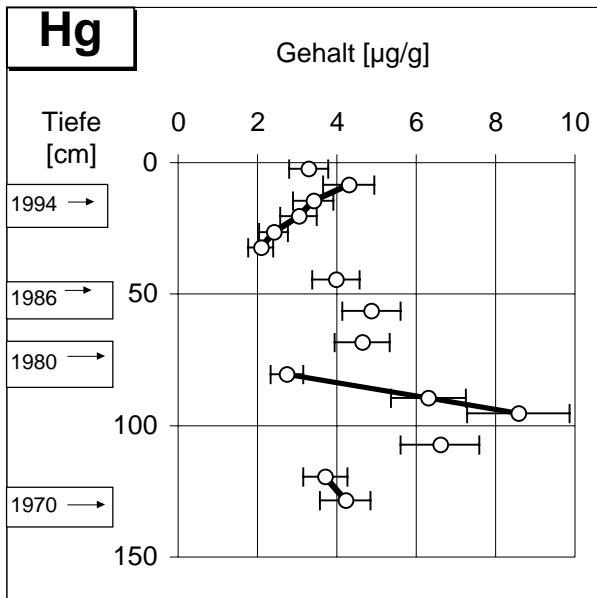
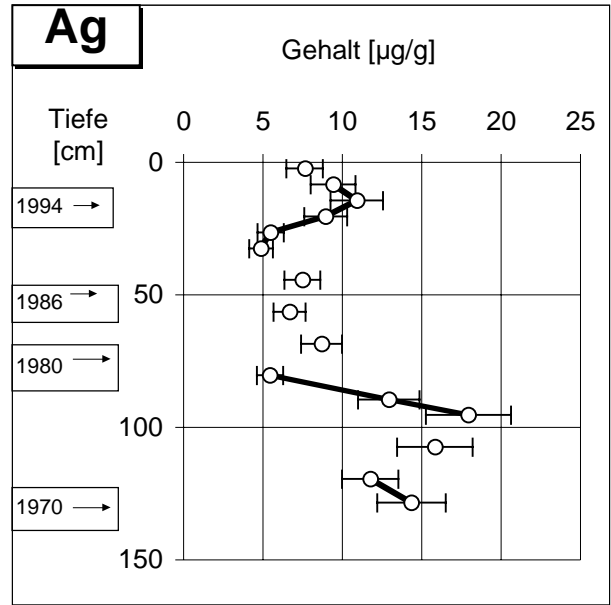
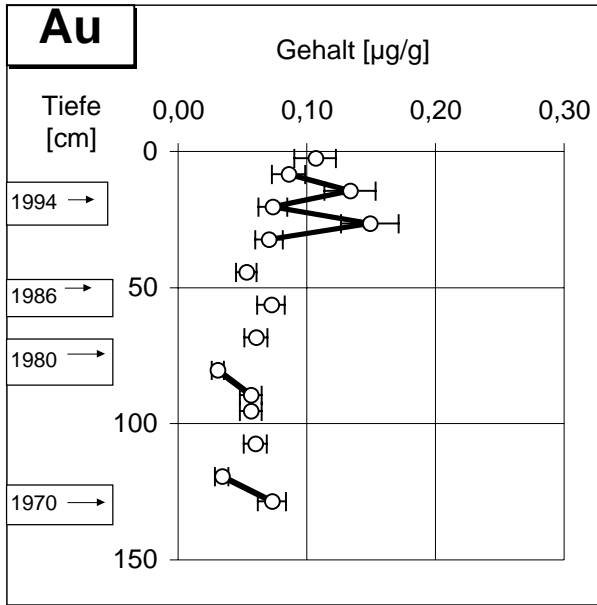




Kap. 9.2.1.2: Litomerice, Unterwasserkern, Elementtiefenprofile, Elementgruppe 6



Kap. 9.2.1.2: Litomerice, Unterwasserkern, Elementtiefenprofile, Elementgruppe 6





9.2.1.3 Einflußbereich des Erzgebirges  
("Bucher Brack" bei Tangermünde )

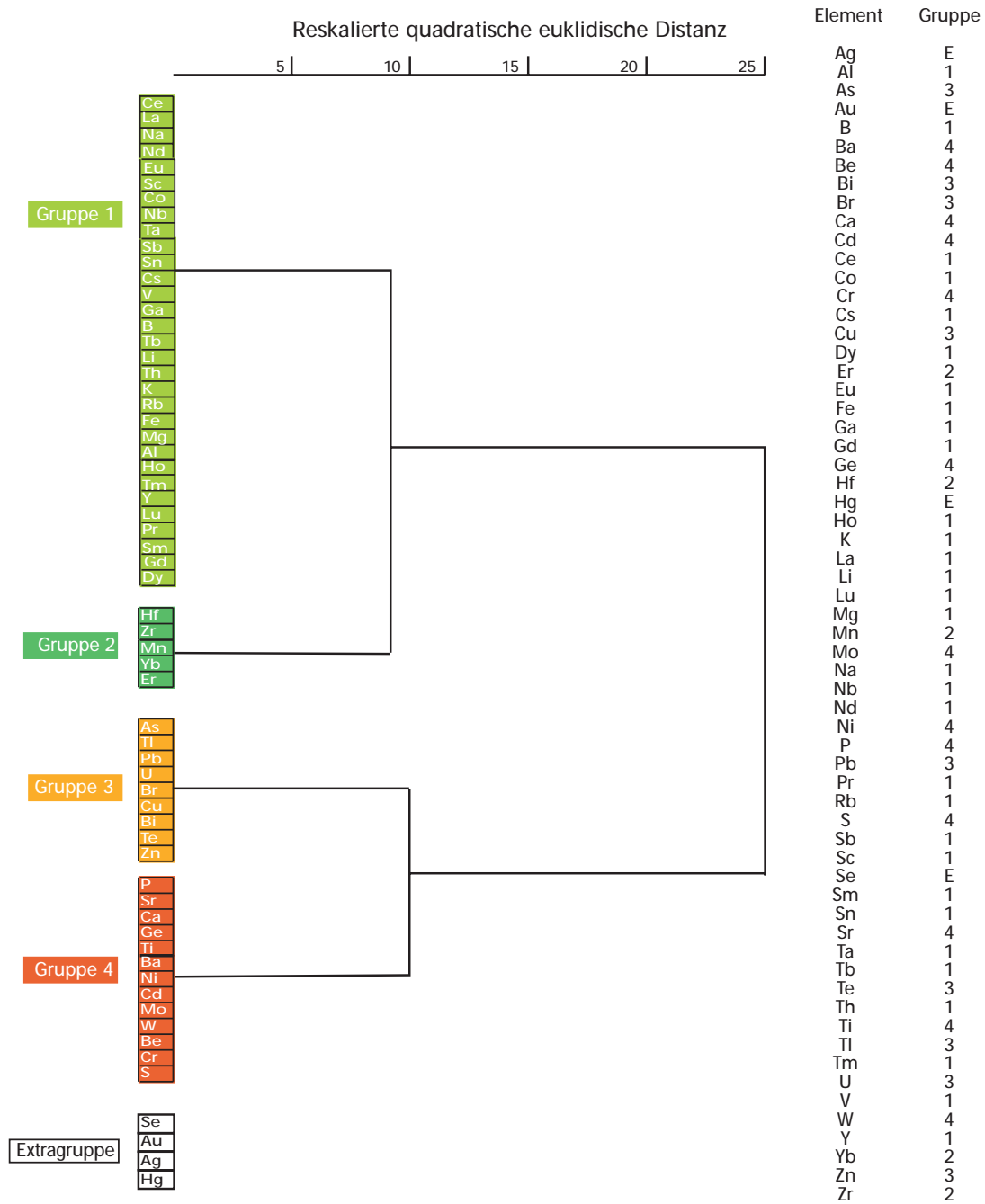
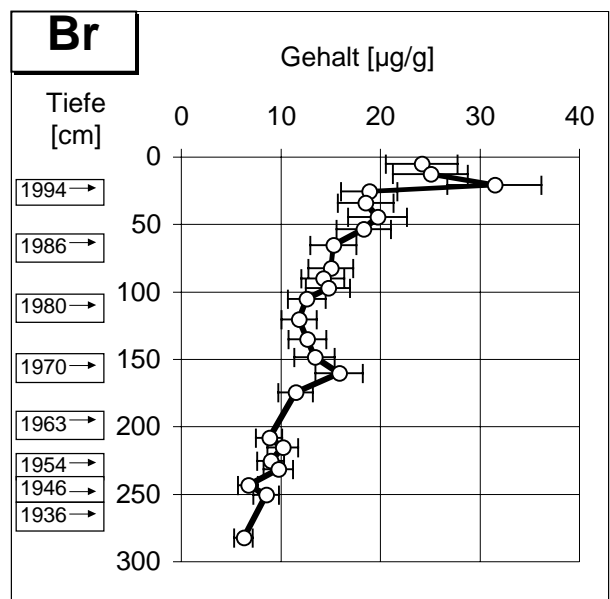
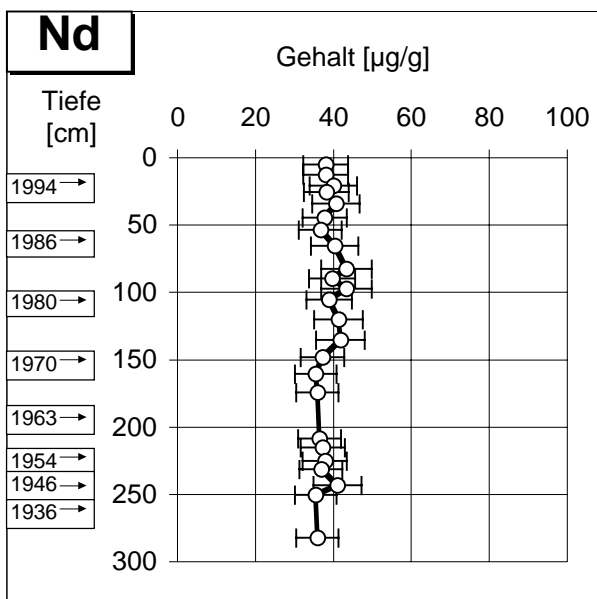
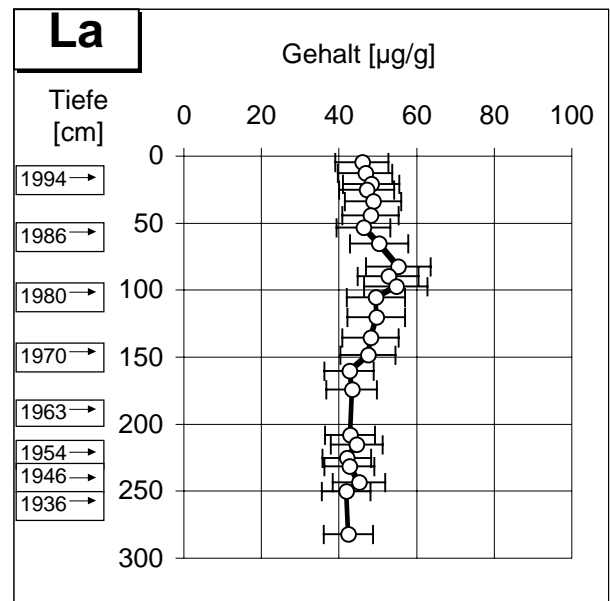
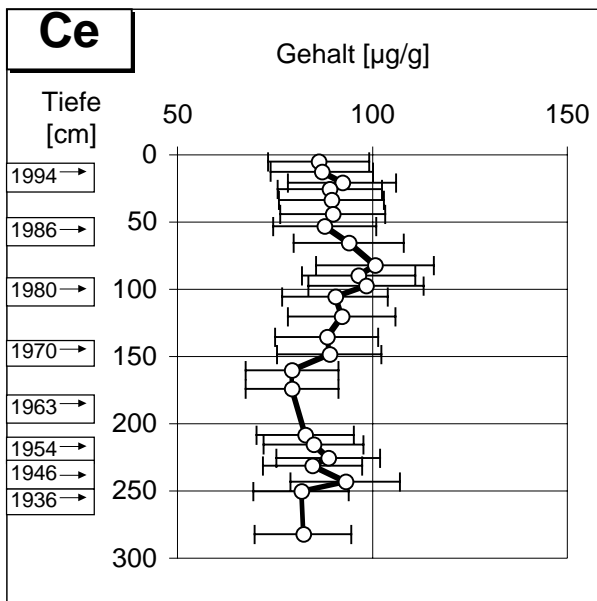
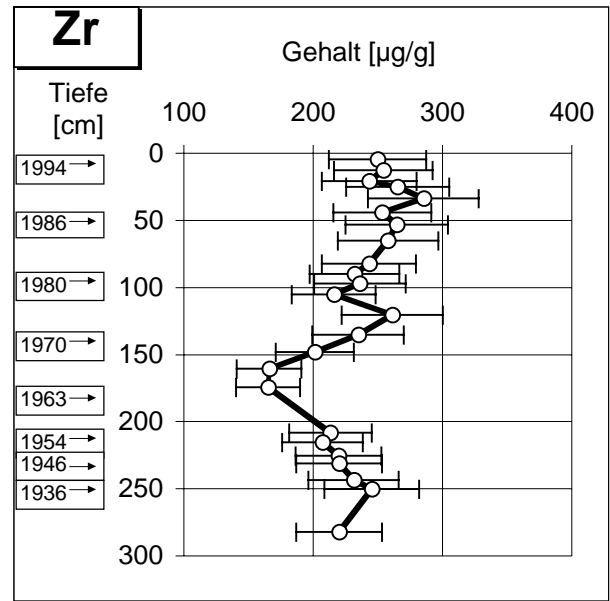
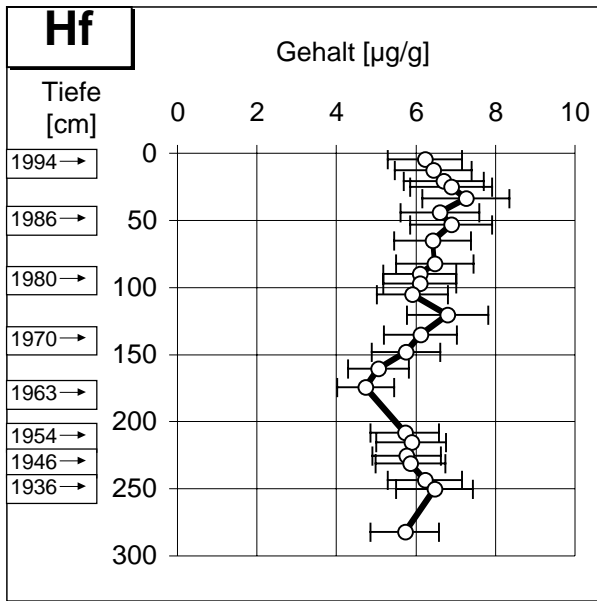
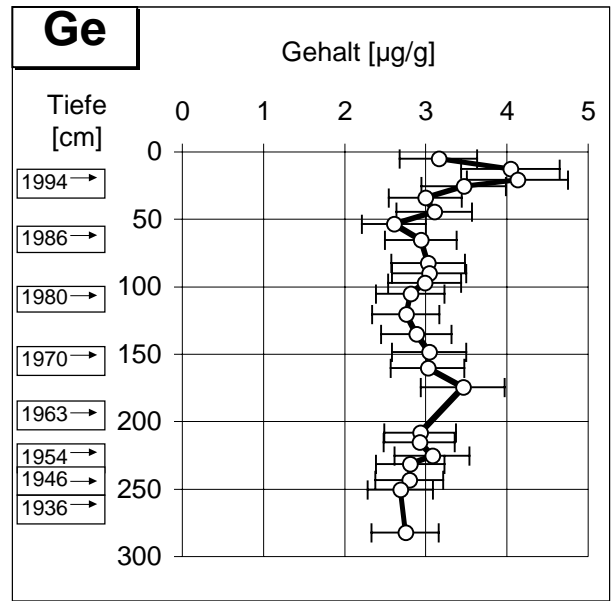
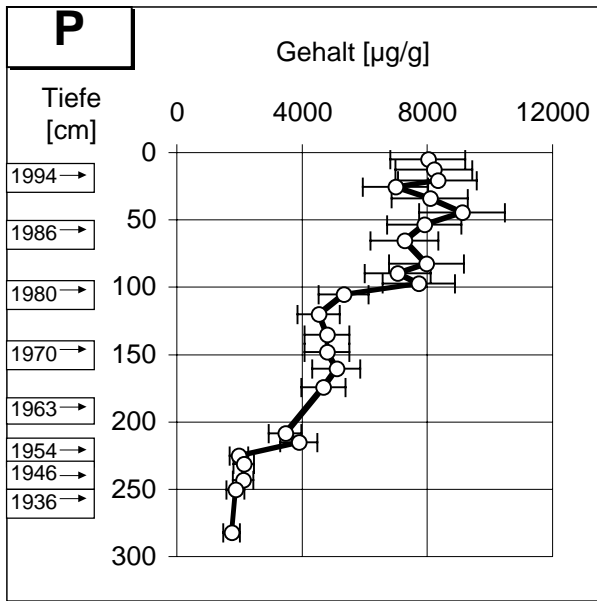


Abb. 9.2.1.3: Dendrogramm der Elemente vom Unterwasserkern "Bucher Brack" aus Tangermünde (vg. Abb. 5.3.4)

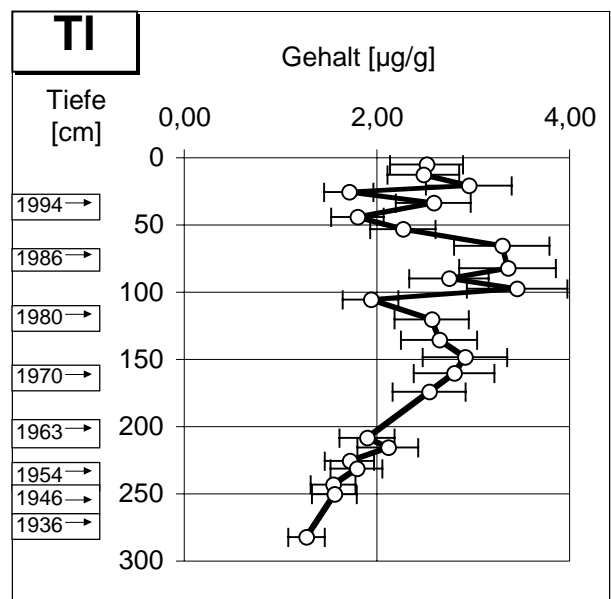
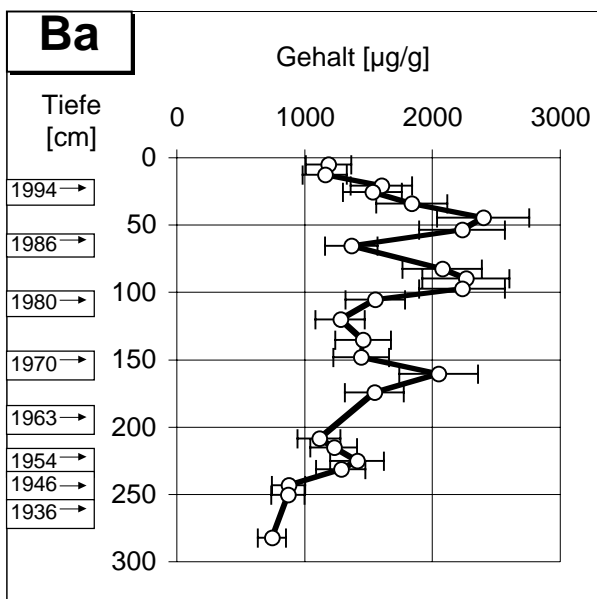
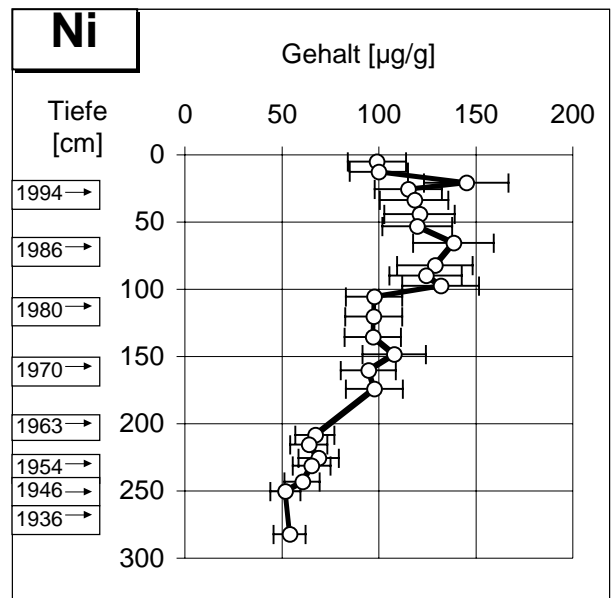
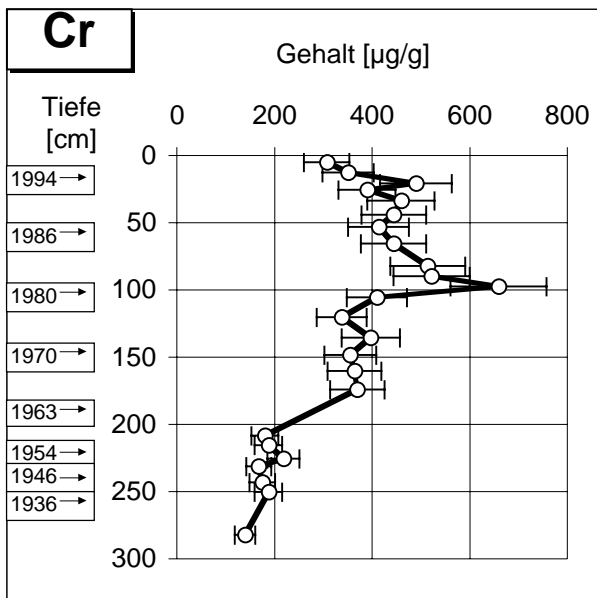
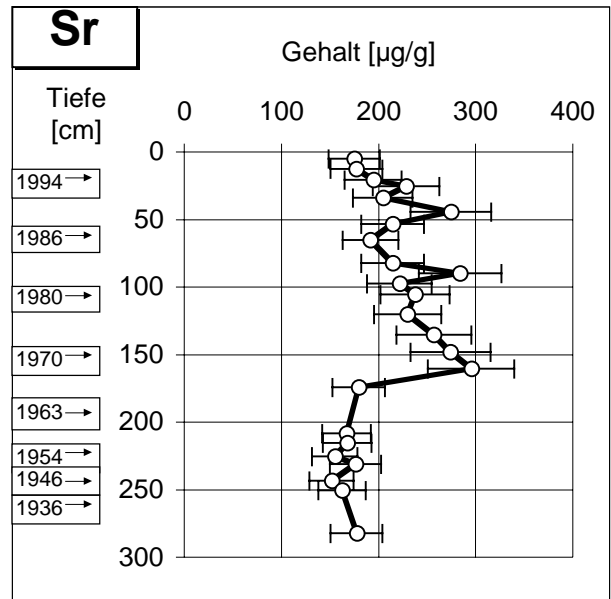
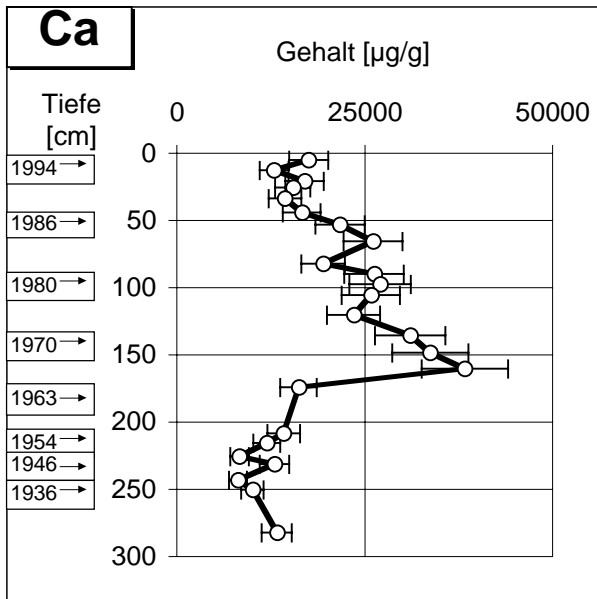


Kap. 9.2.1.3: "Bucher Brack" bei Tangermünde, Unterwasserkern, Elementtiefenprofile, Elementgruppe 1

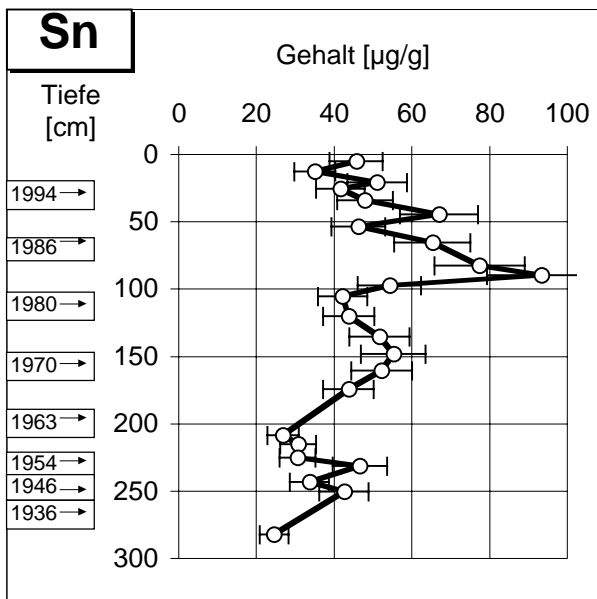
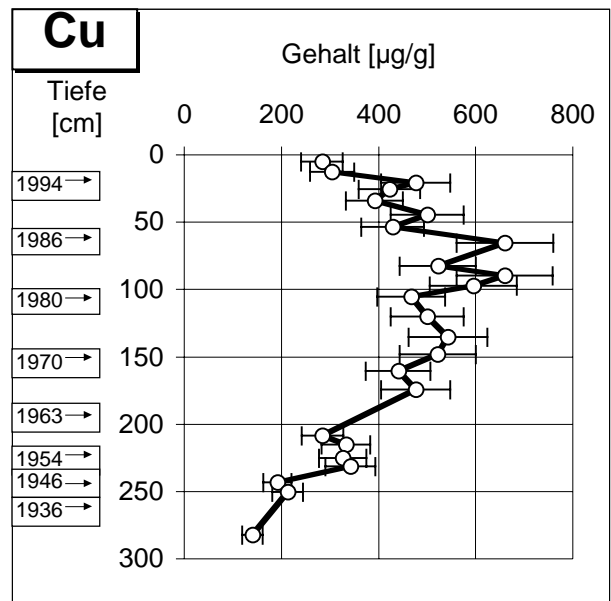
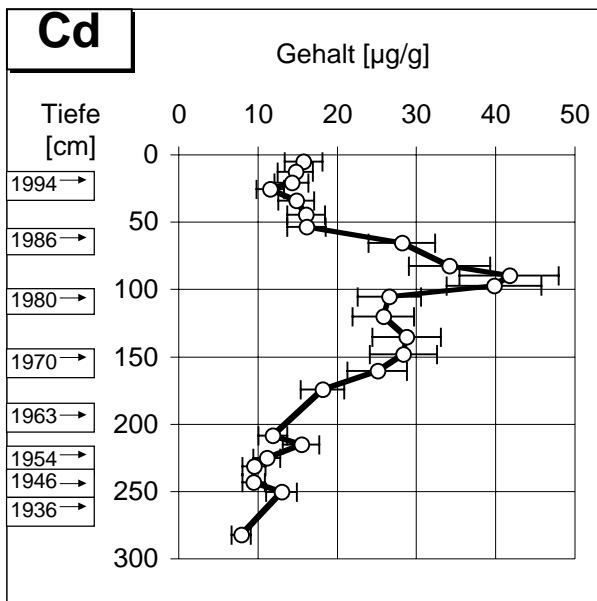
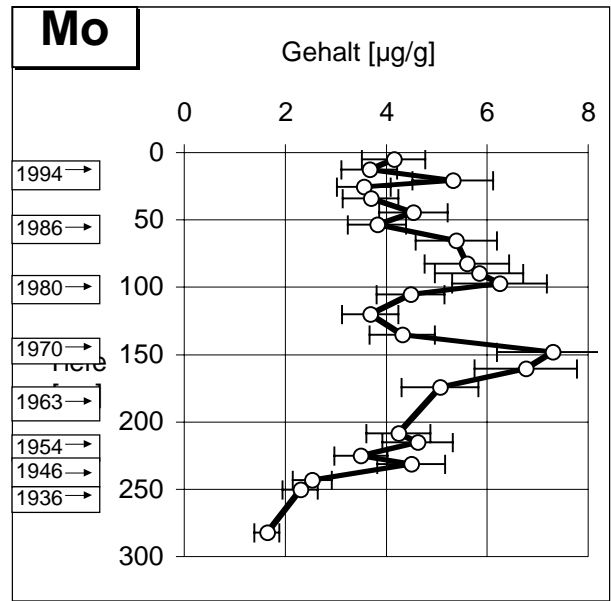
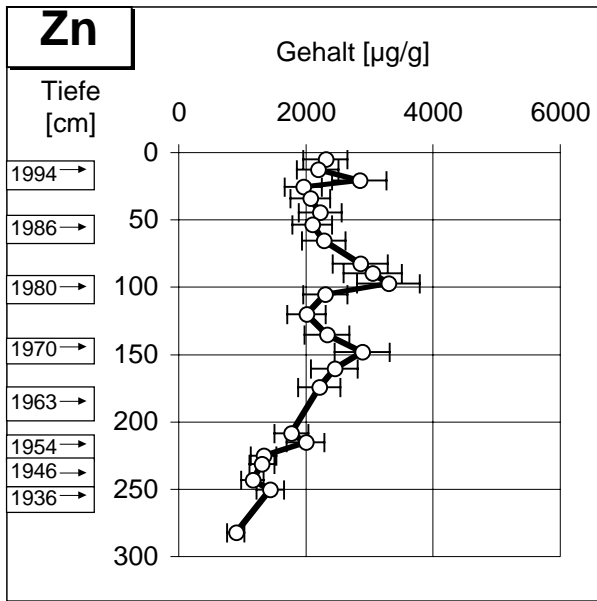


Kap. 9.2.1.3: "Bucher Brack" bei Tangermünde, Unterwasserkern, Elementtiefenprofile, Elementgruppe 1

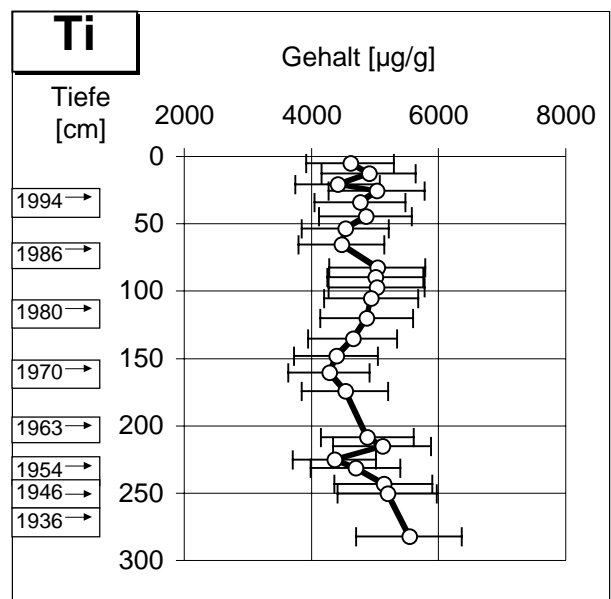
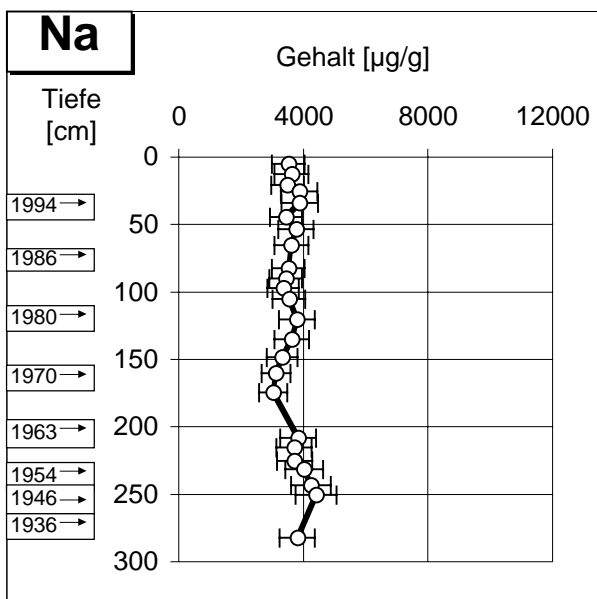
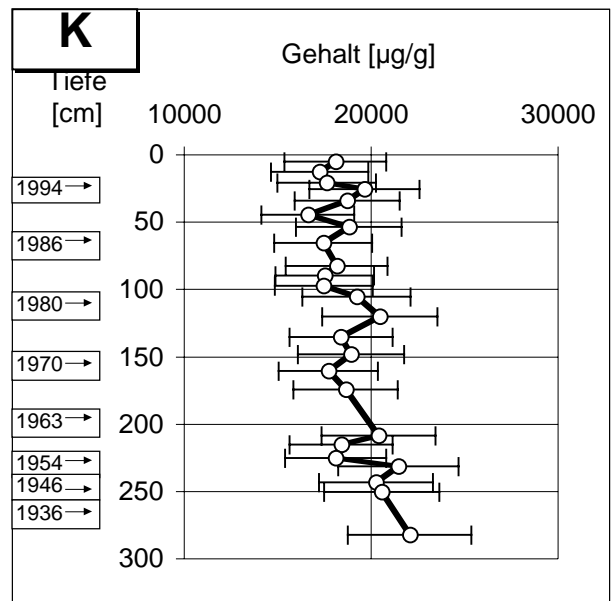
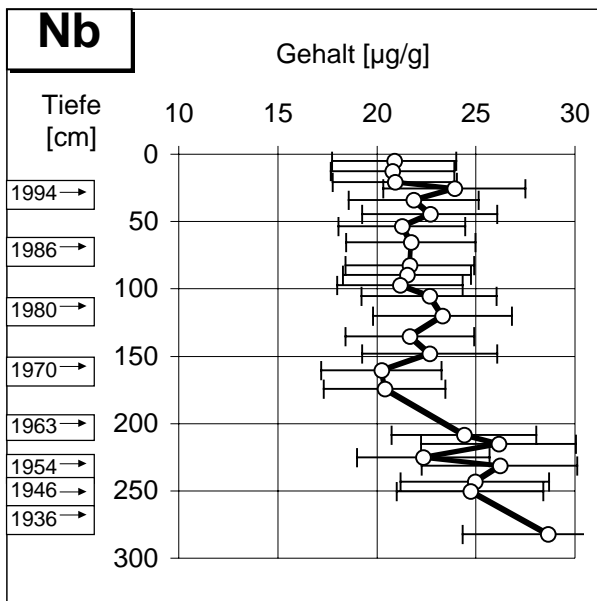
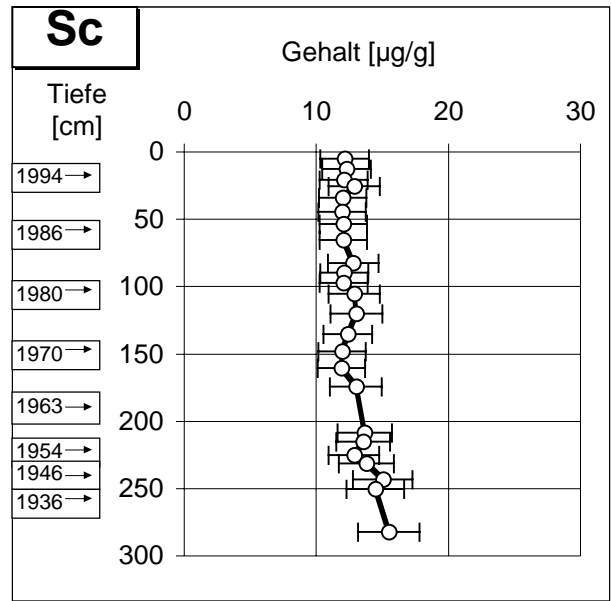
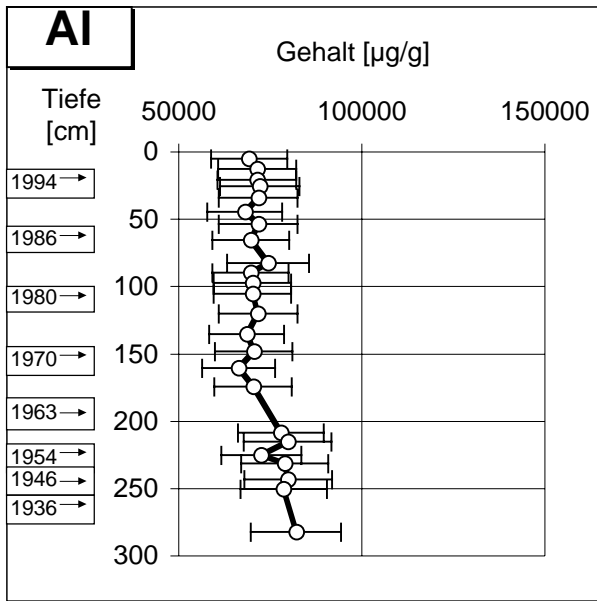




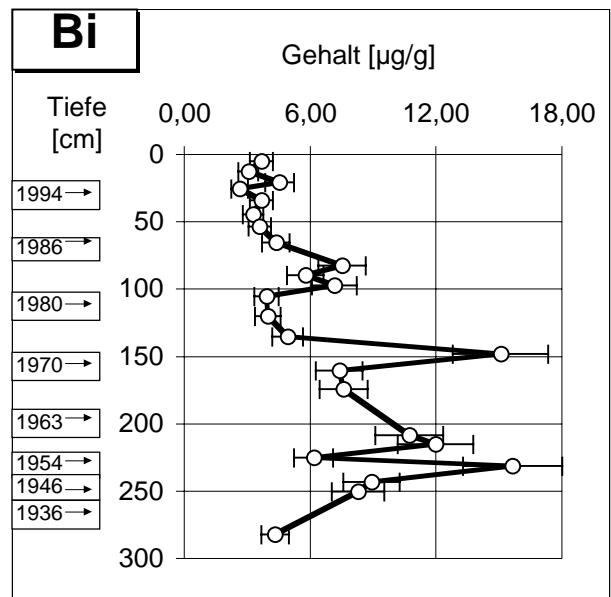
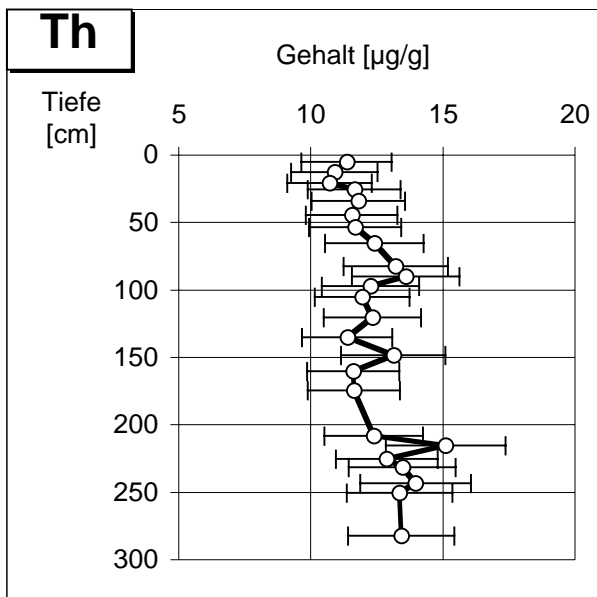
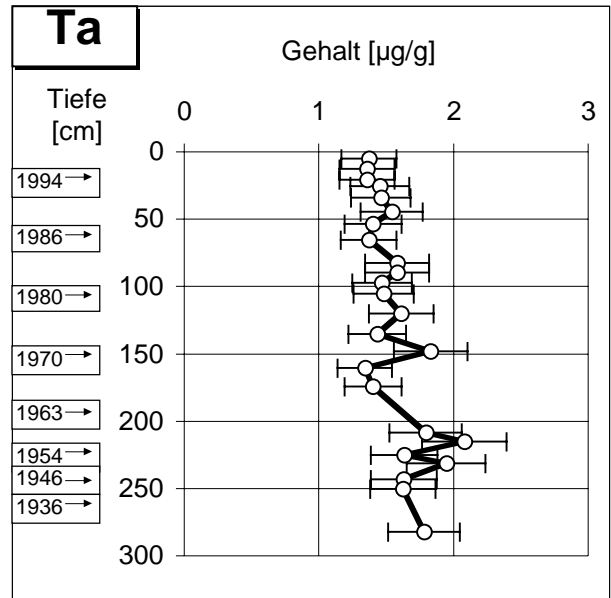
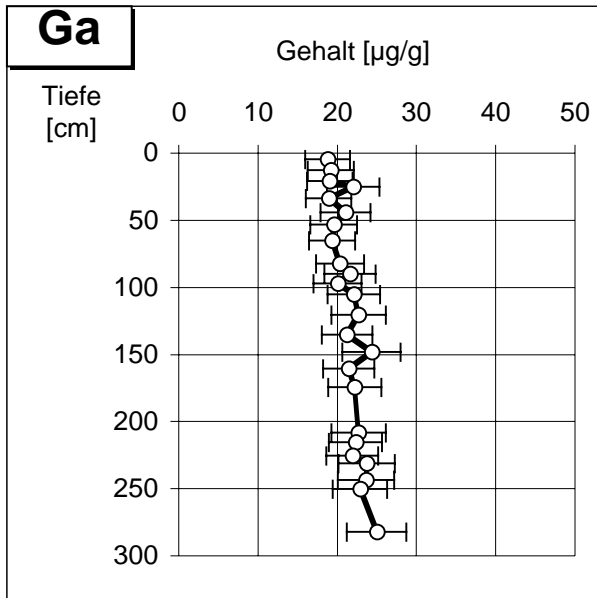
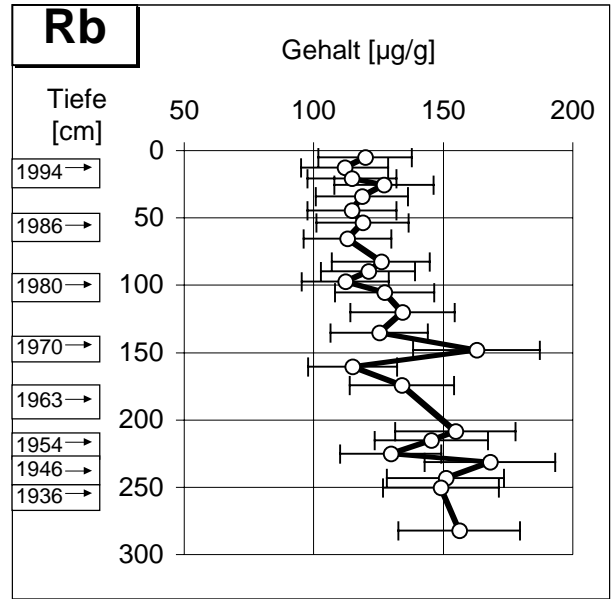
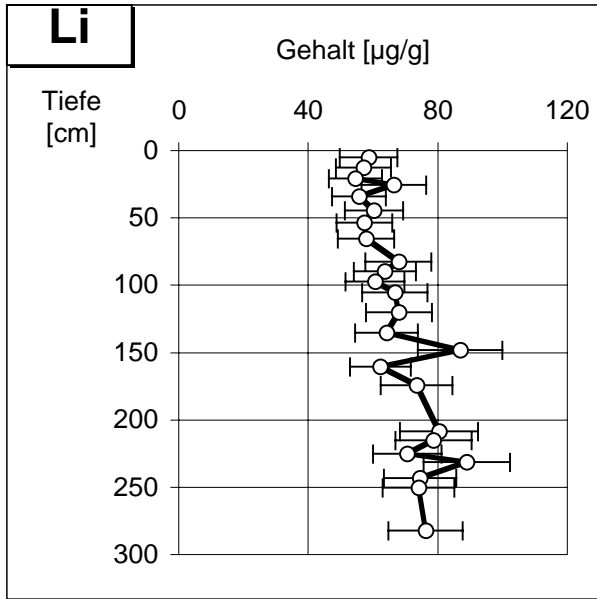
Kap. 9.2.1.3: "Bucher Brack" bei Tangermünde, Unterwasserkern, Elementtiefenprofile, Elementgruppe 2



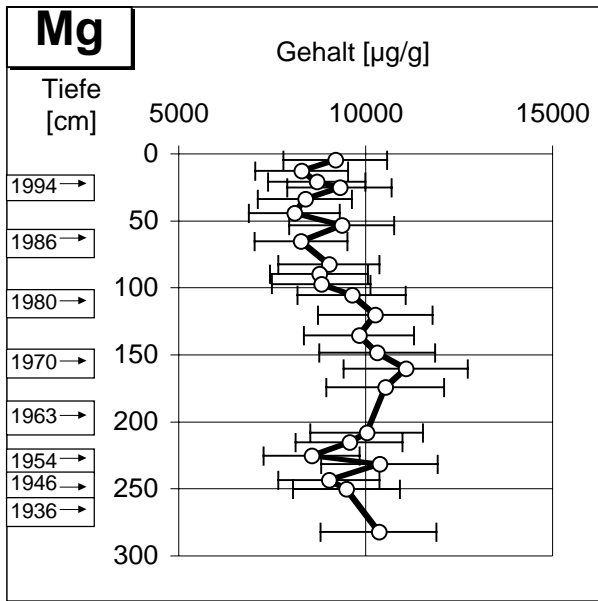
Kap. 9.2.1.3: "Bucher Brack" bei Tangermünde, Unterwasserkern, Elementtiefenprofile, Elementgruppe 2

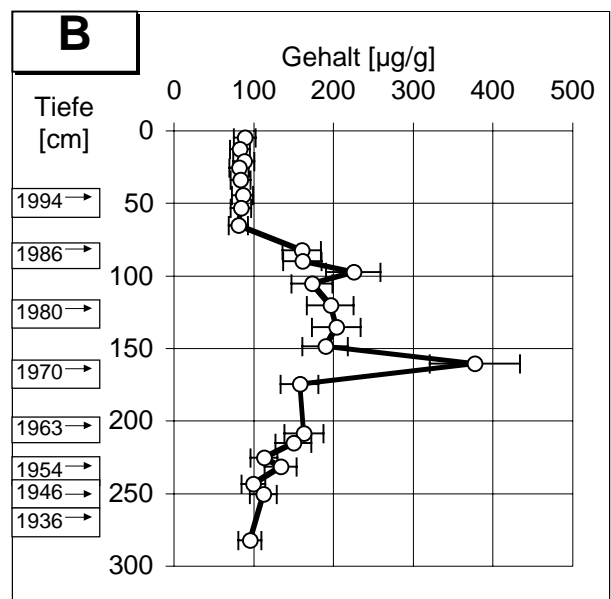
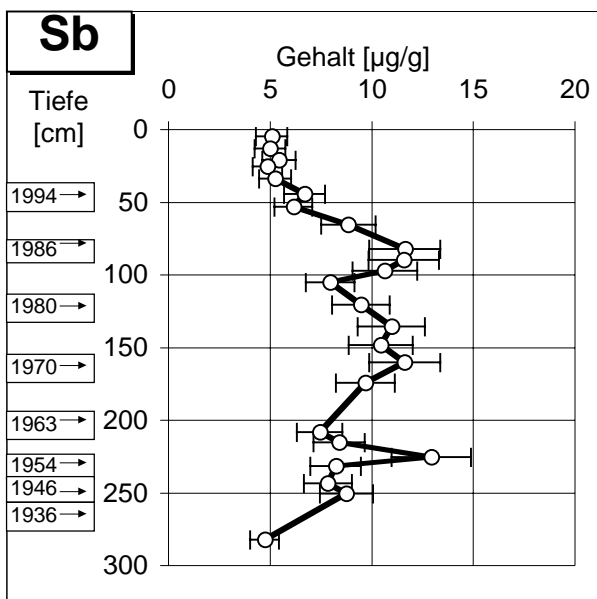
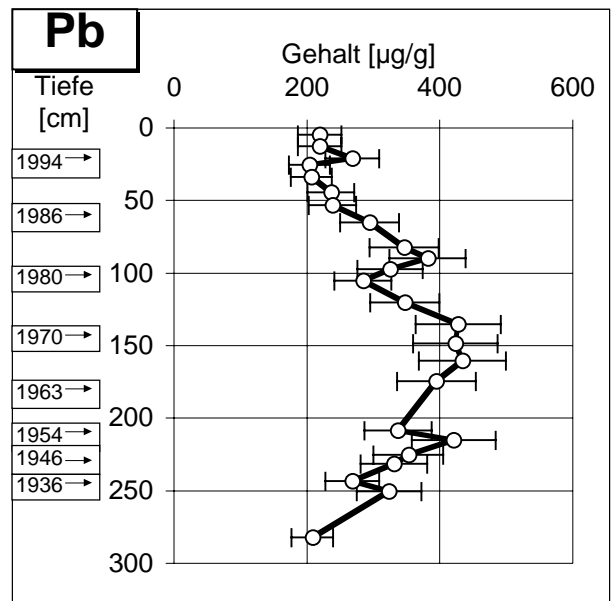
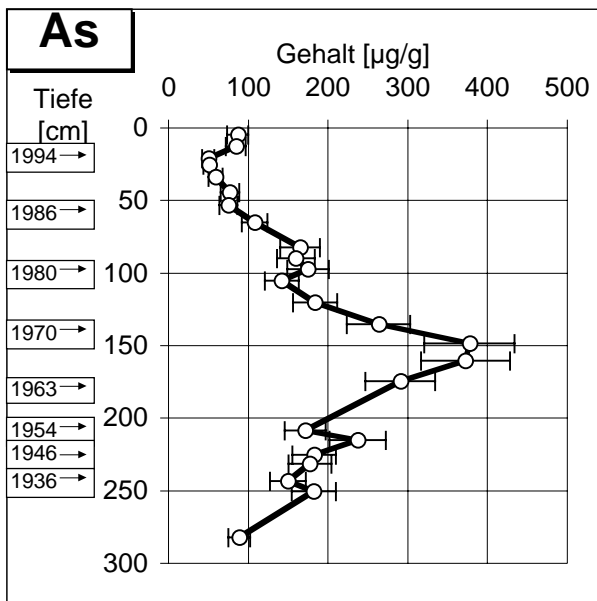
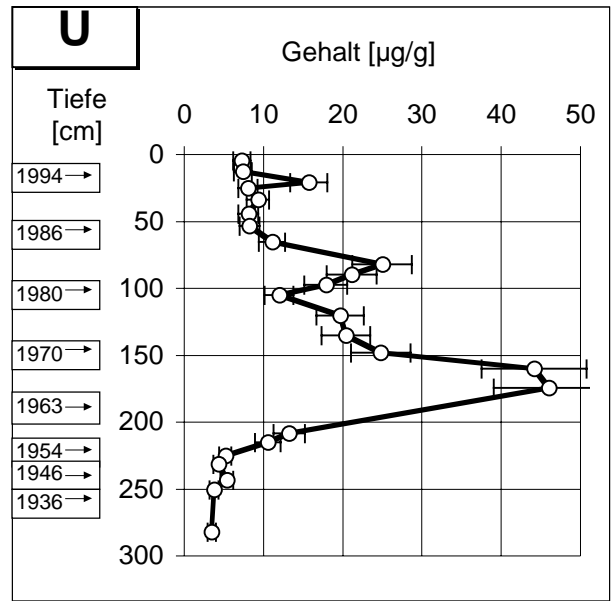
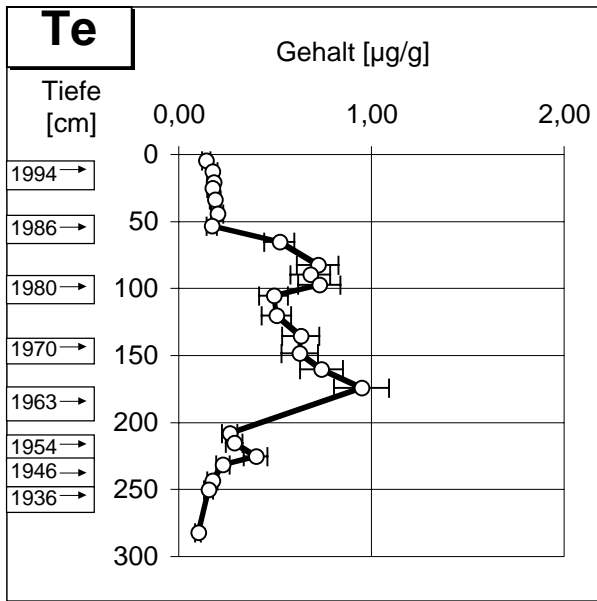


Kap. 9.2.1.3: "Bucher Brack" bei Tangermünde, Unterwasserkern, Elementtiefenprofile, Elementgruppe 3

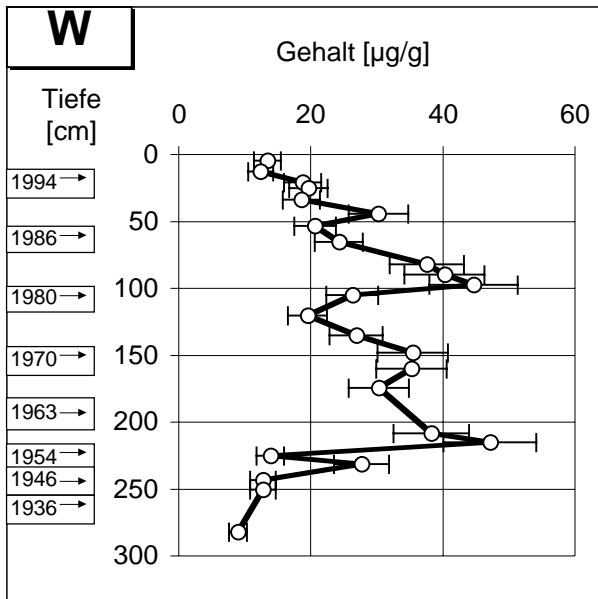


Kap. 9.2.1.3: "Bucher Brack" bei Tangermünde, Unterwasserkern, Elementtiefenprofile, Elementgruppe 3

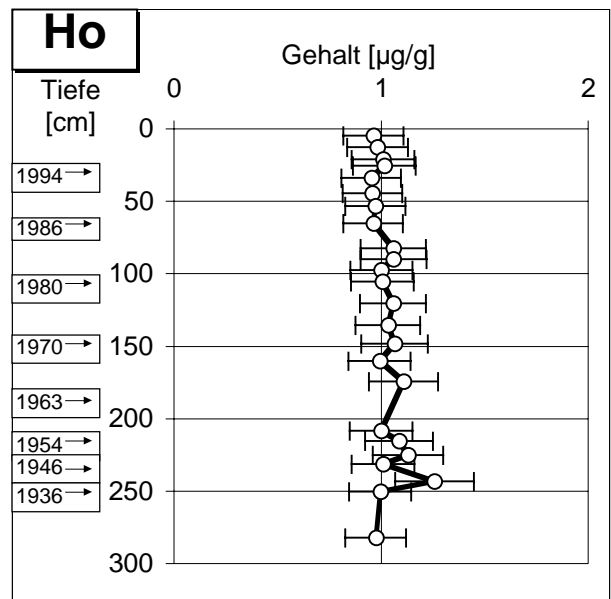
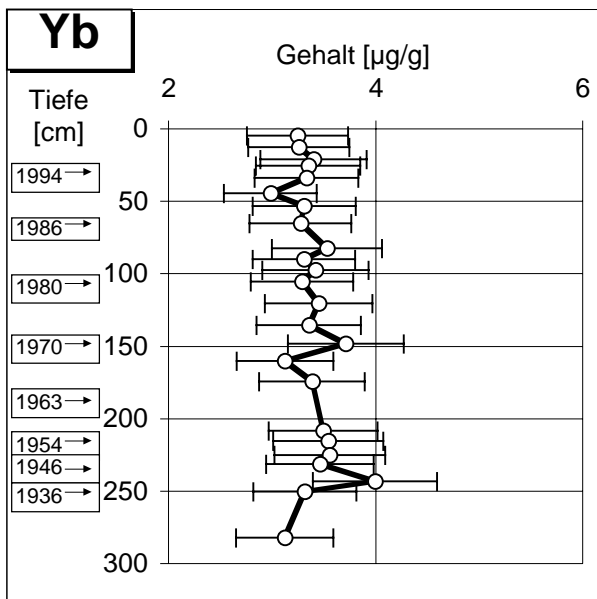
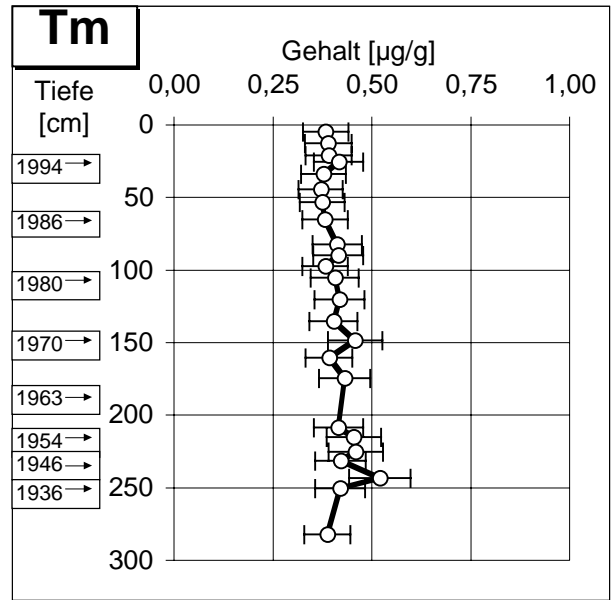
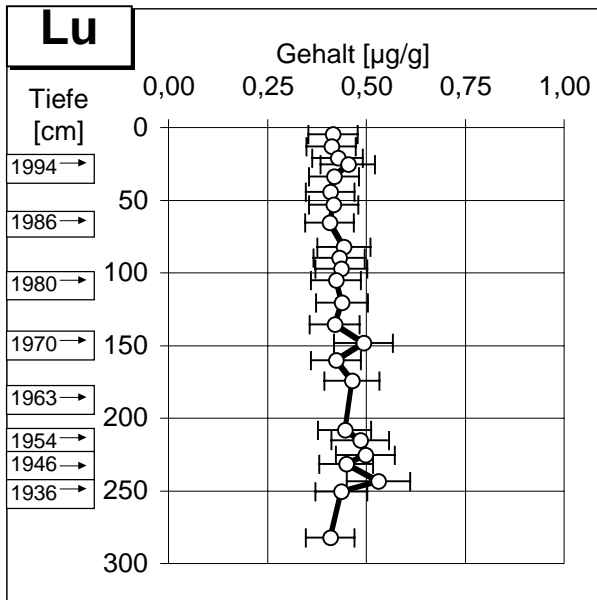
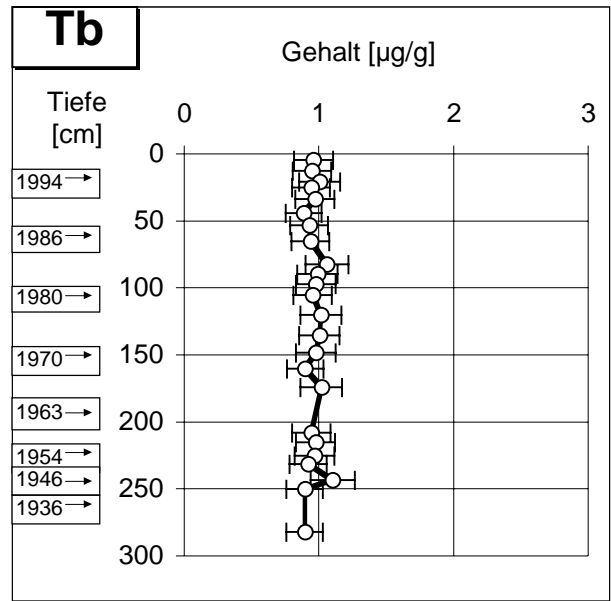
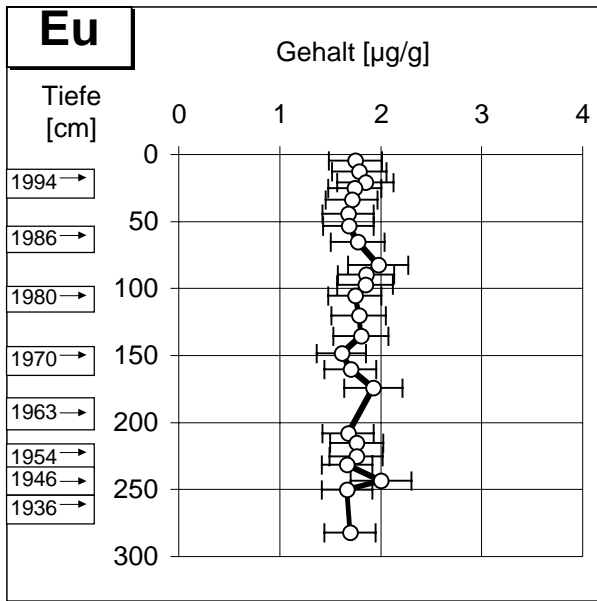




Kap. 9.2.1.3: "Bucher Brack" bei Tangermünde, Unterwasserkern, Elementtiefenprofile, Elementgruppe 4

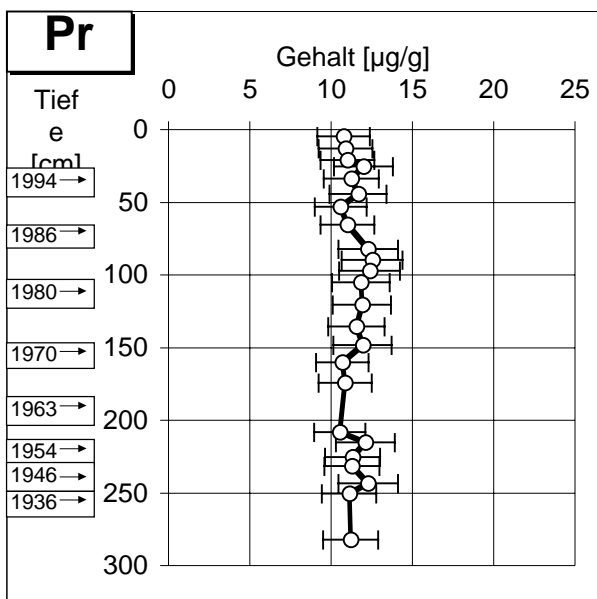
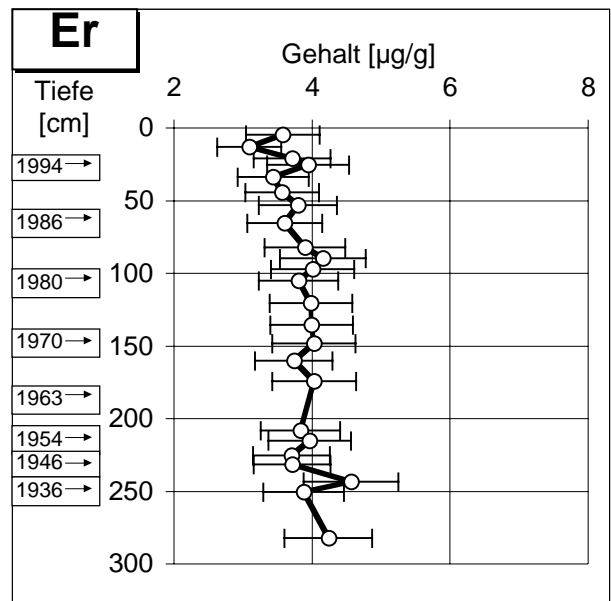
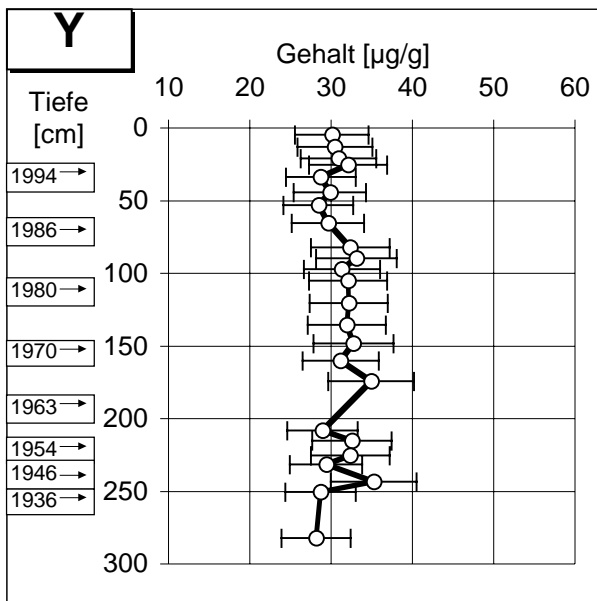
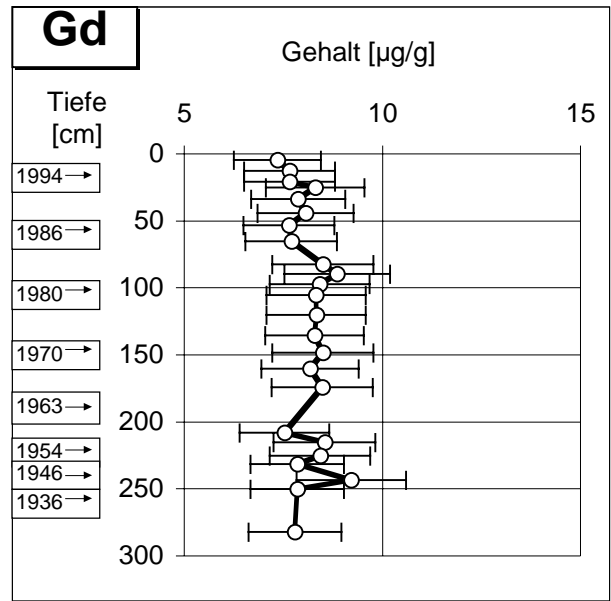
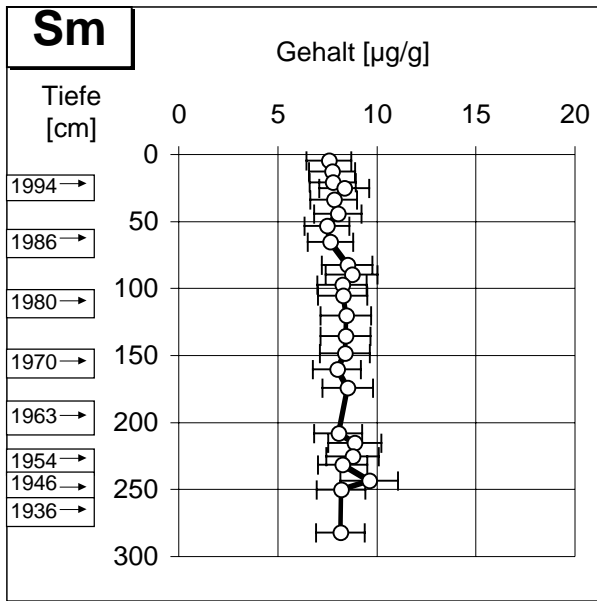


Kap. 9.2.1.3: "Bucher Brack" bei Tangermünde, Unterwasserkern, Elementtiefenprofile, Elementgruppe 4

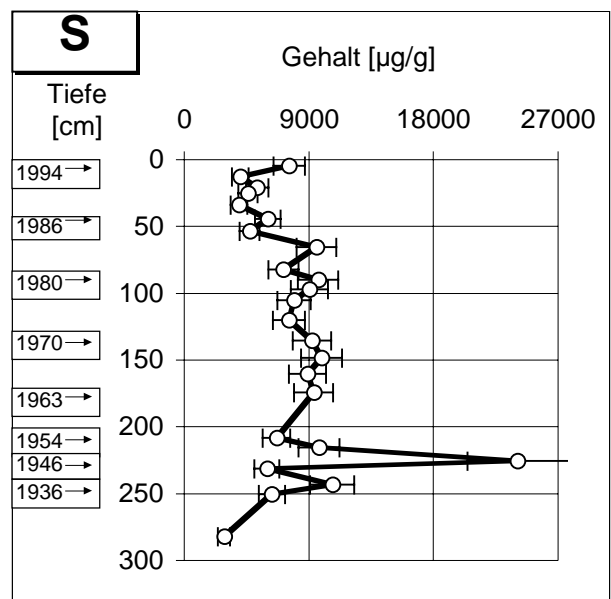
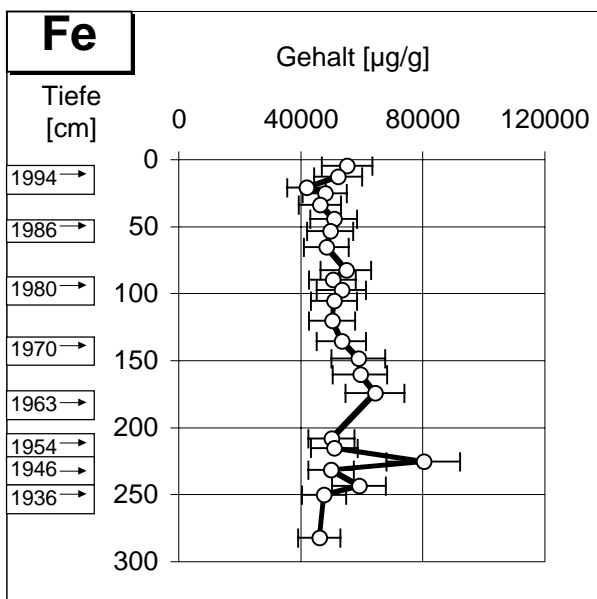
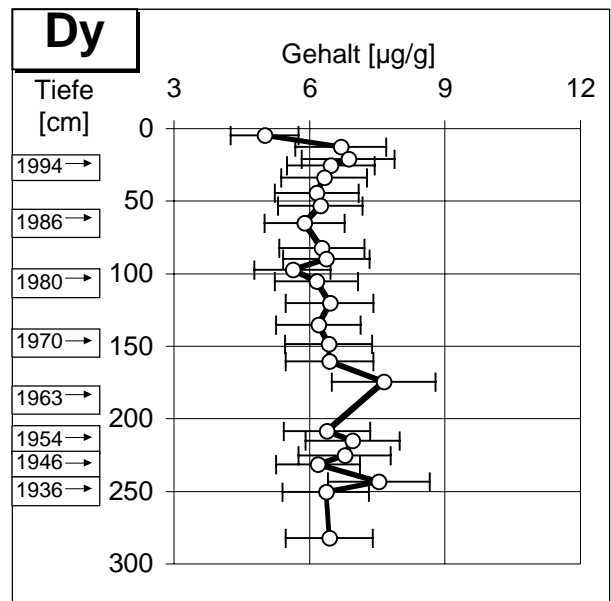
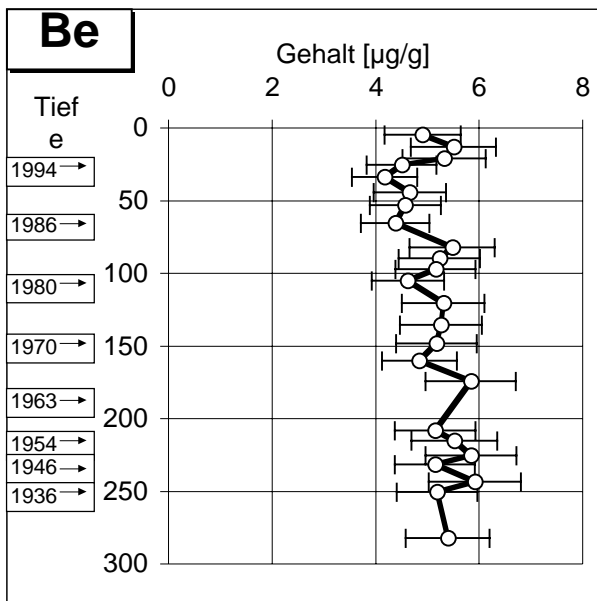
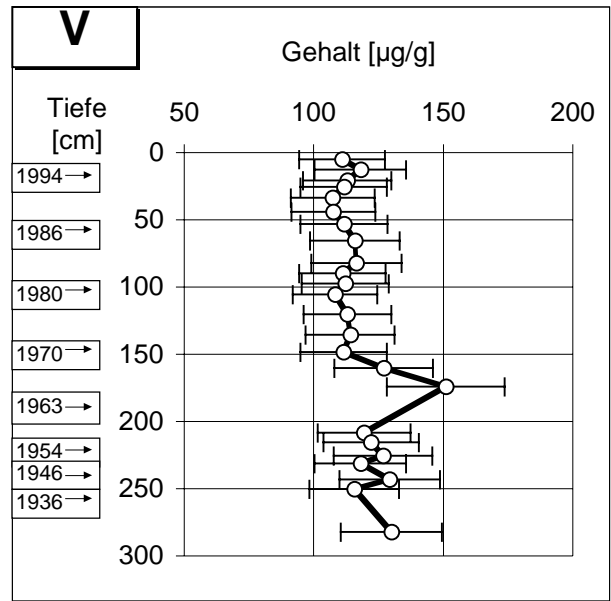
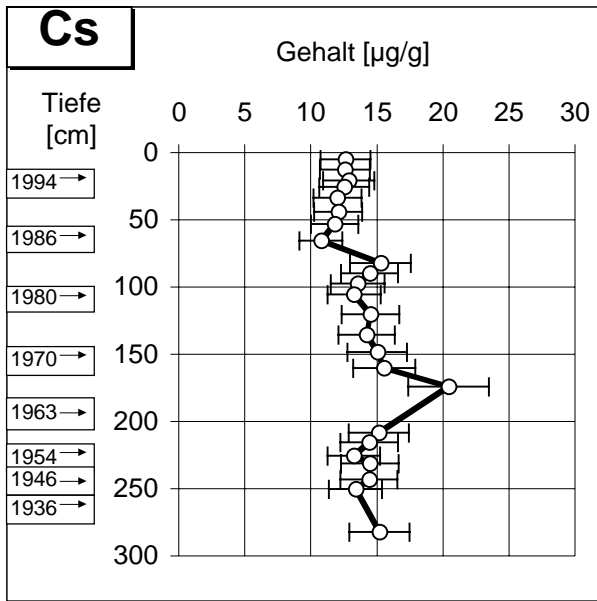


Kap. 9.2.1.3: "Bucher Brack" bei Tangermünde, Unterwasserkern, Elementtiefenprofile, Elementgruppe 5

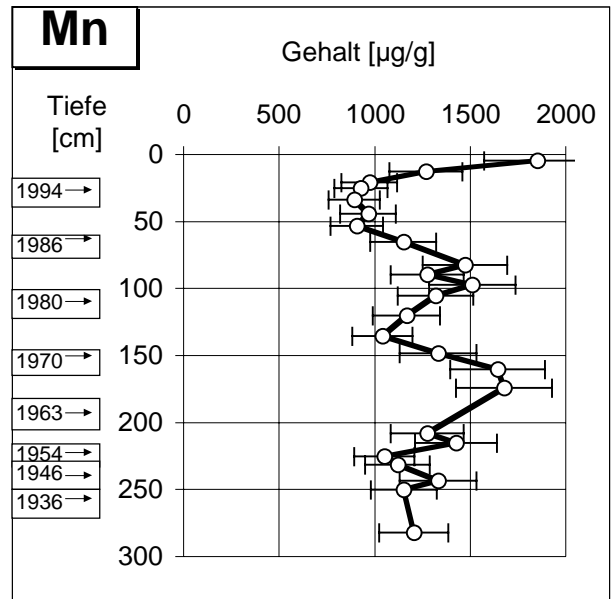
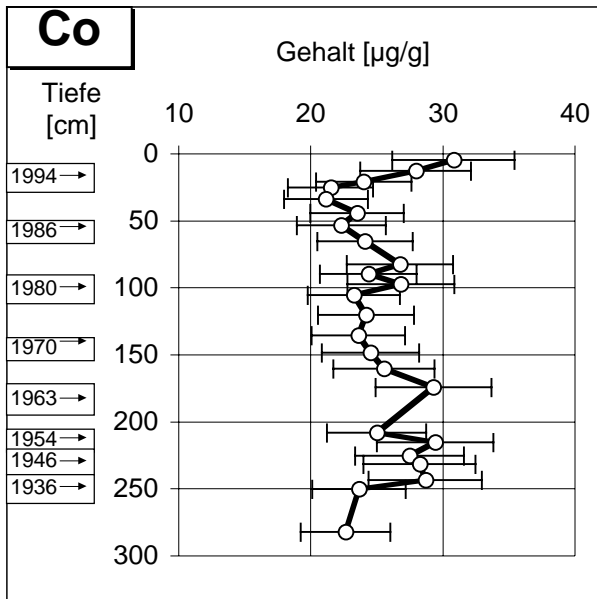


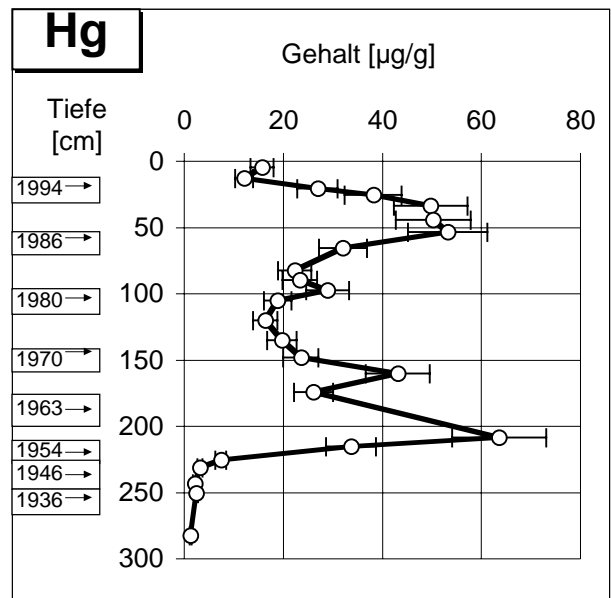
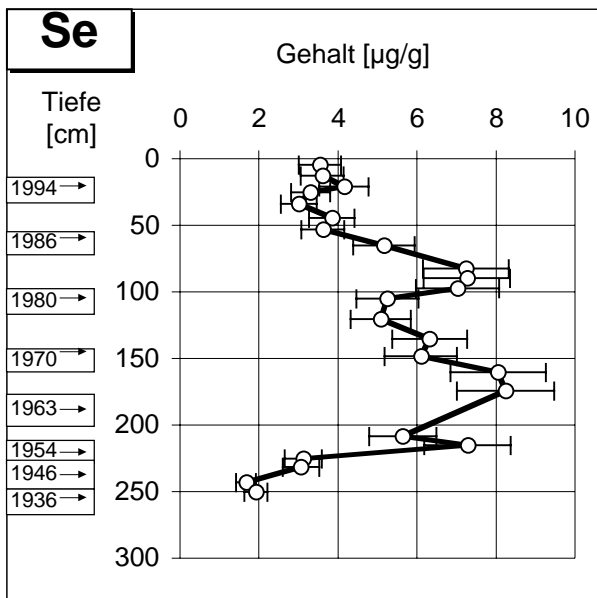
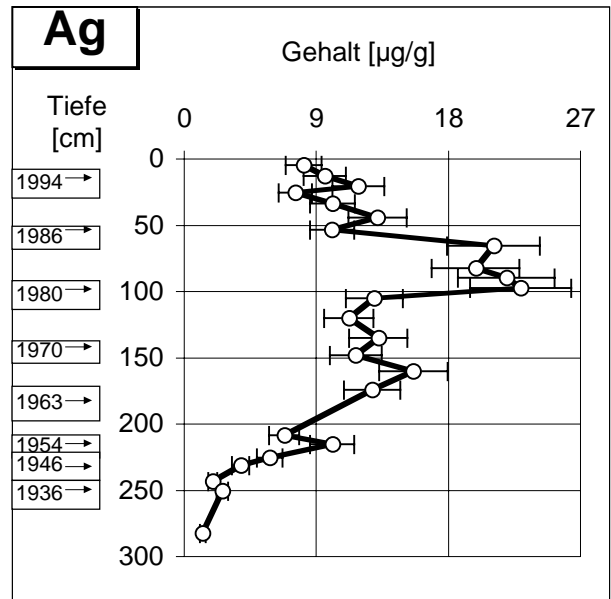
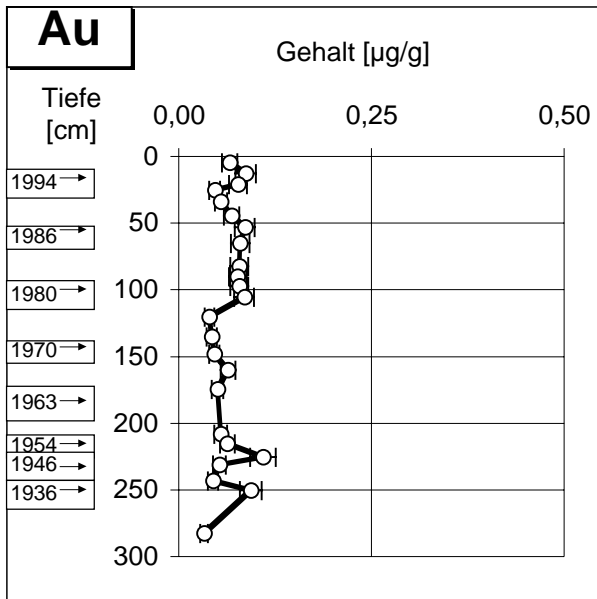


Kap. 9.2.1.3: "Bucher Brack" bei Tangermünde, Unterwasserkern, Elementtiefenprofile, Elementgruppe 5



Kap. 9.2.1.3: "Bucher Brack" bei Tangermünde, Unterwasserkern, Elementtiefenprofile, Elementgruppe 6





Kap. 9.2.1.3: "Bucher Brack" bei Tangermünde, Unterwasserkern, Elementtiefenprofile, Extragruppe